

Mecânica Quântica II  
(L. A. Ferreira)

- 1) Métodos de Aproximação
- 2) Partículas idênticas - Legenda do antigaço
- 3) Teoria do Espalhamento
- 4) Equações Relativísticas - Eq. da Dirac



# Métodos de Aproximação - Teoria da Perturbação

## Motivação

- A maior parte dos problemas em MQ não podem ser resolvidos exatamente. Na verdade, as situações físicas "mais" envolvem vários efeitos que não podem ser tratados de maneira exata.
- É necessário um método ~~que~~ que não só forneça somente uma solução aproximada, como também dê informações sobre a física do problema.

Existem vários métodos de aproximação. Mas quase todos eles utilizam-se do fato que se o sistema pode ser aproximado a um problema com solução exata ~~seus~~ adiciona-se <sup>outros</sup> interações que o "pequeno" em relação ao resto se calcula a sua contribuição perturbativamente.

Trataremos aqui de problemas de "estados ligados".

## Teoria da perturbação independente do tempo

- a) O caso não degenerado (Teoria de Rayleigh-Schrödinger)

Considera-se uma hamiltoniana que pode ser dividida em duas partes

$$H = H_0 + V$$

Onde  $H_0$  é uma hamiltoniana cuja solução exata é conhecida. Ou seja conhecemos os autovalores e autoestados:



$$H_0 |m^{(0)}\rangle = E_m^{(0)} |m^{(0)}\rangle$$

Nós queremos encontrar autoestados aproximados da Hamiltoniana total

$$(H_0 + V) |m\rangle = E_m |m\rangle$$

onde  $V$  é considerado como "perturbação" do sistema.

Ex: Átomo de hidrogênio

$$H_0 = \frac{p^2}{2m} + \text{int. Coulombiana } \left(-\frac{e^2}{r}\right)$$

$V$  = interação de campos elétricos e magnéticos externos ( $E, B$ )

Costuma-se introduzir um parâmetro  $\lambda$  para se saber o número de vezes que a perturbação  $V$  entrou no cálculo:

$$(H_0 + \lambda V) |m\rangle = E_m |\otimes m\rangle$$

No final fazemos  $\lambda \rightarrow 1$ . ( $\lambda$  pode variar de 0 a 1,  $\lambda=0$  é a perturbação)

Espera-se que exista uma transição suave de  $|m^{(0)}\rangle$  para  $|m\rangle$  e  $E_m^{(0)}$  para  $E_m$  conforme  $\lambda$  varia de 0 a 1.

O método é baseado em

- uma expansão de  $E_m$  e  $|m\rangle$  em potenciais de  $\lambda$ .
- na analiticidade de  $E_m$  e  $|m\rangle$  no plano  $\lambda$  ao redor de  $\lambda=0$
- na "esperança" que poucos termos da expansão (3 ou 2) dêem um bom resultado
- no fato que os ~~estados~~ autovalores  $E_m^{(0)}$  não são degenerados. Isto é, existe somente um estado  $|m^{(0)}\rangle$  com energia  $E_m^{(0)}$ .



## O problema de dois estados

Suponha que tenhamos um sistema com dois estados somente, e que a Hamiltoniana é dada por

$$H = H_0 + \lambda V$$

Como os autoestados de  $H_0$  formam um conjunto completo

$$\sum_m |m^{(0)}\rangle \langle m^{(0)}| = 1$$

assumimos

$$\begin{aligned} H &= \sum_{m, m'} |m^{(0)}\rangle \langle m^{(0)}| H |m'^{(0)}\rangle \langle m'^{(0)}| \\ &= E_1^{(0)} |1^{(0)}\rangle \langle 1^{(0)}| + E_2^{(0)} |2^{(0)}\rangle \langle 2^{(0)}| + \\ &\quad + \lambda V_{12} |1^{(0)}\rangle \langle 2^{(0)}| + \lambda V_{21} |2^{(0)}\rangle \langle 1^{(0)}| \end{aligned}$$

onde

$$V_{ij} = \langle i^{(0)} | V | j^{(0)} \rangle \quad \text{e onde assumimos } V_{11} = V_{22} = 0$$

Na representação matricial

$$H = \begin{pmatrix} E_1^{(0)} & \lambda V_{12} \\ \lambda V_{21} & E_2^{(0)} \end{pmatrix}$$

Como  $H_0$  e  $H$  são hermitianos, temos que  $V$  também deve ser.

Seja  $V_{12}^* = V_{21}$ . Vamos considerar o caso em que  $V_{12} = V_{21}$ ,  
se mais

$$V_{12}^* = V_{12}, \quad V_{21}^* = V_{21}$$

Dar

$$V_{12} = V_{21}$$

4  
 Não há perda de generalidade nesta escolha pois podemos acertar a fase de  $|z^{(0)}\rangle$  em relação a  $|1^{(0)}\rangle$  da tal modo que isto ocorra:

$$|z^{(0)}\rangle \rightarrow e^{i\phi} |z^{(0)}\rangle \quad (\text{e } \epsilon \text{ constante})$$

$$V_{12} = \langle 1^{(0)} | V | z^{(0)} \rangle \rightarrow e^{i\phi} V_{12}$$

Escolhemos  $\phi$  da tal modo que  $V_{12}$  seja nul. Pela hermiticidade temos  $V_{12}^* = V_{21}$ , e daí  $V_{21}$  também é nul.

A matriz  $H$  é  $2 \times 2$  e portanto pode ser escrita como uma combinação linear de  $\mathbb{I}$  e  $\sigma_i$ :

$$\mathbb{H} = (1, 1) \quad \sigma_1 = \begin{pmatrix} 0 & 1 \\ 1 & 0 \end{pmatrix} \quad \sigma_2 = \begin{pmatrix} 0 & -i \\ i & 0 \end{pmatrix} \quad \sigma_3 = \begin{pmatrix} 1 & 0 \\ 0 & -1 \end{pmatrix}$$

Como  $V_{12}$  e  $V_{21}$  são nulos  $\sigma_2$  não entra na expansão:

$$H = a_0 \mathbb{I} + a_i \sigma_i = \begin{pmatrix} a_0 + a_3 & a_1 \\ a_1 & a_0 - a_3 \end{pmatrix} \quad (a_2 = 0)$$

Calculamos os autovalores desta matriz ( $M\psi = \lambda\psi \Rightarrow (M-\lambda)\psi = 0 \Rightarrow \det(M-\lambda) = 0$ )

$$\det(H - \lambda \mathbb{I}) = 0 \Rightarrow (a_0 + a_3 - \lambda)(a_0 - a_3 - \lambda) - a_1^2 = 0$$

$$\lambda^2 - 2a_0\lambda + a_0^2 - a_1^2 - a_3^2 = 0 \quad \lambda = \frac{2a_0 \pm \sqrt{4a_0^2 - 4(a_0^2 - a_1^2 - a_3^2)}}{2}$$

$$\boxed{\lambda = a_0 \pm \sqrt{a_1^2 + a_3^2}}$$

Para ter  $\lambda$  em termos dos autovalores da  $H_0$  e  $V_{12}$  fazemos

$$a_0 + a_3 = E_1^{(0)} \quad \lambda V_{12} = a_1$$

$$a_0 - a_3 = E_2^{(0)}$$

$$a_0 = \frac{E_1^{(0)} + E_2^{(0)}}{2} \quad a_3 = \frac{E_1^{(0)} - E_2^{(0)}}{2}$$

Dar os autovalores  $E_1$  e  $E_2$  da  $H$  set

$$\begin{pmatrix} E_1 \\ E_2 \end{pmatrix} = \frac{E_1^{(0)} + E_2^{(0)}}{2} \pm \sqrt{\frac{(E_1^{(0)} - E_2^{(0)})^2}{4} + \lambda^2 V_{12}^2}$$

Se  $\lambda V_{12}$  é pequeno em relação à diferença da energia entre os estados não perturbados

$$\lambda |V_{12}| \leq |E_1^{(0)} - E_2^{(0)}|$$

Usamos a expansão de Taylor

$$\begin{aligned} \sqrt{1+\varepsilon} &= \frac{1}{2}(1+\varepsilon)^{-\frac{1}{2}}, \quad \sqrt{1+\varepsilon}'' = -\frac{1}{4}(1+\varepsilon)^{-\frac{3}{2}} \\ \sqrt{1+\varepsilon}''' &= \frac{3}{8}(1+\varepsilon)^{-\frac{5}{2}} \\ \sqrt{1+\varepsilon} &= 1 + \frac{1}{2}\varepsilon - \frac{\varepsilon^2}{8} + \frac{\varepsilon^3}{16} - \frac{3 \cdot 5}{4! \cdot 16} \varepsilon^4 \dots = 1 + \sum_{m=1}^{\infty} (-1)^{m+1} \frac{(2m-3)!!}{m! 2^m} \varepsilon^m \end{aligned}$$

E dar em primeira ordem

$$\begin{pmatrix} E_1 \\ E_2 \end{pmatrix} = \frac{E_1^{(0)} + E_2^{(0)}}{2} \pm \frac{(E_1^{(0)} - E_2^{(0)})}{2} \left\{ 1 + \frac{1}{2} \frac{4\lambda^2 V_{12}^2}{(E_1^{(0)} - E_2^{(0)})^2} + \dots \right\}$$

$$E_1 = E_1^{(0)} + \frac{\lambda^2 V_{12}^2}{(E_1^{(0)} - E_2^{(0)})} + \dots$$

$$E_2 = E_2^{(0)} - \frac{\lambda^2 V_{12}^2}{(E_1^{(0)} - E_2^{(0)})} + \dots$$

Fazendo o teste da razão na séria acima obtemos

$$\frac{(2m-1)!! \varepsilon^{m+1}}{(m+1)! 2^{m+1}} \frac{m! 2^m}{(2m-3)!! \varepsilon^m} = \frac{(2m-1) \varepsilon}{2^m} \xrightarrow[m \rightarrow \infty]{} \varepsilon$$

Portanto para que a sín. converja precisamos que

$$\frac{4\lambda^2 V_{12}^2}{(E_1^{(0)} - E_2^{(0)})^2} < 1 \Rightarrow \lambda |V_{12}| < \frac{|E_1^{(0)} - E_2^{(0)}|}{2}$$

Note que nem sempre podemos usar a expansão perturbativa para um potencial arbitrariamente pequeno. Como exemplo considere uma partícula em um poço quadrado (veja pag 6a).

Por menor que seja a profundidade  $V_0$  do poço sempre existirá um estado ligado. Para  $V_0$  muito pequeno a energia deste estado é:

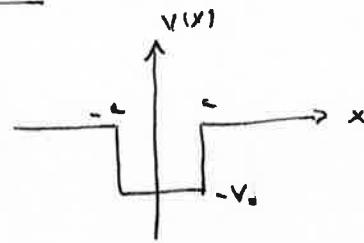
$$E \sim -\lambda V_0 l^2$$

Podemos considerar esta energia como sendo a contribuição da terceira ordem da pot. quadrado, considerando como perturbação, a energia da partícula livre.

No entanto se tivéssemos como a contribuição a quadrática em  $V$  concluirímos que para a barreira de potencial  $\boxed{V_0}$  obtérmos um estado ligado através da expansão perturbativa. Mas isto é absurdo.

Nota sobre o efeito quadrado

Considera um potencial da forma



Os auto-estados têm paridade definida. No caso das funções de onda para a energia  $E^*$  encontrada resolvendo-se (gasiorowicz pág 80):

$$K = q t \partial q a$$

onde  $-K^2 = \frac{2mE}{\hbar^2}$   $q^2 = \frac{2m}{\hbar^2} (V_0 - E)$  p/  $E < 0$

demotando  $\eta = K a$  e  $\epsilon = q a$  temos

$$\left\{ \begin{array}{l} \eta^2 + \epsilon^2 = \frac{2m a^2 V_0}{\hbar^2} \quad (A) \\ \eta = \epsilon t \partial \epsilon \end{array} \right.$$

Conforme  $V_0 \rightarrow 0$  temos  $\eta \sim \epsilon$  da A temos  $\eta \sim \epsilon \rightarrow 0$ , pois são nulas.

Dai

$$\epsilon t \partial \epsilon \rightarrow \epsilon^2 \quad \text{e} \quad p.$$

e da B temos  $\eta \sim \epsilon^2$

Logo da A movamente, demotando  $\epsilon = \frac{2m a^2 V_0}{\hbar^2}$

$$\eta^2 + \eta \approx \epsilon^2 \Rightarrow \eta \sim -\frac{1 \pm \sqrt{1+4\epsilon}}{2}$$

Como  $\sqrt{1+4\epsilon} \sim 1 + 2\epsilon$   $\Rightarrow \eta \sim -\frac{1 \pm (1+2\epsilon)}{2} \Rightarrow \eta \approx \begin{cases} \epsilon \\ -1-\epsilon \end{cases}$

$$\sqrt{\frac{2m|E|}{\hbar^2}} a \sim \frac{2m a^2 V_0}{\hbar^2} \Rightarrow |E| \sim \frac{2m a^2 V_0^2}{\hbar^2} \quad V_0 \rightarrow 0$$



## Desenvolvimento da expansão perturbativa

Suponha que conhecemos os auto-estados e autovetores exatos do problema

$$H_0 |n^{(0)}\rangle = E_n^{(0)} |n^{(0)}\rangle$$

O conjunto  $\{|n^{(0)}\rangle\}$  é completo e dar  $1 = \sum_n |n^{(0)}\rangle \langle n^{(0)}|$

Nós assumimos que não há degenerescência e podemos resolver

$$(H_0 + \lambda V)|n\rangle = E_n |n\rangle$$

Denotando

$$\Delta_n = E_n - E_n^{(0)}$$

temos

$$(E_n^{(0)} - H_0)|n\rangle = (\lambda V - \Delta_n)|n\rangle$$

Note que

$$\langle n^{(0)} | E_n^{(0)} - H_0 | n \rangle = 0$$

e dar  $(\lambda V - \Delta_n)|n\rangle$  não tem componente na direção de  $|n^{(0)}\rangle$ .

Portanto podemos atuar em  $(\lambda V - \Delta_n)|n\rangle$  com o operador inverso  $\frac{1}{E_n^{(0)} - H_0}$ .

Definimos o operador de projeção complementar

$$\phi_n \equiv 1 - |n^{(0)}\rangle \langle n^{(0)}| = \sum_{K \neq n} |K^{(0)}\rangle \langle K^{(0)}|$$

Podemos também atuar em  $\phi_n$  com  $\frac{1}{E_n^{(0)} - H_0}$  e dar

$$\frac{1}{E_n^{(0)} - H_0} \phi_n = \sum_{K \neq n} \frac{1}{E_n^{(0)} - E_K^{(0)}} |K^{(0)}\rangle \langle K^{(0)}|$$

Como  $(\lambda V - \Delta_m)|m\rangle$  não tem componentes na direção de  $|m^{(0)}\rangle$

$$(\lambda V - \Delta_m)|m\rangle = \phi_m (\lambda V - \Delta_m)|m\rangle$$

e daí

$$(-H_0 + E_m^{(0)})|m\rangle = \phi_m (\lambda V - \Delta_m)|m\rangle$$

Poderíamos pensar que

$$|m\rangle = \frac{1}{E_m^{(0)} - H_0} \phi_m (\lambda V - \Delta_m)|m\rangle$$

No entanto conforme  $\lambda \rightarrow 0$  temos  $|m\rangle \rightarrow |m^{(0)}\rangle$  e  $\Delta_m \rightarrow 0$ .

Portanto teríamos  $|m\rangle \rightarrow 0$ .

A solução constante é obtida adicionando-se um termo proporcional a  $|m^{(0)}\rangle$ , ou seja

$$|m\rangle = c_m(\lambda) |m^{(0)}\rangle + \frac{1}{E_m^{(0)} - H_0} \phi_m (\lambda V - \Delta_m)|m\rangle$$

Para que  $|m\rangle \xrightarrow{\lambda \rightarrow 0} |m^{(0)}\rangle$  precisamos

$$\lim_{\lambda \rightarrow 0} c_m(\lambda) \Rightarrow 1$$

~~Resposta~~  $c_m(\lambda) \xrightarrow{\lambda \rightarrow 0} 1$  Note que se escrivemos ( $k \neq m$ )

$$\frac{1}{E_m^{(0)} - H_0} |k^{(0)}\rangle = \sum_x c_x |x^{(0)}\rangle$$

obtemos

$$(E_m^{(0)} - H_0) \frac{1}{(E_m^{(0)} - H_0)} |k^{(0)}\rangle = |k^{(0)}\rangle = \sum_x c_x (E_m^{(0)} - E_x^{(0)}) |x^{(0)}\rangle$$

Portanto

$$c_l = 0 \quad \text{p/ } l \neq k \quad \text{e} \quad c_k = \frac{1}{E_m^{(o)} - E_k^{(o)}}$$

Dar

$$\frac{1}{E_m^{(o)} - H_0} |k^{(o)}\rangle = \frac{1}{E_m^{(o)} - E_k^{(o)}} |k^{(o)}\rangle$$

Como  $\phi_m(\lambda V - \Delta_m)|m\rangle$  não tem componente na direção de  $|m^{(o)}\rangle$ ,

Vamos que  $\frac{1}{E_m^{(o)} - H_0} (\lambda V - \Delta_m)|m\rangle$  também não tem. Como  $\langle m^{(o)} | m^{(o)} \rangle = 1$

obtemos então:

$$c_m(\lambda) = \langle m^{(o)} | m \rangle$$

Ao invés de adotar a normalização

$$\langle m | m \rangle = 1$$

Mais ~~mesmo~~ usaremos

$$\langle m^{(o)} | m \rangle = c_m(\lambda) = 1$$

Isto corresponde a introduzir um fator no fato normalizado  $|m\rangle$ .

Obtemos então

$$|m\rangle = |m^{(o)}\rangle + \frac{\phi_m}{E_m^{(o)} - H_0} (\lambda V - \Delta_m)|m\rangle$$

(5.1.34)

onde denotamos

$$\frac{1}{E_m^{(o)} - H_0} \phi_m \quad p_m \quad \frac{\phi_m}{E_m^{(o)} - H_0}$$

Note que como  $E_k^{(o)}$  não muda

$$\langle K^{(o)} | \frac{1}{E_m^{(o)} - H_0} = \langle K^{(o)} | \frac{1}{E_m^{(o)} - E_k^{(o)}}$$

e daí

$$\begin{aligned} \frac{1}{E_m^{(o)} - H_0} \phi_m &= \frac{1}{E_m^{(o)} - H_0} \sum_k \langle K^{(o)} | \langle K^{(o)} | = \sum_k \frac{1}{E_m^{(o)} - E_k^{(o)}} \langle K^{(o)} | \langle K^{(o)} | \\ &= \sum_k \langle K^{(o)} | \langle K^{(o)} | \frac{1}{E_m^{(o)} - H_0} = \phi_m \frac{1}{E_m^{(o)} - H_0} \end{aligned}$$

e ainda

$$\begin{aligned} \phi_m \frac{1}{E_m^{(o)} - H_0} \phi_m &= \phi_m \phi_m \frac{1}{E_m^{(o)} - H_0} = \sum_{K, L} \langle K^{(o)} | \langle K^{(o)} | \langle L^{(o)} | \langle L^{(o)} | \frac{1}{E_m^{(o)} - H_0} \\ &= \phi_m \frac{1}{E_m^{(o)} - H_0} \end{aligned}$$

On segue

$$\frac{1}{E_m^{(o)} - H_0} \phi_m = \phi_m \frac{1}{E_m^{(o)} - H_0} = \phi_m \frac{1}{E_m^{(o)} - H_0} \phi_m$$

Do fato que

$$\langle m^{(o)} | \lambda V - \Delta_m | m \rangle = 0 \quad \text{e} \quad \langle m^{(o)} | m \rangle = 1$$

obtemos

~~Assim~~

$$\boxed{\Delta_m = \langle m^{(o)} | \lambda V | m \rangle}$$

(S. 1.35)

10

Expandido  $|m\rangle$  e  $\Delta_m$  em série da potência de  $\lambda$  temos

$$|m\rangle = |m^{(0)}\rangle + \lambda |m^{(1)}\rangle + \lambda^2 |m^{(2)}\rangle + \dots$$

$$\Delta_m = \lambda \Delta_m^{(1)} + \lambda^2 \Delta_m^{(2)} + \dots$$

~~obtido~~ Não esperamos potências negativas de  $\lambda$  para  $|m\rangle$  mas deve ser singular para  $\lambda \rightarrow 0$

Da (S.1.33) obtemos

$$\lambda \Delta_m^{(1)} + \lambda^2 \Delta_m^{(2)} + \lambda^3 \Delta_m^{(3)} + \dots = \lambda \langle m^{(0)} | V | \{ |m^{(0)}\rangle + \lambda |m^{(1)}\rangle + \dots \} \}$$

colhendo os termos com mesma potência de  $\lambda$ :

$$\Delta_m^{(1)} = \langle m^{(0)} | V | m^{(1)} \rangle$$

$$\Delta_m^{(2)} = \langle m^{(0)} | V | m^{(2)} \rangle$$

$$\Delta_m^{(3)} = \langle m^{(0)} | V | m^{(3)} \rangle$$

: : !

$$\Delta_m^{(N)} = \langle m^{(0)} | V | m^{(N-1)} \rangle$$

Para saber a correta de ordem  $N$  no autovalor  $E_m$  precisamos conhecer  $|m\rangle$  até ordem  $(N-1)$ .

Da (S.1.34) obtemos

$$|m^{(0)}\rangle + \lambda |m^{(1)}\rangle + \dots = |m^{(0)}\rangle + \frac{\phi_m}{E_m^{(0)} - H_0} (\lambda V - \lambda \Delta_m^{(1)} - \lambda^2 \Delta_m^{(2)} - \dots) (|m^{(0)}\rangle + \lambda |m^{(1)}\rangle + \dots)$$

(S.1.38)

Em primeira ordem temos

$$\boxed{|\psi^{(1)}\rangle = \frac{\phi_m}{E_m^{(0)} - H_0} V |\psi^{(0)}\rangle} \quad (S.1.39)$$

$$V_{mn} V_{nj} \text{ fm } \phi_m \Delta_m^{(1)} |\psi^{(0)}\rangle = 0$$

Desta forma  $\Delta_m^{(1)}$  fica:

$$\boxed{\Delta_m^{(1)} = \langle \psi^{(0)} | V \frac{\phi_m}{E_m^{(0)} - H_0} V | \psi^{(0)} \rangle} \quad (S.1.40)$$

O termo da seguinte ordem em (S.1.39) fica:

$$|\psi^{(2)}\rangle = \frac{\phi_m}{E_m^{(0)} - H_0} \left\{ V |\psi^{(1)}\rangle - \Delta_m^{(1)} |\psi^{(1)}\rangle \right\} - \underbrace{\frac{\phi_m}{E_m^{(0)} - H_0} \Delta_m^{(1)} |\psi^{(1)}\rangle}_{\text{II}}$$

ou seja

$$\boxed{|\psi^{(2)}\rangle = \frac{\phi_m}{E_m^{(0)} - H_0} V \frac{\phi_m}{E_m^{(0)} - H_0} V |\psi^{(0)}\rangle - \frac{\phi_m}{E_m^{(0)} - H_0} \langle \psi^{(0)} | V | \psi^{(0)} \rangle \frac{\phi_m}{E_m^{(0)} - H_0} V |\psi^{(0)}\rangle}$$

Denotando

$$V_{mn} = \langle \psi^{(0)} | V | \psi^{(0)} \rangle$$

temos

$$\boxed{\Delta_m^{(1)} = V_{mm}}$$

d

$$\Delta_m^{(2)} = \langle m^{(0)} | V \frac{1}{E_m^{(0)} - H_0} \sum_{l \neq m} | l^{(0)} \rangle \langle l^{(0)} | V | m^{(0)} \rangle$$

$$\Delta_m^{(2)} = \sum_{l \neq m} \frac{V_{ml} V_{lm}}{E_m^{(0)} - E_l^{(0)}} \Rightarrow$$

$$\Delta_m^{(2)} = \sum_{l \neq m} \frac{|V_{ml}|^2}{E_m^{(0)} - E_l^{(0)}}$$

Para a função de onda obtemos

$$|m^{(1)}\rangle = \frac{1}{E_m^{(0)} - H_0} \sum_{K \neq m} |K^{(0)}\rangle \langle K^{(0)}| V |m^{(0)}\rangle$$

$$|m^{(1)}\rangle = \sum_{K \neq m} \frac{V_{km}}{E_m^{(0)} - E_K^{(0)}} |K^{(0)}\rangle$$

$$|m^{(2)}\rangle = \sum_{K \neq m} \sum_{l \neq m} \frac{1}{E_m^{(0)} - H_0} |K^{(0)}\rangle \langle K^{(0)}| V \frac{1}{E_m^{(0)} - H_0} |l^{(0)}\rangle \langle l^{(0)}| V |m^{(0)}\rangle -$$

$$- \sum_{K \neq m} \sum_{l \neq m} \frac{1}{E_m^{(0)} - H_0} |K^{(0)}\rangle \langle K^{(0)}| \frac{1}{E_m^{(0)} - H_0} |l^{(0)}\rangle \langle l^{(0)}| V |m^{(0)}\rangle \langle m^{(0)}| V |m^{(0)}\rangle$$

$$|m^{(2)}\rangle = \sum_{K \neq m} \sum_{l \neq m} \frac{V_{kl} V_{lm}}{(E_m^{(0)} - E_K^{(0)}) (E_m^{(0)} - E_l^{(0)})} |K^{(0)}\rangle - \sum_{K \neq m} \frac{V_{mm} V_{km}}{(E_m^{(0)} - E_K^{(0)})^2} |K^{(0)}\rangle$$

## Comentários

- 1) Para obter o shift de energia em primeira ordem é preciso calcular o valor esperado de  $V$  com respeito aos estados não perturbados
- 2) Note que se temos dois estados num ~~espaço~~ (por exemplo  $E_m^{(0)} > E_n^{(0)}$ ) tal que  $V_{mn} \neq 0$  então da expressão de  $\Delta_m^{(1)}$  vemos que elas tendem a se anular pois  $\Delta_m$  terá uma contribuição

$$\frac{|V_{mn}|^2}{E_m^{(0)} - E_n^{(0)}} > 0$$

e  $\Delta_m$  terá uma contribuição igual e de sinal oposto

Isto é um caso particular do "no-level crossing theorem" que diz que para dois estados conectados pela perturbação ( $V_{ij} \neq 0$ ) não haverá grande alteração da intensidade da perturbação se variada.

- 3) A contribuição de segunda ordem para  $\Delta_m$  é sempre negativa para  $m$  sendo o estado fundamental. Ou seja a mistura do estado fundamental ( $V_{0i} \neq 0$ ) com os outros estados tende a diminuir a energia do estado fundamental.

- 4) Se  $\left| \frac{V_{ij}}{E_i^{(0)} - E_j^{(0)}} \right|$  é pequeno esperar-se que as perturbações convirjam. No caso em que  $H_0$  é o operador de energia cinética a perturbação de Rayleigh-Schrödinger é a Lívia de Born. Para uma energia  $E_0 < 0$  a Lívia de Born converge se o commento de  $H_0 + V$  menor que  $H_0 - V$  mas tem estados ligados para energia  $E \leq E_0$ .

## Normalizações da função da onda

Nós normalizamos o estado perturbado  $|m\rangle$  como

$$\langle m^{(0)} | m \rangle = 1$$

e não como  $\langle m | m \rangle = 1$ .

Definimos então o estado perturbado normalizado como

$$|m\rangle_N = z_m^{\frac{1}{2}} |m\rangle$$

onde  $z$  é determinado por

$$\langle m | m \rangle_N = 1$$

Dai

$$\langle m^{(0)} | m \rangle_N = z_m^{\frac{1}{2}}$$

Significado de  $z_m$ : é a probabilidade de encontrar o estado perturbado no estado não perturbado correspondente

Temos

$$\langle m | m \rangle_N = z_m \langle m | m \rangle = 1$$

e

$$\begin{aligned} z_m^{-1} &= \langle m | m \rangle = (\langle m^{(0)} | + \lambda \langle m^{(1)} | + \dots) (| m^{(0)} \rangle + \lambda | m^{(1)} \rangle + \dots) \\ &= 1 + \lambda^2 \langle m^{(1)} | m^{(1)} \rangle + O(\lambda^3) \end{aligned}$$

uma vez que  $|m^{(1)}\rangle$  e  $|m^{(2)}\rangle$  não têm componente na direção de  $|m^{(0)}\rangle$ .

Dai

$$\begin{aligned} z_m^{-1} &= 1 + \lambda^2 \sum_{K, K' \neq m} \langle K^{(0)} | \frac{V_{mK'}}{(E_m^{(0)} - E_{K'}^{(0)})} \frac{V_{mK}}{(E_m^{(0)} - E_K^{(0)})} | K^{(0)} \rangle + \dots \\ &= 1 + \lambda^2 \sum_{K \neq m} \frac{|V_{mK}|^2}{(E_m^{(0)} - E_K^{(0)})^2} + O(\lambda^3) \end{aligned}$$

~~$$(1 + \varepsilon^*)^{-1} = 1 - \varepsilon \varepsilon + O(\varepsilon^2)$$~~

On seje até segunda ordem temos

$$z_m = 1 - \lambda^2 \sum_{K \neq m} \frac{|V_{mK}|^2}{(E_m^{(0)} - E_K^{(0)})^2} + O(\lambda^3)$$

Note que  $z_m \leq 1$

Esta é a probabilidade do estado ~~no~~ perturbado  $|m\rangle$  estar no estado não perturbado  $|m^{(0)}\rangle$ . O 2º termo ~~mostra~~ mostra a probabilidade de estar em outros estados.

Como

$$E_m = \Delta_m + E_m^{(0)} = E_m^{(0)} + \lambda V_{mm} + \lambda^2 \sum_{K \neq m} \frac{|V_{mK}|^2}{(E_m^{(0)} - E_K^{(0)})} + O(\lambda^3)$$

Vemos que (considerando a dependência explícita em  $E_m^{(0)}$  somente)  $\frac{\partial E_m}{\partial E_m^{(0)}} = 1 + \lambda^2 \sum_{K \neq m} \frac{|V_{mK}|^2}{(E_m^{(0)} - E_K^{(0)})^2} + O(\lambda^3)$

On seje

$$z_m = \frac{\partial E_m}{\partial E_m^{(0)}} + O(\lambda^3)$$

Este resultado é na verdade mais geral e vale para outras ordens da perturbação.

### Um exemplo trivial

Consideremos um oscilador harmônico unidimensional

$$H = \frac{P^2}{2m} + \frac{1}{2} m \omega^2 x^2$$

com uma perturbação

$$V = \frac{1}{2} \epsilon m \omega^2 x^2$$

que corresponde a mudar a constante da mola  $K = m\omega^2$  por  $(1+\epsilon)K$ . É claro que a solução exata é obtida substituindo  $\omega$  por  $\sqrt{1+\epsilon}\omega$ .

Vamos no entanto ver o que ocorre no estado fundamental.

Temos

$$|0\rangle = |0^{(0)}\rangle + \sum_{k \neq 0} \frac{V_{k0}}{E_0^{(0)} - E_k^{(0)}} |k^{(0)}\rangle + \dots$$

$$\Delta_0 = V_{00} + \sum_{k \neq 0} \frac{|V_{mol}|^2}{E_0^{(0)} - E_k^{(0)}} + \dots$$

O problema simplifica bastante porque somente dois elementos da matriz  $V_{k0}$  contribuem.

$$V_{00} = \frac{\epsilon m \omega^2}{2} \langle 0^{(0)} | x^2 | 0^{(0)} \rangle = \frac{\epsilon \hbar \omega}{4}$$

$$V_{20} = \frac{\epsilon m \omega^2}{2} \langle 2^{(0)} | x^2 | 0^{(0)} \rangle = \frac{\epsilon \hbar \omega}{2\sqrt{2}}$$

Como a perturbação é par nos  $x \rightarrow -x$  somente os elementos  $V_{2n,0}$  são maios. Fica como exercício mostrar que  $V_{2n,0} = 0$  p/mjz

Seja ento que

$$|0\rangle = |0^{(0)}\rangle + \frac{\varepsilon \hbar \omega}{2\sqrt{2}} \frac{1}{\frac{1}{2}\hbar\omega - (\omega_0 - \frac{1}{2}\hbar\omega)} |2^{(0)}\rangle$$

$$|0\rangle = |0^{(0)}\rangle - \frac{\varepsilon}{4\sqrt{2}} |2^{(0)}\rangle + O(\varepsilon^2)$$

$$\Delta_0 = \hbar\omega \left[ \frac{\varepsilon}{4} - \frac{\varepsilon^2}{16} + O(\varepsilon^3) \right]$$

O estado  $|0\rangle$  mas tem componente na direção de  $|1^{(0)}\rangle$

Portanto  $H$  (total) é invariante por  $x \rightarrow -x$ .

Comparando com o resultado exato

$$\frac{\hbar\omega}{2} \rightarrow \frac{\hbar\omega}{2} \sqrt{1+\varepsilon} = \frac{\hbar\omega}{2} \left[ 1 + \frac{\varepsilon}{2} - \frac{\varepsilon^2}{8} \dots \right]$$

Portanto, existe uma total concordância.

Note que a energia do estado fundamental aumenta

$$\begin{array}{c} \frac{5}{2}\hbar\omega \\ \hline \end{array}$$
  
$$\begin{array}{c} \frac{3}{2}\hbar\omega \\ \hline \end{array}$$
  
$$\begin{array}{c} \frac{1}{2}\hbar\omega \\ \hline \end{array} \quad \frac{\hbar\omega}{2} \left( 1 + \frac{\varepsilon}{2} - \frac{\varepsilon^2}{8} \dots \right)$$

Como observamos anteriormente a mistura do estado fundamental com outros estados  $V_{n \neq 0}$  diminui, em seguida ordem a energia do estado fundamental.

Vejamos a mudança da função de onda. Temos

$$\langle x | 0^{(0)} \rangle = \frac{1}{\pi^{1/4}} \frac{1}{\sqrt{x_0}} e^{-x^2/2x_0^2} \quad x_0 = \sqrt{\frac{\hbar}{m\omega}}$$

fazendo

$$x_0 \rightarrow \frac{x_0}{(1+\varepsilon)^{1/4}}$$

Obtemos

$$\langle x | 10^{(0)} \rangle \Rightarrow \frac{1}{\pi^{1/4}} \frac{1}{\sqrt{x_0}} (1+\varepsilon)^{1/8} \exp \left[ -\frac{x^2}{2x_0} (1+\varepsilon)^{1/2} \right]$$

$$(1+\varepsilon)^{1/8} \sim 1 + \frac{1}{8} \varepsilon + O(\varepsilon^2)$$

$$e^{\lambda(1+\varepsilon)^{1/8}} \sim e^\lambda + \frac{\lambda}{2} e^\lambda \varepsilon + O(\varepsilon^2)$$

e daí

$$\langle x | 10^{(0)} \rangle \Rightarrow \frac{1}{\pi^{1/4}} \frac{1}{\sqrt{x_0}} \left\{ e^{-\frac{x^2}{2x_0}} + \varepsilon \left[ \frac{1}{8} - \frac{x^2}{4x_0} \right] e^{-\frac{x^2}{2x_0}} + O(\varepsilon^2) \right\}$$

$$= \langle x | 10^{(0)} \rangle - \frac{\varepsilon}{4\sqrt{2}} \langle x | 12^{(0)} \rangle + \dots$$

onde

$$\langle x | 12^{(0)} \rangle = \frac{1}{2\sqrt{2}} \frac{1}{\pi^{1/4}} \frac{1}{\sqrt{x_0}} e^{-\frac{x^2}{2x_0}} \left[ -2 + 4 \frac{x^2}{x_0} \right]$$

Como

$$\frac{V_{20}}{E_0^{(0)} - E_2^{(0)}} = \frac{\varepsilon \hbar \omega}{2\sqrt{2}} \frac{1}{\hbar \omega} \left( \frac{1}{\frac{1}{2} - (z + \frac{1}{2})} \right) = -\frac{\varepsilon}{4\sqrt{2}}$$

Vemos que o resultado concorda com o da teoria de perturbação. (como vimos anteriormente)

## O Efeito Stark

Campo elétrico aplicado em um átomo de um elítron (átomo de hidrogênio) em átomo com um elítron de valência fora da camada externa formada pelos demais elétros.

A Hamiltoniana é

$$H = H_0 + V \quad \text{onde} \quad H_0 = \frac{P^2}{2m} + V(r) \quad (V_0 - \text{Coulomb potential}) \\ \text{ou} \quad V = -e|E|z \quad (\text{e} \approx \text{pl. elítron}) \\ \text{em que o campo elétrico está na direção } z \quad \begin{matrix} \uparrow \vec{E} \\ \nearrow \\ x \end{matrix}$$

(em outra direção relevante ao átomo)

Importante: O spin do elítron não tem importância neste problema. Portanto se ignorarmos os graus de liberdade associados ao spin, os níveis de energia não são degenerados.

Assumimos que as autofunções de  $H_0$  são conhecidas

Denotando  $\tilde{z}_{Kl} = \langle k^{(0)} | \tilde{z} | l^{(0)} \rangle$

temos

$$\Delta_K = -e|E|z_{KK} + e^2|E|^2 \sum_{j \neq K} \frac{|z_{Kj}|^2}{E_K^{(0)} - E_j^{(0)}} + \dots$$

A Hamiltoniana ~~é~~ <sup>não perturbada</sup> invariante sob inversão espacial e como estamos assumindo que os estados não são degenerados obtemos pelo Teorema da Seção 4.2 que  $|K^{(0)}\rangle$  deve ter paridade definida. Segundo entro que

$$\langle K^{(0)} | \tilde{z} | K^{(0)} \rangle = z_{KK} = 0$$

Portanto não existe contribuições em primeiro orden a energia.  
Isto está relacionado com o fato que os átomos não têm um dipolo elétrico, uma vez que os estados têm paridade definida.

~~Entretanto~~ Note que o Teorema 4.1.2 deixa de ser válido quando há degenerescência. ~~Existe um efeito Stark linear~~  
~~não~~ caso de haver degenerescência.

Denotaremos por

- $m$  - m<sup>o</sup> quantico principal
- $l$  - momento angular  $L$
- $m'$  - Componente  $z$  de  $L$ ,  $L_z$

Usando as regras da seção (3.10.39) (teorema de Wigner-Eckart)

$$\langle m' l' m' | z | M l m \rangle = 0 \quad \text{exeto} \quad l' = l+1 \\ m' = m$$

Uma maneira alternativa de ver isto é: O campo elétrico aponta na direção  $z$  e portanto quebra a simetria espacial de  $H$ . No entanto  $H$  ainda é invariante por rotações em torno do eixo  $z$ .  $[V, L_z] = 0$

Portanto  $m$  é um bom m<sup>o</sup> quantico na presença de  $V$ .

$$L_z | \frac{m}{\hbar} \rangle = m | \frac{m}{\hbar} \rangle$$

$$\text{então } L_z V | \frac{m}{\hbar} \rangle = V L_z | \frac{m}{\hbar} \rangle = m V | \frac{m}{\hbar} \rangle$$

$$\text{Dai } \langle l^m | V | \frac{m}{\hbar} \rangle = 0 \quad \text{se } l \neq m$$

Logo a série perturbativa vai involver uma superposição de autoestados com mesmos autovalores de  $L_z$ .

\* Isto é verdade em todas ordens da perturbação.

A polarizabilidade  $\alpha$  de um átomo é definida em termo da variação da energia do estado

$$\Delta = -\frac{1}{2} \propto |E|^2 \quad (\text{cada estado tem} \propto \text{um} \propto)$$

Consideremos o estado fundamental do hidrogênio, que é não degenerado. Denotamos

$$|1^{\text{so}}\rangle = |1,0,0\rangle$$

Dar

$$\alpha = -2e^2 \sum_{K \neq 0}^{\infty} \frac{|\langle K^{\text{so}} | z | 1,0,0 \rangle|^2}{|E_0^{\text{so}} - E_K^{\text{so}}|}$$

A soma inclui todos os estados ligados (metas) e também o espectro contínuo de energia positiva.

Vamos calcular a soma da maneira mais simples:

Suponha que o denominador seja constante

$$\begin{aligned} \sum_{K \neq 0} |\langle K^{\text{so}} | z | 1,0,0 \rangle|^2 &= \sum_{\text{todos } K} \langle 1,0,0 | z | K^{\text{so}} \rangle \langle K^{\text{so}} | z | 1,0,0 \rangle - \\ &\quad - |\langle 1,0,0 | z | 1,0,0 \rangle|^2 \quad \text{↑ Muito difícil a} \\ &= \langle 1,0,0 | z^2 | 1,0,0 \rangle \quad \text{paridade definida} \\ &\quad \quad \quad \text{de } |1,0,0\rangle \end{aligned}$$

Devido à simetria espacial do estado fundamental.

$$\langle x^2 \rangle = \langle y^2 \rangle = \langle z^2 \rangle = \frac{1}{3} \langle r^2 \rangle$$

é usável a expressão p/ a função de onda

$$\langle z^2 \rangle = a_0^2$$

$a_0$  - raio de Bohr.

$$a_0 = \frac{\hbar^2}{m e^2} \sim \underline{0,529 \text{ \AA}}$$

temos com relação ao denominador temos:

$$-E_0^{(0)} + E_K^{(0)} \geq -E_0^{(0)} + E_r^{(0)} = \frac{e^2}{2a_0} \left[ 1 - \frac{1}{4} \right]$$

uma vez que  $E_{MM}^{(0)} = -\frac{m e^4}{2t^2 n^2} = -\frac{e^2}{2a_{MM}^2} \approx -\frac{13.6}{n^2}$  e.v

Portanto encontramos um limite superior para  $\alpha$

$$\alpha < +2e^2 a_0^2 \frac{4}{3} \frac{2a_0}{e^2} \Rightarrow \alpha < \frac{16}{3} a_0^3 \sim 5.3 a_0^3$$

Observando o resultado exato pode ser obtido usando-se a equação de Schrödinger em coordenadas parabólicas, Dalgarno e Lewis em 55 apresentaram um método para calcular a soma exatamente. O resultado é: (veja verso)

$$\alpha = \frac{9 a_0^3}{2} = 4.5 a_0^3$$

e dar

$$\Delta_0 = -\frac{9}{4} a_0^3 |E|^2$$

ou seja a energia do estado fundamental diminui (uma vez que a contribuição é de 2<sup>o</sup> ordem). Podemos ver isso como: o campo E é um dipolo elétrico p no atomo que ganya entrar uma energia ~~maior~~ negativa  $-pE$

Cálculo exato da soma (Menzbacher pag 424)

Suponha que existe um operador  $F$  tal que

$$\langle \tilde{z} | 0^{(0)} \rangle = (F H_0 - H_0 F) | 0^{(0)} \rangle = [F, H_0] | 0^{(0)} \rangle$$

Note que mas pedimos  $\tilde{z} = [F, H_0]$  !!

Dar

$$\begin{aligned} \langle k^{(0)} | \tilde{z} | 0^{(0)} \rangle &= \langle k^{(0)} | F H_0 - H_0 F | 0^{(0)} \rangle = \\ &= (E_0^{(0)} - E_k^{(0)}) \langle k^{(0)} | F | 0^{(0)} \rangle \end{aligned}$$

Então

$$\begin{aligned} \sum_{K \neq 0} \frac{|\langle k^{(0)} | \tilde{z} | 0^{(0)} \rangle|^2}{E_0^{(0)} - E_K^{(0)}} &= \cancel{\sum_{K \neq 0} |\langle k^{(0)} | \tilde{z} | 0^{(0)} \rangle|^2} \\ &= \sum_{K \neq 0} \langle 0^{(0)} | \tilde{z} | K^{(0)} \rangle \langle K^{(0)} | F | 0^{(0)} \rangle \\ &= \cancel{\sum_{K \neq 0}} \langle 0^{(0)} | \tilde{z} F | 0^{(0)} \rangle - \langle 0^{(0)} | \tilde{z} | 0^{(0)} \rangle \langle 0^{(0)} | F | 0^{(0)} \rangle \end{aligned}$$

onde usamos  $1 = \sum_{K \neq 0} |\langle K^{(0)} | \tilde{z} | K^{(0)} \rangle|^2$  para padronizar

O operador tem que ser encontrado de alguma maneira. Esta é a dificuldade do método. Obtem-se

$$F = -\frac{m a_0}{\hbar^2} \left(\frac{r}{2} + a_0\right) \tilde{z}$$

Dar

$$\sum_{K \neq 0} \frac{|\langle z_{0K} |}{E_0^{(0)} - E_K^{(0)}} = -\frac{m a_0}{\hbar^2} \langle 0^{(0)} | \left(\frac{r}{2} + a_0\right) \tilde{z}^2 | 0^{(0)} \rangle$$

Devido à simetria esférica do estado fundamental

$$\langle f(r) z^2 \rangle_0 = \langle f(r) x^2 \rangle_0 = \langle f(r) y^2 \rangle_0 = \langle f(r) \frac{r^2}{3} \rangle_0.$$

Usando

$$\langle r^m \rangle_0 = \frac{a_0^m}{z^{m+1}} (m+2)!$$

temos

$$\langle \frac{r^2 z^2}{2} \rangle = \langle \frac{r^4}{2} \frac{r^2}{3} \rangle = \frac{1}{6} \langle r^6 \rangle = \frac{\frac{3}{2} a_0^3}{6 \cdot 2^4} 1.2.3.4.5.7 = \frac{5}{4} a_0^3$$

~~$$\langle z^2 \rangle_0 = \langle \frac{r^2}{3} \rangle = \frac{1}{2} \frac{a_0^2}{2^3} 1.2.3.4 = a_0^2$$~~

Então

$$\sum_{K \neq 0} \frac{|Z_{0K}|^2}{E_0^{(0)} - E_K^{(0)}} = - \frac{m a_0}{\hbar^2} \left\{ \frac{5}{4} a_0^3 + a_0^2 \right\} = - \frac{9}{4} \frac{m a_0^4}{\hbar^2}$$

$$\text{Dai, } \alpha \propto -2e^2 \text{ visto que } \alpha \propto m \epsilon^2 \quad \left( a_0 = \frac{\hbar^2}{m e^2} \right)$$

$$\alpha = -\frac{9}{2} a_0^3$$

## Perturbações independentes do tempo: Caso degenerado

Nós assumimos no caso mais degenerado que  $|m\rangle \xrightarrow{\Delta \neq 0} |m'\rangle$

No caso degenerado existem vários estados  $\in$  perturbados com a mesma energia e quando  $\Delta \neq 0$  não é óbvio para qual combinação deles  $|m\rangle$  tenderá.

Precisamos de outras observáveis ~~que~~ que combinam com a hamiltoniana para completar o quadro. Os estados  $|k^{(0)}\rangle$  servem para K denota um conjunto de níveis quanticos.

Por outro lado a fórmula do caso ~~de~~  $\in$  degenerado

$$\frac{V_{mk}}{E_m^{(0)} - E_k^{(0)}}$$

apresentaria problemas se aplicada ao caso degenerado pois

se  $V_{mk} \neq 0$  e  $E_m^{(0)} = E_k^{(0)}$  iria divergir.

Escolha de "espaço": Nós temos liberdade para escolher a base do subespaço gerado pelos estados degenerados. Podemos escolher-lo da tal modo que V seja diagonal, ou seja  $V_{mn}=0$  para  $m \neq n$ .

Sugomos que existe uma degenerescência da forma geral já antes da perturbação V ser considerada.

Temos um conjunto  $\{|m^{(0)}\rangle\}$  de j estados com energia  $E_0^{(0)}$

Em geral V quebra a degenerescência e temos um conjunto  $\{|l\rangle\}$  de j estados  $\in$  degenerados. Quando  $\Delta \neq 0$  temos

$|l\rangle \rightarrow |l^{(0)}\rangle$  e o conjunto  $\{|l^{(0)}\rangle\}$  tem o mesmo

subespaço que  $\{|m^{(0)}\rangle\}$ . No entanto  $\{|m^{(0)}\rangle\}$  e  $\{|l^{(0)}\rangle\}$  podem ser diferentes.

Dar

$$|\lambda^{(0)}\rangle = \sum_{m \in D} \langle m^{(0)} | \lambda^{(0)} \rangle |m^{(0)}\rangle$$

• Analogamente ao caso não degenerado temos

$$(H_0 + \lambda V) |\lambda\rangle = E_\lambda |\lambda\rangle$$

$$\therefore (E_D^{(0)} - H_0) |\lambda\rangle = (\lambda V - E_\lambda) |\lambda\rangle \quad \text{onde } \Delta_\lambda = E_\lambda - E_D^{(0)}$$

Expandido  $|\lambda\rangle$  e  $\Delta_\lambda$

$$|\lambda\rangle = |\lambda^{(0)}\rangle + \lambda |\lambda^{(1)}\rangle + \dots$$

$$\Delta_\lambda = \lambda \Delta_g^{(1)} + \lambda^2 \Delta_\lambda^{(2)} + \dots$$

Em primeira ordem

$$(E_D^{(0)} - H_0) |\lambda^{(0)}\rangle = (V - \Delta_g^{(1)}) |\lambda^{(0)}\rangle \quad (\text{S. 2. 5})$$

$$= (V - \Delta_g^{(1)}) \left\{ \sum_m \langle m^{(0)} | \lambda^{(0)} \rangle |m^{(0)}\rangle \right\}$$

Multiplicando por  $\langle m^{(1)} |$

$$\langle m^{(1)} | E_D^{(0)} - H_0 | \lambda^{(1)} \rangle = \sum_m \langle m^{(1)} | V | m^{(0)} \rangle \underbrace{\langle m^{(0)} | \lambda^{(0)} \rangle}_{\Delta_g^{(1)}} - \Delta_\lambda^{(1)} \langle m^{(1)} | \lambda^{(0)} \rangle$$

O lado esquerdo é nulo, e dar

~~É só somar~~

$$\sum_m V_{m'm} \langle m^{(0)} | \lambda^{(0)} \rangle = \Delta_\lambda^{(1)} \langle m^{(1)} | \lambda^{(0)} \rangle \quad (\text{S. 2. 6})$$

Em forma matricial

$$\begin{pmatrix} V_{11} & V_{12} & \dots \\ V_{21} & V_{22} & \dots \\ \vdots & \vdots & \ddots \end{pmatrix} \begin{pmatrix} \langle 1^{(0)} | \lambda^{(0)} \rangle \\ \langle 2^{(0)} | \lambda^{(0)} \rangle \\ \vdots \end{pmatrix} = \Delta_\lambda^{(1)} \begin{pmatrix} \langle 1^{(0)} | \lambda^{(0)} \rangle \\ \vdots \\ \langle m^{(1)} | \lambda^{(0)} \rangle \end{pmatrix} \quad (\text{S. 2. 7})$$

Para que haja soluções é necessário

$$\det(V - \Delta_{\lambda}^{(1)} I) = 0$$

As raízes da equação scalan fornecem os autovalores  $\Delta_{\lambda}^{(1)}$  (g deles). Substituindo em (5.27) encontramos  $\langle m^{(0)} | \lambda^{(0)} \rangle$  para cada  $\lambda$ , a menos de normalizações.

~~O~~btémos então  $\Delta_{\lambda}^{(1)} \neq \langle \lambda^{(0)} | \lambda^{(0)} \rangle$  para cada  $\lambda$ .

Note que  $\lambda^{(0)}$  diagonaliza  $V$

$$\langle \lambda^{(0)} | V | \lambda^{(0)} \rangle =$$

$$\langle \bar{\lambda}^{(0)} | V | \lambda^{(0)} \rangle = \sum_{m, m'} \underbrace{\langle m^{(0)} | V | m^{(0)} \rangle}_{V_{m'm}} \langle m^{(0)} | \lambda^{(0)} \rangle \langle \bar{\lambda}^{(0)} | m^{(0)} \rangle$$

$$= \Delta_{\lambda}^{(1)} \sum_{m'} \langle m^{(0)} | \lambda^{(0)} \rangle \langle \bar{\lambda}^{(0)} | m^{(0)} \rangle$$

$$\text{por outro lado} = \Delta_{\bar{\lambda}}^{(1)} \langle \bar{\lambda}^{(0)} | \lambda^{(0)} \rangle$$

$$= \sum_m \langle m^{(0)} | \lambda^{(0)} \rangle \langle \bar{\lambda}^{(0)} | m^{(0)} \rangle \Delta_{\bar{\lambda}}^{(1)}$$

$$= \Delta_{\bar{\lambda}}^{(1)} \langle \bar{\lambda}^{(0)} | \lambda^{(0)} \rangle$$

Assumimos que as raízes da eq. scalan não são degeneradas, isto é, a degenerescência do sistema é quebrada totalmente em 1º orden. Daí

$$\langle \bar{\lambda}^{(0)} | \lambda^{(0)} \rangle (\Delta_{\bar{\lambda}}^{(1)} - \Delta_{\lambda}^{(1)}) = 0 \Rightarrow \langle \bar{\lambda}^{(0)} | \lambda^{(0)} \rangle = 0 \quad \text{p/ } \lambda \neq \bar{\lambda}$$

consequentemente

$$\langle \bar{\lambda}^{(0)} | V | \lambda^{(0)} \rangle = \Delta_{\lambda}^{(1)} \delta_{\lambda, \bar{\lambda}}$$

Note que a expressão de  $\Delta_{\lambda}^{(1)}$

$$\Delta_{\lambda}^{(1)} = \langle \lambda^{(1)} | V | \lambda^{(1)} \rangle$$

é bastante parecida com a expressão para  $\Delta_{\mu}^{(1)}$  no caso do gerador  
e no entanto aqui  $V$  não tem elementos fora da diagonal.

Considerem a eq. (5.2.5)

$$(E_0^{(1)} - H_0) |\lambda^{(1)}\rangle = (V - \Delta_{\lambda}^{(1)}) |\lambda^{(1)}\rangle$$

Defina o op. da projeção complementar

$$\phi_D = 1 - \sum_{m \in D} |m^{(1)}\rangle \langle m^{(1)}| = \sum_{k \notin D} |k^{(1)}\rangle \langle k^{(1)}|$$

Novamente  $(V - \Delta_{\lambda}^{(1)}) |\lambda^{(1)}\rangle$  não tem componentes no subespaço  
de gerador pois é multiplicando por qualche  $|k^{(1)}\rangle$  de quel subesp.

$$\langle m^{(1)} | V - \Delta_{\lambda}^{(1)} | \lambda^{(1)} \rangle = 0$$

Dar

$$\phi_D (V - \Delta_{\lambda}^{(1)}) |\lambda^{(1)}\rangle = (V - \Delta_{\lambda}^{(1)}) |\lambda^{(1)}\rangle = \phi_D V |\lambda^{(1)}\rangle$$

O operador  $\frac{1}{E_0^{(1)} - H_0}$  é um singular juntando junto a  $\phi_D$

Dar

$$|\lambda^{(1)}\rangle = \frac{1}{E_0^{(1)} - H_0} \phi_D V |\lambda^{(1)}\rangle$$

Usando a definição de  $\phi_D$

$$|\lambda^{(1)}\rangle = \sum_{k \notin D} \frac{V_{k\lambda}}{E_0^{(1)} - E_k^{(1)}} |k^{(1)}\rangle$$

Como no caso de  $\bar{m}$  degenerado adotaremos a normalização

$$\langle \lambda^{(0)} | \lambda \rangle = 1$$

Dar de

$$(E_D^{(0)} - H_0) |\lambda\rangle = (\lambda V - \Delta_\lambda) |\lambda\rangle$$

temos

$$\Delta_\lambda = \lambda \langle \lambda^{(0)} | V | \lambda \rangle$$

usando a expansão

$$\lambda \langle \lambda^{(0)} | V \left\{ |\lambda^{(0)}\rangle + \lambda |\lambda^{(1)}\rangle + \dots \right\} = \lambda \Delta_\lambda^{(1)} + \lambda^2 \Delta_\lambda^{(2)} + \dots$$

Em 2<sup>o</sup> orden temos

$$\Delta_\lambda^{(2)} = \langle \lambda^{(0)} | V | \lambda^{(1)} \rangle = \langle \lambda^{(0)} | V \frac{\phi_D}{E_D^{(0)} - H_0} V | \lambda^{(0)} \rangle$$

dar

$$\boxed{\Delta_\lambda^{(2)} = \sum_{K \notin D} \frac{|V_{K\lambda}|^2}{E_D^{(0)} - E_K^{(0)}}}$$

Nota: para este procedimento funcionar desde que não haja degenerescências mas range da eg. similar, ~~o tipo~~

Para o método funcionar é preciso que a degenerescências do sistema sejam eliminadas totalmente em 1<sup>o</sup> orden de perturbações.

## Efeito Stark linear

Resolvendo-se a eq. de Schrödinger para os átomos de H levando-se em conta apenas o potencial Coulombiano obtémos que a energia depende somente do número quantico principal  $n$

$$E_n^{(0)} = -\frac{e^2}{2a_0 n^2}$$

Portanto com exceção do estado fundamental, todos os demais estados são degenerados. Para um dado  $n$  temos

$$0 \leq l < n \quad -l \leq m \leq l$$

Consideremos  $n=2$ .

$$2S \quad \begin{array}{c} m=0 \\ l=0 \end{array}$$

$$2P \quad \begin{array}{c} m=-1 \\ l=1 \\ m=0 \\ l=1 \\ m=1 \end{array}$$

$$E_2^{(0)} = -\frac{e^2}{8a_0^2}$$

A perturbação é

$$V = -\epsilon z |E|$$

Como vimos, temos que diagonalizem  $V$  no subespaço dos estados degenerados

- $V$  possui elementos da matriz não nulos somente entre estados de paridade opostas.
- além disso os valores de  $m$  têm que ser iguais uma vez que  $(L_z, V) = 0$

Dar

$$\text{Dar } \begin{pmatrix} 2s & \overset{\text{2p}}{\underset{\substack{m=0 \\ m=1 \\ m=-1}}{\left| \begin{array}{ccc} 0 & \langle 2s | 2p, m=0 \rangle & 0 \\ \langle 2p, m=0 | v | 2s \rangle & 0 & 0 \\ 0 & 0 & 0 \\ 0 & 0 & 0 \end{array} \right|}} \end{pmatrix}$$

Fazendo o cálculo exato

$$\langle 2s | v | 2p, m=0 \rangle = \langle 2p, m=0 | v | 2s \rangle = 3e a_0 | EI |$$

Dar (uma vez que só importa a matriz  $2 \times 2$  no topo à esquerda)

$$\det \left( 3e a_0 | EI | \begin{pmatrix} 0 & 1 \\ 1 & 0 \end{pmatrix} - \lambda \begin{pmatrix} 1 & 0 \\ 0 & 1 \end{pmatrix} \right) = \det \begin{pmatrix} -\lambda & 3e a_0 | EI | \\ 3e a_0 | EI | & -\lambda \end{pmatrix}$$

$$= \lambda^2 - (3e a_0 | EI |)^2 = 0 \Rightarrow \lambda = \pm 3e a_0 | EI |$$

Para se juntar os resultados ~~para~~ para a combinação

~~Os autoestados são determinados por:~~

$$3e a_0 | EI | \begin{pmatrix} 0 & 1 \\ 1 & 0 \end{pmatrix} \begin{pmatrix} 2s \\ 2p \end{pmatrix} = 3e a_0 | EI | \begin{pmatrix} 2p \\ 2s \end{pmatrix}$$

~~Definindo os estados~~

Para calcular os autoestados ~~note~~ note que

$$V | m \rangle = V_{mm} | m \rangle$$

Introduza estados  $|ij\rangle$  tais que

$$V | ij \rangle = \lambda_j | ij \rangle$$

que se podem ser escritos como

$$| ij \rangle = M_{jm} | jm \rangle$$

Dai

$$\nabla |j\rangle = \nabla M_{jm} |m\rangle = M_{jm} V_{mm'} |m'\rangle = M_{jm} V_{mm'} M_{m'm}^{-1} \lambda_j^{|j\rangle}$$

$$= \lambda_j |j\rangle$$

Denotando  $D = \begin{pmatrix} \lambda_1 & & \\ & \lambda_2 & \\ & & \lambda_3 \end{pmatrix}$  temos que  $M$  diagonaliza  $V$

$$D = M^* V M^{-1}$$

No caso de  $V = \begin{pmatrix} 0 & 1 \\ 1 & 0 \end{pmatrix}$  temos  $M = \frac{1}{\sqrt{2}} \begin{pmatrix} 1 & 1 \\ -1 & 1 \end{pmatrix}$ ,  $M^{-1} = \frac{1}{\sqrt{2}} \begin{pmatrix} 1 & -1 \\ 1 & 1 \end{pmatrix}$   
pois

$$MV M^{-1} = \begin{pmatrix} 1 & 0 \\ 0 & -1 \end{pmatrix}$$

e dai os autoestados sao

$$|j\rangle = M |m\rangle \Rightarrow |t\rangle = \frac{1}{\sqrt{2}} (|1\rangle \pm |2\rangle)$$

Portanto os valores possíveis de  $\Delta''$  sao

$$\Delta''_{\pm} = \pm 3 e a_0 / EI \quad , \quad \Delta''_{z_p(m=0)} = 0$$

e os autoestados

$$|t\rangle = \frac{1}{\sqrt{2}} (|2s, m=0\rangle \pm |2p, m=0\rangle) \quad \text{e} \quad (2p, m=\pm 1)$$

ao contrário do caso não degenerado (nível fundamental (100))

o shift em energia é linear em  $1/EI$ . A razão disso é que os estados  $|t\rangle$  têm um momento de dipolo elétrico permanentemente independente da perturbação. Como  $|t\rangle$  não tem paridade definida é possível ter  $\langle \pm | z | \pm \rangle \neq 0$ . Na verdade

$$\langle \pm | z | \pm \rangle = \frac{1}{2} \left\{ \pm \langle 2p, m=0 | z | 2s, m=0 \rangle \pm \langle 2s, m=0 | z | 2p, m=0 \rangle \right\}$$

No caso de degenerado o estado  $(1\ 0\ 0)$  não tem momento de dipolo elétrico permanente. No entanto o campo elétrico induz um momento ~~excedente~~ que é linear em  $E$ .  
 Daí da interação P.E., vemos que a shift em energia é quadrático em  $|E|$ .

No átomo de H "real" os níveis  $2s$  e  $2p$  não são degenerados devido à interação spin-orbita.

Questão: É como aplicar teoria da perturbação ~~para~~ para estados degenerados neste caso?

Experimentalmente verifica-se que se os elementos da matriz da perturbação são grandes comparados com a separação dos níveis  $\approx$  o efeito é linear em  $|E|$ .

Quando é pequena a separação é quadrática.

Portanto o formalismo da teoria da perturbação degenerada pode ser aplicada quando a separação dos níveis é muito grande comparada com a perturbação.

### Interação spin-orbita

O efeito em uma ímã gira imóvel.

No átomo de H o elétron "vai" o núcleo girar em uma "órbita circular". Como o núcleo é carregado, isto cria um campo magnético  $B$  que por sua vez interage com o momento magnético do elétron. Isto produz uma variação de energia  $\Delta = -\vec{\mu} \cdot \vec{B}$ .

Suponha que  $V_c(r)$  seja o potencial central independente de spin que para o <sup>o minimo</sup> eltron da valéncia de átomos do tipo de hidrogênio ( $\text{Na}, \text{K} \dots$ ). O campo elétrico é então

$$\vec{E} = -\frac{1}{\epsilon} \nabla V_c(r)$$

Mas como o eltron está em movimento ele sente um campo magnético dado por (lei de Ampere)

$$\vec{B} = -\frac{\vec{v}}{c} \times \vec{E}$$

O momento magnético do eltron é

$$\vec{\mu} = \frac{e \vec{s}}{m c}$$

e dar o potencial spin orbita é

$$V_{LS} = -e \vec{\mu} \cdot \vec{B} = \vec{\mu} \cdot \left( \frac{\vec{v}}{c} \times \vec{E} \right) = \frac{e \vec{s}}{m c} \left[ \frac{\vec{p}}{m c} \times \frac{\vec{x}}{r} \frac{1}{\epsilon c} \frac{dV_c}{dr} \right]$$

$$\text{uma vez que } \nabla = \vec{e}_r \frac{\partial}{\partial r} + \vec{e}_\theta \frac{1}{r} \frac{\partial}{\partial \theta} + \vec{e}_\phi \frac{1}{r \sin \theta} \frac{\partial}{\partial \phi}$$

$$|\vec{r}| = r$$

$$\frac{\vec{x}}{r} \equiv \vec{e}_r$$

Dar

$$V_{LS} = \frac{1}{m^2 c^2} \frac{1}{r} \frac{dV_c}{dr} \vec{l} \cdot \vec{s} \quad (\vec{l} = \vec{x} \times \vec{p})$$

Devido à previsão de Thomas existe um fator  $\frac{1}{2}$  neste expressão

Portanto a Hamiltoniana total é

$$H = H_0 + \lambda V_{LS} \quad \text{onde} \quad H_0 = \frac{p^2}{2m} + V_c(r)$$

Os momentos angulares orbital e de spin comutam

$$[L, S] = 0$$

Portanto podemos escrever os autoestados de  $H_0$  como sendo também autoestados de

$$L^2, L_z, S^2, S_z$$

Mas como  $L_z + S_z$  não comutam com  $L \cdot S$  é muito melhor trabalhar com as autofunções de

$$L^2, S^2, J^2, J_z \quad \text{onde} \quad \vec{J} = \vec{L} + \vec{S}$$

pois estes comutam com  $\vec{L} \cdot \vec{S}$  uma vez que

$$\begin{aligned} [L_i + S_i, L_j S_j] &= [L_i, L_j] S_j + L_i [S_i, S_j] \\ &= i \epsilon_{ijk} \{ L_k S_j + L_j S_k \} \\ &= i \epsilon_{ijk} L_k S_j + \epsilon_{ijkj} L_k S_j = 0 \end{aligned}$$

Desta forma  $V_{LS}$  já fica diagonalizado uma vez que

$$\vec{L} \cdot \vec{S} = \frac{1}{2} (J^2 - L^2 - S^2)$$

Deste forma  $V_{LS}$  já fica diagonalizado.

A função de onda é dada por

$$\psi_{n,l,m} = R_{nl}(r) Y_l^m(\theta, \phi)$$

• Precisamos calcular o valor esperado de  $V_{LS}$  nestes estados para

$$\langle l^{(1)} | V | l^{(2)} \rangle \quad \text{e} \quad | l^{(1)} \rangle \equiv \psi_{n_1, l_1, m_1}$$

Obtemos então

$$\Delta_{m_l j} = \frac{1}{2m^2 c^2} \left\langle \frac{1}{r} \frac{dV_c}{dr} \right\rangle_{m_l} \frac{\hbar^2}{2} \begin{Bmatrix} l \\ -(l+1) \end{Bmatrix} \rightarrow \begin{cases} j = l + \frac{1}{2} \\ j = l - \frac{1}{2} \end{cases}$$

onde usamos

$$\int r^j s.c. r d\tau = \frac{1}{2} [j(j+1) - l(l+1) - \frac{3}{4}] \hbar^2 = \frac{\hbar^2}{2} \begin{Bmatrix} l - j = l + \frac{1}{2} \\ -(l+1) \rightarrow j = l - \frac{1}{2} \end{Bmatrix}$$

$$- \left\langle \frac{1}{r} \frac{dV_c}{dr} \right\rangle_{m_l} = \int_0^\infty R_{m_l}(r) \frac{1}{r} \frac{dV_c}{dr} R_{m_l} r^2 dr$$

### O caso do Sódio ( $Na$ )

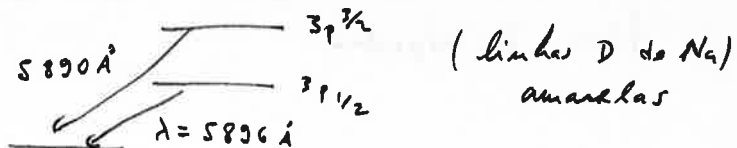
Os 11 elétrons do na estão distribuídos como

$$(1s)^2 (2s)^2 (2p)^6 (3s)^1$$

Os 10 elétrons da camada formam uma ~~núcleo~~ esfera e portanto o elétron 3s viu um potencial radial  $V_c(r)$ . Logo  $Na$  é um atomo do tipo de Hidrogênio quando o elétron 3s está em fases. Os níveis 3s e 3p não são degenerados para o potencial  $V_c(r)$  não é Coulombiano.

Nós estamos interessados no ~~splittting~~ splitting dos níveis  $3p_{1/2}$  e  $3p_{3/2}$  devido à interação spin-orbita.

Experimentalmente temos



Por outro lado para  $Z=1$

$$\left\langle \frac{1}{r} \frac{dV_c}{dr} \right\rangle_{m_l} \sim \frac{e^2}{a_0^3}$$

e dar

$$\Delta \sim \frac{e^2}{a_0^3} \frac{\hbar^2}{4m^2 c^2} [1 - (1-21)] \sim \frac{e^2}{a_0^3} \left( \frac{\hbar}{mc} \right)^2$$

Usando

$$\frac{e^2}{\hbar c} = \frac{1}{137} \quad \text{temos que}$$

$$\frac{e^2}{m c^2} : \frac{\hbar}{mc} : a_0 : 1, : 137 : (137)^2$$

P	1	raio de Bohr
raio clássico do elétron	Comprimento da onda de Compton do elétron	

Na séria de Balmer temos o splitting dos níveis n'

$$\Delta = \frac{e^2}{2a_0 m^2} - \frac{e^2}{2a_0 m'^2} \sim \frac{e^2}{a_0}$$

Portanto o splitting do spin órbita está relacionado com o splitting na séria de Balmer por:

$$\left( \frac{e^2}{a_0^3} \frac{\hbar^2}{m^2 c^2} \right) : \frac{e^2}{a_0} : \frac{1}{(137)^2} : 1$$

Portanto o splitting do spin órbita é chamado de estrutura fina do espectro.

## Efeito Zeeman

Átomos do tipo do H em um campo magnético uniforme.  
No caso do spin ser levado em conta temos o Efeito Zeeman anômalo.

O potencial visto para um campo magnético uniforme é:

$$\vec{A} = \frac{1}{2} (\vec{B} \times \vec{r})$$

e se  $\vec{B} = B \hat{e}_z \Rightarrow \vec{A} = -\frac{1}{2} (B_y \hat{e}_x - B_x \hat{e}_y)$

A interação é dada pelo acoplamento minimal

$$\vec{p} \rightarrow \vec{p} - \frac{e}{c} \vec{A}$$

Dar

$$H = H_0 + \lambda V \quad \text{onde} \quad H_0 = \frac{p^2}{2m} + V_c(r)$$

e  $V = -\frac{e}{2mc} (\vec{p} \cdot \vec{A} + \vec{A} \cdot \vec{p}) + \frac{e^2 A^2}{2mc^2}$

Note que

$$\vec{\nabla} \cdot \vec{A} = -\frac{1}{2} B \left( \frac{\partial y}{\partial x} - \frac{\partial x}{\partial y} \right) = 0$$

e ~~que~~ cons

$$\begin{aligned} \vec{p} \cdot \vec{A} &= -i\hbar \vec{\nabla} \cdot \vec{A} = -i\hbar \vec{\nabla} \cdot \vec{B} + -i\hbar (\vec{B} \cdot \vec{A}) \\ &= \vec{A} \cdot \vec{p} + -i\hbar (\vec{B} \cdot \vec{A}) \end{aligned}$$

Portanto para este campo magnético  $\vec{p} \cdot \vec{A} = \vec{A} \cdot \vec{p}$

E ainda

$$\vec{A} \cdot \vec{p} = -\frac{1}{2} (y p_x - x p_y) B = \frac{1}{2} B L_z$$

$$\vec{A}^2 = \frac{1}{4} B^2 (x^2 + y^2)$$

(46)

Desta forma o hamiltoniano fica

$$H = \frac{P^2}{2m} + V_c(r) - \frac{e}{2mc} BL_z + \frac{e^2 B^2}{8mc^2} (x^2 + y^2)$$

Podemos ainda adicionar a interação com o spin

$$-\vec{\mu}_s \cdot \vec{B} = -\frac{e}{mc} \vec{S} \cdot \vec{B} = -\frac{e}{mc} B S_z$$

O termo quadrático em  $B$  não é importante para átomos de um elétron. (Veja comentário na página seguinte)  
Omitindo este termo e considerando a interação spin-orbita temos que o hamiltoniano é feito de três termos

$$H_0 = \frac{P^2}{2m} + V_c(r)$$

$$H_{LS} = \frac{1}{2mc^2} \frac{1}{r} \frac{dV_c}{dr} \vec{L} \cdot \vec{S}$$

$$H_B = -\frac{eB}{2mc} (L_z + 2S_z)$$

fator gianomagnético  
do elétro

Tomando  $H_0$  como perturbador:

Usaremos os autoestados de  $H_0 + H_{LS}$ , ou seja autoestados de  $J^2, J_z, L^2, \text{ e } L_z$

Como

$$L_z + 2S_z = J_z + S_z$$

a variação em primeira ordem da perturbador é

$$-\frac{eB}{2mc} \langle J_z + S_z \rangle_{j=l \pm \gamma_2, m}$$

Comentário sobre a magnitude dos termos lineares e quadráticos em  $B$

Nós temos que  $L_z \sim m\hbar$  e  $(x^2 + y^2) \sim a_0^2$ .

Dai

$$\frac{eBL_z}{\frac{2mc}{e^2B^2(x^2+y^2)}} = \frac{eB\hbar}{2mc} \frac{\frac{8mc^2}{e^2B^2} \cancel{a_0^2}}{\cancel{a_0^2}} = 4 \frac{\hbar c}{e^2} \frac{e}{a_0^2} \frac{1}{B} = \frac{e/a_0^2}{B} \frac{137 \times 4}{4}$$

onde usamos  $e/\hbar c \sim \frac{1}{137}$

Como  $e \sim 4,8 \times 10^{-10}$  ues,  $a_0 \sim 0,53 \times 10^{-8}$  cm, temos que

$$\frac{e}{a_0^2} = \frac{4,8 \times 10^6}{(0,53)^2} \frac{\text{ues}}{\text{cm}^2} \sim 1,7 \times 10^7 \frac{(\text{ues})^2}{\text{cm}^2} \frac{1}{\text{ues}} \sim 1,7 \times 10^7 \text{ gauss}$$

$(1 \text{ gauss} \equiv 1 \text{ dyne/ues})$

Portanto para que os dois termos sejam de mesma ordem  
o valor que é preciso que  $B$  seja de ordem de  $10^{10}$  Gauss !!

O valor esperado de  $J_z$  é então  $\langle J_z \rangle_{j=l \pm \frac{1}{2}} = m\hbar$

Usando o teorema da projeção temos

$$\langle S_z \rangle_{j=l \pm \frac{1}{2}} = \langle \vec{S} \cdot \vec{j} \rangle_{j=l \pm \frac{1}{2}} \frac{m\hbar}{\hbar^2 j(j+1)}$$

$$= \frac{m}{2\hbar j(j+1)} \langle J^2 + S^2 - L^2 \rangle_{j=l \pm \frac{1}{2}}$$

$$= m\hbar \left\{ \frac{(l \pm \frac{1}{2})(l \pm \frac{1}{2} + 1) + 3/4 - l(l+1)}{2(l \pm \frac{1}{2})(l \pm \frac{1}{2} + 1)} \right\}$$

$$= \pm \frac{m\hbar}{(2l+1)}$$

$$\begin{aligned} (\vec{J} - \vec{S})^2 &= \vec{L}^2 \\ J^2 + S^2 - 2\vec{J} \cdot \vec{S} &= \vec{L}^2 \\ \vec{J} \cdot \vec{S} &= \frac{1}{2}(J^2 + S^2 - L^2) \end{aligned}$$

Consequentemente em primeira ordem

$$\Delta_B^{(1)} = -\frac{eB}{2m_e c} \mu_B [1 \pm \frac{1}{2l+1}] \quad \text{fórmula de Lande.}$$

$$\frac{eB}{mc} = \frac{4,8 \times 10^{-10} \text{ ues}}{0,911 \times 10^{-27}} \cdot \frac{0,6382 \times 10^{-15} \text{ ev.sec}}{3 \times 10^{10} \text{ cm/sec}} \sim 10^{-8} \text{ ev} \frac{\text{ues}}{\text{dime}}$$

$$\frac{eB}{mc} \sim 10^{-8} \text{ ev/gauss} \quad (1 \text{ gauss} = 1 \text{ dime/ues}) \\ 1 \text{ dime} = 1 \text{ dy cm/s}^2$$

Consideremos agora o caso oposto em que o campo magnético é muito intenso (limite de Paschen-Back)

Tomamos como Hamiltoniana não perturbada

$$H_0' = H_0 + H_B$$

Os bons níveis quantícnicos são  $L_z$  e  $S_z$

$J^2$  não é bom nível quantíctico pois o campo  $B$  intenso escolhe uma direção privilegiada (no caso o eixo  $z$ ). Usamos os autoestados

$$|L_z, S_z = \frac{1}{2}, m_L, m_S\rangle$$

e dar

$$\langle H_B \rangle_{m_L, m_S} = -\frac{eB}{2mc} (m_L + 2m_S)$$

A degenerescência de  $H_0$  em  $m_L + m_S$  desaparece em  $H_0'$ .

Temos agora que os estados com mesmo valor de  $m_L + 2m_S$  são degenerados. Seja

$$[m_L + 1] \neq [(m_L + 2) + (-1)]$$

Termos entre

$$\begin{aligned}\langle \vec{L} \cdot \vec{s} \rangle &= \langle L_z s_z + \frac{1}{2} (L_+ s_- + L_- s_+) \rangle_{m_s m_s} \\ &= \hbar^2 m_s m_s\end{aligned}$$

Pois  $\langle L_{\pm} \rangle_{m_s} = 0 \quad \langle s_{\pm} \rangle_{m_s} = 0$

Como  $H_{LS} = \frac{1}{2mc^2} \frac{1}{r} \frac{dV}{dr} \vec{L} \cdot \vec{s}$  termos

$$\langle H_{LS} \rangle_{m_s m_s} = \frac{\hbar^2 m_s m_s}{2 m_e^2 c^2} \langle \frac{1}{r} \frac{dV}{dr} \rangle$$

Note que  $\langle \vec{L} \cdot \vec{s} \rangle$  é diagonal ~~nao~~ no subespaço degenerado  
 Pois os dife de 2 entre os estados do subespaço e  $L_z (L_-)$   
 Só o (depois) da unidade = valor de  $m_s$

Como  $\langle \frac{1}{r} \frac{dV}{dr} \rangle \sim \frac{e^2}{a_0^3} \Rightarrow \langle H_{LS} \rangle \sim \left(\frac{\hbar}{mc}\right)^2 \frac{e^2}{a_0^3}$  (B forte)

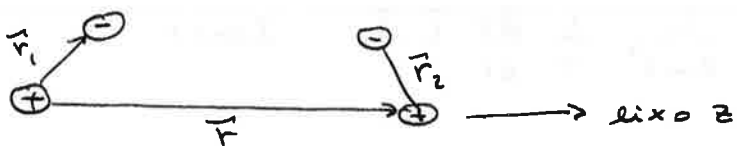
Por outro lado  $\langle H_B \rangle \sim \frac{e \hbar B}{mc}$  (B fraco)

## A interação de Van der Waals

### Potencial de Lennard-Jones

Força atrativa que existe entre dois átomos neutros e que para longas distâncias ~~se~~ varia com  $\frac{1}{r^6}$ .

Considerem dois átomos de H no estado fundamental



$$\text{A Hamiltoniana é } H = H_0 + V$$

onde  $H_0 = -\frac{\hbar^2}{2m} (D_1^2 + D_2^2) - \frac{e^2}{r_1} - \frac{e^2}{r_2}$

$$V = \frac{e^2}{r} + \frac{e^2}{|\vec{r}_1 + \vec{r}_2 - \vec{r}_1|} - \frac{e^2}{|\vec{r} + \vec{r}_2|} - \frac{e^2}{|\vec{r} - \vec{r}_1|}$$

A solução da menor energia de  $H_0$  é o produto das ~~funções de~~ <sup>funções de</sup> onda dos estados fundamentais dos hidrogênios não interageentes

$$U_0^{(0)} \equiv U_{1,00}^{(0)}(r_1) U_{1,00}^{(0)}(r_2)$$

Para  $r \gg a_0$  expandimos  $V$  em potências de  $\frac{r_1}{|\vec{r}|}$

$$V = \frac{e^2}{r^3} (x_1 x_2 + y_1 y_2 - z_1 z_2) + O\left(\frac{1}{r^4}\right) + \dots$$

O termo proporcional a  $\frac{1}{r^3}$  corresponde à interação de dois dipolos  $e\vec{r}_1 \cdot e\vec{r}_2$  separados por uma distância  $\vec{r}$ .

A contribuição em 1<sup>o</sup> ordem à variação da energia é nula para estanicos calando

Finalizado

$$\int U_{1,00}(r_1) U_{1,00}(r_2) \{x_1 x_2 + y_1 y_2 - z_1 z_2\} U_{1,00}(r_1) U_{1,00}(r_2)$$

e como o valor esperado de  $x$  é nulo (ou  $y = z$ ) temos:

$$V_{00} = 0$$

A contribuição em  $2^{\pm}$  é zero

$$E^{(2)} = \frac{e^4}{r^6} \sum_{K \neq 0} \frac{|\langle K^{(0)} | x_1 x_2 + y_1 y_2 - z_1 z_2 | 0^{(0)} \rangle|^2}{E_0^{(0)} - E_K^{(0)}}$$

e portanto a energia varia como

$$E^{(2)} \sim -\frac{e^2}{r^6} \quad (\text{p.e., } E_K^{(0)} > E_0^{(0)})$$

e a força é atrativa.

### Método Variacional

A série de Rayleigh-Schrödinger funciona quando conhecemos a solução exata da parte dominante da Hamiltoniana.

O método Variacional é útil p/ estimar a energia do ~~o~~ estado fundamental quando não conhecemos a solução exata da parte dominante de H.

Tomamos um "trial fit"  $|\tilde{\psi}\rangle$  que imite a verdadeira solução fundamental  $|\psi\rangle$ .

Definimos

$$\bar{H} = \frac{\langle \tilde{\psi} | H | \tilde{\psi} \rangle}{\langle \tilde{\psi} | \tilde{\psi} \rangle}$$

Término:  $\bar{H} \geq E_0$

On sigue obtenemos un límite superior para la energía del estado fundamental

Prueba: Expandimos  $|\tilde{\psi}\rangle$  en términos de autoestados de  $H$ , que son desconocidos

$$|\tilde{\psi}\rangle = \sum_{k=0}^{\infty} \langle \varphi_k | \tilde{\psi} \rangle |\varphi_k\rangle$$

onde

$$H|\varphi_k\rangle = E_{\varphi_k} |\varphi_k\rangle$$

Dar

$$\begin{aligned} \langle \tilde{\psi} | H | \tilde{\psi} \rangle &= \sum_{k_1, k'_1=0} \langle \tilde{\psi} | \varphi_{k'_1} \rangle \langle \varphi_{k'_1} | H | \varphi_k \rangle \langle \varphi_k | \tilde{\psi} \rangle \\ &= \sum_{k=0} E_{\varphi_k} |\langle \tilde{\psi} | \varphi_k \rangle|^2 \end{aligned}$$

On sigue

$$\begin{aligned} \bar{H} &= \frac{\sum_{k=0} |\langle \tilde{\psi} | \varphi_k \rangle|^2 E_{\varphi_k}}{\sum_{k=0} |\langle \tilde{\psi} | \varphi_k \rangle|^2} \xleftarrow{E_R - E_0 + E_0} \\ &= \frac{\sum_{k=0} |\langle \tilde{\psi} | \varphi_k \rangle|^2 (E_{\varphi_k} - E_0)}{\sum_{k=0} |\langle \tilde{\psi} | \varphi_k \rangle|^2} \xleftarrow{\sum_{k=0} |\langle \tilde{\psi} | \varphi_k \rangle|^2 E_0} \\ &= \frac{\sum_{k=1} |\langle \varphi_k | \tilde{\psi} \rangle|^2 (E_R - E_0)}{\sum_{k=0} |\langle \varphi_k | \tilde{\psi} \rangle|^2} + E_0 \geq E_0 \end{aligned}$$

Mas vez que  $E_R - E_0 > 0$  ( $k > 0$ )

Para uma escala matrizes boa de  $\langle \tilde{O} \rangle$  ainda obtemos uma estimativa razoável para a energia do est. fund. poi,

$$\langle H \tilde{O} \rangle \sim O(\epsilon) \quad \text{e} \quad f_2 \neq 0$$

temos que

$$\bar{H} - E_0 \sim \frac{\sum (O(\epsilon))^2 (\epsilon_k - E_0)}{1 + \sum (O(\epsilon))^2} \sim O(\epsilon^2)$$

No entanto o termo  $\omega$  dig que não estamos do resultado exato.

Podemos dizer que  $\bar{H}$  é estacionário c.r.a. variações

$$\langle \tilde{O} \rangle \rightarrow \langle \tilde{O} \rangle + \delta \langle \tilde{O} \rangle$$

ou seja  $\delta \bar{H} = 0$  quando  $\langle \tilde{O} \rangle$  coincide com  $\langle O \rangle$ .

Isto quer dizer: Se usarmos  $\langle O \rangle + \delta \langle O \rangle$  para calcular  $\bar{H}$  comtermos um erro da ordem de  $(\delta \langle O \rangle)^2$  na estimativa da energia do est. fund.

No prática temos que usar intuição física para "chutar"  $\langle \tilde{O} \rangle$ .

Também podemos escrever  $\langle \tilde{O} \rangle$  em função de parâmetros  $\lambda_i$  para calcular  $\bar{H}$  em função destes parâmetros.

Dar minimizamos  $\bar{H}$  colocando

$$\frac{\partial \bar{H}}{\partial \lambda_i} = 0$$

Isto determina os valores <sup>ideais</sup>  $\lambda_i$  ~~desconhecidos~~ e dar substituir em  $\bar{H}$ .

Ex: Suponha que alguém advinhe que a função da onda do est. fundo do hidrogênio é

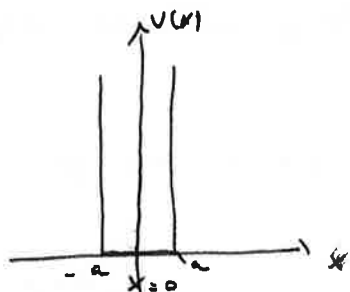
$$\langle x | \psi \rangle \sim e^{-r/a}$$

onde  $a$  é um parâmetro.

Mirimizando  $\bar{H}$  encontraria o valor constante de  $E_0 = -\frac{e^2}{2a^2}$

o mínimo de  $\psi$  alcançado quando  $a \equiv a_0$  (raio de Bohr)

Ex



A solução exata é

$$\langle x | \psi \rangle = \frac{1}{\sqrt{a}} \cos \frac{\pi x}{2a}$$

$$E_0 = \frac{\hbar^2}{2m} \frac{\pi^2}{4a^2}$$

Como a função da onda deve ser zero em  $x = \pm a$  e com o est. fundo não deve ter "mós" podemos chegar

$$\langle x | \psi \rangle = a^2 - x^2$$

Dar

$$\begin{aligned} \bar{H} &= \left( -\frac{\hbar^2}{2m} \right) \frac{\int_{-a}^a (a^2 - x^2) \frac{d^2}{dx^2} (a^2 - x^2) dx}{\int_{-a}^a (a^2 - x^2)^2 dx} \\ &= \frac{\hbar^2}{m} \frac{\int_{-a}^a (a^2 - x^2) dx}{\int_{-a}^a (a^2 - x^2)^2 dx} = \frac{10}{\pi^2} \frac{\pi^2 \hbar^2}{8 a^2 m^2} \sim 1.0132 E_0 \end{aligned}$$

1.3% do uno

Fazendo

$$\langle x | \hat{o} \rangle = |\alpha|^{\lambda} - |x|^{\lambda}$$

obtemos

$$\bar{H} = \left[ \frac{(\lambda+1)(2\lambda+1)}{(2\lambda-1)} \right] \left( \frac{\hbar^2}{4m^2a^2} \right)$$

e daí

$$\frac{\partial \bar{H}}{\partial \lambda} = 0 \Rightarrow \lambda = \frac{1 + \sqrt{6}}{2} \sim 1.72$$

$$\bar{H}_{\min} = \left( \frac{5 + 2\sqrt{6}}{\pi^2} \right) E_0 \sim 1.00298 E_0 \quad \underline{0,3\% \text{ de energia}}$$

Diferença entre  $|0\rangle$  e  $|\hat{o}\rangle$ :

Assumindo  $|\hat{o}\rangle$  está normalizada

$$\bar{H}_{\min} = \sum_{K=0} \left| \langle K | \hat{o} \rangle \right|^2 E_K \geq \left| \langle 0 | \hat{o} \rangle \right|^2 E_0 + g E_0 \left[ \langle K \neq 0 | \hat{o} \rangle \right]^2$$

Numa vez que  $\langle 1 | \hat{o} \rangle = 0$  para quaisquer de paridade  $\lambda$  onde  $g E_0$  é a energia do segundo estado excitado

Dai

$$\bar{H}_{\min} \geq \left| \langle 0 | \hat{o} \rangle \right|^2 E_0 + g E_0 (1 - \left| \langle 0 | \hat{o} \rangle \right|^2)$$

ou

$$g E_0 \left| \langle 0 | \hat{o} \rangle \right|^2 - g E_0 + \bar{H}_{\min} \geq 0$$

$$\left| \langle 0 | \hat{o} \rangle \right|^2, \frac{g E_0 - \bar{H}_{\min}}{g E_0} = 0.99963$$

Quanto mais diferente da 1,  $\left| \langle 0 | \hat{o} \rangle \right|^2$ , maior para o resultado

Escrivendo

$$\langle 0 | \hat{o} \rangle \sim \cos \theta$$

temos

$$\theta \sim 1,1^\circ$$

(3)

## Potenciais dependentes do tempo: Representação de interações

Consideramos a hamiltoniana

$$H = H_0 + V(t)$$

onde  $H_0$  não depende explicitamente do tempo mas  $V(t)$  depende.

Suponha que ~~seu~~ as autofunções e autovalores de  $H_0$  são conhecidas:

$$H_0 |m\rangle = E_m |m\rangle$$

Estamos interessados no caso em que inicialmente apenas um estado,  $|i\rangle$ , está populado.

Conforme o tempo passa, a perturbação  $V(t)$  causa transições e outros estados se tornam populados.

O operador de evolução não é simplesmente  $e^{-iHt/\hbar}$  ~~juntando~~  
 $H$  depende explicitamente de  $t$ .

Questão: Qual a probabilidade, em função do tempo, de encontrar o sistema ~~no~~ em um estado  $|n\rangle$  com  $n \neq i$ ?

Precisamos saber como um estado qualificado evolui no tempo com a Hamiltoniana  $H = H_0 + V(t)$ .

Suponha que em  $t=0$  temos

$$|\alpha\rangle = \sum_n c_n(0) |n\rangle$$

queremos encontrar  $c_n(t)$  tal que

$$|\alpha, t_0=0, t\rangle = \sum_n c_n(t) e^{-iE_n t/\hbar} |n\rangle$$

onde  $|\alpha, t_0=0, t> \rangle \propto 0$  é o fkt na np. de Schrödinger em  $t=t$   
e cujo fkt correspondente em  $t=0$  é  $|\alpha\rangle$ .

A fase  $e^{-iE_{\alpha}t/\hbar}$  é colocada porque ~~de~~ a evolução temporal  
de  $c_{\alpha}(t)$  fica dependendo somente da  $V(t)$ . Tal fase existe  
mesmo quando  $V=0$  e dar  $\hat{c}(t) = c(t)$ .

### Representação da Interacç.

Suponha que em  $t=t_0$  temos um estado  $|\alpha\rangle$  e que em  $t=t$   
temos o estado na np. de Schrödinger,  $|\alpha, t_0, t>_S$ .

Definimos

$$|\alpha, t_0, t>_I \equiv e^{iH_0t/\hbar} |\alpha, t_0, t>_S \quad (*)$$

onde  $|\>_I$  é estado na np. de interacç. (introduzida agora)

Para operadores definimos

$$A_I \equiv e^{iH_0t/\hbar} A_S e^{-iH_0t/\hbar} \quad (***)$$

e em particular

$$V_I \equiv e^{iH_0t/\hbar} V(t) e^{-iH_0t/\hbar}$$

é potencial dependente do tempo  
na np. de Schrödinger

Os estados e operadores nas nps de Schrödinger e Heisenberg estão  
relacionados por

$$|\alpha>_H = e^{iHt/\hbar} |\alpha, t_0=0, t>_S$$

$$A_H = e^{iHt/\hbar} A_S e^{-iHt/\hbar}$$

A diferença de  $(*)$  e  $(***)$  é que temos agora  $H$  e não  $H_0$ .

Vejamos a evolução temporal

$$\begin{aligned}
 i\hbar \frac{\partial}{\partial t} |\alpha, t_0, t\rangle_I &= i\hbar \frac{\partial}{\partial t} (e^{iH_0 t/\hbar} |\alpha, t_0, t\rangle_s) \\
 &= -H_0 e^{iH_0 t/\hbar} |\alpha, t_0, t\rangle_s + e^{iH_0 t/\hbar} \underbrace{(H_0 + V)}_{i\hbar \frac{\partial}{\partial t} |\alpha, t_0, t\rangle_s} |\alpha, t_0, t\rangle_s \quad (\text{da eq. da Schrödinger}) \\
 &= e^{iH_0 t/\hbar} V e^{-iH_0 t/\hbar} e^{iH_0 t/\hbar} |\alpha, t_0, t\rangle_s
 \end{aligned}$$

e dar

$$i\hbar \frac{\partial}{\partial t} |\alpha, t_0, t\rangle_I = V_I |\alpha, t_0, t\rangle_I \quad (\text{S.S. 11})$$

Deixe  $V_I$  tomar o lugar da Hamiltoniana na imp. de interação. Se a perturbação  $V_I$  é nula o fkt  $|\alpha, t_0, t\rangle_I$  é constante no tempo.

No caso de uma observável A

$$i\hbar \frac{\partial A_I}{\partial t} = -H_0 A_I + e^{iH_0 t/\hbar} \frac{\partial A_s}{\partial t} e^{-iH_0 t/\hbar} + A_I H_0$$

Se  $A_s$  não depende explicitamente do tempo

$$i\hbar \frac{\partial A_I}{\partial t} = [A_I, H_0] \quad (\text{para a eq. de Heisenberg})$$

com H trocado por  $H_0$

Portanto

	Rep. Heisenberg	Rep. Int.	Rep. Schrödinger
Estado	invariante	evolui com V	evolui com H
Operador	evolui com H	evolui com $H_0$	invariante

↑

Rep. intermediária  
entre a de Heisenberg  
e Schrödinger

Rep. de Interações também chamada de Rep. de Dirac

Do fato que (veja S.S.4)

$$|\alpha, t_0=0, t\rangle_s = \sum_n c_n(t) e^{-i E_n t/\hbar} |n\rangle$$

temos

$$\begin{aligned} |\alpha, t_0=0, t\rangle_I &= e^{i H_0 t/\hbar} |\alpha, t_0=0, t\rangle_s \\ &= \sum_n c_n(t) |n\rangle \quad (\text{pois } H_0 |n\rangle = E_n |n\rangle) \end{aligned}$$

Portanto na ap. de interaçõs continuamos a usar os autoestados da  $H_0$  (estacionários) como base.

De (S.S.11) (multiplicando por  $\langle n|$ )

$$\begin{aligned} i\hbar \frac{\partial}{\partial t} \langle n | \alpha, t_0, t \rangle_I &= \langle n | V_I |\alpha, t_0, t\rangle_I \\ &= \sum_m \langle n | V_I |m\rangle \langle m | \alpha, t_0, t \rangle \end{aligned}$$

$$\begin{aligned} \langle n | V_I |m\rangle &= \langle n | e^{i H_0 t/\hbar} V_s(t) e^{-i H_0 t/\hbar} |m\rangle \\ &= V_{mm}(t) e^{i(E_m - E_m)t/\hbar} \end{aligned}$$

$$\text{onde } V_{mm}(t) = \langle n | V_s(t) |m\rangle$$

Como  $\langle m | m \rangle = \delta_{mm}$  temos

$$c_n(t) = \langle n | \alpha, t_0, t \rangle_I$$

e então

$$i\hbar \frac{\partial c_n(t)}{\partial t} = \sum_m V_{mm}(t) e^{i\omega_{mm}t} c_m(t)$$

~~Resposta~~  
~~exercício~~  
~~resolução~~  
~~resposta~~

$$\text{onde } \omega_{mm} = -\omega_{mm} = \frac{E_m - E_m}{\hbar}$$

$$i\hbar \begin{pmatrix} c_1 \\ c_2 \\ \vdots \end{pmatrix} = \begin{pmatrix} V_{11} & V_{12} e^{i\omega_{12}t} \\ V_{21} e^{i\omega_{21}t} & V_{22} \end{pmatrix} \begin{pmatrix} c_1 \\ c_2 \\ \vdots \end{pmatrix}$$

## O Problema de dois estados dependentes do tempo

Definimos o problema por

$$H_0 = E_1 |1\rangle\langle 1| + E_2 |2\rangle\langle 2| \quad (E_2 > E_1)$$

$$V_s(t) = \gamma e^{i\omega t} |1\rangle\langle 2| + \gamma e^{-i\omega t} |2\rangle\langle 1| \quad (S.S. 18)$$

$$\left( \hat{O}|m\rangle = \sum_m 1_m |m\rangle \langle m| \hat{O}|m\rangle \Rightarrow \hat{O} = \sum_{m,n} 1_m |m\rangle \langle m| O_{mn}, O_{mn} = \langle m|\hat{O}|n\rangle \right)$$

Portanto temos

$$V_{11} = V_{22} = 0 \quad V_{12} = V_{21}^* = \gamma e^{i\omega t}$$

Podemos encontrar a solução exata do problema. Se em  $t=0$  somente o nível 1 estiver populado

$$C_1(0) = 1 \quad C_2(0) = 0$$

obtemos  $\gamma \omega$  (veja problema 30)

$$|C_2(t)|^2 = \frac{\gamma^2/t^2}{\gamma^2/t^2 + (\omega - \omega_{z1})^2/4} \sin^2 \left\{ \left[ \frac{\gamma^2}{t^2} + \frac{(\omega - \omega_{z1})^2}{4} \right]^{1/2} t \right\}$$

$$|C_1(t)|^2 = 1 - |C_2(t)|^2$$

$$\omega_{z1} = \frac{E_2 - E_1}{t}$$

Esta é conhecida como a fórmula de Rabi

A probabilidade do estado 2 estar populado ~~esta~~ oscila no tempo com uma probabilidade

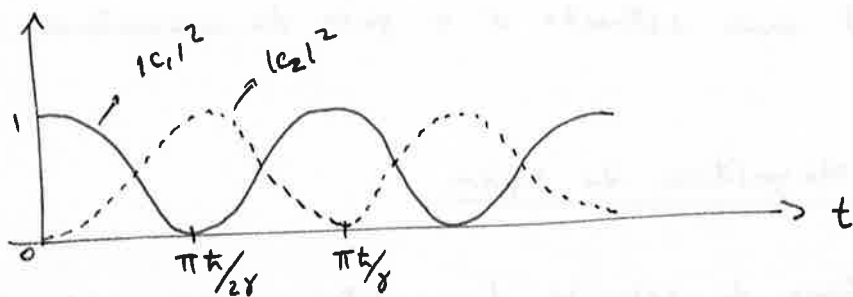
$$\mathcal{R} = \sqrt{\frac{\gamma^2}{t^2} + \frac{(\omega - \omega_{z1})^2}{4}}$$

A amplitude tende a 1 (alta taxa de transição) quando

$$\omega \sim \omega_{21} = \frac{E_2 - E_1}{\hbar} \quad \text{condição de ressonância}$$

Isto é quando a freqüência da perturbação (campo elétrico ou magnético) é próxima da freqüência  $\omega_{21}$  característica do sistema.

No ponto  $\omega = \omega_{21}$ ,  $\gamma = \frac{\gamma}{\hbar}$  temos



Em  $t=0$  o sistema está no estado 1

→ neste intervalo há absorção de energia

em  $t = \frac{\pi t_0}{2\gamma}$

→ neste intervalo há emissão de energia

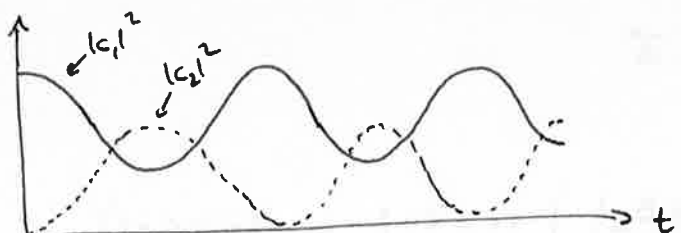
em  $t = \frac{\pi t_0}{\gamma}$

1 movimento

Portanto  $V(t)$  não só forma como move energia do sistema.

$V(t)$  provoca transições nos dois sentidos  $1 \rightleftharpoons 2$ .

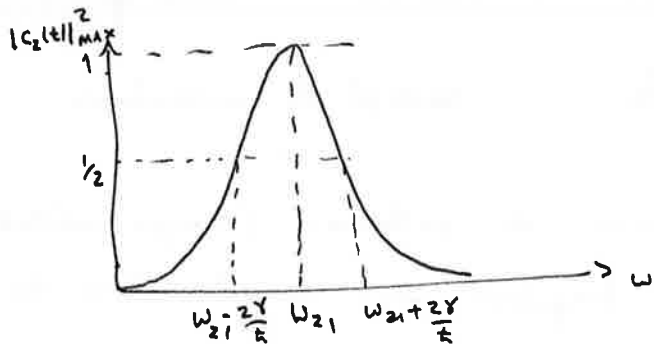
Fora da ressonância teríamos



ou seja o estado 1 sempre terá uma população menor.

1 e 2 não atingirão a população máxima.

O valor máximo de  $|C_2(t)|^2$  em função da  $\omega$  é:



Vemos então que quanto mais fraco o potencial perturbatório ( $\gamma \rightarrow 0$ ) ( $V_{12} = \gamma e^{i\omega t}$ ) mais estreito é o pico da ressonância.

### Ressonância Magnética do spin

Considerem um sistema de spin  $1/2$  (um elétron ligado a um átomo) submetido a um campo magnético uniforme e independente do tempo na direção  $\hat{z}$  e um outro dependente do tempo girando no plano  $xy$

$$\vec{B} = B_0 \hat{e}_z + B_1 (\cos \omega t \hat{e}_x + \sin \omega t \hat{e}_y)$$

$B_0, B_1$  constantes.

O efeito de  $B_0$  tomamos como  $H_0$  (Hamiltoniana não perturbada)  
 " " " "  $B_1$ , " " " "  $V$

Como

$$\vec{\mu} = \frac{e}{mc} \vec{s}$$

temos

$$H_0 = -\left(\frac{e \hbar B_0}{2mc}\right) (|+\rangle\langle +| - |- \rangle\langle -|)$$

$$V(t) = -\left(\frac{e \hbar B_1}{2mc}\right) \left\{ \cos \omega t (|+\rangle\langle \mp| + |- \rangle\langle +|) + i \sin \omega t (|- \rangle\langle +| - |+\rangle\langle -|) \right\}$$

A razão disso é que a interação é dada por

$$H = -\vec{\mu} \cdot \vec{B} = -\frac{e}{mc} \vec{s} \cdot \vec{B}$$

$$= -\frac{e B_0}{mc} \hat{s}_z - \frac{e B_1}{mc} \left\{ \hat{s}_x \cos \omega t + \hat{s}_y \sin \omega t \right\}$$

Como

$$s_{\pm} = s_x \pm i s_y$$

Temos

$$\frac{s_+ + s_-}{2} = s_x \quad \frac{s_+ - s_-}{2i} = s_y$$

Além do mais

$$\langle \pm | s_z | \pm \rangle = \pm \frac{\hbar}{2} \quad \langle + | s_z | - \rangle = 0$$

$$\langle \pm | s_{\pm} | \pm \rangle = 0 \quad \langle + | s_+ | - \rangle = \hbar \quad \langle - | s_- | + \rangle = \hbar$$

Daí

$$H = -\frac{e B_0}{mc} \sum_{i,j} |i\rangle \langle i| \hat{s}_z |j\rangle \langle j| -$$

$$-\frac{e B_1}{mc} \sum_{i,j} \frac{1}{2} \left\{ \cos \omega t |i\rangle \langle i| \left( \frac{s_+ + s_-}{2} \right) |j\rangle \langle j| + \sin \omega t |i\rangle \langle i| \left( \frac{s_+ - s_-}{2i} \right) |j\rangle \langle j| \right\}$$

$$= -\frac{e \hbar B_0}{2mc} (|+\rangle \langle +| - |-\rangle \langle -|) -$$

$$-\frac{e B_1 \hbar}{2mc} \left\{ \cos \omega t (|+\rangle \langle +| + |-\rangle \langle -|) - i \sin \omega t (|+\rangle \langle -| - |-\rangle \langle +|) \right\}$$

Para  $e < 0$  vemos que  $E_+ > E_-$  e daí  $|+\rangle$  — nível superior

$|-\rangle$  — " inferior.

A diferença de energia é

$$E_+ - E_- = \frac{1}{2} \frac{e \hbar B_0}{mc}$$

e dar a frequência característica do sistema

$$\omega_{z1} = \frac{1}{2} \frac{e \hbar B_0}{mc}$$

Revisão da previsão de spin

(5.)

Se colocar  $B_z = 0$  no caso anterior. Então a Hamiltoniana é

$$H_0 = -\vec{\mu} \cdot \vec{B} = -\frac{e B_0}{mc} S_z$$

$\lambda$  o operador de evolução temporal

$$\exp(-i H_0 t/\hbar) = \exp\left(i \frac{e B_0}{mc} \frac{S_z}{\hbar}\right) = \exp\left(i \frac{\omega t}{\hbar} S_z\right)$$

$$\text{onde } \omega = \frac{e B_0}{mc} \quad (e < 0)$$

Em  $t=0$ , temos um estado  $|\alpha\rangle$  dado por

$$|\alpha\rangle = c_+ |+\rangle + c_- |-\rangle \quad \text{onde } c_{\pm} = \langle \pm | \alpha \rangle$$

Em  $t=t$

$$\begin{aligned} |\alpha(t)\rangle &= e^{-i H_0 t / \hbar} |\alpha\rangle \\ &= c_+ e^{-i S_z \omega t / \hbar} |+\rangle + c_- e^{-i \omega t S_z / \hbar} |-\rangle \\ &= e^{-i \omega t / 2} c_+ |+\rangle + e^{i \omega t / 2} c_- |-\rangle \\ &= C_+(t) |+\rangle + C_-(t) |-\rangle \end{aligned}$$

Portanto

$$|C_{\pm}(t)|^2 = |C_{\pm}(0)|^2$$

ou seja a probabilidade de encontrar o estado em um dado auto-estado não muda no tempo.

No entanto o valor esperado de  $S_x \times S_y$  depende do tempo. Temos

$$\begin{aligned} \langle \alpha(t) | S_+ | \alpha(t) \rangle &= \hbar c_- e^{i \omega t / 2} c_+^* e^{-i \omega t / 2} \\ &= \hbar c_+^* c_- e^{i \omega t} \end{aligned}$$

$$\langle \alpha(t) | S_- | \alpha(t) \rangle = \hbar c_+ e^{-i \omega t / 2} c_-^* e^{-i \omega t / 2} = \hbar c_+ c_-^* e^{-i \omega t}$$

Dar

$$\langle \alpha(t) | s_x | \alpha(t) \rangle = \frac{\hbar}{2} (c_+^* c_- e^{i\omega t} + c_+ c_-^* e^{-i\omega t})$$

$$\begin{aligned}
 &= \frac{\hbar}{2} \left\{ \left( \frac{c_+^* c_- + c_+ c_-^*}{2} \right) e^{i\omega t} - \cancel{\frac{c_+ c_-^*}{2}} / e^{i\omega t} \right. \\
 &\quad + \left( \frac{c_+^* c_- + c_+ c_-^*}{2} \right) \cancel{e^{-i\omega t}} - \cancel{\frac{c_+^* c_-}{2}} / \cancel{e^{-i\omega t}} \\
 &\quad + \left( \frac{c_+^* c_- - c_+ c_-^*}{2} \right) e^{i\omega t} + \cancel{\frac{c_+ c_-^*}{2}} / e^{i\omega t} \\
 &\quad \left. - \cancel{\left( \frac{c_+^* c_- - c_+ c_-^*}{2} \right)} \cancel{e^{-i\omega t}} + \cancel{\frac{c_+^* c_-}{2}} / \cancel{e^{-i\omega t}} \right\}
 \end{aligned}$$

$$\langle \alpha(t) | s_y | \alpha(t) \rangle = \frac{\hbar}{2i} (c_+^* c_- e^{i\omega t} - c_+ c_-^* e^{-i\omega t})$$

$$\begin{aligned}
 &= \frac{\hbar}{4i} \left\{ \left( c_+^* c_- - c_+ c_-^* \right) e^{i\omega t} + \cancel{c_+ c_-^*} / e^{i\omega t} \right. \\
 &\quad + \left( c_+^* c_- - c_+ c_-^* \right) \cancel{e^{-i\omega t}} - \cancel{c_+^* c_-} / \cancel{e^{-i\omega t}} \\
 &\quad - \left. \left( c_+^* c_- + c_+ c_-^* \right) \cancel{e^{-i\omega t}} + \cancel{c_+ c_-^*} / \cancel{e^{-i\omega t}} \right. \\
 &\quad \left. + \left( c_+^* c_- + c_+ c_-^* \right) e^{i\omega t} - \cancel{c_+ c_-^*} / e^{i\omega t} \right\}
 \end{aligned}$$

log

$$\langle s_x \rangle_t = \langle s_x \rangle_0 \cos \omega t - \langle s_y \rangle_0 \sin \omega t$$

$$\langle s_y \rangle_t = \langle s_y \rangle_0 \cos \omega t + \langle s_x \rangle_0 \sin \omega t$$

Temos ainda que

$$\langle \alpha(t) | s_z | \alpha(t) \rangle = \frac{\hbar}{2} \left\{ |c_+|^2 - |c_-|^2 \right\} \equiv \langle s_z \rangle_0$$

Como vimos entrar nessa "Revisão" apesar do valor esperado de  $S_x + S_y$  ser nôdromo, (dependendo do tempo) os valores de  $|C_+|^2$  e  $|C_-|^2$  não dependem do tempo, quando  $B_z = 0$ .

No caso  $B_z \neq 0$   $|C_+|^2$  e  $|C_-|^2$  variam no tempo. Para ver isso ~~vamos~~ vamos identificá-los.

$$-\frac{e^{\frac{i\hbar}{2}B_z}}{2mc} \rightarrow \gamma \quad \omega = \omega$$

Agora usarei os resultados obtidos para o sistema de dois estados.

A interação pode ser escrita como

$$\begin{aligned} V(t) &= -\frac{e^{\frac{i\hbar}{2}B_z}}{2mc} \left\{ e^{-i\omega t} |+\rangle \langle -| + e^{i\omega t} |-\rangle \langle +| \right\} \\ &= \gamma e^{i\omega t} |-\rangle \langle +| + \gamma e^{-i\omega t} |+\rangle \langle -| \end{aligned}$$

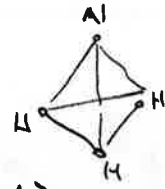
Identificando  $|+\rangle \equiv 2$  e  $|-\rangle \equiv 1$  obtemos o mesmo potencial da (5.5.18) (pag 54)

Pontando dos gráficos da pag 55 vemos que há uma sucessão de transições entre os estados  $|+\rangle$  e  $|-\rangle$  além é claro do processo do spin dividido a  $B_z$ .

~~Então~~: É claro que a ressonância é atingida quando  $\omega = \omega_{21}$ .

Mases

Consideramos a molécula de amônia  $\text{NH}_3$



Ela tem dois autoestados da paridade  $|S>$  e  $|A>$ .

$|A>$  tem uma energia um pouco maior que  $|S>$

Por questões de simetria esperamos que o momento do dipolo elétrico da molécula seja proporcional ao vetor posição  $\vec{r}$  do átomo N.

Consideremos a interação dependente do tempo

$$V(t) = -\vec{\mu}_{\text{el}} \cdot \vec{E} \quad \text{onde} \quad \vec{E} = E_{\text{max}} \hat{x} \cos \omega t$$

A variação espacial da  $\vec{E}$  é desproporcional para seu comprimento de onda  $\lambda$  grande em relação à molécula  $\text{NH}_3$ ; portanto a frequência  $\omega$  é escolhida como constante.

$$\omega \approx \frac{E_A - E_S}{\hbar}$$

Por razões de paridade

$$\langle A | \mu_{\text{el}} | A \rangle = \langle S | \mu_{\text{el}} | S \rangle = 0$$

mas os elementos for da diagonal não são nulos

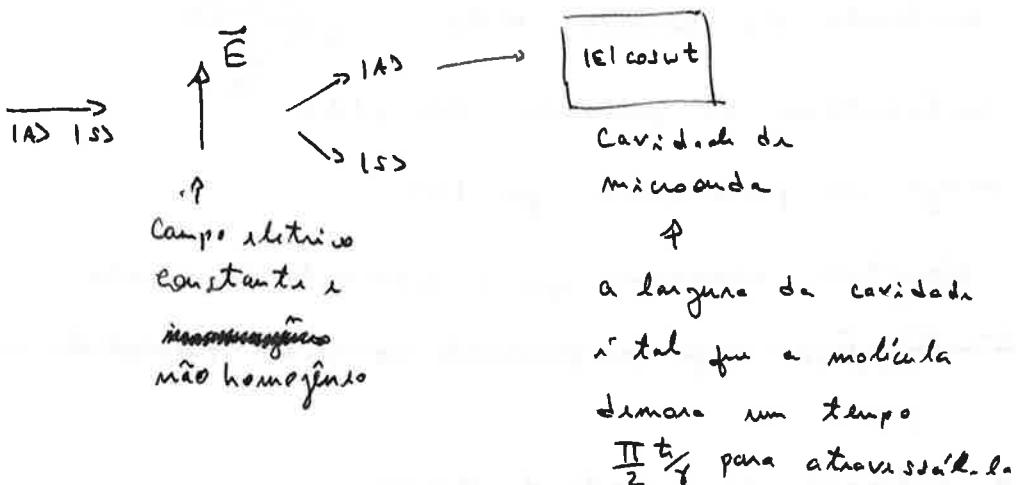
$$\langle A | \mu_{\text{el}} | S \rangle = \langle S | \mu_{\text{el}} | A \rangle \neq 0$$

Daí

$$V(t) = \gamma_1 | A \rangle \langle S | + \gamma_2 | S \rangle \langle A |$$

o potencial conecta os dois estados e a dissipar do sistema da dois estados se aplicar aqui.

## funcionamento do maser:



Portanto os sair da cavidade as moléculas estarão no estado  $|3S\rangle$  e a能力 para perderam transformo em radiações de frequência  $\omega$  em vez de  $|E1 \cos wt|$ . Obtemos então uma amplificação da intensidade da radiação. (Microwave Amplification by Stimulated Emission of Radiation MASER)

## Teoria da perturbação dependente do tempo

### Série de Dyson

Nós vimos como usar a ap. de interago para tratar potenciais dependentes do tempo. Também resolvemos exatamente o problema de dois estados.

No entanto muitos problemas não podem ser resolvidos exatamente. Fazemos então uma expansão perturbativa.

Como o problema se resume em resolver a eq. (5.5.15) para encontrar os coeficientes  $c_n(t)$  fazemos a expansão

$$c_n(t) = c_n^{(0)} + c_n^{(1)} + c_n^{(2)} + \dots$$

onde os n° entre parênteses denotam a ordem da perturbação.

~~Então o menor número de estados é o menor que possa ser~~

Substituindo em (S.S.13)

$$i\hbar \frac{d}{dt} c_m = \sum_n V_{mn} e^{i\omega_{mn} t} c_n$$

temos

$$i\hbar \frac{d}{dt} (c_m^{(0)} + c_m^{(1)} + \dots) = \sum_n V_{mn} e^{i\omega_{mn} t} (c_m^{(0)} + c_m^{(1)} + \dots)$$

e dar

$$\frac{d}{dt} c_m^{(0)} = 0$$

~~então~~

$$i\hbar \frac{d}{dt} c_m^{(1)} = \sum_n V_{mn} e^{i\omega_{mn} t} c_m^{(0)}$$

...

$$i\hbar \frac{d}{dt} c_m^{(k)} = \sum_n V_{mn} e^{i\omega_{mn} t} c_m^{(k-1)}$$

Um seja  $c_m^{(0)}$  e independente do tempo e  $c_m^{(1)}$  e determinado a partir de  $c_m^{(k-1)}$

Se inicialmente somente o estado i está populado fazemos

$$c_m^{(0)} = \delta_{mi} \quad \text{e dar}$$

$$i\hbar \frac{d}{dt} c_m^{(1)} = V_{mi} e^{i\omega_{mi} t} \Rightarrow c_m^{(1)} = \frac{1}{i\hbar} \int_{t_0}^t dt' V_{mi} e^{i\omega_{mi} t'}$$

onde a constante de integração é tal que  $c_m^{(1)}(t_0) = 0$

Desta maneira integramos as eqs (S.S.15) e encontramos  $c_m^{(k)}$  iterativamente. Esta é a maneira que Dirac ~~foi~~ resolviu o problema em 1927.

Um método mais moderno é o de Dyson utilizando o operador de evolução temporal na esp. de integrais. Ele pode também ser utilizado em teorias relativísticas.

Definimos o operador de evolução temporal na MP. da intuição como

$$|\alpha, t_0, t\rangle_I = U_I(t, t_0) |\alpha, t_0, t_0\rangle_I$$

Como

$$i\hbar \frac{\partial}{\partial t} |\alpha, t_0, t\rangle_I = V_I |\alpha, t_0, t\rangle_I$$

Temos

$$i\hbar \frac{d}{dt} U_I(t, t_0) = V_I U_I(t, t_0) \quad (\text{S. 6.3})$$

A condição inicial para este equação é clara

$$U_I(t_0, t_0) = 1 \quad (\text{S. 6.4})$$

(S. 6.3) e (S. 6.4) são equivalentes a

$$U_I(t, t_0) = 1 - \frac{i}{\hbar} \int_{t_0}^t V_I(t') U_I(t', t_0) dt'$$

Obtemos então uma expansão

$$\begin{aligned} U(t, t_0) &= 1 - \frac{i}{\hbar} \int_{t_0}^t dt' V(t') \left[ 1 - \int_{t_0}^{t'} dt'' V_I(t'') U_I(t'', t_0) \right] = \\ &= 1 - \frac{i}{\hbar} \int_{t_0}^t dt' V(t') + \left( -\frac{i}{\hbar} \right)^2 \int_{t_0}^{t'} dt' \int_{t_0}^{t'} dt'' V_I(t') V_I(t'') + \dots \\ &\dots \left( -\frac{i}{\hbar} \right)^m \int_{t_0}^t dt' \int_{t_0}^{t'} dt'' \dots \int_{t_0}^{t^{(m)}} dt'' V_I(t') V_I(t'') \dots V_I(t^m) + \dots \end{aligned}$$

Esta é a chamada séria de Dyson. que foi aplicada primeiramente a QED covariante

## Probabilidade de transições

Vejamos a relação entre  $U_I(t, t_0)$  e  $U_S(t, t_0)$  (mais da Schrödinger)  
Temos

$$\begin{aligned} |\alpha, t_0, t\rangle_I &= e^{iH_0 t/\hbar} |\alpha, t, t_0\rangle_S \\ &= e^{iH_0 t/\hbar} U_S(t, t_0) |\alpha, t_0, t_0\rangle_S \\ &= e^{iH_0 t/\hbar} U_S(t, t_0) e^{-iH_0 t_0/\hbar} |\alpha, t_0, t_0\rangle_I \end{aligned}$$

e daí

$$U_I(t, t_0) = e^{iH_0 t/\hbar} U_S(t, t_0) e^{-iH_0 t_0/\hbar}$$

Note que se em  $t=0$  o sistema está no estado  $|i\rangle$  que é o auto-estado de  $H_0$  temos que no tempo  $t$  estará no estado

$$\begin{aligned} |i, t_0=0, t\rangle_I &= U_I(t, 0) |i\rangle_I = U_I(t, 0) e^{\pm iH_0 0/\hbar} |i\rangle_S \\ &= U_I(t, 0) |i\rangle_S \\ &= \sum_m |m\rangle \langle m| U_I(t, 0) |i\rangle \end{aligned}$$

Portanto  $\langle m| U_I(t, 0) |i\rangle$  muda mais é que o coeficiente  $c_m(t)$  definido anteriormente. Temos então

$$\langle m| U_I(t, t_0) |i\rangle = e^{i(E_m t - E_i t_0)/\hbar} \langle m| U(t, t_0) |i\rangle$$

E  $\langle m| U(t, t_0) |i\rangle$  é a amplitude de transição entre os estados  $i$  e  $m$ . logo  $\langle m| U_I |i\rangle$  não é a amplitude de transição, mas é a probabilidade de transição

$$|\langle m| U_I(t, t_0) |i\rangle|^2 = |\langle m| U(t, t_0) |i\rangle|^2$$

No que a probabilidade  $\tau$  de transição entre auto-estados de operadores que não contam com  $H_0$  não é dada por  $|\langle a | U_I | s \rangle|^2$ , pois

$$\begin{aligned}\langle a | U_I | s \rangle &= \langle a | e^{i H_0 t / \hbar} | s \rangle e^{-i H_0 t / \hbar} | s \rangle \\ &= \sum_{a', s'} *_{a', s'}^* \langle a' | U | s' \rangle\end{aligned}$$

onde  $e^{-i H_0 t / \hbar} | a \rangle = \sum_a x_a | a' \rangle$

$$e^{-i H_0 t / \hbar} | s \rangle = \sum_s y_s | s' \rangle$$

Nestes casos precisamos expandir  $|a\rangle$  e  $|s\rangle$  em termos de auto-estados de  $H_0$ .

### Caço típico.

Consideremos o caso em que  $t$  em  $t=t_0$  o sistema esteja no estado  $|i\rangle$  que é auto-estado de  $H_0$ . A menos de uma fase  $|i, t_0, t_0\rangle_s$ , e  $|i\rangle$  a menos de uma fase

Escolhemos

$$|i, t_0, t_0\rangle_s = e^{-i E_i t_0 / \hbar} |i\rangle$$

e dar

$$|i, t_0, t_0\rangle_I = |i\rangle$$

No tempo  $t$

$$|i, t_0, t\rangle_I = U_I(t, t_0) |i\rangle$$

Comparando com a definição de  $C_m(t)$

$$|i, t_0, t\rangle_I = \sum_m C_m(t) |m\rangle$$

Vemos que

$$C_m(t) = \langle m | U_I(t, t_0) | i \rangle$$

Usando a regra de Dyson para  $V_I(t, t_0)$  obtemos uma expansão para  $C_m(t) = C_m^{(0)} + C_m^{(1)} + C_m^{(2)} \dots$  onde  $C_m^{(k)}$  é da ordem  $k$  no potencial perturbador.

$$C_m(t) = \langle m | V_I(t, t_0) | i \rangle = \langle m | i \rangle - \frac{i}{\hbar} \int_{t_0}^t dt' \langle m | V_I(t') | i \rangle + \\ + \left(\frac{-i}{\hbar}\right)^2 \int_{t_0}^t dt' \int_{t_0}^{t'} dt'' \langle m | V_I(t') V_I(t'') | i \rangle + \dots$$

e então

$$C_m^{(0)} = \langle m | i \rangle = \delta_{mi}$$

$$C_m^{(1)} = -\frac{i}{\hbar} \int_{t_0}^t dt' \langle m | V_I(t') | i \rangle = -\frac{i}{\hbar} \int_{t_0}^t dt' e^{i(E_m - E_i)t'/\hbar} \langle m | V(t') | i \rangle \\ = -\frac{i}{\hbar} \int_{t_0}^t dt' e^{i\omega_{mi}t'} V_{mi}(t') \quad \omega_{mi} = \frac{E_m - E_i}{\hbar} \quad (5.6.17) \\ V_{mi} = \langle m | V_I(t') | i \rangle$$

$$C_m^{(2)} = \left(-\frac{i}{\hbar}\right)^2 \sum_m \int_{t_0}^t dt' \int_{t_0}^{t'} dt'' e^{i\omega_{mm}t'} e^{i\omega_{mi}t''} V_{mm}(t') V_{mi}(t'')$$

A transferir de probabilidade é

$$\text{Kend } P(i \rightarrow m) = |\langle m | V_I(t_0, t_0) | i \rangle|^2 = |C_m(t)|^2 \\ = |C_m^{(0)} + C_m^{(1)} + \dots|^2 \\ = |C_m^{(0)}|^2 + [C_m^{(0)*} C_m^{(1)} + C_m^{(0)} C_m^{(1)*}] + \\ + [|C_m^{(1)}|^2 + C_m^{(1)*} C_m^{(2)} + C_m^{(1)} C_m^{(2)*}] \\ = P^{(0)} + P^{(1)} + P^{(2)} + \dots$$

Como  $C_m^{(0)} = \delta_{mi}$

$$P^{(0)} = \delta_{mi} \quad P_m^{(1)} = \delta_{mi} + 2 \operatorname{Re} C_m^{(1)} \quad P_m^{(2)} = |C_m^{(1)}|^2 + \delta_{mi} 2 \operatorname{Re} C_m^{(2)}$$

Perturbación por un potencial constante

$$V(t) = \begin{cases} 0 & \text{p/ } t < 0 \\ V (\text{ind. de } t) & \text{p/ } t \geq 0 \end{cases}$$

Si en  $t=0$  estamos en estado  $i$  tenemos

$$C_m^{(0)} = \delta_{mi}$$

$$C_m^{(1)} = -\frac{i}{\hbar} V_{mi} \int_0^t e^{i\omega_{mi} t'} dt' = -\frac{i}{\hbar} V_{mi} \left. \frac{e^{i\omega_{mi} t'}}{i\omega_{mi}} \right|_{t=0}^t$$

$$= \frac{V_{mi}}{E_m - E_i} (1 - e^{i\omega_{mi} t})$$

o dar

$$|C_m^{(1)}|^2 = \frac{|V_{mi}|^2}{|E_m - E_i|^2} (1 - e^{i\omega_{mi} t})(1 - e^{-i\omega_{mi} t})$$

$$= \frac{|V_{mi}|^2}{|E_m - E_i|^2} (2 - 2 \cos \omega_{mi} t)$$

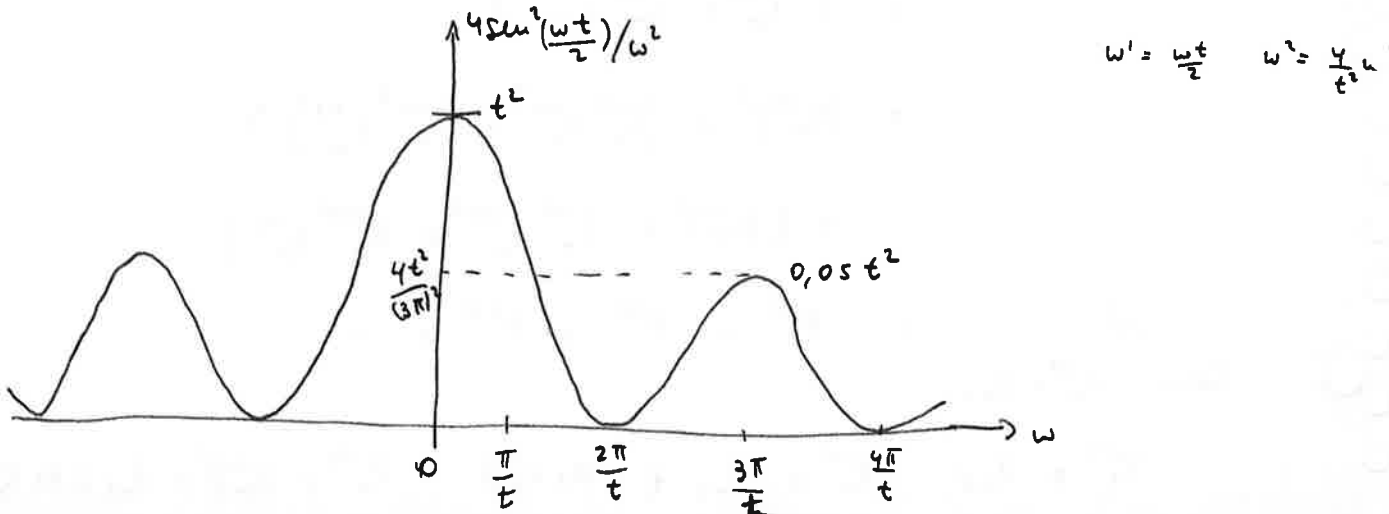
$$\begin{aligned} \cos x - \cos y &= 2 \sin \frac{x-y}{2} \sin \frac{y-x}{2} \\ x = 0 &\quad y = \omega_{mi} t \end{aligned}$$

$$1 - \cos y = 2 \sin^2 \frac{y}{2}$$

$$= 4 \frac{|V_{mi}|^2}{|E_m - E_i|^2} \sin^2 \left( \frac{(E_m - E_i)t}{2\hbar} \right)$$

• Ora seja  $|C_m^{(1)}|^2$  depende de  $|V_{mi}|^2$ ,  $(E_m - E_i)$ .

Fazendo o gráfico da  $4 \sin^2(\frac{\omega t}{2})/\omega^2$  contra  $\omega$  para  $t$  fixo ( $\omega = \frac{E_m - E_i}{\hbar}$ )



Portanto a altura em  $w=0$  é  $t^2$  e a largura de pico é proporcional a  $1/t$ . Para  $t$  grande somente as frequências menores farão  $\frac{2\pi}{t}$  contribuir para  $|c_m^{(1)}|^2$ . Ou seja, para as energias que satisfazem

$$t \sim \frac{2\pi}{|\omega|} = \frac{2\pi E}{|E_m - E_i|}$$

Portanto para um intervalo de tempo  $\Delta t$  desse tipo a perturbação foi ligada a transição com menor energia se

$$\Delta E \Delta t \sim \rho t$$

$\Delta E$  - Energia involvida na transição  $\Delta E = E_m - E_i$

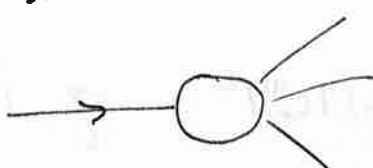
Portanto para  $\Delta t$  pequeno podemos ter tolhido uma não conservação da energia  $\Delta E$  maior. Conforme  $\Delta t$  cresce esta não conservação diminui.

No caso  $E_m = E_i$  ( $\omega=0$ ) temos ( $\lim_{x \rightarrow 0} \frac{\sin x}{x} = 1$ )

$$|c_m^{(1)}|^2 = \frac{|V_{m,i}|^2 t^2}{t^2}$$

Dois exemplos onde  $E_m = E_i$  são

i) Espalhamento elástico



a partícula muda de direção (momento) mas não de energia

ii) átomo de He -  $|i\rangle \equiv (2s)^2$  dois elétrons excitados

$$|f\rangle \equiv (1s)^1 + \text{elétron livre}$$

a energia de  $|i\rangle$  e  $|f\rangle$  é a mesma pois não houve emissão de radiação.

Quando temos vários estados finais com energia  $E_m$  próxima de  $E_i$ , estamos interessados na probabilidade do sistema ir para qualquer um dos estados finais, i.e.

$$\sum_{m, E_m \sim E_i} |c_m^{(t)}|^2$$

Definimos a densidade de estados finais como

$$\rho(E) dE = \text{nr. de estado com energia entre } E \text{ e } E + dE$$

Dar

$$\begin{aligned} \sum_{m, E_m \sim E_i} |c_m^{(t)}|^2 &\Rightarrow \int dE_m \rho(E) |c_m^{(t)}|^2 = \\ &= 4 \int \sin^2\left[\frac{(E_m - E_i)t}{2k}\right] \frac{|V_{mi}|^2}{|E_m - E_i|^2} \rho(E_m) dE_m \end{aligned}$$

Usando

$$\lim_{x \rightarrow \infty} \frac{1}{\pi} \frac{\sin^2 \alpha x}{\alpha x^2} = \delta(x)$$

temos

$$\lim_{t \rightarrow \infty} \frac{1}{|E_m - E_i|^2} \sin^2\left[\frac{(E_m - E_i)t}{2k}\right] = \frac{\pi t}{2k} \delta(E_m - E_i)$$

Dar

$$\lim_{t \rightarrow \infty} \int dE_m \rho(E_m) |c_m^{(t)}|^2 = \frac{2\pi}{t} \overline{|V_{mi}|^2} \rho(E_i) t \Big|_{E_m \sim E_i}$$

Portanto a probabilidade da transição total é proporcional ao  $t$  para  $t$  grande. Isto é devido à razão de que a área sob o pico que tem altura  $t$  é largura  $1/t$ .

O significado de  $\overline{|V_{mi}|^2}$  é o seguinte: apesar das energias serem as mesmas para os estados  $|m\rangle$ , os estados em si podem (e são) diferentes. Desta forma  $V_{mi}$  também não é o mesmo p/ todo  $m$ . Por este razão tomamos a média.

A probabilidade de transição por unidade de tempo, chamada de taxa de transição é definida por

$$\omega_{i \rightarrow m} = \frac{d}{dt} \left( \sum_n |c_n^{(1)}|^2 \right)$$

~~¶~~ Dos resultados acima vemos que ela é constante em  $t \gg t_0$ .

$$\omega_{i \rightarrow m} = \frac{2\pi}{\hbar} |V_{mi}|^2 \rho(E_m)_{E_m \sim E_i}$$

Esta é a chamada regra de sinal de Fermi (após o nome da teoria ter sido desenvolvida por Dirac)

É comum denotar

$$\omega_{i \rightarrow m} = \frac{2\pi}{\hbar} |V_{mi}|^2 \delta(E_m - E_i)$$

que deve ser entendido como integrada em  $\int dE_n \rho(E_n)$

A contribuição da 2ª ordem p/ potencial constante

Temos

$$\begin{aligned} C_m^{(2)} &= \left(\frac{-i}{\hbar}\right)^2 \sum_m V_{mm} V_{mi} \int_0^t dt' e^{i w_{mm} t'} \int_0^{t'} dt'' e^{i w_{mi} t''} \\ &= \frac{i}{\hbar} \sum_m \frac{V_{mm} V_{mi}}{E_m - E_i} \int_0^t dt' e^{i w_{mm} t'} \underbrace{\left[ e^{i w_{mi} t'} - 1 \right]}_{e^{i w_{mi} t'} - e^{i w_{mm} t'}} \end{aligned}$$

O 1º termo no r.h.s. tem a mesma dependência temporal que  $C_m^{(1)}$ , pois

$$C_m^{(1)} = \frac{V_{mi}}{E_m - E_i} (1 - e^{i w_{mi} t})$$

Se uss fosse o único termo usarmos os mesmos argumentos para concluir que quando  $E_m \approx E_i$  a contribuição só vem de  $E_m - E_i$ .

De fato, quando  $E_m$  difere de  $E_m - E_i$  o segundo termo oscila rapidamente e não contribui p/ a transição.

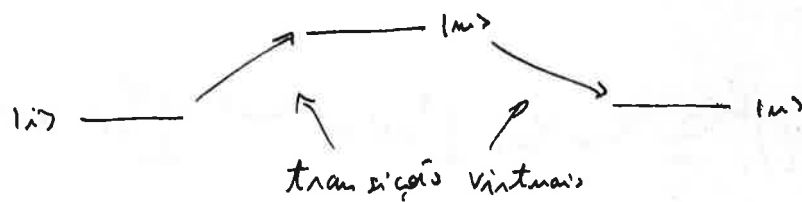
↓ Com a contribuição da  $C_m^{(1)}$  e  $C_m^{(2)}$  termos

$$W_{i \rightarrow m} = \frac{2\pi}{\hbar} \left| V_{mi} + \sum_n \frac{V_{mn} V_{ni}}{E_i - E_m} \right|^2 \rho(E_m) \Big|_{E_m - E_i}$$

Interpretar:

$V_{mi} \rightarrow$  transição direta  $|i\rangle \rightarrow |m\rangle$

$V_{mn} V_{ni} \rightarrow$  existe uma transição virtual no meio que viola a conservação de energia



Quando  $V_{mn} V_{ni} \neq 0$  e  $E_m \approx E_i$  a fórmula precisa de um tratamento especial foi verificada no problema 31 a seção 5.8.

Temos que trocar

$$E_m - E_i \text{ por } E_m - E_i + i\epsilon.$$

## Perturbação Harmônica

Considerem um potencial da forma

$$V(t) = V e^{i\omega t} + V^+ e^{-i\omega t} \quad (\text{S. 6.39})$$

onde  $V$  é um operador que pode depender de  $\hat{x}$ ,  $\hat{p}$ , etc.

Como  $C_m^{(1)}(t) = \frac{-i}{\hbar} \int_{t_0}^{t_0} e^{i\omega_m t'} V_{m_i}(t') dt'$  (veja S. 6.11)

temos ( $t_0=0$ )

$$\begin{aligned} C_m^{(1)}(t) &= \frac{-i}{\hbar} \int_0^t [V_{m_i} e^{i\omega t'} + V_{m_i}^+ e^{-i\omega t'}] e^{i\omega_m t'} dt' \\ &= \frac{1}{\hbar} \left\{ \frac{1 - e^{i(\omega + \omega_{m_i})t}}{\omega + \omega_{m_i}} V_{m_i} + \frac{1 - e^{i(\omega_{m_i} - \omega)t}}{\omega_{m_i} - \omega} V_{m_i}^+ \right\} \end{aligned}$$

Esta fórmula é bastante parecida com o caso do potencial constante. Basta fazer

$$\omega_{m_i} \rightarrow \omega_{m_i} \pm \omega$$

e vemos que cada termo é igual ao potencial constante.

Na verdade

$$\begin{aligned} |C_m^{(1)}(t)|^2 &= \frac{1}{\hbar^2} \left\{ \frac{(1 - e^{i(\omega + \omega_{m_i})t})(1 - e^{-i(\omega + \omega_{m_i})t})}{(\omega + \omega_{m_i})^2} |V_{m_i}|^2 + \right. \\ &\quad + \frac{(1 - e^{i(\omega_{m_i} - \omega)t})(1 - e^{-i(\omega_{m_i} - \omega)t})}{(\omega_{m_i} - \omega)^2} |V_{m_i}^+|^2 + \\ &\quad + \frac{(1 - e^{i(\omega + \omega_{m_i})t})(1 - e^{-i(\omega_{m_i} - \omega)t})}{(\omega + \omega_{m_i})(\omega_{m_i} - \omega)} (V_{m_i})^+ (V_{m_i}^+)^+ + \\ &\quad \left. + \frac{(1 - e^{i(\omega_{m_i} - \omega)t})(1 - e^{-i(\omega + \omega_{m_i})t})}{(\omega_{m_i} - \omega)(\omega + \omega_{m_i})} V_{m_i}^+ (V_{m_i})^+ \right\} \end{aligned}$$

Usando

$$\cos x - \cos y = 2 \sin \frac{x+y}{2} \sin \frac{y-x}{2} \quad \text{temos:}$$

$$\begin{aligned}
|C_m^{(1)}(t)|^2 &= \frac{|V_{m,i}|^2}{t^2} \left[ 2 - 2 \cos (\omega_{m,i} + \omega)t \right] + \\
&+ \frac{|V_{m,i}^+|^2}{t^2} \left[ 2 - 2 \cos (\omega_{m,i} - \omega)t \right] + \\
&+ \frac{V_{m,i} [V_{m,i}^+]^+}{t^2} \left[ \frac{1 + e^{2i\omega t}}{(\omega + \omega_{m,i})(\omega_{m,i} - \omega)} - \frac{e^{i(\omega + \omega_{m,i})t}}{(\omega + \omega_{m,i})} - \frac{e^{-i(\omega_{m,i} - \omega)t}}{\omega_{m,i} - \omega} \right] + \\
&+ \frac{(V_{m,i}^+)^2 V_{m,i}^+}{t^2} \left[ \frac{1 + e^{2i\omega t}}{(\omega + \omega_{m,i})(\omega_{m,i} - \omega)} - \frac{e^{-i(\omega + \omega_{m,i})t}}{(\omega + \omega_{m,i})} - \frac{e^{i(\omega_{m,i} - \omega)t}}{\omega_{m,i} - \omega} \right] \\
&= 4 \frac{|V_{m,i}|^2}{t^2} \frac{\sin^2 \frac{(\omega_{m,i} + \omega)t}{2}}{(\omega + \omega_{m,i})^2} + 4 \frac{|V_{m,i}^+|^2}{t^2} \frac{\sin^2 \frac{(\omega_{m,i} - \omega)t}{2}}{(\omega_{m,i} - \omega)^2} + \\
&+ \frac{V_{m,i} V_{i,m} e^{i\omega t}}{t^2} \left\{ \frac{2 \cos \omega t - 2 \cos \omega_{m,i} t}{(\omega + \omega_{m,i})(\omega_{m,i} - \omega)} \right\} + \\
&+ \frac{V_{i,m}^+ V_{m,i}^+}{t^2} \bar{e}^{-i\omega t} \left\{ \frac{2 \cos \omega t - 2 \cos \omega_{m,i} t}{(\omega + \omega_{m,i})(\omega_{m,i} - \omega)} \right\} \\
&= 4 \frac{|V_{m,i}|^2}{t^2} \frac{\sin^2 \frac{(\omega_{m,i} + \omega)t}{2}}{(\omega + \omega_{m,i})^2} + 4 \frac{|V_{m,i}^+|^2}{t^2} \frac{\sin^2 \frac{(\omega_{m,i} - \omega)t}{2}}{(\omega_{m,i} - \omega)^2} + \\
&+ \frac{4}{t^2} \frac{\sin \frac{(\omega_{m,i} + \omega)t}{2} \sin \frac{(\omega_{m,i} - \omega)t}{2}}{(\omega + \omega_{m,i})(\omega_{m,i} - \omega)} 2 \operatorname{Re} (V_{m,i} V_{i,m} e^{i\omega t})
\end{aligned}$$

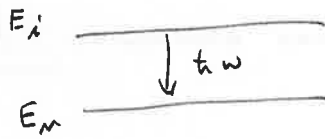
Conforme  $t \rightarrow \infty$ ,  $|V_{mi}|^2$  tem um valor razoável para

$$W_{mi} + w \sim 0 \quad \text{ou} \quad E_m \sim E_i - tw \quad (i)$$

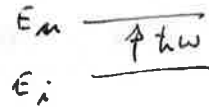
$$W_{mi} - w \sim 0 \quad \text{ou} \quad E_m \sim E_i + tw \quad (ii)$$

No primeiro caso temos emissão estimulada de radiação e no segundo吸收ção

(i)



(ii)



Em analogia com o caso do potencial constante

$$W_{i \rightarrow m} = \frac{2\pi}{\hbar} \overline{|V_{mi}|^2} \rho(E_m) \Big|_{E_m \sim E_i - tw} \quad (*)$$

$$W_{i \rightarrow m} = \frac{2\pi}{\hbar} \overline{|V_{mi}^+|^2} \rho(E_m) \Big|_{E_m \sim E_i + tw} \quad (**)$$

Onde  $\overline{|V_{mi}|^2}$  mede a probabilidade de emissão e  $\overline{|V_{mi}^+|^2}$  mede a absorção.

Como  $\overline{|V_{mi}|^2} = \overline{|V_{im}^+|^2}$  sempre que  $V_{im}^+ = \langle i | V^+ | m \rangle = \langle m | V | i \rangle^+$   
temos ~~entre~~ entre os casos (\*) e (\*\*).

$$\frac{\text{raio de emissão para } i \rightarrow m}{\text{densidade de estados finais } |m\rangle} = \sqrt{\frac{\text{raio de}}{\text{densidade de estados finais } |i\rangle}}$$

onde no segundo caso (ii) é o estado final.

Portanto a probabilidade de transição é máxima no caso

a) potencial constante  $\rho / E_m \sim E_i$

b) u harmonico  $\rho / E_m \sim E_i + tw$

## Aplicações a interações com o campo clássico de radiação

Absorção e emissão estimuladas: Interação de um elétron atômico (livre) com o campo clássico de radiação

Desprezando termos em  $1A^2$  temos

$$H = \frac{(\vec{p} - \frac{e\vec{A}}{c})^2}{2m} + e\phi(x) = \frac{\vec{p}^2}{2m} - \frac{e}{mc}\vec{p}\cdot\vec{A} + e\phi(x)$$

uma vez que  $\vec{p}\cdot\vec{A} = \vec{A}\cdot\vec{p}$  pois estamos assumindo  $\vec{\nabla}\cdot\vec{A} = 0$

Tomamos  $\vec{A}$  como

$$\vec{A} = 2A_0 \hat{e} \cos\left(\frac{\omega}{c}\hat{m}\cdot\vec{x} - \omega t\right)$$

onde

$\hat{e}$  - polarização linear

$\hat{m}$  - direção de propagação

Como  $\hat{e}\cdot\hat{m} = 0$  temos  $\vec{\nabla}\cdot\vec{A} = 0$

Escrevendo

$$\vec{A} = 2A_0 \hat{e} [e^{i\frac{\omega}{c}\hat{m}\cdot\vec{x} - i\omega t} + e^{-i\frac{\omega}{c}\hat{m}\cdot\vec{x} + i\omega t}]$$

e dar

$$V(t) \equiv -\frac{e}{mc} \vec{A} \cdot \vec{p} = -\frac{e}{mc} A_0 \hat{e} \vec{p} [e^{i\frac{\omega}{c}\hat{m}\cdot\vec{x} - i\omega t} + e^{-i\frac{\omega}{c}\hat{m}\cdot\vec{x} + i\omega t}]$$

Comparando com (5.6.39) nós vemos que o termo em  $e^{-i\omega t}$  é responsável pela absorção e aquela em  $e^{i\omega t}$  pela emissão.

Consideremos a absorção. Temos:

$$V_{mi}^+ = -\frac{eA_0}{mc} \left( e^{i\frac{\omega}{c}\hat{m} \cdot \vec{x}} \hat{e} \cdot \hat{p} \right)_{mi}$$

e daí ~~intensidade de radiação com energia~~  $\delta(E_m - E_i - \hbar\omega)$

$$W_{i \rightarrow m} = \frac{2\pi}{\hbar} \frac{e^2}{m^2 c^2} |A_0|^2 |\langle m | e^{i\frac{\omega}{c}\hat{m} \cdot \vec{x}} \hat{e} \cdot \hat{p} | i \rangle|^2 \delta(E_m - E_i - \hbar\omega)$$

onde a função delta irá colocada no mesmo sentido que em (5.6.35).

A seção de choque para absorção é

$$\sigma_{abs} \sim \frac{\text{Energia por unidade de tempo absorvida pelo atomo}}{\text{Fluxo de radiação do campo de radiação}}$$

$$[\sigma] = \frac{(E) T^{-1}}{(E) T^{-1} L^{-2}} \sim L^2 \text{ (cm}^2\text{)}$$

O fluxo do campo  $E^-$  ( $c \times$  densidade de energia)

$$U = \frac{1}{2} \left( \frac{E_{max}^2}{8\pi} + \frac{B_{max}^2}{8\pi} \right)$$

$$E = -\frac{1}{c} \frac{\partial \vec{A}}{\partial t}, \quad \vec{B} = \vec{\nabla} \times \vec{A}$$

$$\vec{E} = \frac{2A_0\omega}{c} \vec{E} \cos\left(\frac{\omega}{c}\hat{m} \cdot \vec{x} - \omega t\right)$$

$$\begin{aligned} \vec{B}_x &= \partial_y B_z - \partial_z B_y = -2A_0 \left( B_x \frac{\omega}{c} \epsilon_x n_y - B_y \frac{\omega}{c} \epsilon_y n_x \right) \sin\left(\frac{\omega}{c}\hat{m} \cdot \vec{x} - \omega t\right) \\ &= -2 \frac{A_0 \omega}{c} (Exm)_x \sin\left(\frac{\omega}{c}\hat{m} \cdot \vec{x} - \omega t\right) \end{aligned}$$

$$E_{max}^2 + B_{max}^2 = 8 \frac{|A_0|^2 \omega^2}{c^2} \Rightarrow U = \frac{1}{2\pi} \frac{|A_0|^2 \omega^2}{c^2}$$

$$\text{Fluxo} = cU = \frac{1}{2\pi} \frac{\omega^2}{c} |A_0|^2$$

Dar:

$$\sigma_{\text{ass}} = \frac{\hbar \omega \frac{2\pi}{\hbar} \frac{e^2}{m^2 c^2} |A_0|^2 |\langle m | e^{i(\omega/c)\hat{m} \cdot \vec{r}} | i \rangle|^2 \delta(E_m - E_i - \hbar\omega)}{\frac{1}{2\pi} \frac{\omega^2}{c^2} |A_0|^2}$$

$$= \frac{4\pi^2 \hbar}{m^2 c^2} \left( \frac{e^2}{\hbar c} \right) |\langle m | e^{i(\omega/c)\hat{m} \cdot \vec{r}} | i \rangle|^2 \delta(E_m - E_i - \hbar\omega)$$

Como  $\delta(E_m - E_i - \hbar\omega) = \frac{1}{\hbar} \delta(\omega_{mi} - \omega) \rightarrow \delta(\omega_{mi} - \omega)$  tem dimensões de  $T$ , temos

$$[\sigma] \sim \frac{T}{M^2} (MLT^{-1})^2 T = L^2$$

### Aproximação de dipolo elétrico

No caso do comprimento da onda da radiação em muito maior que as dimensões do átomo nós podemos aproximar a séris

$$e^{i\frac{\omega}{c}\hat{m} \cdot \vec{x}} = 1 + i\frac{\omega}{c}\hat{m} \cdot \vec{x} + \dots$$

pelo primeiro termo sólamente, i.e. 1. A razão é que

$$\frac{\omega}{c} = \frac{2\pi\nu}{c} = \frac{2\pi}{\lambda} \Rightarrow \frac{\omega}{c}\hat{m} \cdot \vec{x} \sim \frac{x}{\lambda}$$

Como calculamos elementos da matriz entre estados atômicos os valores de  $x$  que entram em um fator de  $\lambda$  da ordem da dimensão do átomo e dar  $\frac{x}{\lambda} \ll 1$ .

A frequência  $\omega$  tem que ser tal que  $\hbar\omega$  é da ordem do espaçamento dos níveis

Dai

$$\hbar \omega \sim \frac{ze^2}{(a_0/2)} \sim \frac{ze^2}{R_{\text{átomo}}}$$

Então

$$\frac{c}{\omega} = \frac{\lambda}{2\pi} \sim \frac{\hbar c R_{\text{átomo}}}{ze^2} \sim \frac{137 R_{\text{átomo}}}{z}$$

On vige

$$\frac{R_{\text{átomo}}}{\lambda/2\pi} \sim \frac{z}{137} \ll 1$$

Pontanto precisamos ter átomos de nítrio atômico puro.

Logo, dentro desse aproximação

$$\langle m | e^{i \frac{\omega}{\hbar} \hat{m} \cdot \vec{x}} \hat{e} \cdot \vec{p} | i \rangle = \hat{e} \cdot \langle m | \vec{p} | i \rangle$$

Tomando  $\hat{e}$  na direção  $x$  e esquecendo

$$\frac{i \hbar \vec{p}_x}{m} = [x, H_0] \quad \text{onde} \quad H_0 = \frac{\vec{p}^2}{2m} + e \phi$$

temos

$$\begin{aligned} \langle m | \vec{p}_x | i \rangle &= \frac{m}{i\hbar} \langle m | [x, H_0] | i \rangle = \frac{i m}{i\hbar} \langle m | x \epsilon_i - E_m x | i \rangle \\ &= im \omega_m K_m | x | i \rangle \quad (\text{Por isto é chamada de}) \\ &\quad \text{aprox. de dipolo} \end{aligned}$$

Usando as regras da seção p/ dipolo:

$\vec{x}$  é um tensor espelhado de rank 1 com  $\gamma = \pm 1$

devemos ter  $m' - m = \pm 1$  e  $|j'| - |j| = 0, 1$

Se  $\hat{e}$  é este um tensor  $\gamma$  a mesma regra vale

Se  $\hat{e}$  é " " " " " b, bairar  $\gamma = 0$  e  $m' = m$

Usando a aproximação de dipolo temos ( $\alpha = \frac{\epsilon^2}{4\pi c}$ )

$$\sigma_{abs} \sim 4\pi^2 \alpha \frac{E_x^2}{m} \frac{w_{mi}^2}{\omega} \delta(\omega - w_{mi}) \sim 4\pi^2 \alpha w_{mi} \delta(\omega - w_{mi}) / \langle m(x|x_i) \rangle^2$$

Portanto a seção de choque tem um pico  $\checkmark$  da função quando a frequência da radiação é igual ao espaçamento dos níveis. ( $\omega \sim \frac{E_m - E_i}{\hbar} = \omega_{mi}$ )

Quando  $i > 0$  est. fund.  $w_{mi} > 0$

$$\int \sigma_{abs}(\omega) d\omega = \sum_m 4\pi^2 \alpha w_{mi} |\langle m(x|x_i) \rangle|^2$$

Definir a "intensidade do oscilador"  $f_{mi}$  como

$$f_{mi} = \frac{2m w_{mi}}{\hbar} |\langle m(x|x_i) \rangle|^2$$

e dar

$$\begin{aligned} \sum_m f_{mi} &= \sum_m \frac{2m w_{mi}}{\hbar} \langle i | x | m \rangle \langle m | x | i \rangle \\ &= \frac{2m}{\hbar} \left( \sum_m \langle i | x | \frac{(E_m - E_i)}{\hbar} | m \rangle \langle m | x | i \rangle + \sum_m \langle i | x | \frac{H_0}{\hbar} | m \rangle \langle m | \frac{(E_m - E_i)}{\hbar} | i \rangle \right) \\ &= \frac{2m}{\hbar^2} \sum_m \left\{ \langle i | [x, H_0] | m \rangle \langle m | x | i \rangle + \langle i | x | m \rangle \langle m | [H_0, x] | i \rangle \right\} \\ &= \frac{m}{\hbar^2} \langle i | ([x, H_0] x) | m \rangle \end{aligned}$$

Mas

$$\langle x | [x, H_0] \rangle = \frac{i\hbar}{m} \langle x, p_x \rangle = -\frac{\hbar^2}{m} \quad ([x, p_x] = i\hbar)$$

e dar

$$\sum_m f_{mi} = 1$$

Esta é a regra de soma de Thomas-Reiche-Kuhn

Note que esta regra não depende muito da forma da Hamiltoniana.

Prtanto

$$\int \sigma_{abs}(\omega) d\omega = \sum_m 4\pi^2 \alpha \hbar \omega_m \frac{2m}{\hbar} |\langle m | x | 0 \rangle|^2 \frac{\hbar}{2m}$$

$$= 4\pi^2 \alpha \frac{\hbar}{2m} = 2\pi^2 c \left( \frac{e^2}{mc^2} \right)$$

O resultado é independente de  $\hbar$ , uma vez que esta é a regra da soma de oscilações conhecida em estatística.

E o resultado é bastante independente da Hamiltoniana.

### Efeito Fotovoltaico

Neste caso o sistema é excitado para fora do material e portanto temos uma transição entre um estado ligado ( $|i\rangle$ ) e um estado do espectro contínuo  $|n\rangle$  ( $E > 0$ ). Tal estado pode ser approximado por uma onda plana.  $|f_{k_f}\rangle$

A fórmula para  $\sigma_{abs}(\omega)$  pode ser usada mas devemos fazer a integração usando a densidade de estados  $\rho(E_n)$

Contagem dos estados finais:

- Usamos a normalização na caixa  $\int_{-\infty}^{\infty} |\psi|^2 = 1$

- Imponos condições periódicas

Dar

$$\langle x | f_{k_f} \rangle = \frac{e^{i\vec{p}_{k_f} \cdot \vec{x}}}{L^{3/2}} \rightarrow \frac{1}{L^3} \int_{-L/2}^{L/2} dx dy dz = 1$$

$$\int_{-L/2}^{L/2} dx dy dz e^{i k_x x} e^{i k_y y} e^{i k_z z} = \frac{1}{L^{3/2}} \frac{e^{i k_x L}}{i k_x} \frac{e^{i k_y L}}{i k_y} \frac{e^{i k_z L}}{i k_z} =$$

=

As condições periódicas impõem:

$$\vec{k}_x = \frac{2\pi n_x}{L} \quad \vec{k}_y = \frac{2\pi n_y}{L} \quad \vec{k}_z = \frac{2\pi n_z}{L}$$

Pontos conforme  $L \rightarrow \infty$   $\vec{k}$  torna-se um variável contínua

O problema de contar os  $n_i$  de estados é reduzido a  
contagem dos pontos dentro de um espaço tridimensional

Definimos

$$n^2 = n_x^2 + n_y^2 + n_z^2$$

Udo  $L \rightarrow \infty$  podemos tratar  $n$  como uma variável contínua.

A energia está relacionada a  $\vec{k}_f$  e  $n$  como

$$E = \frac{\hbar^2 k_f^2}{2m} = \frac{\hbar^2}{2m} \frac{n^2 (2\pi)^2}{L^2}$$

Considera o elemento de volume

$$\text{Um volume é } n^2 dm d\Omega$$



O  $n^2$  de estados no intervalo  $E$  a  $E + dE$  com dimensões  $dm$  e  $d\Omega$  sendo  $\vec{k}_f$  e-

$$n^2 dm \frac{d\Omega}{dE} = \frac{L^2}{(2\pi)^2} \vec{k}_f^2 d\Omega \frac{L}{2\pi} \frac{dk_f}{dE} dE$$

$$= \left(\frac{L}{2\pi}\right)^3 \frac{m}{\hbar^2} \vec{k}_f^2 dE d\Omega$$

Uma vez que  $dE = \frac{\hbar^2 \vec{k}_f^2}{m} dk_f$

Portanto (integrandos em E)

$$\frac{d\sigma}{dR} = \frac{4\pi^2 t \propto}{m^2 \omega} |\langle \vec{k}_f | e^{i \frac{\omega}{c} \hat{n} \cdot \vec{x}} \hat{E} \cdot \vec{p} | i \rangle|^2 \left(\frac{L}{2\pi}\right)^2 \frac{m \vec{k}_f}{t^2}$$

Consideremos a emissão de um elétron da camada K. A função de onda é aquela do est. fund. do hidrogênio com ao trocado por  $\frac{a_0}{z}$ . Daí

$$\langle \vec{k}_f | e^{i \frac{\omega}{c} \hat{n} \cdot \vec{x}} \hat{E} \cdot \vec{p} | i \rangle = \hat{E} \cdot \int d^3x \frac{e^{-i \vec{k}_f \cdot \vec{x}}}{L^{3/2}} e^{i \frac{\omega}{c} \hat{n} \cdot \vec{x}} (-i \vec{\nabla}) \left[ e^{-2r/a_0} \left(\frac{z}{a_0}\right)^{3/2} \right]$$

Integrandos por partes + usando que

$$\hat{E} \cdot [\vec{\nabla} e^{i \frac{\omega}{c} \hat{n} \cdot \vec{x}}] = 0 \quad \text{ou seja, } \vec{E} \cdot \vec{\nabla} = 0$$

e ainda

$$\vec{\nabla} e^{-i \vec{k}_f \cdot \vec{x}} = -i \vec{k}_f e^{-i \vec{k}_f \cdot \vec{x}}$$

obtemos

$$= \frac{i \hat{E} \cdot \vec{k}_f}{L^{3/2}} \underbrace{\int d^3x e^{-i (\vec{k}_f - \frac{\omega}{c} \hat{n}) \cdot \vec{x}} e^{-2r/a_0} \left(\frac{z}{a_0}\right)^{3/2}}$$

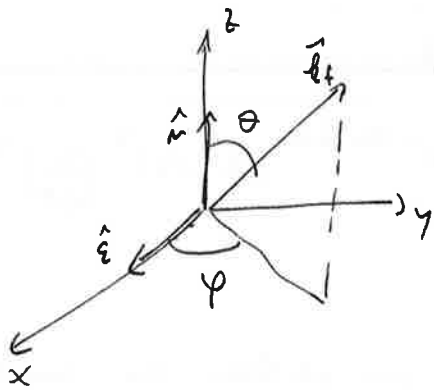
transf. de Fourier da função de onda

$$\text{Com respeito a } \vec{q} = \vec{k}_f - \frac{\omega}{c} \hat{n}$$

Usando problema 39

$$\frac{d\sigma}{dR} = 32 e^2 k_f \frac{(\hat{E} \cdot \vec{k}_f)^2}{mc\omega} \frac{z^5}{a_0^5} \frac{1}{[z^2/a_0^2 + q^2]^4}$$

Usando



$$(\hat{e} \cdot \hat{r}_f)^2 = h_f^2 \sin^2 \theta \cos^2 \varphi \quad \hat{r}_f \cdot \hat{n} = h_f \cos \theta$$

$$q^2 = h_f^2 - 2 h_f \frac{\omega}{c} \cos \theta + \left(\frac{\omega}{c}\right)^2$$

e desta forma escrevemos  $\frac{dr}{dt}$  em termos de  $\theta$  e  $\varphi$ .

### "Shift" da energia e largura de decaimento

Queremos saber agora o que ocorre a  $c_i(t)$  sob efeitos de uma perturbação onde o índice  $i$  indica se corresponde ao estado inicial.

Consideraremos uma variação suave na Hamiltoniana devido à perturbação. Em  $t \rightarrow -\infty$  a perturbação se anula e ela evolui no tempo como

$$V(t) = e^{i\eta t} V \quad V - \text{independente do tempo}$$

$\eta$  - pequeno e positivo

Para  $t \rightarrow -\infty$  temos que o estado inicial se apaga da interação e

$$|\alpha, t \rightarrow -\infty\rangle_I = |i\rangle$$

Primamente veamos como a regra de sinal de Fermi pode ser derivada usando-se esta perturbação que é ligada suavemente

Usando a série de Dyson (anDine) (S.6.17), temos p)  $\underline{m \neq i}$

$$C_m^{(0)}(t) = 0$$

$$C_m^{(1)}(t) = -\frac{i}{\hbar} V_{mi} \lim_{t_0 \rightarrow -\infty} \int_{t_0}^t e^{\gamma t'} e^{i\omega_{mi} t'} dt'$$

$$= -\frac{i}{\hbar} V_{mi} \frac{e^{\gamma t} e^{i\omega_{mi} t}}{\gamma + i\omega_{mi}}$$

Daí, em primeiro orden

$$|C_m(t)|^2 \sim |C_m^{(1)}(t)|^2 = \frac{|V_{mi}|^2}{\hbar^2} \frac{e^{2\gamma t}}{\gamma^2 + \omega_{mi}^2}$$

$$\text{e } \frac{d}{dt} |C_m(t)|^2 \sim 2|V_{mi}|^2 \frac{\gamma e^{2\gamma t}}{\hbar^2 \gamma^2 + \omega_{mi}^2}$$

Tomando o limite  $\gamma \rightarrow 0$  e usando

$$\lim_{\gamma \rightarrow 0} \frac{\gamma}{\gamma^2 + \omega_{mi}^2} = \pi \delta(\omega_{mi}) = \pi \hbar \delta(E_m - E_i)$$

obtemos

$$W_{i \rightarrow m} = \frac{2\pi}{\hbar} |V_{mi}|^2 \delta(E_m - E_i)$$

que é a regra de sinal de Fermi.

Galankinos  $C_i(t)$ . Du (S. 6. 17)

$$C_i^{(0)} = 1$$

$$C_i^{(1)}(t) = -\frac{i}{\hbar} V_{ii} \lim_{t_0 \rightarrow -\infty} \int_{t_0}^t e^{i\gamma t'} = -\frac{i}{\hbar\gamma} V_{ii} e^{\gamma t}$$

$$\begin{aligned} C_i^{(2)}(t) &= \left(\frac{-i}{\hbar}\right)^2 \sum_m \int_{-\infty}^t dt' \int_{-\infty}^{t'} dt'' e^{i\omega_{im} t'} V_{im} e^{\gamma t'} e^{i\omega_{mi} t''} V_{mi} e^{\gamma t''} = \\ &= \left(\frac{-i}{\hbar}\right)^2 \sum_m V_{im} V_{mi} \int_{-\infty}^t dt' e^{(y+i\omega_{mi})t'} \underbrace{\frac{e^{(y+i\omega_{mi})t'}}{y+i\omega_{mi}}}_{\frac{e^{2\gamma t'}}{y+i\omega_{mi}}} \\ &= \left(\frac{-i}{\hbar}\right)^2 \sum_m V_{im} V_{mi} \frac{e^{2\gamma t}}{2\gamma(y+i\omega_{mi})} \end{aligned}$$

$e^{-i\omega_i t}$  ( $V_{mi} = V_{im}^*$ ,  $\gamma$  as  $V = v^+$ )

$$C_i^{(2)}(t) = \left(\frac{-i}{\hbar}\right)^2 |V_{ii}|^2 \frac{e^{2\gamma t}}{2\gamma^2} + \left(\frac{-i}{\hbar}\right) \sum_{m \neq i} \frac{|V_{im}|^2 e^{2\gamma t}}{2\gamma(E_i - E_m + i\hbar\gamma)}$$

Same as contributions at 2<sup>nd</sup> order

$$C_i(t) \sim 1 - \frac{i}{\hbar} V_{ii} \frac{e^{\gamma t}}{\gamma} + \left(\frac{-i}{\hbar}\right)^2 |V_{ii}|^2 \frac{e^{2\gamma t}}{2\gamma^2} + \left(\frac{-i}{\hbar}\right) \sum_{m \neq i} |V_{im}|^2 \frac{e^{2\gamma t}}{2\gamma(E_i - E_m + i\hbar\gamma)}$$

1

$$\frac{d C_i(t)}{dt} = -\frac{i}{\hbar} V_{ii} e^{\gamma t} + \left(\frac{-i}{\hbar}\right)^2 |V_{ii}|^2 \frac{e^{2\gamma t}}{\gamma} + \left(\frac{-i}{\hbar}\right) \sum_{m \neq i} |V_{mi}|^2 \frac{e^{2\gamma t}}{(E_i - E_m + i\hbar\gamma)}$$

Como  $\frac{1}{1+\varepsilon} \equiv 1 - \varepsilon + O(\varepsilon^2)$

$$\begin{aligned} \frac{1}{c_i} \frac{dc_i}{dt} &= \left( 1 + \frac{i}{\hbar} V_{ii} \frac{e^{i\eta t}}{\eta} + O(v^2) \right) \left( -\frac{i}{\hbar} V_{ii} e^{i\eta t} + \left(\frac{i}{\hbar}\right)^2 |V_{ii}|^2 \frac{e^{2i\eta t}}{\eta} + \right. \\ &\quad \left. + \left(\frac{-i}{\hbar}\right) \sum_{m \neq i} |V_{mi}|^2 \frac{e^{2i\eta t}}{(E_i - E_m + i\hbar\eta)} \right) \\ &= -\frac{i}{\hbar} V_{ii} e^{i\eta t} - \frac{i}{\hbar} \sum_{m \neq i} |V_{mi}|^2 \frac{e^{2i\eta t}}{(E_i - E_m + i\hbar\eta)} \end{aligned}$$

Fazendo  $\eta \rightarrow 0$

$$\frac{\dot{c}_i}{c_i} = -\frac{i}{\hbar} V_{ii} - \frac{i}{\hbar} \sum_{m \neq i} \frac{|V_{mi}|^2}{(E_i - E_m + i\hbar\eta)} + O(v^3) \quad (S.8.9a)$$

Portanto é independente do tempo até segunda ordem

Note que temos  $c_m(-\infty) = 0$   $m \neq i$  e  $c_i(-\infty) = 1$ . Podemos renormalizar

$c_m$  de tal modo que  $c_i(0) = 1$ . Utilizaremos o ansatz

$$c_i(t) = e^{-i\Delta_i t / \hbar} \Rightarrow \frac{\dot{c}_i}{c_i} = -\frac{i}{\hbar} \Delta_i \quad (S.8.10)$$

onde  $\Delta_i$  é constante no tempo e em geral complexo.

Isto é consistente com (S.8.9a) uma vez que o r.h.s.  
é constante.

Pela definição de  $c_m(t)$

$$|\alpha(t)\rangle_I = \sum_m c_m(t) |m\rangle$$

Temos então

$$|\alpha(t)\rangle_I = e^{-i\Delta_i t/\hbar} |i\rangle + \sum_{m \neq i} c_m(t) |m\rangle$$

e uma representação de Schrödinger

$$\begin{aligned} |\alpha(t)\rangle_S &= e^{-iH_0 t/\hbar} |\alpha(t)\rangle_I = \\ &= e^{-i\Delta_i t/\hbar} e^{-iE_i t/\hbar} |i\rangle + \sum_{m \neq i} \end{aligned}$$

Portanto, como um resultado da perturbação, e' como se o estado  $|i\rangle$  passasse a ter uma energia

$$E_i + \Delta_i$$

Explicando

$$\Delta_i = \Delta_i^{(1)} + \Delta_i^{(2)} + \dots$$

e Comparando (5.8.9) e (5.8.10). (Nota que a renormalização não altera  $c_i/c_{i^*}$ )

$$\Delta_i^{(1)} = V_{ii}$$

que é o mesmo resultado da teoria de perturbações independentes do tempo.

Temos que

$$\lim_{\varepsilon \rightarrow 0} \frac{1}{x+i\varepsilon} = \text{Pr. } \frac{1}{x} - i\pi \delta(x)$$

e dar

$$R_i(\Delta_i^{(2)}) = \sum_{m \neq i} \frac{|V_{mi}|^2}{(E_i - E_m)}$$

$$Im(\Delta_i^{(2)}) = -\pi \sum_{m \neq i} |V_{mi}|^2 \delta(E_i - E_m)$$

A parte real de  $\Delta_i^{(2)}$  corresponde à contribuição em 2º orden ao shift de energia na teoria não degenerada independente do tempo. A parte imaginária está ligada à reje da onda:

$$\begin{aligned} \sum_{m \neq i} W_{i \rightarrow m} &= \frac{2\pi}{\hbar} \sum_{m \neq i} |V_{mi}|^2 \delta(E_i - E_m) \\ &= -\frac{2}{\hbar} Im \Delta_i^{(2)} \end{aligned}$$

Definimos

$$T_i = -2 Im \Delta_i^{(2)}$$

da 15.8.101 temos

$$|C_i|^2 = e^{-T_i t / \hbar}$$

Portanto  $T_i$  caracteriza a razão com a qual o estado  $|i\rangle$  desaparece (decai)

Logo:

parte real de  $\Delta_i$  é associado ao shift de energia de  $|i\rangle$

"imaginária" = "a largura de decaimento de  $|i\rangle$ "

A Vida média da i) é

$$\frac{t}{T_i} \quad T_i = \frac{t}{\tau_i}$$

uma vez que  $|C_i|^2 = e^{-t/T_i}$

$T_i$  é chamada de largura porque é a largura da distribuição transformada de Fourier:

$$\int f(E) e^{-iEt/\hbar} dE = e^{-i(E_i + R\Delta_i)t/\hbar - T_i t/2\hbar}$$

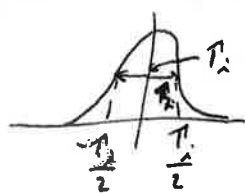
e dai

$$|f(E)|^2 \sim \frac{1}{[(E - (E_i + R\Delta_i))^2 + T_i^2/4]}$$

$$\frac{|f(E)|^2}{\max} = \frac{4}{T_i^2} \Rightarrow \frac{1}{2} H(E)^2 \max = \frac{2}{T_i^2} = \frac{1}{[(E - (E_i + R\Delta_i))^2 + T_i^2/4]}$$

$$\frac{2}{T_i} [(E - (E_i + R\Delta_i))^2 + \frac{1}{2}] = 1 \Rightarrow (E - (E_i + R\Delta_i))^2 = \frac{T_i^2}{4}$$

$$E - (E_i + R\Delta_i) = \frac{T_i}{2}$$



Esta ~~é~~ discussão pode ser generalizada para o caso do potencial dependendo de  $t$  quando  $\gamma = 0$ . No caso de perturbações harmônicas básc. substituir

$$E_{n(m)} - E_i \rightarrow E_{n(m)} - E_i \pm \hbar\omega$$

## Partículas idênticas

Classicamente nós podemos fazer uma ~~distinção~~ distinção entre partículas similares (que têm as mesmas propriedades físicas como por ex. dois elétrons). Isto porque podemos acompanhar precivamente as suas trajetórias em cada instante de tempo.

Na Mecânica Quântica isto não é possível. Se tentarmos medir a posição exatamente em um dado ~~tal~~ instante não podemos dizer nada sobre a posição da partícula no instante seguinte (infinitesimalmente próximo) pois não conhecemos o momento. Portanto em M.Q. partículas idênticas são indistinguíveis. Podemos dizer que a identidade ~~de~~ (igualdade) de dois elétrons faz com que cada um perca sua própria identidade.

Considere duas partículas denotadas por 1 e 2. Seja  $|K'\rangle$  o két da partícula 1 onde  $K'$  é simboliza um conjunto completo de observáveis. Analogamente  $|K''\rangle$  é o két da partícula 2. O két das duas é

$$|K'\rangle_1 |K''\rangle_2$$

De maneira análoga podemos ter

$$|K''\rangle_2 |K'\rangle_1$$

Apesar das partículas serem indistinguíveis os dois ket's são matematicamente diferentes. Eles só se verificam ortogonais.

Suponha que fazemos uma medida do sistema de duas partículas e obtemos  $|k'\rangle$  para uma e  $|k''\rangle$  para outra. No entanto não sabemos qual dos estados temos  $|k'\rangle > |k''\rangle$  ou  $|k''\rangle > |k'\rangle$ . Na verdade todos os estados da forma

$$c_1 |k'\rangle > |k''\rangle + c_2 |k''\rangle > |k'\rangle$$

fazemem o mesmo resultado quando a medida é feita.

Isto é chamado de "degenerescência de troca".

Isto acarreta um problema: ~~os~~ os autovalores de um conjunto completo de observáveis não são suficientes para especificar o estado!!

Nós ~~definimos~~ o op. de permutação como

$$P_{12} |k'\rangle > |k''\rangle = |k''\rangle > |k'\rangle$$

$$\text{Temos } P_{12} = P_{21} \quad \text{e} \quad P_{12}^2 = 1$$

Sob a troca:  $\left\{ \begin{array}{l} \text{partícula 1 com } k' \text{ vai para partícula 1 com } k'' \\ \text{ " " 2 com } k'' \text{ " " " " 2 com } k' \end{array} \right.$

ou então  $\left\{ \begin{array}{l} \text{partícula 1 com } k' \text{ vai " " " " 2 com } k' \\ \text{ " " 2 com } k'' \text{ " " " " 1 com } k'' \end{array} \right.$

Considera o caso de um sistema de duas partículas onde o tel é completamente especificado por uma observável A.

$$A_1 |a'\rangle > |a''\rangle = a' |a'\rangle > |a''\rangle$$

$$A_2 |a'\rangle > |a''\rangle = a'' |a'\rangle > |a''\rangle$$

Aplicando  $P_{12}$  nos dois lados

$$\begin{aligned} P_{12} A_1 P_{12}^{-1} P_{12} |a'\rangle |a''\rangle &= a' P_{12} |a'\rangle |a''\rangle = \\ &= P_{12} A_1 P_{12}^{-1} |a''\rangle |a'\rangle = a' |a''\rangle |a'\rangle \end{aligned}$$

Mas isto implica que

$$A_2 = P_{12} A_1 P_{12}^{-1}$$

Considerem a Hamiltoniana de um sistema de 2 parti idênt.

Os oper. devem aparecer simetricamente, por exemplo

$$H = \frac{\vec{p}_1^2}{2m} + \frac{\vec{p}_2^2}{2m} + V_{par}(|x_1 - x_2|) + V_{ext}(x_1) + V_{ext}(x_2)$$

A Hamiltoniana é invariante pela troca e dar

$$P_{12} H P_{12}^{-1} = H \Rightarrow P_{12} H = H P_{12}$$

Logo  $P_{12}$  é uma const. de movimento. Os autovalores são  $\pm 1$ .

Portanto os estados são simétricos (ou são antisimétricos) para troca de sgn para qualquer tempo.

Os autoestados de  $P_{12}$  são

$$|K'K''\rangle_+ = \frac{1}{\sqrt{2}} (|K'\rangle |K''\rangle + |K''\rangle |K'\rangle)$$

$$|K'K''\rangle_- = \frac{1}{\sqrt{2}} (|K'\rangle |K''\rangle - |K''\rangle |K'\rangle)$$

Definimos o simétrico e antisimétrico

$$S_{12} = \frac{1}{2} (1 + P_{12}) \quad A_{12} = \frac{1}{2} (1 - P_{12})$$

Quando aplicados no estado o resultado é simétrico ou antisimétrico:

$$\begin{aligned} & \left\{ \begin{array}{l} S_{12} \\ A_{12} \end{array} \right\} [c_1 |h'\rangle |h''\rangle + c_2 |h''\rangle |h'\rangle] = \\ &= \frac{1}{2} [c_1 |h'\rangle |h''\rangle + c_2 |h''\rangle |h'\rangle] \pm \frac{1}{2} [c_1 |h''\rangle |h'\rangle + c_2 |h'\rangle |h''\rangle] \\ &= \frac{c_1 + c_2}{2} |h'\rangle |h''\rangle \pm \frac{c_1 - c_2}{2} |h''\rangle |h'\rangle \end{aligned}$$

Podemos estender a definição da  $P_{ij}$  para quaisquer n de partículas:

$$\begin{aligned} P_{ij} |h^1\rangle |h^2\rangle \dots |h^i\rangle |h^{i+1}\rangle \dots |h^j\rangle \dots &= \\ &= |h^1\rangle |h^2\rangle \dots |h^j\rangle |h^{i+1}\rangle \dots |h^i\rangle \dots \end{aligned}$$

$$P_{ij}^2 = 1$$

$$\text{No entanto, em geral } [P_{ij}, P_{kl}] \neq 0$$

Ex:

$$P_{23} P_{12} |h'\rangle |h^2\rangle |h^3\rangle = |h^2\rangle |h^3\rangle |h'\rangle$$

$$P_{12} P_{23} |h'\rangle |h^2\rangle |h^3\rangle = |h^3\rangle |h^1\rangle |h^2\rangle$$

No caso de 3 part. existem  $3! = 6$  permutações.

Observe que uma degenerescência de dim 6. No entanto existe somente um estado totalmente simétrico e outro totalmente antisimétrico

$$\begin{aligned} |h' h'' h'''\rangle_{\pm} = \frac{1}{\sqrt{6}} \{ & |h'\rangle |h''\rangle |h'''\rangle \pm |h''\rangle |h'\rangle |h'''\rangle + \\ & + |h''\rangle |h'''\rangle |h'\rangle \pm |h'''\rangle |h''\rangle |h'\rangle + \\ & + |h'''\rangle |h'\rangle |h''\rangle \pm |h'\rangle |h'''\rangle |h''\rangle \} \end{aligned}$$

Eles são autovalores simultâneos de  $P_{12}, P_{23}$  e  $P_{13}$ , apesar destes não comutarem entre si. A noção disso é que:

O comutador de dois deles é a diferença de duas permutações cíclicas. Os estados  $|K' K'' K''' \rangle$  são aniquilados por tal permutação.

Definimos o operador

$$P_{(123)} = (|K'\rangle\langle K''| + |K''\rangle\langle K'''| + |K''' \rangle\langle K'|)$$

Temos  $P_{123} = P_{12} P_{13}$

Podemos definir  $P_{(123)} = P_{13} P_{12}$

$$P_{13} P_{12} (|K'\rangle\langle K''| + |K''\rangle\langle K'''| + |K''' \rangle\langle K'|) = |K''' \rangle\langle K'| + |K'\rangle\langle K''|$$

E então

$$(P_{12}, P_{13}) = P_{(123)} - P_{(231)} \quad (\text{esta op. aniquila } |K' K'' K''' \rangle)$$

Quando dois conjugados de autovalores são iguais temos

$$|K' K' K'' \rangle = \frac{1}{\sqrt{3}} (|K' K'' K' \rangle + |K' K' K''' \rangle + |K'' K' K' \rangle)$$

A normalização é  $\sqrt{\frac{2!}{3!}} = \frac{1}{\sqrt{3}}$

Em geral temos

$$\sqrt{\frac{N_1! N_2! \dots N_m!}{N!}}$$

Onde  $N$  é o total de part.

$N_i$  "o número  $|K_i\rangle$  aparece."

## Postulado da simetria par

No matriza sistema contendo  $N$  partículas ou se totalmente simétrico ou totalmente antisimétrico para troca de qualquer par.

No caso simétrico as partículas se chamadas bosons e satisfazem a estatística de Boltzmann

No caso antisimétrico as part. se chamadas fermions e satisfazem a estatística de Fermi-Dirac.

$$P_{ij} |N \text{ botos idnt}\rangle = + |N \text{ botos idnt}\rangle$$

$$P_{ij} |N \text{ fermios idnt}\rangle = - |N \text{ fermios idnt}\rangle$$

É um fato empírico que a simetria mista não ocorre na natureza.

Existe uma correlação entre spin e estatística.

Spin semi intino  $\Rightarrow$  fermions

Spin intino  $\Rightarrow$  bosons.



Na M&L não relativística a regra spin/estatística é uma lei empírica. Em M&L relativística isto pode ser deduzido dos postulados da teoria.

No entanto esta é uma lei exata da Natureza (até agora) e não há condições excepcionais.

Uma consequência imediata do fato em um fermão é o Princípio de exclusão de Pauli: dois elétrons não podem ocupar o mesmo estado, ou seja não podem ter os mesmos autovalores de um conjunto completo de observáveis.

Isto significa  $|K'>|K''>$  é simétrico.

A Tabela Periódica dos elementos é construída na verdade em torno desse princípio.

Para um sistema de 2 elétrons temos que no caso fermônico existe somente um estado.

$$\frac{1}{2} (|K'>|K''> - |K''>|K'>)$$

Para bocas, existe 3

$$|K'>|K'> \quad |K''>|K''> \quad + \frac{1}{\sqrt{2}} (|K'>|K''> + |K''>|K'>)$$

No caso da estatística de Maxwell-Boltzmann temos 4 estados,

$$|K'>|K'>, |K''>|K''>, |K'>|K''>, |K''>|K'>$$

Para temperaturas baixas a diferença entre fermions e bosons é mais dramática

$^4\text{He}$  tende a ficar a nos mesmos estado para temp. baixas isto é a chamada condensação de B.c. Einstein.

Quimicamente  $^3\text{He}$  é análogo a  $^4\text{He}$  mas estes não são sozinhos condensados a baixas temperaturas

### Sistema de dois elétrons

O estado do sistema tem que ser antisimétrico pela troca dos elétrons uma vez que eles são fermions.

$$P_{12} |\alpha\rangle = -|\alpha\rangle$$

Os futs podem ser especificados por  $\vec{x}_1, \vec{x}_2, m_{s_1}$  e  $m_{s_2}$  que são os vetores posição e componente z do spin dos elétrons 1 e 2 A função de onda pode ser escrita como:

$$\psi_{s_1 s_2}(x_1, x_2) = \sum_{m_{s_1}, m_{s_2}} C(m_{s_1}, m_{s_2}) \langle x_1, m_{s_1}; x_2, m_{s_2} | \alpha \rangle$$

Se a Hamiltoniana comuta com  $S_{\text{Tot}}^2$  (spin total quadrado) então esperamos que as auto-funções de H sejam auto-funções de  $S_{\text{Tot}}^2$  e dar

$$\psi = \phi(x_1, x_2) \chi$$

A função da onda de spin pode ser

$$\chi(m_{s_1}, m_{s_2}) = \begin{cases} \chi_{++} \\ \frac{1}{\sqrt{2}} (\chi_{+-} + \chi_{-+}) \\ \chi_{--} \\ \frac{1}{\sqrt{2}} (\chi_{+-} - \chi_{-+}) \end{cases} \begin{array}{l} \text{triploto (simétrico)} \\ \text{singulo (antisimétrico)} \end{array}$$

A razão do triploto ser simétrico é

$$P_{12} (S_{1-} + S_{2-}) P_{12}^{-1} = (S_{1-} + S_{2-})$$

onde  $S_- |+\rangle = |-\rangle$ ,  $S_- |-\rangle = 0$  e o op. step que diminui a componente Z de uma unidade.

Então se  $|+\rangle$  tem autovalor  $\lambda$  sob  $P_{12}$

$$\cancel{P_{12} |+\rangle} = \lambda |+\rangle \quad (\lambda = \pm 1)$$

Sigre que

$$(S_{1-} + S_{2-}) |+\rangle = 2(S_{1-} + S_{2-}) |+\rangle$$

$$|+\rangle = (S_{1-} + S_{2-}) |+\rangle$$

tem o mesmo autovalor

$$P_{12} |+\rangle = (S_{1-} + S_{2-}) P_{12} |+\rangle = \lambda (S_{1-} + S_{2-}) |+\rangle = \lambda |+\rangle$$

Comecando com  $|+\rangle |+\rangle$  obtemos

$$(S_{1-} + S_{2-}) |+\rangle |+\rangle = |-\rangle |+\rangle + |+\rangle |-\rangle$$

$$(S_{1-} + S_{2-})^2 |+\rangle |+\rangle = 2 |-\rangle |-\rangle$$

Note que

$$\langle x_1, m_{s_1}; x_2, m_{s_2} | P_{12} |+\rangle = \langle x_2, m_{s_2}; x_1, m_{s_1} |+\rangle$$

O fato de estarmos tratando com fermions implica

$$\langle x_1, m_{s_1}; x_2, m_{s_2} |+\rangle = - \langle x_2, m_{s_2}; x_1, m_{s_1} |+\rangle$$

Podemos escrever  $P_{12}$  como

$$P_{12} = P_{12}^{(\text{espacial})} P_{12}^{(\text{spin})}$$

↑                  ↑

troca p      troca  
coordenad.      spin

No caso do spin podemos escrever

$$P_{12}^{(\text{spin})} = \frac{1}{2} \left\{ 1 + \frac{4}{\hbar^2} S_1 \cdot S_2 \right\}$$

Uma vez que

$$\begin{aligned} S_1 \cdot S_2 &= \frac{1}{2} S_{\text{TOT}}^2 - \left( \frac{S_1^2 + S_2^2}{2} \right) \\ &= \frac{1}{2} S_{\text{TOT}}^2 - \frac{3}{4} \hbar^2 \end{aligned}$$

$S_{1z}, S_{2z}$  e  $S_{2z}, S_{2z}$  formam dois  $SU(2)$  que comutam entre si ( $SU(2) \times SU(2)$ )

O  $SU(2)$  diagonal é uma subalgebra  $\{S_{1z} + S_{2z}\}, \{S_{1z} - S_{2z}\}$

Os estados simétricos formam um triplito dos o  $SU(2)$  diagonal  
e os estados antisimétricos formam um singlito

$$(S_{1+} + S_{2+})(1+|1-\rangle - 1-|1+\rangle) = 1+|1+\rangle - 1+|1+\rangle = 0$$

$$(S_{1-} + S_{2-})(1+|1-\rangle - 1-|1+\rangle) = 1-|1-\rangle - 1-|1-\rangle = 0$$

$$(S_{1z} + S_{2z})(1+|1-\rangle - 1-|1+\rangle) = \frac{1}{2}|1+1-\rangle - \frac{1}{2}|1-1+\rangle - (-\frac{1}{2})|1+1+\rangle - (\frac{1}{2})|1-1-\rangle = 0$$

Logo  $S_{\text{TOT}}^2 = \langle S(S+1)\hbar^2 \rangle = \begin{cases} 2\hbar^2 \text{ triplito } (S=1) \\ 0 \text{ singlito } (S=0) \end{cases}$

e daí  $S_1 \cdot S_2 = \begin{cases} \frac{\hbar^2}{4} \text{ triplito} \\ -\frac{3}{4}\hbar^2 \text{ singlito} \end{cases}$

Portanto

$$P_{12}^{(\text{spin})} | \text{triplet} \rangle = \frac{1}{2} (1+1) | \text{triplet} \rangle = | \text{triplet} \rangle$$

$$P_{12}^{(\text{spin})} | \text{singlet} \rangle = \frac{1}{2} (1-3) | \text{singlet} \rangle = - | \text{singlet} \rangle$$

E' claro que o efeito de  $P_{12}$  é dado por

$$\begin{cases} \phi(x_1, x_2) \rightarrow \phi(x_2, x_1) \\ \chi(m_{s1}, m_{s2}) \rightarrow \chi(m_{s2}, m_{s1}) \end{cases}$$

Portanto

Se  $\phi$  é antisimétrica  $\Rightarrow \chi$  é simétrica

"  $\phi$  " simétrica  $\Rightarrow \chi$  é antisimétrica

Da qualquer maneira  $\phi(x_1, x_2)$  dá a probabilidade de encontrar os elétrons no espaço

$|\phi(x_1, x_2)|^2 dx_1 dx_2 \equiv$  Probabilidade de encontrar o elétron 1 no volume  $dx_1$  e o elétron 2 em  $dx_2$

$\overset{\text{P}}{\underset{\text{centro}}{\underset{\text{em } x_1}{\text{}}} \quad \overset{\text{q}}{\underset{\text{centro}}{\underset{\text{em } x_2}{\text{}}}}$

Considere dois elétrons que não interagem entre si, e que mas têm interação de spin com potencial externo. Daí

$$\left[ -\frac{\hbar^2}{2m} \nabla_1^2 - \frac{\hbar^2}{2m} \nabla_2^2 + V_{ext}(x_1) + V_{ext}(x_2) \right] \psi = E \psi$$

Esta equação é separável

$$\psi = \phi \chi \quad \text{onde} \quad \phi(x_1, x_2) = \omega_A(x_1) \omega_B(x_2)$$

(6c)

Como  $(S_{\text{tot}}^2, H) = 0$  a parte de spin deve ser um triploto ou anti-triploto. Daí a parte espacial deve ter simetria definida

$$\phi(x_1, x_2) = \frac{1}{\sqrt{2}} \left\{ w_A(x_1) w_B(x_2) \pm w_A(x_2) w_B(x_1) \right\}$$

+ spin singlet  
 - spin triplet

Daí

$$\phi(x_1, x_2) d^3x_1 d^3x_2 = \frac{1}{2} \left\{ |w_A(x_1)|^2 |w_B(x_2)|^2 + |w_A(x_2)|^2 |w_B(x_1)|^2 + \right.$$

$$+ 2 \operatorname{Re} [w_A(x_1) w_B(x_2) w_A(x_2)^* w_B(x_1)^*] \left. d^3x_1 d^3x_2 \right\}$$

$\uparrow$   
 chamado densidade de troca.

Se os elétrons estiverem

triploto de spin  $\Rightarrow$  probabilidade de encontrá-los muito próximos é bastante baixa  
 elétrons se repelem

singlet de spin  $\Rightarrow$  probabilidade de encontrarlos muito próximos aumenta devido a densidade de troca  
 elétrons se atraem

~~Ponto~~ Por esta razão diz-se que existe uma interação de troca (exchange interaction) entre os elétrons devido a sua indistinção de identidade.

A questão da identidade dos elétrons somente é importante quando a densidade de troca é não desprezível. Ou seja quando existe uma superposição espacial dos estados  $w_A$  e  $w_B$

Suponha que  $\{w_A \sim 0 \text{ na região } B\} \cup \{w_B \sim 0 \text{ " " A}\}$  de tal forma que as regiões A e B não tenham intersecção.

Tomando  $d^3x_1 \in A \cup d^3x_2 \in B$  vemos que o único termo importante é

$$|w_A(x_1)|^2 |w_B(x_2)|^2$$

que é a probabilidade de partículas distinguíveis.

Portanto não há necessidade de antisimetria e função de onda quando os elétrons estão bastante separados.

A crescentem Página 103. a seguir

### Átomo de Hélio

A hamiltoniana é

$$H = \frac{\vec{p}_1^2}{2m} + \frac{\vec{p}_2^2}{2m} - \frac{ze^2}{r_1} - \frac{ze^2}{r_2} + \frac{e^2}{r_{12}}$$

$$\text{onde } r_1 = |\vec{x}_1| \quad \text{e} \quad r_{12} = |\vec{x}_1 - \vec{x}_2|$$

Ser a interação Coulombiana entre os elétrons ( $\frac{e^2}{r_{12}}$ ) for desprezada a função de onda será o produto de duas funções de onda do átomo de H com  $z=2$  (ao invés de  $z=1$ ). Isto é claro se a identidade das partículas for for desprezada.

O spin total é conservado e portanto o estado será singuleto ou triploto

No caso de um dos elétrons estar no estado fundamental segue que a função da onda espacial é dada por

$$\psi(x_1, x_2) = \frac{1}{\sqrt{2}} \left\{ \psi_{100}(x_1) \psi_{m=0}(x_2) + \psi_{m=0}(x_1) \psi_{100}(x_2) \right\}$$

↑  
estado triplo de spin  
" Singlet " "

~~Ato~~

O estado fundamental corresponde aos dois elétrons no estado  $m=1, l=0$ , ou seja  $1s^2$ . Naturalmente a função de onda espacial não pode ser anti-simétrica. Portanto o estado fundamental é Singlet de spin.

Dar

(6.4.3)

$$\psi_{100}(x_1) \psi_{100}(x_2) \chi_{\text{Singlet}} = \frac{z^3}{\pi a_0^3} e^{-2(r_1+r_2)/a_0} \chi \quad (z=2)$$

A energia deste estado é ( $2 \times$  energ. est. fund. átomo H  $\sqrt{2}=2$ )  
(desprezando int. Coulombiana entre elétrons)

$$E = 2 \times 4 \left( \frac{-e^2}{2a_0} \right)$$

Isto é 30% maior que o valor experimental

Vamos agora considerar o termo  $V = \frac{e^2}{r_{12}}$  como uma perturbação e aplicar teoria da perturbação usando (6.4.3) como função de onda não perturbada

## Mais sobre a interação da troca

Consideremos um sistema consistindo de duas partículas idênticas.

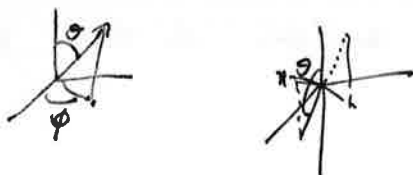
Resolvendo a eq. de Schrödinger não encontramos uma série de níveis de energia, cada um correspondendo a uma dada função de onda de coordenadas  $\phi(r_1, r_2)$ . Estas funções devem ser simétricas ou antisimétricas.

Caso de spin zero. A função de onda de spin destas partículas não existe, ou seja é 1. Portanto  $\phi(r_1, r_2)$  deve ser simétrica uma vez que são bosons.

Logo nem todas ~~estão~~ as soluções da eq. de Schrödinger são permitidas. Ou seja as soluções antisimétricas são excluídas.

Por outro lado a troca das duas partículas corresponde à inversão de coordenadas. Uma vez que a origem pode ser tomada como o ponto médio da linha passando pelas duas.

Sob uma inversão  $x \rightarrow -x$ ,  $y \rightarrow -y$ ,  $z \rightarrow -z$  temos em coord. esféricas  $r \rightarrow r$ ,  $\theta \rightarrow \pi - \theta$ ,  $\phi \rightarrow \pi + \phi$



A dependência angular da função de onda é:

$$\begin{aligned}
 Y_l^m &\sim P_l^m(\cos\theta) e^{im\phi} \rightarrow P_l^m(-\cos\theta) e^{im(\pi+\phi)} = \\
 &= (-1)^{l-m} P_l^m(\cos\theta) (-1)^m e^{im\phi} \\
 &= (-1)^l Y_l^m
 \end{aligned}$$

Portanto a função de onda transforma como

$$\phi(r_1, r_2) = (-1)^l \phi(r_2, r_1)$$

Logo o sistema de duas partículas idênticas de spin zero deve ter momento angular orbital par

### Caço de spin $\frac{1}{2}$

A função de onda como vimos é

$$\phi(r_1, r_2) \propto (\sigma_1, \sigma_2)$$

e deve ser antisimétrica com respeito a troca das partículas.

Como vimos a função de spin  $\chi$  simétrica corresponde a um triplito e portanto tem spin total igual a 1. e a

A função de spin antisimétrica corresponde ao spin total igual a zero uma vez que é um singlito.

Logo a função de onda espacial somente pode ser simétrica quando o spin total é nulo e antisimétrica quando o spin total é 1.

Portanto dado o valor do spin total, nem todas as soluções da eq. de Schrödinger são permitidas.

Observe que o valor da energia do sistema de duas partículas depende do spin total.

Por isso chamamos esta dependência da energia no spin como interação de troca.

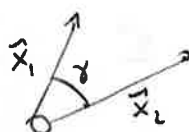
Thus

$$\Delta_{1s^2} = \langle 0 | V(0) | 0 \rangle = \int d^3x_1 d^3x_2 \frac{z^6}{\pi^2 a_0^6} e^{-2z(r_1+r_2)/a_0} \frac{e^2}{r_{12}}$$

Escrevemos

$$\frac{1}{r_{12}} = \frac{1}{\sqrt{r_1^2 + r_2^2 - 2r_1 r_2 \cos\gamma}} = \sum_{l=0}^{\infty} \frac{r_s^l}{r_s^{l+1}} P_l(\cos\gamma)$$

onde  $r_s$  ( $r_s$ ) é o maior (menor) de  $r_1$  e  $r_2$ , e  $\gamma$  é o ângulo entre  $\vec{x}_1$  e  $\vec{x}_2$ .



Usamos o fato que

$$P_l(\cos\gamma) = \frac{4\pi}{2l+1} \sum_{m=-l}^l Y_l^m(\theta_1, \phi_1) Y_l^m(\theta_2, \phi_2)^*$$

$$\int Y_l^m(\theta_1, \phi_1) d\Omega = \frac{1}{\sqrt{4\pi}} \delta_{l0} \delta_{m0}$$

$$\Delta_{1s^2} = \int r_1^2 dr_1 r_2^2 dr_2 \frac{z^6 e^2}{\pi^2 a_0^6} e^{-2z(r_1+r_2)/a_0} *$$

$$* \sum_{l=0}^{\infty} \frac{r_s^l}{r_s^{l+1}} \frac{4\pi}{2l+1} \sum_{m=-l}^l \left( \frac{1}{\sqrt{4\pi}} \right)^2 \delta_{l0} \delta_{m0}$$

$$= \int r_1^2 dr_1 r_2^2 dr_2 \frac{z^6 e^2}{\pi^2 a_0^6} e^{-2z(r_1+r_2)/a_0} \frac{1}{r_s} (4\pi)^2$$

Termos

$$\begin{aligned}
 & \int r_1^2 dr_1 r_2^2 dr_2 \frac{1}{r_2} e^{-2z(r_1+r_2)/a_0} = \\
 &= \int_0^\infty r_1^2 dr_1 \left\{ \int_{r_1}^\infty \frac{r_2^2}{r_2} e^{-2z(r_1+r_2)/a_0} + \int_{r_1}^\infty r_2^2 dr_2 \frac{1}{r_2} e^{-2z(r_1+r_2)/a_0} \right\} = \\
 &= \frac{5}{128} \frac{a_0^5}{z^5}
 \end{aligned}$$

2 entradas

$$\Delta_{1s^2} = \frac{z^2 a e^2}{\pi^2 a_0^2} (4\pi)^2 \frac{5}{128} \frac{a_0^5}{z^5} = \frac{z \cdot 16 \cdot 5}{128 \cdot 64 \pi^4} \frac{e^2}{a_0}$$

$$\Delta_{1s^2} = \frac{5}{4} \frac{e^2}{a_0}$$

Dar

$$E = E^{(0)} + \Delta_{1s^2} = \left(-8 + \frac{5}{2}\right) \left(\frac{e^2}{2a_0}\right) \sim -74.8 \text{ eV}$$

O valor experimental é

$$E_{exy} = -78.8 \text{ eV.}$$

Uso do método Variacional

Usamos  $z$  como parâmetro variacional

A razão é que o valor efetivo de  $z$  é menor  $\frac{1}{2} a_0^2$  uma vez que um elétron faz o "screening" para o outro

Como "trial function" usamos

$$\langle x_1, x_2 | \tilde{\psi} \rangle = \frac{(Z_{eff})^3}{\pi a_0^3} e^{-Z_{eff}(r_1 + r_2)/a_0}$$

e dar

$$\begin{aligned} \langle \tilde{\psi} | H | \tilde{\psi} \rangle &= 14 = \langle \tilde{\psi} | \frac{p_1^2}{2m} + \frac{p_2^2}{2m} | \tilde{\psi} \rangle - \langle \tilde{\psi} | \frac{2e^2}{r_1} + \frac{2e^2}{r_2} | \tilde{\psi} \rangle + \\ &\quad + \langle \tilde{\psi} | \frac{e^2}{r_{12}} | \tilde{\psi} \rangle \\ &\quad \xrightarrow{\text{este cálculo é idêntico ao anterior}} \\ &\quad \text{forma } (Z_{eff} \frac{5}{8} \frac{e^2}{a_0}) \end{aligned}$$

$$= 2 \left( Z_{eff}^2 - 2Z_{eff} + \frac{5}{8} Z_{eff} \right) \left( \frac{e^2}{a_0} \right)$$

$$\frac{d\bar{H}}{dZ_{eff}} = 2Z_{eff} - 2Z + \frac{5}{8} = 0 \Rightarrow Z_{eff} = 2 - \frac{5}{16} = 1,6875$$

Dar

$$\boxed{\bar{H}_{min} = -77,5 \text{ eV}}$$

E portanto obtemos um valor melhor que o da perturbação em 1º orden.

### Estados excitados

Considerar um elétron (10) e outro (n1) e escreva a energia como

$$E = E_{1,00} + E_{n,1,m} + \Delta E$$

onde  $\Delta E$  é a contribuição do termo  $\frac{e^2}{r_{12}}$

Usando teoria de perturbação em 1<sup>o</sup> orden com as funções  
mão perturbadas

$$\frac{1}{\sqrt{2}} \{ \psi_{100}(x_1) \psi_{nmm}(x_2) + \psi_{nmm}(x_1) \psi_{100}(x_2) \} \chi_{\text{singulo}}$$

$$\frac{1}{\sqrt{2}} [ \psi_{100}(x_1) \psi_{nmm}(x_2) - \psi_{nmm}(x_1) \psi_{100}(x_2) ] \chi_{\text{triplet}}$$

Dar

$$\Delta E = \langle \frac{e^2}{r_{12}} \rangle = \frac{1}{2} \int d^3x_1 d^3x_2 |[\psi_{100}(x_1) \psi_{nmm}(x_2) \pm \psi_{nmm}(x_1) \psi_{100}(x_2)]|^2 \frac{e^2}{r_{12}}$$

$$= I \pm J \quad ( \begin{array}{l} \text{Sing} + \Rightarrow \text{singulo} \\ \text{--} \Rightarrow \text{triplet} \end{array} )$$

onde

$$I = \int d^3x_1 d^3x_2 | \psi_{100}(x_1) |^2 | \psi_{nmm}(x_2) |^2 \frac{e^2}{r_{12}}$$

$$J = \int d^3x_1 d^3x_2 \psi_{100}^*(x_1) \psi_{nmm}^*(x_2) \frac{e^2}{r_{12}} \psi_{nmm}(x_1) \psi_{100}(x_2)$$

Tanto I como J são positivos

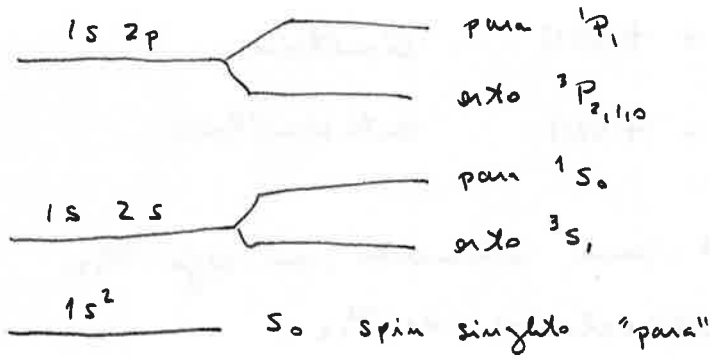
Portanto o estado singulo tem energia mais alta.

A razão é:

Singulo = função de onda simétrica  $\Rightarrow$  elétrons tendem a ficar próximo.  
 $\Rightarrow$  menor eletrostática  $\therefore$  maior.

Triplet  $\Rightarrow$  ocorre o oposto.

Hélio singulo é chamado para hélio  
 " triplet " " oxo hélio



Note que apesar da Hamiltoniana não conter termos de interação de spin a energia depende da configuração dos spins. Isto se deve à identidade das partículas.

Os spins paralelos correspondem ao atôlito e portanto têm energia mais baixa. Os spins antiparalelos ocorrem nos dois ~~casos~~ casos ortho e para.

Acredita-se que a origem do ferromagnetismo seja da mesma natureza apesar de ser difícil de explicar a partir dos principios principais. (ferromagnetismo = tendência dos spins em alinharem-se paralelamente)

### Simetria de permutações e Tablaux de Young

(A. Young 1901)

No estudo de partículas idênticas nós sempre estamos usando o grupo de permutações. Denotaremos tal grupo por  $S_m$  (grupo de permutações de m elementos)

Existe uma ~~certa~~ notação para os estados de uma dada representação do  $S_m$  em termos de diagramas.

Estes são os diagramas ou tablaux de Young.

Considero o caso de duas partículas. Temos duas funções de onda:

$$\Psi_s = \Psi(12) + \Psi(21) \quad \text{simétrica}$$

$$\Psi_A = \Psi(12) - \Psi(21) \quad \text{antisimétrica}$$

O grupo  $S_2$  tem apenas um elemento, ou seja  $P_{12}$ .

Tanto  $\Psi_s$  como  $\Psi_A$  são autoestados de  $P_{12}$

$$P_{12} \Psi_s = \Psi_s, \quad P_{12} \Psi_A = -\Psi_A$$

Portanto como  $\Psi_A$  e  $\Psi_s$  não se misturam sob a ação de  $P_{12}$  elas pertencem a representações irreduíveis distintas de  $S_2$ .

No verdade  $\Psi_A$  e  $\Psi_s$  ~~são~~ formam as bases da rep. simétrica unidimensional de  $S_2$ .

Denotaremos  $\Psi_A$  e  $\Psi_s$  por ~~essas~~ dois "quadradinhos" da seguinte maneira

$$\Psi_s \equiv \boxed{\phantom{0}} \quad \Psi_A = \boxed{\phantom{0}}$$

Cada quadradinho corresponde a uma partícula.

No caso de apenas uma partícula temos apenas um quadradinho D.

~~Este será o resultado~~

Ao passarmos para o caso de mais partículas adotaremos a convenção que "quadradinhos" em uma linha representam estados totalmente simétricos e em uma coluna estados totalmente antisimétricos.

No caso de 3 partículas temos

$$\psi_S = \begin{array}{|c|c|} \hline & \square \\ \hline & \square \\ \hline \end{array} \quad \text{estados totalmente simétricos}$$

$$\psi_A = \begin{array}{|c|} \hline \square \\ \hline \end{array} \quad \text{.. .. antissimétrico}$$

Temos ainda estados de simetria mista, ou seja, simétricos mas parciais 1 e 2, por exemplo, e antissimétricos mas parciais 1 e 3.

$$\begin{aligned} \boxplus &\equiv \underbrace{(1 - P_{13})}_{\text{Simétrico}} \underbrace{(1 + P_{12})}_{\text{Antissimétrico}} + (123) = \\ &= \underbrace{(1 - P_{13})}_{\text{Simétrico}} \left\{ \psi(123) + \psi(213) \right\} \\ &= \boxed{\left\{ \psi(123) - \psi(321) + \psi(213) - \psi(312) \right\}} \end{aligned}$$

Adotaremos a convenção que as simetriações são feitas antes das antissimetriações.

Adotaremos também a convenção que uma linha nunca é mais longa que a linha acima dela.

Nota. A nota é que estamos usando, ou seja  $\psi(12\dots n)$  pode ser interpretada de várias maneiras.

Se a partícula 1 estiver no estado a, 2 no b etc então

$$\psi(1,2,3) = a(1) b(2) c(3)$$

$$\text{e daí } \psi(2,1,3) = a(2) b(1) c(3)$$

Note que se tentarmos antisimetria com relações a 23 obtémos

$$(1 - P_{23})(1 - P_{13})(1 + P_{12}) \psi(123) =$$

$$= \psi(123) - \psi(132) - \cancel{\psi(3\overset{①}{2}1)} + \cancel{\psi(3\overset{②}{1}2)} + \psi(213) - \cancel{\psi(231)} \\ - \cancel{\psi(3\overset{③}{1}2)} + \cancel{\psi(3\overset{④}{2}1)}$$

On seje a simetria em 1 ↔ 2 ainda existe mas a antisimetria em 1 ↔ 3 e 2 ↔ 3 deixaram de existir.

Isto está relacionado com o seguinte fato.



$$P_{12} P_{13} = P_{13} P_{23} = P_{(123)} \quad 123 \rightarrow 321 \rightarrow 231$$

$$123 \rightarrow 132 \rightarrow 231$$

Dai se temos

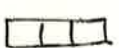
$$P_{12} \psi = \psi \quad P_{13} \psi = -\psi \quad P_{23} \psi = -\psi$$

Obtemos

$$P_{12} P_{13} \psi = -\psi \quad P_{13} P_{23} \psi = \psi$$

O que é um absurdo.

Isto dará uma ideia de que para três partículas os únicos estados que podemos ter são



1º portanto a representação de "quadrados" forma todas as configurações possíveis. (Se a simetria em 12 e antisimetria em 13 e 23 fosse possível criariamos uma forma de diagrama que não é possível pela representação de quadrados)

Note que ao simetrizarmos as linhas e depois antisimetrizarmos as colunas nós, em geral, perdemos a simetria das linhas.

Exemplo: Considere o diagrama

1	2
3	4

Simetrizando a 1ª linha

$$+ (1234) + + (2134)$$

Simetrizando a 2ª linha

$$+ (1234) + + (1243) + + (2134) + + (2143)$$

Antisim. 1ª coluna

$$+ (1234) - + (3214) + + (1243) - + (3241)$$

$$+ + (2134) - + (2314) + + (2143) - + (2341)$$

Antisim 2ª coluna

$$+ (1234) - + (1432) - + (3214) + + (3412)$$

$$+ + (1243) - + (1423) - + (3241) + + (3421)$$

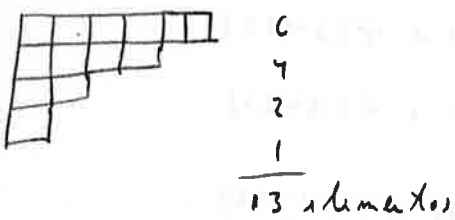
$$+ + (2134) - + (4132) - + (2314) + + (4312)$$

$$+ + (2143) - + (4123) - + (2341) + + (4321)$$

A simetria em 2 1x2 desaparece ( $\bar{m}$  exiba o parâmetro de  $+ (1432)$  por exemplo) e também a simetria em 3x2 ( $\bar{m}$  " " " " " " " " )

Os ~~mesmos~~ estados totalmente simétricos ou antisimétricos de  $S_n$  são base de representações irredutíveis unidimensionais de  $S_n$ . No entanto as outras rep. irred. só são geradas multidimensionais. Por representações mais gerais digo de um conjunto de estados com uma dada simetria que não pode ser aumentada, ou seja fazendo-se uma permutação em um dos estados obtémos uma combinação linear dos demais ou entar zero.

Para construir tais simetrias mistas nós usamos o diagrama de Young. Dado  $N$  partículas ou  $N$  variáveis, nós dividimos elas em conjuntos de  $N_1, N_2 \dots$  elementos tal que  $N_1 + N_2 + \dots = N$ . Representamos cada um desses conjuntos por um bloco de  $N_i$  quadrados.



Os números  $1, 2, 3 \dots N$  serão então colocados nestes quadrados. As linhas serão colocadas de tal forma que ~~uma linha~~ <sup>uma linha</sup> não contenham mais que dados da linha da cima.

Simetrijamos entre os estados com relações variáveis de cada linha. Dar antisimetrijamos com relações às variáveis de cada coluna.

Se fizemos o contrário, anti-sim. e depois sim, obtémos estados que poderiam ser escritos como comb. lineares dos anteriores.

Variando a distribuição dos números no diagrama obtemos  
uma fileira de estados que transformam uns nos outros sob a  
ação de fulguras permutações.

No entanto nem todas estas funções são linearmente independentes

A cada diagrama temos então associado um tipo de simetria com  
respecto às permutações

Construindo todos os diagramas possíveis construimos todos os  
tipos de simetria.

Isto é equivalente a encontrar todos os modos de escrever  $n$   
como a soma de inteiros

Ex:  $n=4$      $4, 3+1, 2+2, 2+1+1, 1+1+1+1$  (5 modos)

Consideremos a função da onda de spin  $\chi(\sigma_1, \sigma_2, \dots, \sigma_n)$

Os tipos de simetria são dados pelos diagramas de Young também.

Questão: Pode o diagrama de função da onda espacial que o  
diagrama da função da onda de spin?

Spin intino função completa deve ser totalmente  
simétrica

Portanto simetria da  $\phi \times \chi$  deve ser dada pelo mesmo  
diagrama

Spin semi intino função completa totalmente anti-simétrica

Dar simetria da  $\phi$  dada por diagrama que corresponde a  
troca de linhas por colunas no diagrama de  $\chi$ .

Caso spin  $\frac{1}{2}$   $\sigma_1, \sigma_2, \dots, \sigma_n$  tem valores  $\pm \frac{1}{2}$

Dai ~~essa~~ fracy  $X$  pode ser antisimétrica com relação a pares de spins, mas vez que antisimétrica conjunta com variáveis arbitrarias de giro.

Logo o diagrama de  $X$  para orbitais pode conter colunas com 2 quadrados no máximo. Consequentemente o diagrama de  $\phi$  pode ter linhas de no máximo 2 quadrados.

Logo o n.º de simetrias possíveis para um conjunto de  $N$  elétrons é o n.º de modos de escrever  $N$  como a soma de 1's e 2's

$$\text{Ex: } 4 \Rightarrow 1+1+1+1, \quad 2+1+1, \quad 2+2$$

$$\text{No caso de } N \text{ ser par temos: } \sim \frac{1}{2}N+1$$

$$\text{'' '' '' impar .. .. } \sim \frac{1}{2}(N+1)$$

### Cálculo da dimensão da representação

Possar saber

P Ab Para cada diagrama de Young com  $n$  "quadrados" mos temos associado uma representação irredutível do grupo  $S_n$ .

Para calcular a dimensão desta representação mos usamos o conceito de "arranjo standard".

Neste arranjo colocamos números inteiros positivos nos quadrados tal que os ~~níveis~~ nos

i) os números são diminuem quando vamos da esquerda para a direita em uma linha

ii) os n.ºs crescem quando vamos da cima para baixo em uma coluna.

Estes m's ~~são~~ podem por exemplo denotar estados que uma  
particular pode ocupar

Ex: Considerem diagramas para ~~as~~ duas partículas com tres estados permitidos. Os arranjos standard para o diagrama simétrico são:

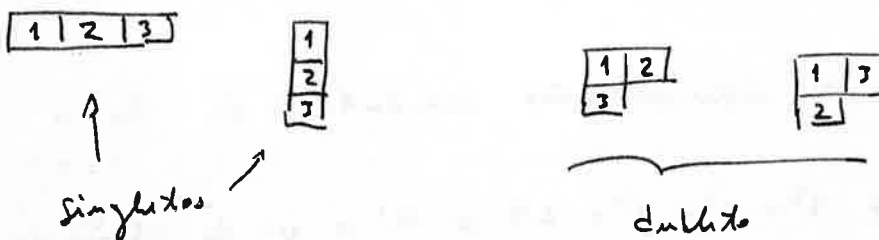


Para o anti-simétrio



Para calcular a dimensão da representação associada a um dado diagrama nós contamos o número positivo de arranjos standard.

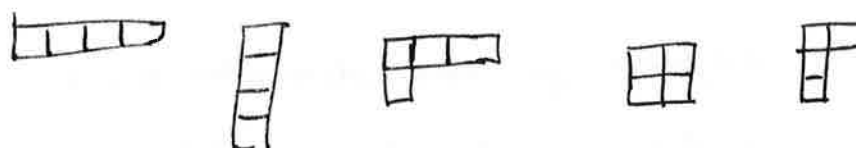
Ex: dois partículas idênticas com três estados possíveis.



Pode-se mostrar que se tem  $\Phi$  representação irreductível de  $S_n$  tem dimensão  $n$ , então existem  $N!$  representações destas (ou seja de um dimensão  $n$ ) no entanto tais representações são equivalentes.

### Exemplo 2

Os diagramas de Young 15:



Os arranjos standard so:

$$\begin{array}{|c|c|c|} \hline & & \\ \hline \end{array} \Rightarrow \begin{array}{|c|c|c|c|} \hline 1 & 2 & 3 & 4 \\ \hline \end{array} \quad \text{dim} = 1$$

$$\begin{array}{|c|c|c|} \hline & & \\ \hline \end{array} \Rightarrow \begin{array}{|c|c|c|} \hline 1 & 2 & 3 \\ \hline 4 \\ \hline \end{array} \quad \begin{array}{|c|c|c|} \hline 1 & 2 & 4 \\ \hline 3 \\ \hline \end{array} \quad \begin{array}{|c|c|c|} \hline 1 & 3 & 4 \\ \hline 2 \\ \hline \end{array} \quad \text{dim} = 3$$

$$\begin{array}{|c|c|c|} \hline & & \\ \hline \end{array} \Rightarrow \begin{array}{|c|c|} \hline 1 & 2 \\ \hline 3 & 4 \\ \hline \end{array} \quad \begin{array}{|c|c|} \hline 1 & 3 \\ \hline 2 & 4 \\ \hline \end{array} \quad \text{dim} = 2$$

$$\begin{array}{|c|c|c|} \hline & & \\ \hline \end{array} \Rightarrow \begin{array}{|c|c|} \hline 1 & 2 \\ \hline 2 \\ \hline 4 \\ \hline \end{array} \quad \begin{array}{|c|c|} \hline 1 & 3 \\ \hline 2 \\ \hline 4 \\ \hline \end{array} \quad \begin{array}{|c|c|} \hline 1 & 4 \\ \hline 2 \\ \hline 3 \\ \hline \end{array} \quad \text{dim} = 3$$

$$\begin{array}{|c|c|c|} \hline 1 & & \\ \hline 2 & & \\ \hline 3 & & \\ \hline \end{array} \Rightarrow \begin{array}{|c|c|c|} \hline 1 & & \\ \hline 2 & & \\ \hline 3 & & \\ \hline 4 & & \\ \hline \end{array} \quad \text{dim} = 1$$

Portanto o n. de representações irreductivas de  $S_4$  é

$$1 + 1 + 3^2 + 3^2 + 2^2 = 24 = 4! = \text{n. de elementos de } S_4$$

No entanto o n. de representações irreductivas é igual ao n. de permutações.

é igual ao n. de diagramas de Young

Para um grupo finito o n. de representações irreductivas irrequivocáveis é igual ao n. de classes de equivalência.

Classe de equivalência -

for ser conjugados, conjunto de elementos + elementos do grupo

elementos conjugados - digemos que dois elementos  $a$  e  $b$

sejam conjugados se existir um elemento  $u$  tal que

$$u^{-1} a u = b$$

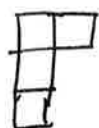
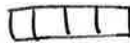
## Diagramas conjugados

O diagrama conjugado a um dado diagrama é aquele obtido ~~trocando-se~~ trocando-se as linhas pelas colunas.

Ex:

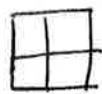
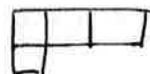


conjugado a



"

"



auto conjugado.

Diagramas conjugados correspondem a representações isomórficas da mesma dimensão.

## Bases das representações de $S_3$ (exemplos)

1)

Neste caso temos apenas uma função base. A totalmente antisimétrica. Ou seja

$$\psi_3 = \boxed{1|2|3} = s_{1,2,3} abc$$

onde

$$s_{1,2,3} = 1 + p_{1,2} + p_{1,3} + p_{2,3} + p_{1,3}p_{1,2} + p_{1,2}p_{2,3}$$

e então

$$\psi_3 = abc + bac + cab + acb + \overset{cas}{\text{outros}} + bca$$

2)  Neste caso também temos apenas uma função, e totalmente antisimétrica.

$$\psi_1 = \begin{bmatrix} 1 \\ 2 \\ 3 \end{bmatrix} = A_{123} abc$$

onde

$$A_{123} = 1 - P_{12} - P_{13} - P_{23} + P_{13}P_{12} + P_{12}P_{13}$$

e então

$$\psi_1 = abc - bac - cba - acb + cab + bca$$

3)  Neste caso a np. tem dimensão 2 e só existem dois arranjos standard   

No entanto podemos construir 4 funções linearmente independentes.  
Estas são ( $S_{1j} = 1 + P_{1j}$ ,  $A_{1j} = 1 - P_{1j}$ )

$$\psi_1 = A_{13} S_{12} abc = abc + bac - cba - cab$$

$$\psi_2 = A_{23} S_{12} abc = abc + bac - acb - bca$$

$$\psi_3 = A_{12} S_{13} abc = abc + cba - bac - bca$$

$$\psi_4 = A_{23} S_{13} abc = abc + cba - acb - cab$$

Poderíamos construir funções usando  $S_{23}$  mas estas seriam linearmente dependentes delas.

Estas quatro funções só são ortogonais. Considera

$$\psi = \psi_1 - 2\psi_2 = 2acb + 2bca - abc - bac - cba - cab$$

Pode-se verificar que atuando-se com qualche combinação das representações  $\tau_1$  e  $\tau_2$  obtémos funções que podem ser escritas como combinações combinacões lineares delas.  
Logo  $\tau_1$  e  $\tau_2$  formam uma rep. dublita de  $S_3$ .

Construímos outras duas funções:

$$\phi = 2\tau_3 + \frac{1}{2}\tau_1 + \frac{1}{2}\tau_2$$

$$= 2abc - 2bac + cab - cab + abc - bca$$

$$\chi = \frac{1}{3}(4\tau_4 - \tau_1 + \tau_2 - \phi)$$

$$= -abc + bca - cab + cba$$

$\phi$  e  $\chi$  também formam um dublito de simetria mista.

Temos então duas representações singlets inequivalentes e duas duplitas equivalentes. Portanto temos  $1+1+2.2=6$  funções fundamentalmente independentes.

Construir de funções de onda para bôsons e fermions com funções de onda espacial e de spin com simetria mista

Como dissemos anteriormente se a função de onda espacial estiver associada a um dado diagrama de Young ento a função de onda de spin deve estar

a) associada ao mesmo diagrama no caso de bôsons.

b) " " " diagrama conjugado no caso de fermions.

Consideremos o caso de três partículas ( $S_3$ ) .

Os elementos de  $S_3$  são

$$I, P_{12}, P_{13}, P_{23}, P_{12}P_{13} \text{ e } P_{13}P_{12}$$

e temos ainda

$$P_{12}P_{23} = P_{13}P_{12} = P_{23}P_{13}$$

$$P_{23}P_{12} = P_{12}P_{13} = P_{13}P_{23}$$

Tommos a base da rep. dupla.

1	2
3	

$$\Psi_1 = A_{13} S_{12} abc = abc + bac - cba - cab$$

$$\Psi_2 = A_{23} S_{12} abc = abc + bac - acb - bca$$

Pode verificar que:

~~Propriedade~~

$$P_{12} \Psi_1 = \Psi_2$$

$$P_{13} \Psi_1 = -\Psi_1$$

$$P_{23} \Psi_1 = \Psi_1 - \Psi_2$$

$$P_{12} \Psi_2 = \Psi_1$$

$$P_{13} \Psi_2 = \Psi_2 - \Psi_1$$

$$P_{23} \Psi_2 = -\Psi_2$$

Tommos agora uma cópia desta representação como base  $X_1, X_2$  para a função de onda de spin.

Usando o ~~operator~~ simétrizador

$$S_{123} = I + P_{12} + P_{13} + P_{23} + P_{12}P_{13} + P_{13}P_{12}$$

Vemos que é função de onda.

$$\Psi = (S_{123} \otimes S_{123}) + \chi_1 =$$

$$\begin{aligned}
 &= \underline{+}_1 \chi_1 + \underline{+}_2 \chi_2 + \underline{+}_1 \chi_1 + (\underbrace{+}_1 - \underbrace{+}_2)(\chi_1 - \chi_2) + (\underbrace{+}_2 - \underbrace{+}_1)(\chi_2 - \chi_1) \\
 &\quad + \underline{+}_2 \chi_2 \\
 &= 4 +_1 \chi_1 + 4 +_2 \chi_2 - 2 +_1 \chi_2 - 2 +_2 \chi_1
 \end{aligned}$$

e' totalmente simétrica para troca de quaisquer duas partículas.

Por outro lado se considerarmos o anti-simétrico

$$A_{123} = 1 - P_{12} - P_{13} - P_{23} + P_{12}P_{13} + P_{13}P_{12}$$

obtemos que a função da onda

$$\phi = (A_{123} \otimes A_{123}) + \chi_1 =$$

$$\begin{aligned}
 &= \cancel{+}_1 \chi_1 - \cancel{+}_2 \chi_2 - \cancel{+}_1 \chi_1 - (\cancel{+}_1 - \cancel{+}_2)(\chi_1 - \chi_2) + (\cancel{+}_2 - \cancel{+}_1)(\chi_2 - \chi_1) + \\
 &\quad + \cancel{+}_2 \chi_2 = 0
 \end{aligned}$$

e' nula.

Para obter a função da onda totalmente anti-simétrica

precisamos tomar a função da onda espacial no

mp duplito  $\begin{array}{|c|c|} \hline 1 & 2 \\ \hline 3 \\ \hline \end{array}$  e a função da onda de spin no

mp duplito  $\begin{array}{|c|c|} \hline 1 & 3 \\ \hline 2 \\ \hline \end{array}$

## Segunda quantização

### O caso da estatística de Bose

Este é um método para tratar um sistema de muitas partículas idênticas interagindo de alguma maneira.

Em teoria quântica relativística isto é feito com uso que o número de partículas varia.

Denotamos por  $\psi_1(\vec{r})$ ,  $\psi_2(\vec{r})$  ... um conjunto completo orthonormal e normalizado de funções de onda. Estas podem ser por exemplo estados estacionários de uma única partícula em um campo externo. ( $\vec{r}$  denota as coordenadas e spin)

Este campo externo é arbitrário, só faz sentido em o campo a que as partículas estão sujeitas na realidade. Invenmos apenas um conjunto completo de funções.

Considera-se um sistema de  $N$  partículas não interageentes num campo. Cada partícula vai estar em um dado estado.

Seja  $N_i$  o número de partículas no estado  $\psi_i$ .

$$\text{Então } \sum_i N_i = N.$$

Se os inteiros  $N_1, N_2, \dots$  forem dados o estado do sistema como todo se está determinado.

Indicaremos estes n.ºs. m. f. onda total como  $\Psi_{N_1, N_2, \dots}$

Invenmos construir um formalismo matemático onde o n.º de ocupação tem o papel de variáveis independentes.

No caso de bosons a função de onda é:

$$\Psi_{N_1, N_2, \dots} = \sqrt{\frac{N_1! N_2! \dots}{N!}} \sum t_{p_1}(\xi_1) t_{p_2}(\xi_2) \dots t_{p_N}(\xi_N)$$

onde  $p_1, p_2, \dots, p_N$  são nrs que indicam em que estado as partículas estão. A somatória é sobre todas as permutações destes nrs que são diferentes. Nós temos  $N_i$  indicais  $p_1, p_2, \dots, p_N$  que tem o mesmo valor  $i$ .

O nr. total de termos ~~é~~ na somatória é

$$\frac{N!}{N_1! N_2! \dots N_N!}$$

Portanto a função  $\Psi_{N_1, N_2, \dots}$  está normalizada dividindo os fatores numéricos e a orthonormalidade dos  $t_i$ 's.

Consideremos um operador  $f^{(1)}$  associado a uma grandeza física da partícula  $a$ . Isto é, ele atua somente em funções de  $\Psi_a$ . Introduzimos o operador

$$F^{(1)} = \sum_a f_a^{(1)}$$

que é simétrico com relação a troca de partículas. ~~é~~  
Note que  $f_a^{(1)}$  descreve a mesma grandeza física para todas as partículas. ~~é~~

Denotaremos

$$f_{i,h}^{(1)} = \int t_i^*(\xi) f^{(1)} t_h(\xi) d\xi$$

que é independente de  $\sim$ , uma vez que estamos integrando em  $\xi$ . (integrais nas coordenadas e zeros nos spins).

(12) Considerem os elementos da matriz de  $F'''$ :

$$\int d\xi_1 d\xi_2 \dots d\xi_n \psi_{n_1' n_2' \dots n_n'}^* F''' \psi_{n_1 n_2 \dots n_n} =$$

$$= \sqrt{\frac{n_1'! n_2'! \dots n_n'!}{n!}} \sum' \sqrt{\frac{n_1! n_2! \dots n_n!}{n!}} \sum'' =$$

$$*\sum'' \int \psi_{p_1'}^*(\xi_1) \psi_{p_1}(\xi_1) d\xi_1 \int \psi_{p_2'}^*(\xi_2) \psi_{p_2}(\xi_2) d\xi_2 \dots \int \psi_{p_n'}^*(\xi_n) f_n''' \psi_{p_n}(\xi_n) d\xi_n \dots$$

Vemos então que os elementos não nulos só aparecem diagonais ( $n_i' = n_i$ ) e aparecem em que exista um deles  $n_i'$  diferente de  $n_i$  em uma unidade. A razão é que  $f'''$  pode provocar transição de partícula 1 do estado  $\psi_1(\xi_1)$  para  $\psi_n(\xi_n)$ . Logo o número  $n_i'$  vai diminuir de 1 a  $n_k$  aumentar de 1.

Tomemos o exemplo de 3 partículas com  $n_1 = 2$  e  $n_2 = 1$

$$\Psi_{21}(\xi_1, \xi_2, \xi_3) = \sqrt{\frac{2! \cdot 1!}{3!}} \left\{ \psi_1(\xi_1) \psi_1(\xi_2) \psi_2(\xi_3) + \right.$$

$$\left. + \psi_1(\xi_1) \psi_2(\xi_2) \psi_1(\xi_3) + \psi_2(\xi_1) \psi_1(\xi_2) \psi_1(\xi_3) \right\}$$

4

$$\Psi_{21} = \psi_1 \psi_1 \psi_2$$

$$\Psi_3(\xi_1, \xi_2, \xi_3) = \psi_1(\xi_1) \psi_1(\xi_2) \psi_1(\xi_3)$$

Das

~~Überprüfung~~

$$\begin{aligned}
 & \langle 3, 0, 0 \dots | F''' | 2, 1, 0 \dots \rangle = \int d\vec{\xi}_1 d\vec{\xi}_2 d\vec{\xi}_3 + \frac{1}{\sqrt{3}} * \\
 & * \left\{ +_1^*(\xi_1) f_1''' +_1(\xi_1) \quad +_1^*(\xi_2) +_1(\xi_2) \quad +_1^*(\xi_3) \cancel{+}_2(\xi_3) + \right. \\
 & + +_1^*(\xi_1) \cancel{f_1} \overset{\circ}{+}_2(\xi_1) \quad +_1^*(\xi_2) \cancel{+}_2(\xi_2) +_1^*(\xi_3) +_1(\xi_3) + \\
 & + +_1^*(\xi_1) f_1''' \cancel{+}_2(\xi_1) \quad +_1^*(\xi_2) \cancel{+}_1(\xi_2) +_1^*(\xi_3) +_1(\xi_3) + \\
 & + +_1^*(\xi_1) +_1(\xi_1) +_1^*(\xi_2) f_2''' +_1(\xi_2) \cancel{+}_1^*(\xi_3) \cancel{+}_2(\xi_3) + \\
 & + +_1^*(\xi_1) +_1(\xi_1) +_1^*(\xi_2) f_2''' +_2(\xi_2) +_1^*(\xi_3) +_1(\xi_3) + \\
 & + +_1^*(\xi_1) \cancel{+}_2(\xi_1) +_1^*(\xi_2) +_1(\xi_2) +_1^*(\xi_3) f_3''' \cancel{+}_2(\xi_3) + \\
 & + +_1^*(\xi_1) +_1(\xi_1) +_1^*(\xi_2) \cancel{+}_2(\xi_2) +_1^*(\xi_3) f_3''' +_1(\xi_3) + \\
 & \left. + +_1^*(\xi_1) \cancel{+}_2(\xi_1) +_1^*(\xi_2) +_1(\xi_2) +_1^*(\xi_3) f_3''' +_1(\xi_3) \right\}
 \end{aligned}$$

$$= \frac{1}{\sqrt{3}} \left\{ f_{12} + f_{12} + f_{12} \right\} = \sqrt{3} f_{12}$$

En geral temos

$$\langle \dots N_i \dots (N_{k-1}) \dots | F''' | \dots (N_i-1) \dots N_k \dots \rangle = f_{i,n}''' \sqrt{N_i N_k} \quad (*)$$

Os elementos diagonais  $\neq 0$

$$\langle N_1 \dots N_N | F''' | N_1 \dots N_N \rangle = \sum_i f'''_{ii} N_i \quad (\star\star)$$

Introduzimos operadores  $A_i$  que têm um papel fundamental na 2ª quantização. Eles atuam <sup>não</sup> em funções de coordenada mas nas variáveis  $N_1, N_2 \dots$  e são definidos como:

$A_i$  diminui  $N_i$  de uma unidade quando atua em  $\Psi_{N_1 \dots N_N}$  e multiplica por  $\sqrt{N_i}$ .  
ou seja:

$$A_i \Psi_{N_1, N_2 \dots N_N} = \sqrt{N_i} \Psi_{N_1, \dots (N_i-1) \dots N_N}$$

$A_i$  diminui o n.º de partículas no estado  $N_i$ , de uma unidade (operador de destruição)

Em notação matricial temos

$$(A_i)_{N_i}^{N_i-1} = \sqrt{N_i}$$

O operador  $A_i^+$  é o conjugado hermitiano de  $A_i$ , e portanto

$$(A_i^+)^{N_i}_{N_i-1} = [(A_i)_{N_i}^{N_i-1}]^+$$

ou seja

$$(A_i^+)^{N_i}_{N_i-1} = \sqrt{N_i}$$

Dai

$$A_i^+ \Psi_{N_1 \dots N_N} = \sqrt{N_{i+1}} \Psi_{N_1, N_2 \dots N_{i+1} \dots}$$

$A_i^+$  é operador de criação. Ele cria uma partícula no estado  $\Psi_i$ .

O produto  $A_i^+ A_i$  atuando em  $\psi_{N_1 \dots N_N}$  multiplica por uma constante simplesmente seu alterar  $N_i$ . Temos,

$$\begin{aligned} A_i^+ A_i \psi_{N_1 \dots N_N} &= A_i^+ \sqrt{N_i} \psi_{N_1 \dots (N_i-1) \dots} \\ &= \cancel{N_i} \psi_{N_1 \dots N_N} \end{aligned}$$

De maneira análoga

$$\begin{aligned} A_i^+ A_i^+ \psi_{N_1 \dots N_N} &= A_i^+ \sqrt{N_i+1} \psi_{N_1 \dots (N_i+1) \dots} \\ &= (N_i+1) \psi_{N_1 \dots N_N} \end{aligned}$$

Podemos então escrever

$$A_i^+ A_i = N_i \quad , \quad A_i^+ A_i^+ = N_i + 1$$

Pontanto

$$[A_i, A_i^+] = A_i^+ A_i - A_i^+ A_i^+ = 1$$

Para indices diferentes os operadores  $A_i, A_i^+$  comutam

$$[A_i, A_j] = [A_i^+, A_j^+] = [A_i, A_j^+] = 0 \quad i \neq j$$

Porto

$$A_i^+ A_j \psi_{N_1 \dots N_N} = \sqrt{N_j+1} \sqrt{N_i} \psi_{N_1 \dots (N_j+1) \dots (N_i-1) \dots}$$

$$A_j^+ A_i \psi_{N_1 \dots N_N} = \sqrt{N_i} \sqrt{N_j+1} \psi_{N_1 \dots (N_i+1) \dots (N_j-1) \dots}$$

Note que se  $N_i = 0$  tenemos:

$$A_i | \psi_{N_1 \dots N_N} \rangle = \cancel{\sqrt{N_i}} \sqrt{N_{N_1 \dots (N_i+1) \dots N_N}} = 0$$

en ese caso anula  $\psi_{N_1 \dots N_N}$ .

Das es (\*) e (\*\*) vemos que podemos escribir:

$$F''' = \sum_{i,k} f_{ik}^{'''(1)} A_i^+ A_k$$

Pois

$$\begin{aligned} (A_i)^{N'}_N &= \sqrt{N_i} \delta^{N', N_i-1} \delta_{N, N_i} \\ (A_i^+)^{N'}_N &= \sqrt{N_i} \delta^{N', N_i} \delta_{N, N_i-1} \\ (A_i^+)^{N'}_N (A_j)^{N''}_N &= \sqrt{N_i} \delta^{N', N_i} \delta_{N, N_i-1} \sqrt{N_j} \delta^{N'', N_j-1} \delta_{N', N_j} \end{aligned}$$

$$\langle N'_1 N'_2 \dots | F''' | N_1 N_2 \dots N_N \rangle = \sum_{i,j} f_{ik}^{'''(1)} \langle N'_1 \dots | A_i^+ A_k | N_1 \dots \rangle$$

$$= \sum_{\substack{i \neq k \\ i \neq l}} f_{ik}^{'''(1)} \sqrt{N_k} \sqrt{N_{i+1}} \langle N'_1 \dots | N_1 \dots \cancel{(N_{i+1})} \dots (N_{i+1}) \dots \rangle + \text{resto}$$

~~resto de los otros~~

•

$$+ \sum_{i \neq k} f_{ik}^{'''(1)} N_i \langle N'_1 \dots | N_1 \dots \rangle$$

el ultimo entra com os mesmos elementos da matriz que em (\*) e (\*\*).

Este resultado é muito importante pois

- é só simplesmente números
- conseguimos escrever um operador que atua nas coordenadas em termos de operadores que atuam no n: de ocupação.

Este resultado pode ser generalizado para operadores que tenham outra forma. Por exemplo, considere

$$\hat{F}^{(2)} = \sum_{as} f^{(2)}_{as}$$

onde  $f^{(2)}_{as}$  é um operador que está associado a uma grandeza física que relacionada a duas partículas. Onde seja que atua em funções de  $\xi_1$  e  $\xi_2$ .

Fazendo cálculos similares vemos que este operador pode ser escrito como:

$$F^{(2)} = \frac{1}{2} \sum_{iklm} (f^{(2)})_{iklm}^{iR} A_i^* A_k^+ A_m A_l$$

onde

$$(f^{(2)})_{iklm}^{iR} = \iint \psi_i^*(\xi_1) \psi_k^*(\xi_2) f^{(2)} \psi_i(\xi_1) \psi_m(\xi_2) d\xi_1 d\xi_2$$

De maneira análoga podemos generalizar isto para operadores que dependem de 3 ou mais partículas.

Vamos escrever a Hamiltoniana em termos dos operadores  $A \rightarrow A^+$ . Na aproximação não relativística a Hamiltoniana de  $N$  part. idênticas é independente dos spins e pode

Se representado na forma geral

$$H = \sum_a H_a^{(1)} + \sum_{ab} U^{(2)}(r_a, r_b) + \sum_{abc} U^{(3)}(r_a, r_b, r_c) \dots$$

onde  $H_a^{(1)}$  é a parte que depende das coordenadas da partícula  $a$ , constante.

$$H_a^{(1)} = -\frac{\hbar^2}{2m} \Delta_a + U^{(1)}(r_a)$$

↑  
potencial externo de  
uma partícula.

Os demais termos correspondem a interações entre as partículas.  
Termos entre  $a$

$$H = \sum_{i, k} H_{ik}^{(1)} A_i^+ A_k + \frac{1}{2} \sum_{lm} (U^{(2)})_{lm}^{ik} A_i^+ A_k^+ A_l A_m + \dots$$

Se não existe interação entre as partículas temos,

$$H = \sum_{ik} H_{ik}^{(1)} A_i^+ A_k$$

Tomando  $\psi_i$  como autoestados de  $H^{(1)}$  a matriz  $H_{ik}^{(1)}$  fica diagonal e da

$$H = \sum_i \epsilon_i A_i^+ A_i$$

↓  
energia da partícula no estado  $\psi_i$

e consequentemente

$$H = \sum_i \epsilon_i N_i$$

que é um resultado muito óbvio.

Introduzimos os operadores

$$\Phi(\xi) = \sum_i \psi_i(\xi) A_i, \quad \Phi^+(\xi) = \sum_i \psi_i^*(\xi) A_i^+$$

onde  $\xi$  é considerado como parâmetro.

$\Phi$  diminui o número total de partículas <sup>de</sup> 1 unidade

$\Phi^+$  aumenta " " " " " " "

É fácil ver que o operador  $\Phi^+(\xi_0)$  cria uma partícula no ponto  $\xi_0$ . Analogamente o operador  $A_i^+$  cria uma

~~$$\Phi^+(\xi) \Psi_{N, L, N} = \sum_i \psi_i^*(\xi_0) \Psi_{N+1}$$~~

partícula em um estado com função de onda  $\psi_i(\xi)$ . Daí  $\Phi^+(\xi_0)$  cria uma partícula com função de onda

$$\sum_i \psi_i^*(\xi_0) \psi_i(\xi) = \delta(\xi - \xi_0)$$

$\int$   
Somatório  
conjugado completo.

Outro tipo  $\Phi^+$  cria partícula com função de onda que é uma função d'álfa e dará zero em um ponto definido.

Relação de comutação.

$$\Phi(\xi) \Phi(\xi') - \Phi(\xi') \Phi(\xi) = 0$$

$$\Phi(\xi) \Phi^+(\xi') - \Phi^+(\xi) \Phi(\xi) = \sum_{i,j} \psi_i^*(\xi) \psi_j^*(\xi') (A_i A_j^+ - A_j^+ A_i)$$

$$= \sum_i \psi_i^*(\xi) \psi_i^*(\xi') = \delta(\xi - \xi')$$

$$[\Phi(\xi), \Phi(\xi')] = [\Phi^+(\xi), \Phi^+(\xi')] = 0$$

$$[\Phi(\xi), \Phi^+(\xi')] = \delta(\xi - \xi')$$

A expressão para  $F'''$  fica:

$$F''' = \int d\xi \Phi^+(\xi) f''' \Phi(\xi) \quad (\star\star\star)$$

ou

$$= \int d\xi \sum_{i,j} \psi_i^*(\xi) f''' \psi_j(\xi) A_i^+ A_j$$

$$= \sum_{i,j} f'''_{ij} A_i^+ A_j$$

Da maneira análoga

$$F^{(2)} = \frac{1}{2} \iint \Phi^+(\xi) \Phi^+(\xi') f^{(2)} \Phi(\xi') \Phi(\xi') d\xi d\xi'$$

Para uma grandeza física que é simplesmente uma função de  $\xi$ ,  $f(\xi)$  temos que  $(\star\star\star)$  for

$$F = \int f(\xi) \Phi^+(\xi) \Phi(\xi) d\xi$$

Portanto  $\Phi^*(\xi) \Phi(\xi) d\xi$  é o n.º de partículas no intervalo  $\xi \leq \xi + d\xi$ .

A Hamiltoniana em termos da  $\Phi$  e  $\Phi^*$  fica:

$$H = \int \frac{\hbar^2}{2m} \nabla \Phi^*(\xi) \nabla \Phi(\xi) + U^{(1)}(\xi) \Phi^* \Phi + \quad (6.25)$$

$$+ \frac{1}{2} \iint \Phi^*(\xi) \Phi^*(\xi') U^{(2)}(\xi, \xi') \Phi(\xi') \Phi(\xi) d\xi d\xi' + \dots$$

onde foi feita uma integração por partes e usada

$$H^{(1)} = -\frac{\hbar^2}{2m} \Delta + U^{(1)}.$$

Interpretar (6.25):

Sugamos que temos um sistema de partículas onde todos estão no estado  $\Psi(\xi)$  ( $\int |\Psi|^2 d\xi = N$ )

Se substituirmos  $\Phi$  por  $\Psi$  em (6.25) obtemos a energia média do sistema.

Portanto obtemos a seguinte regra para obter a Hamiltoniana no 2º quantizado:

A expressão para a energia média é escrita em termos de função de onda de uma partícula comuta. Para substituirmos este função pelo operador  $\hat{\Phi}$ .

O hermitiano conjugado  $\hat{\Phi}^*$  é colocado a esquerda de  $\hat{\Phi}$ .

## O Caso da estatística de Fermi

No caso de fermions a função de onda total é totalmente antisimétrica

$$\psi_{N,n_1 \dots} = \frac{1}{\sqrt{N!}} \begin{vmatrix} \psi_{P_1}(\varepsilon_1) & \psi_{P_2}(\varepsilon_2) & \dots & \psi_{P_N}(\varepsilon_N) \\ \psi_{P_2}(\varepsilon_1) & \psi_{P_3}(\varepsilon_2) & \dots & \psi_{P_N}(\varepsilon_N) \\ \vdots & & & \\ \psi_{P_N}(\varepsilon_1) & \psi_{P_N}(\varepsilon_2) & \dots & \psi_{P_N}(\varepsilon_N) \end{vmatrix}$$

Neste caso temos um problema de sinal na definição de  $\psi_{N,n_1 \dots}$ . Para isto numeramos os estados  $P_i$ , de uma dada maneira (e só mudamos mais este resultado) e completamos as linhas do determinante da tal modo que

$$P_1 < P_2 < P_3 < \dots < P_N$$

Nas colunas temos funções de variáveis diferentes, na ordem  $\varepsilon_1, \varepsilon_2, \dots, \varepsilon_N$ . É claro que dois números  $\varepsilon_i$ 's não podem ser iguais, pois a função (determinante) se anula.

Desta forma temos que  $n_i$  pode ser 0 ou 1.

Analogamente ao caso boêmico definimos

$$F^{(1)} = \sum_a f_a^{(1)}$$

Novamente os vários elementos da matriz são necessariamente decto opacificos dos os diagonais, aquelas onde o n.º de ocupados é diminuido ou aumentado de uma unidade.

Consideremos o caso de 3 partículas no estado

$$\begin{aligned} \psi_{101001} &= \frac{1}{\sqrt{6}} \begin{pmatrix} \psi_1(\xi_1) & \psi_1(\xi_2) & \psi_1(\xi_3) \\ \psi_3(\xi_1) & \psi_3(\xi_2) & \psi_3(\xi_3) \\ \psi_6(\xi_1) & \psi_6(\xi_2) & \psi_6(\xi_3) \end{pmatrix} = \\ &= \frac{1}{\sqrt{6}} \left\{ \psi_1(\xi_1) \psi_3(\xi_2) \psi_6(\xi_3) + \psi_3(\xi_1) \psi_6(\xi_2) \psi_1(\xi_3) + \psi_6(\xi_1) \psi_1(\xi_2) \psi_3(\xi_3) \right. \\ &\quad \left. - \psi_6(\xi_1) \psi_3(\xi_2) \psi_1(\xi_3) - \psi_1(\xi_1) \psi_6(\xi_2) \psi_3(\xi_3) - \psi_3(\xi_1) \psi_1(\xi_2) \psi_6(\xi_3) \right\} \end{aligned}$$

Calculemos o valor esperado de  $F^{(1)}$

$$\bar{F}^{(1)} = \langle 101001 \dots | F^{(1)} | 101001 \dots \rangle =$$

$$\begin{aligned} &= \frac{1}{6} \left\{ \underbrace{f_{11}^{(1)} + f_{33}^{(1)} + f_{66}^{(1)} + f_{66}^{(1)} + f_{11}^{(1)} + f_{33}^{(1)}}_{\text{estes vêm de } \langle \psi_i \rangle} + 32 \text{ vezem a mesma coisa} \right\} \\ &\quad \times \underbrace{\langle f_1^{(1)} \rangle + \langle f_3^{(1)} \rangle + \langle f_6^{(1)} \rangle}_{\text{estes da }} \end{aligned}$$

$$= f_{11}^{(1)} + f_{33}^{(1)} + f_{66}^{(1)}$$

E' fácil ver que no caso geral temos

$$\bar{F}^{(1)} = \sum_i f_{ii}^{(1)} N_i$$

onde  $N_i = 0$  ou 1

Vejamos agora os elementos fora da diagonal. Como dissemos, eles somente são não nulos fazendo os nrs de occupancy diferirem de  $\pm 1$ .

Para isso consideramos a função

$$\Psi_{001011\dots} = \frac{1}{\sqrt{6}} \begin{vmatrix} \psi_3(\xi_1) & \psi_3(\xi_2) & \psi_3(\xi_3) \\ \psi_5(\xi_1) & \psi_5(\xi_2) & \psi_5(\xi_3) \\ \psi_6(\xi_1) & \psi_6(\xi_2) & \psi_6(\xi_3) \end{vmatrix} =$$

$$= \frac{1}{\sqrt{6}} \left\{ \psi_3(\xi_1) \psi_5(\xi_2) \psi_6(\xi_3) + \psi_5(\xi_1) \psi_6(\xi_2) \psi_3(\xi_3) + \psi_6(\xi_1) \psi_3(\xi_2) \psi_5(\xi_3) \right.$$

$$\left. - \psi_6(\xi_1) \psi_5(\xi_2) \psi_3(\xi_3) - \psi_3(\xi_1) \psi_6(\xi_2) \psi_5(\xi_3) - \psi_5(\xi_1) \psi_3(\xi_2) \psi_6(\xi_3) \right\}$$

Calculemos

$$\langle 101001\dots | F''' | 001011\dots \rangle = \cancel{F'''}$$

~~$\frac{1}{6} f'''_{156} = \frac{1}{6} f'''_{15} \{ -1 + 1 - 1 - 1 - 1 - 1 \} = -f'''_{15}$~~

Nota: quando trocamos duas linhas no determinante se troca de sinal. Portanto para obter a linha  $\psi_5(\xi_i)$  onde estava a linha  $\psi_1(\xi_i)$  precisamos fazer uma troca, somente e dar o sinal (-). Se houvesse m linhas para trocar obtiríamos um sinal  $(-1)^m$ .

Fazendo isto é fácil ver que somando os termos "diagonais" contribuem a dar termos  $N!$  termos contribuindo. Logo o resultado geral é:  $f_{i,k}$  (para  $i < k$ )

$$(F''')_{0,i,k}^{1,0_k} = f'''_{i,k} (-1)^{\sum(i+1, k-1)}$$

onde  $O_i \neq 1_i$ : significa que  $N_i = 0$  e  $N_i = 1$  respectivamente

e onde

$$\sum_{l=i+1}^{k-1} n_l = \sum_{l=i+1}^{k-1} N_l$$

ou seja  $n_l$  o n. de estados ocupados entre  $i < l < k$

Para representarmos o operador  $F^{11}$  em termos de operadores de criação e destruição precisamos que estes tenham o seguinte elemento da matriz

$$(A_i)_{0_i}^{0_i} = (A^+)_{0_i}^{1_i} = (-1)^{\sum_{l=1}^{i-1} n_l}$$

ou seja

$$A_i | \dots \underset{i}{\bullet} \dots \rangle = (-1)^{\sum_{l=1}^{i-1} n_l} | \dots \underset{i}{\bullet} \dots \rangle$$

onde  $\sum_{l=1}^{i-1} n_l$  é o n. de estados ocupados ate i.

Analogamente

$$A_i^+ | \dots 0 \dots \rangle = (-1)^{\sum_{l=1}^{i-1} n_l} | 0 \dots 1 \dots \rangle$$

Calculemos o produto destes operadores ( $\forall k > i$ )

$$\begin{aligned} (A_i^+ A_k)_{0_i 0_k}^{1_i 0_k} &= (A_i^+)^{\sum_{l=1}^{i-1} n_l}_{0_i 0_k} (A_k)^{\sum_{l=1}^{k-1} n_l}_{0_i 0_k} \\ &= (-1)^{\sum_{l=1}^{i-1} n_l} (-1)^{\sum_{l=1}^{k-1} n_l + \sum_{l=i+1}^{k-1} n_l} \\ &= (-1)^{\sum_{l=i+1}^{k-1} n_l} \end{aligned}$$

No caso  $i \neq h$  temos que  $A_i^+ A_i^-$  é diagonal e só é diferente de zero se o estado  $i$  estiver ocupado.

Dar:

$$A_i^+ A_i^- = N_i$$

Escrevendo  $F'''$  como

$$F''' = \sum_{i, h} f_{i, h}^{(n)} A_i^+ A_h^-$$

Vemos que obtémos os elementos da matriz contos de  $F''$ .

~~Porque  $f_{i, h}^{(n)}$  é o conto de transição de operadores de criação e aniquilação de matrizes para as cidades laterais.~~

Consideremos o produto na ordem inversa. ( $h > i$ )

$$\begin{aligned} (A_h^- A_i^+)^{s_i, 0_h}_{0_i, s_h} &= (A_h^-)^{s_i, 0_h}_{s_i, s_h} (A_i^+)^{s_i, s_h}_{0_i, 0_h} = \\ &= (-1)^{\sum (1, h-1) + 1 + \sum (i+1, h-1)} (-1)^{\sum (1, i-1)} \\ &= -(-1)^{\sum (i+1, h-1)} \end{aligned}$$

Vemos então que

$$A_i^+ A_h^- + A_h^- A_i^+ = 0 \quad (i \neq h)$$

No caso  $i = h$  temos que  $A_i^+ A_i^-$  é diagonal e só é diferente de zero se o estado  $i$  estiver ocupado.

Logo

$$A_i A_i^+ = 1 - N_i$$

Pontando

$$A_i^+ A_i + A_i A_i^+ = 1$$

Podemos então escrever

$$A_i^+ A_h + A_h A_i^+ = \delta_{ih}$$

Pode-se verificar que

$$A_i A_h + A_h A_i = 0$$

$$A_i^+ A_h^+ + A_h^+ A_i^+ = 0$$

Vemos então que os contrários do caso boêmico os operadores de criação e destruição de fermions satisfazem relações de anticomutador.

No caso boêmico os operadores  $A_i$  e  $A_h$  eram independentes para alterar na variável  $N_i$  ~~uma~~ e o resultado não depende dos outros  $n_j$ 's de ocupação. No caso fermiônico, ao contrário, a ação de  $A_i$  depende da ocupação dos outros estados.

Deixa forma  $A_i$  e  $A_h$  não são independentes.

Uma vez obtido este formalismo podemos escrever ~~uma~~ operadores em termos dos operadores de criação e aniquilação, da mesma maneira que no caso boêmico. Ou seja

$$F''' = \sum_a f_a''' = \sum_{i,h} f_{i,h}''' A_i^+ A_h$$

$$F^{(2)} = \sum_{a>b} f_{ab}^{(2)} = \frac{1}{2} \sum_{i,h,l,m} (f^{(2)})_{lm}^{ih} A_i^+ A_h^+ A_m^- A_l^-$$

etc.

No caso boônico a ordem ~~dos~~<sup>dos</sup> operadores  $A_i^+ A_h^+ A_m^- A_l^-$  não importava pois eles contavam. No entanto no caso fermionico isto é relevante. A ordem ~~dos~~<sup>dos</sup> mas expressão acima já é a correta.

Analogamente ao caso boônico definimos

$$\Phi(\xi) = \sum_i \psi_i(\xi) A_i \quad \Phi^+(\xi) = \sum_i \psi_i^*(\xi) A_i^+$$

e suas satisfações

$$\Phi^+(\xi') \Phi(\xi) + \Phi(\xi) \Phi^+(\xi') = \delta(\xi - \xi')$$

$$\Phi(\xi) \Phi^+(\xi') + \Phi^+(\xi) \Phi(\xi) = 0$$

## Teoria do espalhamento

### A equação de Lippmann-Schwinger

Consideramos primeiramente a formalização independente do tempo do processo de espalhamento. Suponha que a Hamiltoniana seja

$$H = H_0 + V$$

onde

$$H_0 = \frac{p^2}{2m}$$

No caso da ressonância o agente espalhador temos  $V=0$

Na presença de  $V$  o autoestado da energia difere daquele de partícula livre.

No caso elástico, a energia não muda, e fazemos a solução da eq. de Schrödinger para a mesma energia.

Seja  $|f\rangle$  o autoestado de  $H_0$ .

$$H_0|f\rangle = E|f\rangle \quad (\text{ou seja } |f\rangle \text{ pode ser } |\vec{p}\rangle)$$

A eq. que fazemos usamos:

$$(H_0 + V)|f\rangle = E|f\rangle \quad (\text{mesmo } E)$$

Tanto  $H_0$  como  $H_0 + V$  têm espectro contínuo.

Procuramos uma solução tal que

$$|f\rangle \xrightarrow{V \rightarrow 0} |f\rangle$$

A menos de singularidades poderíamos dizer que a solução é:

$$|\psi\rangle = |\phi\rangle + \frac{1}{E - H_0} V |\psi\rangle$$

O termo em  $|\phi\rangle$  aparece para satisfazer a condição de contorno  $|\psi\rangle \rightarrow |\phi\rangle$  quando  $V \rightarrow 0$ .

No caso da teoria de perturbações nós usamos um operador de projecção complementar. No entanto isto não funciona aqui pois temos um espaço contínuo de autovalores.

Ainda para isto é complicado a energia (apenas um parafuso!)

$$|\psi^\pm\rangle = |\phi\rangle + \frac{1}{E - H_0 \mp i\epsilon} V |\psi^\pm\rangle$$

Os simais  $\pm$  são disutidos mais tarde.

Esta é a eq. de Lippmann-Schwinger.

No caso da representação de posição temos

$$\langle \vec{x} | \psi^\pm \rangle = \langle \vec{x} | \phi \rangle + \int d^3x' \langle x' | \frac{1}{E - H_0 \mp i\epsilon} | x' \rangle \langle x' | V | \psi^\pm \rangle$$

Obtémos então uma equação integral.

Se  $|\phi\rangle$  for uma onda plana de momento  $\vec{p}$  temos

$$\langle \vec{x} | \phi \rangle = \frac{e^{i\vec{p} \cdot \vec{x}/\hbar}}{(2\pi\hbar)^{3/2}} \quad \text{ou} \quad \langle \vec{x} | \phi \rangle = \frac{e^{i\vec{p} \cdot \vec{x}/\hbar}}{L^{3/2}}$$

Normalização da onda.

Nas representações da  $\psi$  momento a eq. da L-S fica:

$$\langle \vec{p} | \psi^\pm \rangle = \langle \vec{p} | \phi \rangle + \frac{1}{E - \frac{\vec{p}^2}{2m} \pm i\epsilon} \langle \vec{p} | V | \psi^\pm \rangle$$

Para resolver a eq. integral acima nós precisamos calcular o fluxo:

$$G_\pm(\vec{x}, \vec{x}') = \frac{\hbar^2}{2m} \langle \vec{x} | \frac{1}{E - H_0 \pm i\epsilon} | \vec{x}' \rangle$$

Calculando

$$G_\pm(x, x') = \frac{\hbar^2}{2m} \int d^3 p' d^3 p'' \langle x | p' \rangle \langle p' | \frac{1}{E - \frac{\vec{p}'^2}{2m} \pm i\epsilon} | p'' \rangle \langle p'' | x' \rangle$$

$\frac{e^{i\vec{p}' \cdot \vec{x}/\hbar}}{(2\pi\hbar)^3/2}$        $\frac{\delta^{(3)}(\vec{p}' - \vec{p}'')}{E - \frac{\vec{p}''^2}{2m} \pm i\epsilon}$        $\frac{e^{-i\vec{p}'' \cdot \vec{x}'/\hbar}}{(2\pi\hbar)^3/2}$

Dar

$$G_\pm(x, x') = \frac{\hbar^2}{2m} \int \frac{d^3 p'}{(2\pi\hbar)^3} \frac{e^{i\vec{p}' \cdot (\vec{x} - \vec{x}')/\hbar}}{\left(E - \frac{\vec{p}'^2}{2m} \pm i\epsilon\right)}$$

Introduzindo  $\vec{p} = \frac{\hbar}{i} \vec{q}$  e levando  $E = \frac{\hbar^2 k^2}{2m}$  temos

$$G_\pm(x, x') = \frac{1}{(2\pi)^3} \int_0^\infty q^2 dq \int_0^{2\pi} d\phi \int_{-1}^1 d(\cos\theta) \frac{e^{i\vec{q} \cdot (\vec{x} - \vec{x}') \cos\theta}}{\hbar^2 - q^2 \pm i\epsilon}$$

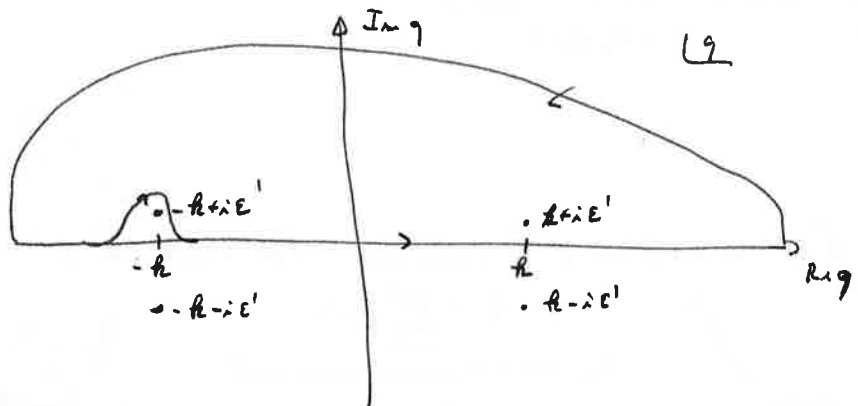
$$= \frac{1}{(2\pi)^2} \int_0^\infty q^2 dq \frac{1}{\hbar^2 - q^2 \pm i\epsilon} \frac{e^{iq|x-x'| \cos\theta}}{i q (x-x')} \Big|_1^1$$

$$G_{\pm}(x, x') = -\frac{1}{8\pi^2} \frac{1}{i|x-x'|} \int_{-\infty}^{\infty} dq q \frac{e^{iq(x-x')} - e^{-iq(x-x')}}{q^2 - k^2 \mp i\varepsilon}$$

#

O integrando tem polos em

$$q^2 = k^2 \pm i\varepsilon \Rightarrow q = \pm k \sqrt{1 \pm \frac{i\varepsilon}{k^2}} \approx \pm k \pm i\varepsilon'$$



Usando Teorema de Cauchy

$$\oint \frac{dz}{2\pi i} \frac{f(z)}{z-w} = f(w)$$

$$q^2 - k^2 \mp i\varepsilon = (q - k\sqrt{1 \pm \frac{i\varepsilon}{k^2}})(q + k\sqrt{1 \pm \frac{i\varepsilon}{k^2}})$$

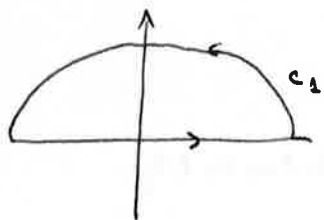
removendo

$$\approx (q - (k \pm i\varepsilon'))(q + (k \pm i\varepsilon'))$$

~~$$G_{\pm}(x, x') = -\frac{1}{4\pi} \frac{1}{i|x-x'|} \left\{ \begin{aligned} & (k \pm i\varepsilon') \left[ e^{i(k \pm i\varepsilon')(x-x')} - e^{-i(k \pm i\varepsilon')(x-x')} \right] \\ & 2(k \pm i\varepsilon) \\ & + (-k \pm i\varepsilon') \left[ e^{i(-k \pm i\varepsilon')(x-x')} - e^{-i(-k \pm i\varepsilon')(x-x')} \right] \\ & + 2(-k \pm i\varepsilon') \end{aligned} \right\}$$~~

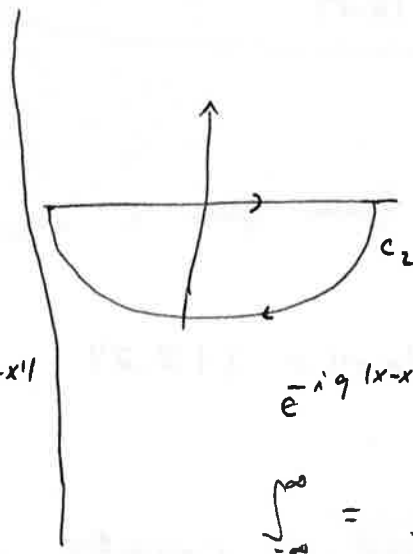
$$G_{\pm}(x, x') = -\frac{1}{4\pi} \frac{1}{|x-x'|} \left\{ \int_{C_1} \frac{dq}{2\pi i} \frac{q e^{iq|x-x'|}}{[q - (k_{\pm} + i\varepsilon')] [q + (k_{\pm} + i\varepsilon')]} \mp \int_{C_2} \frac{dq}{2\pi i} \frac{q e^{-iq|x-x'|}}{[q - (k_{\pm} + i\varepsilon')] [q + (k_{\pm} + i\varepsilon')]} \right\}$$

on de



$$e^{ig|x-x'|} = e^{iRg|x-x'|} e^{-Im g|x-x'|}$$

$$\int_{-\infty}^{\infty} = \int_c$$



$$e^{-i g |x-x'|} = e^{-i R g |x-x'|} \in \text{Im } g |x-x'|$$

$$\int_{c_1}^{c_2} = \int_{c_2}$$

No caso de  $G_+$  o polo que contribui é  $\left\{ \begin{array}{l} q = k + i\varepsilon' \text{ em } C_1 \\ q = -(k + i\varepsilon') \text{ em } C_2 \end{array} \right.$

$$\left\{ \begin{array}{l} q = -(k + i\varepsilon') \sin c_1 \\ q = k - i\varepsilon' \sin c_2 \end{array} \right.$$

Varí

$$G_+(x, x') = -\frac{1}{4\pi} \frac{1}{|x-x'|} \left\{ (\ell + i\varepsilon') \frac{e^{i(\ell+i\varepsilon')(x-x')}}{2(\ell+i\varepsilon')} + (-\ell + i\varepsilon') \frac{e^{i(-\ell+i\varepsilon')(x-x')}}{-2(\ell+i\varepsilon')} \right\}$$

$$G_-(x, x') = -\frac{1}{4\pi} \frac{1}{|x-x'|} \left\{ \begin{aligned} & \frac{e^{i(-k+i\varepsilon')|x-x'|}}{-2(\pm k+i\varepsilon)} + \frac{(k-i\varepsilon') e^{-i(k-i\varepsilon')|x-x'|}}{2(k-i\varepsilon)} \end{aligned} \right\}$$

One seja

$$G_{\pm}(\vec{x}, \vec{x}') = -\frac{1}{4\pi} \frac{1}{|\vec{x}-\vec{x}'|} e^{\pm ik|\vec{x}-\vec{x}'|}$$

$G_{\pm}(x)$  é função de Green para a equação de Helmholtz

$$(\nabla^2 + k^2) G_{\pm}(x, x') = \delta(\vec{x} - \vec{x}')$$

Substituindo na expressão da  $\langle x | \psi^{\pm} \rangle$  temos

$$\langle \vec{x} | \psi^{\pm} \rangle = \underbrace{\langle \vec{x} | \phi \rangle}_{\text{onda}} - \frac{2m}{\hbar^2} \int d^3x' \underbrace{\frac{e^{\pm ik|\vec{x}-\vec{x}'|}}{4\pi |\vec{x}-\vec{x}'|} \langle x' | V | \psi^{\pm} \rangle}_{\text{esta termo da o efeito do espalhamento}}$$

incidente

esta termo da o efeito do espalhamento



Vemos mais tarde que a dependência espacial deste termo é  $\frac{e^{\pm ikr}}{r}$  desde que o potencial tem alcance finito.  
(Isto é uma onda esférica)

Sinal + → outgoing wave ← estamos interessados meta.

Dizemos que um potencial é local se ele for diagonal na representação da coordenada, ou seja

$$\langle x' | V | x'' \rangle = V(x') \delta^{(3)}(x' - x'')$$

É claro que potenciais que dependem somente da posição sofrem potenciais locais.

Neste caso temos então:

$$\begin{aligned}\langle x' | V | \psi^{\pm} \rangle &= \int d^3x'' \langle x' | V | x'' \rangle \langle x'' | \psi^{\pm} \rangle \\ &= V(x') \langle x' | \psi^{\pm} \rangle\end{aligned}$$

Portanto

$$\langle x | \psi^{\pm} \rangle = \langle x | \phi \rangle - \frac{2m}{\hbar^2} \int d^3x' \frac{e^{\pm i \vec{k} |x-x'|}}{4\pi |x-x'|} V(x') \langle x' | \psi^{\pm} \rangle$$

interpretação desta eq.

O vetor  $x$  é o meu diretor do ponto de observação onde a função de onda é calculada.

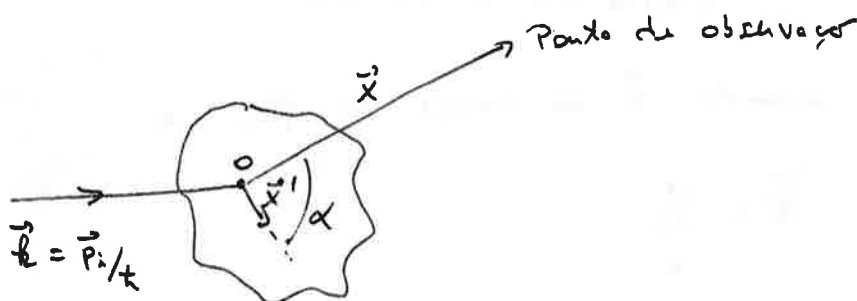
Se o potencial tem alcance infinito a integral ~~sexta~~ é contribui para a integral é limitada

No processo de espalhamento estamos interessados em ver o efeito do espalhamento em pontos  $x$  longe do alcance do potencial.

Na prática não é isto que ocorre.

Temos então

$$|x| \gg |x''|$$



15  
Demostremos

$$r = |\mathbf{x}|, r' = |\mathbf{x}'| \quad \alpha = \text{ângulo entre } \mathbf{x} \text{ e } \mathbf{x}'$$

Para  $r \gg r'$  ( $(1+x)^{1/2} = 1 + \frac{1}{2}x + O(x^2) \dots$ )

$$|\mathbf{x} - \mathbf{x}'| = \sqrt{r^2 - 2rr'\cos\alpha + r'^2} = r \sqrt{1 - 2\frac{r'}{r}\cos\alpha + \frac{r'^2}{r^2}}$$

$$\approx r \left( 1 - \frac{r'}{r} \cos\alpha + \frac{1}{2} \left(\frac{r'}{r}\right)^2 + \dots \right)$$

onde

$$\hat{\mathbf{r}} = \frac{\mathbf{x}}{|\mathbf{x}|}$$

$$\approx r - \hat{\mathbf{r}} \cdot \mathbf{x}'$$

onde

$$\hat{\mathbf{r}} = \frac{\mathbf{x}}{|\mathbf{x}|}$$

Definimos também

$$\tilde{\mathbf{k}}' = \mathbf{k}' \hat{\mathbf{r}}$$

que representa o vetor de propagação das ondas chegando em  $\tilde{\mathbf{x}}$ .

Dai

$$e^{\pm i \tilde{\mathbf{k}}' |\mathbf{x} - \mathbf{x}'|} \approx e^{\pm i \tilde{\mathbf{k}}' r} e^{\mp i \tilde{\mathbf{k}}' \cdot \mathbf{x}'} \quad (r \gg r')$$

A onda plana incidente é normalizada como

$$\langle \tilde{\mathbf{x}} | \tilde{\mathbf{k}} \rangle = \frac{e^{i \tilde{\mathbf{k}} \cdot \tilde{\mathbf{x}}}}{(2\pi)^{3/2}}$$

Mais uma vez que  $\langle \tilde{\mathbf{k}} | \tilde{\mathbf{k}}' \rangle = \delta^{(3)}(\tilde{\mathbf{k}} - \tilde{\mathbf{k}}')$

Onde estamos usando  $\tilde{\mathbf{k}}$  ao invés de  $\tilde{\mathbf{P}}$ , i.e.

$$\tilde{\mathbf{k}} = \frac{\tilde{\mathbf{P}}_\lambda}{\hbar}$$

Isto elimina  $\hbar$  mas expressão  $\frac{1}{(2\pi\hbar)^{3/2}}$

Dentro da aproximação que estamos fazendo, podemos escrever

$$\frac{1}{|x-x'|} \approx \frac{1}{r}$$

Mas vez que

$$\begin{aligned}\frac{1}{|x-x'|} &= \frac{1}{r} \frac{1}{\sqrt{1 - 2\frac{r'}{r} \cos \alpha + \frac{r'^2}{r^2}}} = \frac{1}{r} \left\{ 1 - \frac{1}{2} \left[ -2\frac{r'}{r} \cos \alpha + \frac{r'^2}{r^2} \right] + \dots \right\} \\ &= \frac{1}{r} + \frac{r' \cos \alpha}{r^2} + \dots\end{aligned}$$

Estamos desprezando termos  $O(\frac{r'}{r})$ . No argumento da exponencial  $e^{\pm i \vec{p}_k (x-x')}$  desprezamos termos  $O(\frac{r'^2}{r^2})$ .

Daí

$$\begin{aligned}\langle \vec{x} | \psi^+ \rangle &\xrightarrow{r \gg r'} \langle x | \psi \rangle - \frac{1}{4\pi} \frac{2m}{\hbar^2} \frac{e^{i\vec{p}_k r}}{r} \int d^3x' e^{-i\vec{p}_k \cdot \vec{x}'} V(x') \langle x' | \psi^+ \rangle \\ &= \frac{1}{(2\pi)^{3/2}} \left[ e^{i\vec{p}_k \cdot \vec{x}} + \frac{e^{i\vec{p}_k r}}{r} f(\vec{p}_k, \vec{p}) \right]\end{aligned}$$

onde

$$\begin{aligned}f(\vec{p}_k', \vec{p}_k) &= -\frac{1}{4\pi} \frac{2m}{\hbar^2} (2\pi)^3 \int d^3x' \frac{e^{-i\vec{p}_k' \cdot \vec{x}'}}{(2\pi)^{3/2}} V(x') \langle x' | \psi^+ \rangle \\ &= -\frac{1}{4\pi} (2\pi)^3 \frac{2m}{\hbar^2} \langle \vec{p}' | V | \psi^+ \rangle\end{aligned}$$

Portanto a grandes distâncias a função de onda  $\langle x | \psi^+ \rangle$  é a onda plana incidente mais uma onda esférica com amplitude  $f(\vec{p}_k', \vec{p}_k)$ . ~~propagando~~ afastante do centro espalhador.

De maneira análoga podemos mostrar que  $\langle x | \psi^- \rangle$  é a onda plana original mais uma onda esférica aproximadamente do espalhador ( $\frac{e^{i\vec{p}_k r}}{r}$ ) e amplitude dada por:

$$-\frac{1}{4\pi} (2\pi)^3 \frac{2m}{\hbar^2} \langle -\hbar \mathbf{V} \cdot \mathbf{f} \rangle.$$

Para obter a regra da integração diferencial nós consideramos um número grande de partículas incidentes <sup>todos</sup> ~~separadas~~ caracterizadas pela função de onda:

$$\langle x | f \rangle = \frac{e^{i\hbar x}}{(2\pi)^{3/2}}$$

Questão: Qual é o número de partículas incidentes cruzando o plano perpendicular à direção incidente por unidade de área e unidade de tempo?

Isto é proporcional ao fluxo de probabilidade dividido ao lado direito de ~~(7.1.33)~~ (7.1.33) ou seja

$$\frac{e^{i\hbar x}}{(2\pi)^{3/2}}$$

Questão: Qual é o número de partículas espatuladas em um ângulo sólido  $d\Omega$  por unidade de tempo?

~~Espatulada~~.

Isto é proporcional ao fluxo de probabilidade dividido ao lado direito de (7.1.33) ou seja  $\frac{e^{i\hbar r}}{r} f(k', k)$

Temos então

$$\frac{d\sigma}{d\Omega} d\Omega = \frac{\text{número de partículas espatuladas em } d\Omega \text{ por unidade de tempo}}{\text{nº de partículas incidentes por unidade de área e por unid. de tempo}}$$

$$\cancel{\frac{d\sigma^2}{d\Omega} d\Omega} = \frac{r^2 |\mathbf{f}_{esp}| d\Omega}{|\mathbf{f}_{inc}|} = |\mathbf{f}(k', k)|^2 d\Omega$$

2

Dar

$$\frac{d\sigma}{dR} = |f(k, k')|^2$$

$d\sigma$  é a área no plano perpendicular ao fluxo incidente que contém partículas espalhadas em  $dR$ .

### Descrição do pacote de onda

No experimento real temos um pacote de onda que incide no centro ~~descrição desse pacote de onda é justificada para~~ e spalhado. ~~descrição desse pacote de onda é justificada para~~ Depois de um grande tempo, temos o pacote de onda <sup>original</sup> movendo na direção original mais uma onda esférica que ~~se~~ se difunde do centro espalhado.

O uso de onda plana é satisfatório quando o tamanho do pacote de onda (medido na experiência real) é muito maior que o tamanho da região onde a potência atua.

### A aproximação de Born

A expressão (7.134) para  $f(k, k')$  não é de utilidade pois ela contém o fator desconhecido  $\langle \psi^+ \rangle$ .

No caso do potencial não se muito forte nós podemos aproximar  $\langle \psi | \psi^+ \rangle$  por  $\langle \psi | \phi \rangle$ , i.e.

$$\langle \psi' | \psi^+ \rangle \rightarrow \langle \psi' | \phi \rangle = \frac{e^{i\vec{k} \cdot \vec{x}}}{(2\pi)^{3/2}}$$

Obtemos então uma aproximação para  $f(k, k')$  que é linear em  $V$ . Por esta razão ~~é~~ a amplitude obtida é chamada de amplitude de Born de 1ª ordem. é denotada por  $f^{(1)}$ .

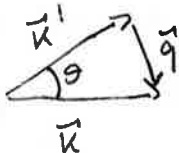
Temos

$$f'''(\vec{h}, \vec{h}') = -\frac{1}{4\pi} \frac{2m}{\hbar^2} \int d^3x' e^{i(\vec{h}-\vec{h}').\vec{x}} V(\vec{x}')$$

A menos do fator  $-\frac{2m}{4\pi\hbar^2}$  vemos que  $f'''(h, h')$  é a transformada de Fourier do potencial com respeito ao momento transferido

$$\vec{q} \equiv \vec{h} - \vec{h}'$$

Para um potencial esfericamente simétrico  $f'''(h, h')$  é uma função de  $|\vec{h} - \vec{h}'|$ . Como  $|\vec{h}| = |\vec{h}'| = h$  por conservação da energia temos



$$\vec{q} = \vec{h} - \vec{h}' \Rightarrow q = |\vec{h} - \vec{h}'| = \sqrt{h^2 - 2h^2 \cos\theta + h'^2} \\ = h\sqrt{2 - 2\cos\theta}$$

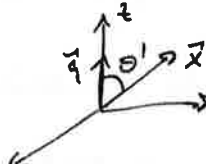
$$\cos(A+B) = \cos A \cos B - \sin A \sin B$$

$$\cos\theta = \cos^2 \frac{\theta}{2} - \sin^2 \frac{\theta}{2} = 1 - 2 \sin^2 \frac{\theta}{2}$$

$$2 - 2 \cos\theta = 2 - 2 + 4 \sin^2 \frac{\theta}{2} = 4 \sin^2 \frac{\theta}{2}$$

$$\text{Dá} \quad q = 2h \sin \frac{\theta}{2}$$

Fazendo a integração angular



$$f'''(\vec{h}, \vec{h}') = -\frac{1}{4\pi} \frac{2m}{\hbar^2} \int_0^\infty r^2 dr \int_0^{2\pi} d\phi \int_{-1}^1 d(\cos\theta') e^{iqr \cos\theta'} V(r)$$

$$= -\frac{m}{\hbar^2} \int_0^\infty r^2 dr V(r) \frac{e^{iqr} - e^{-iqr}}{iqr}$$

$$= -\frac{2m}{\hbar^2} \int_0^\infty r dr V(r) \frac{\sin qr}{q}$$

On se jo

$$f'''(\theta) = - \frac{2m}{\hbar^2} \frac{1}{q} \int_0^\infty dr r V(r) \sin qr \quad (q = 2k \frac{\sin \theta}{2})$$

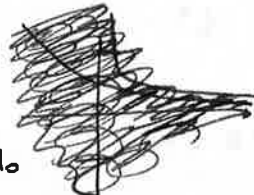
Aproximação da forma de 1º orden para potenciais centrais.

Exemplo: Potencial de Yukawa

$$V(r) = V_0 \frac{e^{-\mu r}}{\mu r} \quad V_0 \text{ independente de } r \text{ exp}$$

$\mu$  - é o alcance do potencial

Mais vez que  $V_0$  é bem rápido para  $r \gg \mu$ .



Dar

$$f'''(\theta) = - \frac{2mV_0}{\mu \hbar^2} \frac{1}{q} \underbrace{\int_0^\infty dr e^{-\mu r} \sin qr}_{I'''}$$

$$I = \int_0^\infty dr e^{-\mu r} \left( \frac{e^{iqr} - e^{-iqr}}{2i} \right) = \frac{1}{2i} \left\{ \int_0^\infty dr \left( e^{(iq-\mu)r} - e^{-(iq+\mu)r} \right) \right\}$$

$$= \frac{1}{2i} \left\{ \left. \frac{e^{(iq-\mu)r}}{iq-\mu} \right|_0^\infty - \left. \frac{e^{-(iq+\mu)r}}{-iq-\mu} \right|_0^\infty \right\} = -\frac{1}{2i} \left\{ \frac{1}{iq-\mu} + \frac{1}{iq+\mu} \right\}$$

$$= -\frac{1}{2i} \frac{iq+\mu + iq-\mu}{(iq-\mu)(iq+\mu)} = \frac{q}{q^2 + \mu^2}$$

Logo

$$f'''(\theta) = - \frac{2mV_0}{\mu \hbar^2} \frac{1}{q^2 + \mu^2}$$

Usando  $q^2 = 4 \hbar^2 \sin^2 \frac{\theta}{2} = 2 \hbar^2 (1 - \cos \theta)$  temos

$$\frac{d\sigma}{dR} \cong |f(\theta)|^2 = \left( \frac{2mv_0}{\mu \hbar^2} \right)^2 \frac{1}{(2 \hbar^2 (1 - \cos \theta) + \mu^2)^2}$$

No caso  $\mu \rightarrow 0$  mantendo a razão  $\frac{v_0}{\mu}$  fixa obtemos um potencial Coulombiano. Denotando  $\frac{v_0}{\mu} \equiv z z' e^2$  temos

$$\frac{d\sigma}{dR} \cong \frac{(2m)^2 (zz' e^2)^2}{\hbar^4} \frac{1}{16 \hbar^4 \sin^4 \frac{\theta}{2}}$$

Denotando  $|p| \equiv \hbar k$  e  $E = \frac{kp^2}{2m}$  temos

$$\frac{d\sigma}{dR} = \frac{1}{16} \left( \frac{zz' e^2}{E} \right)^2 \frac{1}{\sin^4 \frac{\theta}{2}}$$

que é a regrada de Rutherford obtida clássicamente.

Um seja a aproximação de Born em 1º orden coincide com o resultado clássico.

Para um potencial esfericamente simétrico (central) e para uma amplitude  $f(k, k')$  que pode ser aproximada por amplitude de Born em 1º orden podemos dizer:

1)  $\frac{d\sigma}{dR}$  ou  $f(\theta)$  é uma função de  $\theta$  constante.

Um seja  $f(\theta)$  depende da energia  $\frac{\hbar^2 k^2}{2m}$  e  $\theta$  na combinação  $z \hbar^2 (1 - \cos \theta)$

2)  $f(\theta)$  é sempre real

3)  $\frac{d\sigma}{dR}$  é independente do sinal do potencial  $V$

4) Para  $\theta$  pequeno (portanto  $q$  pequeno) temos

$$f^{(1)}(\theta) = -\frac{1}{4\pi} \frac{2m}{\hbar^2} \int V(r) d^3x \quad (\text{independente de } \theta)$$

pois  $\sin qr \sim qr$  e daí

$$\begin{aligned} -\frac{2m}{\hbar^2} \frac{1}{q} \int_0^\infty r V(r) \sin qr dr &= -\frac{2m}{\hbar^2} \int_0^\infty r^2 V(r) dr = \\ &= -\frac{2m}{\hbar^2} \frac{1}{2\pi} \int_0^{2\pi} d\phi \frac{1}{2} \int_{-1}^1 d(\cos\theta) \int_0^\infty r^2 V(r) dr = -\frac{1}{4\pi} \frac{2m}{\hbar^2} \int V(r) d^3x \end{aligned}$$

5) Para  $q$  ~~expressão~~ grande  $f(\theta)$  é pequeno devido a um integrando ~~assimétrico~~ que oscila rapidamente. (e devido a  $\frac{1}{q}$ )

### Validade da aproximação de Born

É claro que a aproximação é válida sempre que  $\langle x | t^+ \rangle$  não for muito diferente  $\langle x | \phi \rangle$  no sentido onde o potencial não é desprezível. Ou seja, a onda incidente não pode ser muito distorcida.

De (7.1.22) vemos que a condição para que  $\langle x | t^+ \rangle$  não seja tão diferente de  $\langle x | \phi \rangle$  no centro do potencial é ( $\vec{x} = 0$ )

$$\left| \frac{2m}{\hbar^2} \frac{1}{4\pi} \int d^3x' \frac{e^{ik'r'}}{r'} V(k') \right| \ll 1$$

Vejamos o que ocorre no caso do potencial de Yukawa.

Para energias baixas (é pequeno) é razoável substituir

$$e^{ik'r'} \text{ por } 1$$

Portanto devemos ter

$$\frac{2m}{\hbar^2} \frac{|V_0|}{\mu^2} \ll 1$$

para a virar ser

$$\left| \frac{2m}{\hbar^2} \frac{1}{4\pi} \underbrace{\int dr}_{4\pi} \int_0^\infty r^2 dr \frac{1}{r} V_0 \frac{e^{-\mu r}}{\mu r} \right| \ll 1$$

$$\frac{1}{\mu} \int_0^\infty dr e^{-\mu r} = -\frac{1}{\mu^2} e^{-\mu r} \Big|_0^\infty = \frac{1}{\mu^2}$$

e dar

$$\frac{2m}{\hbar^2} \frac{|V_0|}{\mu^2} \ll 1$$

A condição para o potencial de Yukawa ter um estado ligado (portanto  $V_0$  negativo) é

$$\frac{2m}{\hbar^2} \frac{|V_0|}{\mu^2} \geq 2.7$$

Portanto se o potencial de Yukawa é forte o suficiente para ter um estado ligado então obtamente a aproximação da 1ª ordem de Born não é válida.

No caso de alta energia ( $k$  grande) temos

$$\left| \frac{2m}{\hbar^2} \frac{1}{4\pi} \int dr \int_0^\infty r^2 dr \frac{e^{ikr}}{r} V_0 \frac{e^{-\mu r}}{\mu r} \right| \ll 1$$

$$\frac{2m}{\hbar^2} \frac{|V_0|}{\mu} \left| \int_0^\infty dr e^{(ik-\mu)r} \right| \ll 1$$

$$\left( \frac{e^{(ik-\mu)r}}{(ik-\mu)} \Big|_0^\infty \right)$$

e dar



$$\left| \frac{-1}{ik-\mu} \right|$$

$$\frac{2m}{\hbar^2} \frac{|V_0|}{\mu} \frac{1}{\sqrt{k^2 + \mu^2}} \ll 1$$

$$\frac{1}{(k^2 + \mu^2)^{1/2}}$$

Pontanto para  $k \gg \mu$  temos que ter

$$\frac{2m}{\hbar^2} \frac{|V_0|}{\mu k^2} \ll 1$$

E' claro que quanto maior for  $k$  mais facil sera' satisfazer esta condicão. Na verdade, a aproximação de Born em geral tende a ser melhor para altas energias.

Sakurai apresenta a condição acima como

$$\frac{2m}{\hbar^2} \frac{|V_0|}{\mu k^2} \ln\left(\frac{k}{\mu}\right) \ll 1$$

Auditó que o ln aparece quando somamos sobre todas as ordens da aproximação de Born.

A aproximação de Born de ordens mais altas

No's definimos o operador transitivo  $T$  como

$$V|\psi^+\rangle = T|\phi\rangle$$

Desta forma a amplitude (7.1.34) ~~é~~

$$f(\vec{r}', \vec{r}) = -\frac{1}{4\pi} (2\pi)^3 \frac{2m}{\hbar^2} \langle \vec{r}' | V | \vec{r}^+ \rangle$$

fica

$$f(\vec{r}', \vec{r}) = -\frac{1}{4\pi} (2\pi)^3 \frac{2m}{\hbar^2} \langle \vec{r}' | T | \vec{r} \rangle$$

uma vez que  $|\phi\rangle \equiv |\vec{r}\rangle$ .

Pontanto precisamos conhecer  $T$  para encontrar  $f$ .

Multiplicando a eq. de Lippmann-Schwinger por  $V$  obtemos

$$T|\phi\rangle = V|\phi\rangle + V \underbrace{\frac{1}{E - H_0 + i\epsilon}}_{E-H_0+i\epsilon} T|\phi\rangle$$

Isto deve ser verdade para qualquer  $\psi$  estado de onda plana  $|k\rangle$ . Como estas formam um conjunto completo, obtemos a relação operacional

$$T = V + V \frac{1}{E - H_0 + i\epsilon} T$$

Poderemos então obter uma solução iterativa para  $T$

$$T = V + V \frac{1}{E - H_0 + i\epsilon} V + V \frac{1}{E - H_0 + i\epsilon} V \frac{1}{E - H_0 + i\epsilon} V + \dots$$

Isto implica em uma expansão para  $f$  da forma

$$f(\vec{k}', \vec{k}) = \sum_{n=1}^{\infty} f^{(n)}(\vec{k}', \vec{k})$$

onde se o n-ésimo de vezas  $V$  entra, ou seja

$$f^{(1)}(\vec{k}', \vec{k}) = -\frac{1}{4\pi} \frac{2m}{t^2} (2\pi)^3 \langle \vec{k}' | V | \vec{k} \rangle$$

$$f^{(2)}(\vec{k}', \vec{k}) = -\frac{1}{4\pi} \frac{2m}{t^2} (2\pi)^3 \langle \vec{k}' | V \frac{1}{E - H_0 + i\epsilon} V | \vec{k} \rangle$$

⋮

Notar que  $f^{(1)}(\vec{k}', \vec{k})$  é o mesmo obtido anteriormente

uma vez que

$$\langle x | \vec{k} \rangle = \frac{e^{i\vec{k} \cdot \vec{x}}}{(2\pi)^{3/2}} \quad (\text{Vig. 7.2.2})$$

ou seja

$$f^{(1)}(\vec{k}', \vec{k}) = -\frac{1}{4\pi} \frac{2m}{t^2} \int d^3x' e^{i(\vec{k} - \vec{k}') \cdot \vec{x}'} v(\vec{x}')$$

No caso de  $f^{(2)}$  temos

$$f^{(2)}(\vec{r}_1, \vec{r}_2) = -\frac{1}{4\pi} \frac{2m}{\hbar^2} (2\pi)^3 \int d^3x d^3x' \frac{\delta^{(3)}(\vec{x}' - \vec{x})}{E - H_0 + i\epsilon} \langle \vec{x} | V(\vec{x}') | \vec{x}' \rangle \langle \vec{x}'' | V(\vec{x}''' | \vec{x}'') \rangle$$

No caso de  $V$  se local temos

$$\langle \vec{x} | V(\vec{x}') | \vec{x}' \rangle = V(x) \delta^{(3)}(\vec{x} - \vec{x}')$$

então

$$\langle x' | \frac{1}{E - H_0 + i\epsilon} | x \rangle = \frac{2m}{\hbar^2} G_+(\vec{x}', x)$$

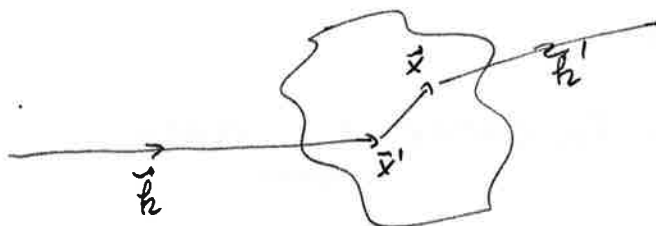
obtemos

$$f^{(2)}(\vec{r}_1, \vec{r}_2) = -\frac{1}{4\pi} \left(\frac{2m}{\hbar^2}\right)^2 \int d^3x d^3x' e^{-i\vec{k}' \vec{x}'} V(x) G_+(\vec{x}, \vec{x}') V(x') e^{i\vec{k} \vec{x}'}$$

Esta eq. pode ser interpretada da seguinte maneira:

A onda incidente  $e^{i\vec{k} \vec{x}'}$  interage em  $\vec{x}'$  através de  $V(\vec{x}')$ , dançando propaga até  $\vec{x}$  através da função de Green  $G(\vec{x}, \vec{x}')$  da eq. de Helmholtz ( $(\nabla^2 + k^2) u = \delta(x - x')$ ). Daí interage novamente em  $\vec{x}$  através de  $V(\vec{x})$  e se separa da finalmente no direção de  $\vec{r}_2$ .

No caso de  $f^{(3)}$  teríamos <sup>um pouco de</sup> três passos de interação.



## Teorema Óptico

"Teorema": É verdade que

$$\text{Im } f(\theta=0) = \frac{\hbar \sigma_{\text{tot}}}{4\pi}$$

onde

$$f(\theta=0) \equiv f(\vec{r}, \vec{r})$$

$$\sigma_{\text{tot}} = \int \frac{d\sigma}{d\Omega} d\Omega$$

Colocando  $\vec{r}' = \vec{r}$  temos espalhamento na direção "para frente", isto é, em  $\theta=0$ .

Este teorema é devido a Bohr, Peierls, e Placzek.

Prova:

Da (7.2.19)

$$f(\theta=0) = f(\vec{r}, \vec{r}) = -\frac{1}{4\pi} \frac{z_m}{\hbar^2} (2\pi)^3 \langle \vec{r} | T | \vec{r} \rangle$$

Da eq. da Lippmann-Schwinger

$$\cancel{\langle \vec{R}^+ | T | \vec{R}^+ \rangle} \quad \langle \psi^+ | - \langle \psi^+ | V \frac{1}{E - H_0 - i\epsilon} | \psi^+ \rangle$$

~ se temos

$$V(\psi^+) = T(\vec{r})$$

obtemos

$$\text{Im} \langle \vec{r} | T | \vec{r} \rangle = \text{Im} \langle \vec{r} | V | \psi^+ \rangle =$$

$$= \text{Im} \langle \psi^+ | V | \psi^+ \rangle - \text{Im} \langle \psi^+ | V \frac{1}{E - H_0 + i\epsilon} | \psi^+ \rangle$$

Usando a relação (veja nota sobre valor principal)

$$\frac{1}{E - H_0 - i\epsilon} = P_R \left( \frac{1}{E - H_0} \right) + i\pi \delta(E - H_0)$$

obtemos

$$\begin{aligned} \text{Im} \langle f | T | f \rangle &= \text{Im} \langle f^+ | V | f^+ \rangle - \text{Im} \langle f^+ | V P_R \left( \frac{1}{E - H_0} \right) V | f^+ \rangle - \\ &\quad - \text{Im} \langle f^+ | V i\pi \delta(E - H_0) V | f^+ \rangle \end{aligned}$$

ver págs 61 e 65  
do livro de Dirac  
(The Principles of  
Quantum Mechanics)  
3ª edição

Os dois primeiros termos são nulos ~~pois~~ devido à hermiticidade de  $V$  e  $V P_R \perp V$ . Daí usando que

$$V | f^+ \rangle = T | f \rangle$$

temos

$$\begin{aligned} \text{Im} \langle f | T | f \rangle &= - \text{Im} \langle f^+ | V i\pi \delta(E - H_0) V | f^+ \rangle \\ &= -\pi \langle f | T^+ \delta(E - H_0) T | f \rangle \\ &= -\pi \int d^3 k' \langle f | T^+ | k' \rangle \langle k' | T | f \rangle \delta(E - \frac{k'^2}{2m}) \\ &= -\pi \int d\Omega' \int k'^2 dk' \langle f | T^+ | k' \rangle \langle k' | T | f \rangle \delta(E - \frac{k'^2}{2m}) \end{aligned}$$

$$\text{Como } \cdot \quad dk' = dE \frac{dk'}{dE} = dE \frac{2m}{k'^2} \quad \Rightarrow \quad k'^2 = \frac{2m}{E} E$$

$$\text{Im} \langle f | T | f \rangle = -\pi \int d\Omega' \frac{m}{k'^2} | \langle \vec{k}' | T | \vec{k} \rangle |^2$$

$$\text{onde temos } |\vec{k}'| = |\vec{k}|$$

$$\text{Somando} \quad \sigma_{\text{tot}} = \int d\Omega' \frac{\sigma}{d\Omega}$$

~~Meio~~

$$\frac{dE}{k'^2} \frac{m}{k'} = \frac{dE}{k^2} \frac{m}{k}$$

Dar

$$\text{Im } f(0) = -\frac{1}{4\pi} \frac{2m}{\hbar^2} (2\pi)^3 (-\pi) \int dR' \frac{m\hbar}{\pi^2} |(\vec{h}'|T|\vec{h})|^2$$

Como

$$\frac{d\sigma}{dR} = |f(\vec{h}', h)|^2$$

$$\therefore \sigma_{\text{tot}} = \int dR \frac{d\sigma}{dR}$$

$$f(h, h') = -\frac{1}{4\pi} \frac{2m}{\hbar^2} (2\pi)^3 \langle \vec{h}' | T | \vec{h} \rangle$$

Temos

$$\begin{aligned} \text{Im } f(0) &= \frac{\pi}{2} \frac{1}{(2\pi)}, 4\pi \hbar \int dR' \left[ \frac{1}{4\pi} \frac{2m}{\hbar^2} (2\pi)^3 \right]^2 |(\vec{h}'|T|\vec{h})|^2 \\ &= \frac{\pi}{2} \frac{4\pi}{8\pi^3} \hbar \int dR' |f(h', h)|^2 \\ &= \frac{\hbar}{4\pi} \sigma_{\text{tot}} \end{aligned}$$

$$\sigma_{\text{tot}} = \frac{4\pi}{\hbar} \text{Im } f(\vec{h}, \vec{h})$$

### Aproximação Eikonal

Esta aproximação funciona quando o potencial varia muito pouco em uma distância da ordem do comprimento de onda da partícula incidente.

Como vemos ela difere da aproximação de Born uma vez que o potencial não precisa ser realmente fraco. Basta que  $E \gg V_0$ .

Ela é na verdade uma aproximação semi clássica, pois podemos usar o conceito de trajetória. Como é o que faremos

Comparado com as dimensões da trajetória o potencial atua, temos que  $p \sim \frac{1}{\lambda}$  é muito grande. logo a integral no momento é grande comparado com a integral no potencial.

Desta forma tomamos a função da onda semi-clássica

$$\psi^{(+)} \sim e^{i S(x)/\hbar}$$

Dar a equação

$$(H_0 + V) \psi^+ = E \psi^+ = \left( -\frac{\hbar^2}{2m} \nabla^2 + V \right) \psi^+$$

fica

$$-\frac{\hbar^2}{2m} \left\{ \vec{\nabla} \cdot \left( \frac{i}{\hbar} \vec{\nabla} S e^{i S/\hbar} \right) + V \right\} \psi^+ = E \psi^+$$

$$-\frac{\hbar^2}{2m} \left\{ \frac{i}{\hbar} \nabla^2 S - \frac{1}{\hbar^2} (\vec{\nabla} S)^2 \right\} e^{i S/\hbar} + V \psi^+ = E \psi^+$$

Vamos assumir que

$$\hbar \nabla^2 S \ll (\nabla S)^2$$

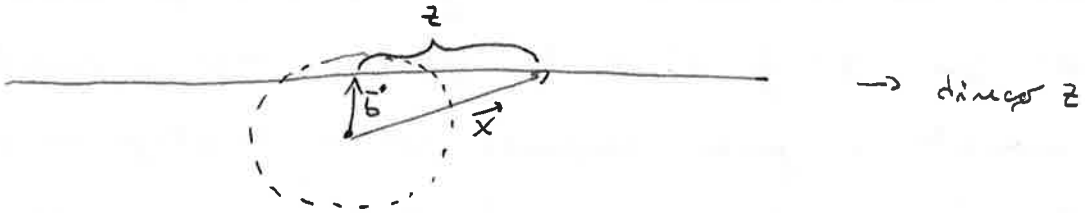
que equivale a dizer que  $S \gg \hbar$  (aprox. semi-clássico)

Obtemos então a eq. de Hamilton-Jacobi

$$\frac{1}{2m} (\vec{\nabla} S)^2 + V = E = \frac{\hbar^2 k^2}{2m}$$

Para calcular  $S$  a partir desta equação faremos uma outra aproximação ainda. Vamos supor que para altas energias a reflexão é pequena e dar a trajetória

pode ser aproximada por uma linha reta.



→ direção z

Tomaremos esta reta na direção do eixo z, como mostrado na figura acima. Daí fazendo a integração obtemos

$$\frac{S}{\hbar} = \int_{-\infty}^z \left[ k^2 - \frac{2m}{\hbar^2} V(\sqrt{b^2 + z'^2}) \right] dz' + \text{constante}$$

$|z'|$

A constante aditiva é escolhida de tal modo que

$$\frac{S}{\hbar} \rightarrow kz \quad \text{se } V \rightarrow 0$$

pois daí obtemos a onda plana  $\psi \sim e^{ikz}$  (pois esta é a função de onda quando não temos potencial).

De forma similar podemos escrever

$$\begin{aligned} \frac{S}{\hbar} &= kz + \int_{-\infty}^z \left[ \sqrt{k^2 - \frac{2m}{\hbar^2} V(\sqrt{b^2 + z'^2})} - kz \right] dz' \\ &\approx kz - \frac{m}{\hbar^2 k} \int_{-\infty}^z V(\sqrt{b^2 + z'^2}) dz' \end{aligned}$$

Pois

$$\begin{aligned} \sqrt{k^2 - \frac{2m}{\hbar^2} V(\sqrt{b^2 + z'^2})} &= k \sqrt{1 - \frac{2m}{\hbar^2 k^2} V(\sqrt{b^2 + z'^2})} \\ &\approx k \left( 1 - \frac{m}{\hbar^2 k^2} V(\sqrt{b^2 + z'^2}) \right) \end{aligned}$$

Muito bem para ENVI

Desta forma

$$\psi^+(\vec{x}) = \psi^+(\vec{b} + z \hat{e}_z) \simeq \frac{1}{(2\pi)^{3/2}} e^{i \vec{k} \cdot \vec{z}} \exp \left\{ -\frac{im}{\hbar^2 k} \int_{-\infty}^z V(\sqrt{b^2 + z'^2}) dz' \right\}$$

Nota que  $\psi^+$  não tem a forma de uma onda plana mas uma onda esférica  $e^{i \vec{k} \cdot \vec{r}} + f(\theta) \frac{e^{i k r}}{r}$ . No entanto podemos usá-la como uma função aproximada para calcular a amplitude  $f(k, k')$  dada por (2.1.34)

$$f(k', k) = -\frac{1}{4\pi} (2\pi)^3 \frac{2m}{\hbar^2} \langle \vec{R}' | V | \psi^+ \rangle$$

Como  $\vec{R}$  está na direção  $z$  podemos escrever

$$\vec{k} \cdot \vec{z} = \vec{k} \cdot \vec{x}$$

e daí

$$f(\vec{k}', \vec{k}) = -\frac{1}{4\pi} \frac{2m}{\hbar^2} \int d^3x' e^{-i \vec{k}' \cdot \vec{x}'} V(\sqrt{b^2 + z'^2}) e^{i \vec{k} \cdot \vec{x}'} \times \\ \times \exp \left\{ -\frac{im}{\hbar^2 k} \int_{-\infty}^{z'} V(\sqrt{b^2 + z''^2}) dz'' \right\}$$

¶

A menor destas exponenciais é da a aproximação de Born de 1º orden para  $f(k', k)$ .

Vamos usar coordenadas cilíndricas na integração. Temos então

$$d^3x' = b db d\phi_b dz'$$

Temos ainda

$$(\vec{h} - \vec{h}') \cdot \vec{x}' = (\vec{h} - \vec{h}') \cdot (\vec{b} + z \hat{e}_z) = -\vec{h}' \cdot \vec{b} + z(\vec{h} - \vec{h}') \cdot \hat{e}_z$$

pois  $\vec{h} \perp \vec{b}$ . Mas

$$(\vec{h} - \vec{h}') \cdot \hat{e}_z = h - h \cos \theta = h \left(1 - \cos \theta\right) = h \left(-\frac{\theta^2}{2!} + \frac{\theta^4}{4!} + \dots\right)$$

Como estamos assumindo que o ângulo de espalhamento é muito pequeno podemos escrever

$$(\vec{h} - \vec{h}') \cdot \vec{x}' \approx -\vec{h}' \cdot \vec{b}$$

$$\text{uma vez que } \vec{h}' \cdot \vec{b} = h b \sin \theta \approx h b \left(\theta - \frac{\theta^3}{3!} \dots\right)$$

e portanto é de uma ordem mais baixa em perturbação que  $(\vec{h} - \vec{h}') \cdot \hat{e}_z'$ .

Po outro lado, tomado o espalhamento no plano  $xz$  (despida da generalidade),

$$\begin{aligned} \vec{h}' \cdot \vec{b} &= (h \sin \theta \hat{e}_x + h \cos \theta \hat{e}_z) (b \cos \phi_s \hat{e}_x + b \sin \phi_s \hat{e}_y) = \\ &= h \sin \theta b \cos \phi_s \approx h b \theta \cos \phi_s \end{aligned}$$

Obtemos então para  $f(\vec{h}, \vec{h}')$

$$\begin{aligned} f(\vec{h}', \vec{h}) &= -\frac{1}{4\pi} \frac{2im}{h^2} \int_0^\infty b db \int_0^{2\pi} d\phi_s e^{-i h b \cos \phi_s \theta} \times \\ &\quad \times \int_{-\infty}^{\infty} dz' V \exp \left\{ -\frac{im}{h^2 b} \int_{-\infty}^z V dq' \right\} \end{aligned}$$

Usamos agora a identidade (ou definção)

$$\int_0^{2\pi} d\phi_b e^{-ikb\cos\phi_b} = 2\pi J_0(kb) \quad \begin{matrix} \uparrow \\ \text{função de Bessel} \end{matrix}$$

e ainda

$$\begin{aligned} \int_{-\infty}^{\infty} dz V e^{-\frac{im}{2k^2h} \int_{-\infty}^z V dz'} &= i \frac{t^2 h}{m} \int_{-\infty}^{\infty} dz \frac{d}{dz} e^{-\frac{im}{2kh} \int_{-\infty}^z V dz'} = \\ &= i \frac{t^2 h}{m} \exp\left(-\frac{im}{2kh} \int_{-\infty}^{\infty} V dz'\right) \Big|_{-\infty}^{\infty} \\ &= i \frac{t^2 h}{m} \left[ \exp\left(-\frac{im}{2kh} \int_{-\infty}^{\infty} V dz'\right) - 1 \right] \end{aligned}$$

Portanto

$$f(\tilde{h}', \tilde{h}) = -i \hbar \int_0^{\infty} b db J_0(kb) \left[ e^{2i\Delta(b)} - 1 \right]$$

$$\text{onde } \Delta(b) = -\frac{m}{2\hbar^2 k} \int_{-\infty}^{\infty} V dz' \quad (V = V(\sqrt{b^2 + z'^2}))$$

Quando fixamos o parâmetro da impulso  $b$ , calculamos  $\Delta(b)$ . É claro que  $\Delta(b)$  é nula se  $b$  for maior que o alcance do potencial. Consequentemente o termo  $(e^{2i\Delta(b)} - 1)$  também é nulo neste caso. Logo a integral em  $b$  é zero contribuindo somente para valores de  $b$  menor que o alcance do potencial.

Estados da partícula livre: onda plana x onda esférica

Termos frios

$$[H_0, \vec{p}] = [H_0, L^2] = [H_0, L_z] = 0$$

onde

$$H_0 = \frac{\vec{p}^2}{2m}$$

Portanto podemos tomar os autoestados de  $H_0$  como

autoestados de  $\vec{p} \rightarrow$  onda plana.

ou

autoestados de  $L^2, L_z \rightarrow$  onda esférica

Ignorando spin denotaremos estes últimos por  $|E, l, m\rangle$ .

Podemos escrever ~~que~~ qualquer estado da partícula livre como uma superposição de ondas planas ou ondas esféricas.

Vamos ver como estas duas bases são conectadas.

Obtemos então

$$\langle \tilde{h} | E, l, m \rangle$$

~ função da onda da onda esférica  
no espaço de momento.

Usaremos a normalização

$$\langle E', l', m' | E, l, m \rangle = \delta_{ll'} \delta_{mm'} \delta(E - E')$$

Em analogia ao caso da função de onda no espaço de coordenadas, nós podemos esperar que

$$\langle \vec{h} | E, l, m \rangle = g_{lE}(h) Y_l^m(\vec{h})$$

Vamos ver como obter este resultado.

Considerem o anel estado da momento  $| \vec{h} \hat{\epsilon}_z \rangle$ . Ora cogite uma onda plana propaga juntando na direção z.

A componente  $\hat{t}$  de seu momento angular é nula, pois

$$L_z | \vec{h} \hat{\epsilon}_z \rangle = (x p_y - y p_x) | h_x=0, h_y=0, h_z=h \rangle = 0$$

Análogo ao caso clássico  $\vec{L} \cdot \vec{p} = (\vec{r} \times \vec{p}) \cdot \vec{p} = 0$ .

Portanto

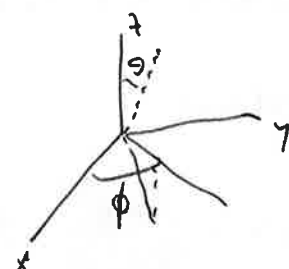
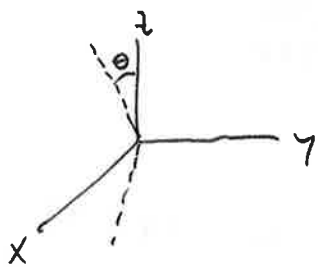
$$\langle E', l', m' | \vec{h} \hat{\epsilon}_z \rangle = 0 \text{ para } m' \neq 0$$

Daí

$$| \vec{h} \hat{\epsilon}_z \rangle = \sum_{l'} \int dE | E', l', m'=0 \rangle \langle E', l', m'=0 | \vec{h} \hat{\epsilon}_z \rangle$$

Nós podemos agora obter um anel  $| \vec{h} \rangle$  com  $\vec{h}$  em qualquer direção fazendo uma rotação da  $\vec{h} \hat{\epsilon}_z$ .

Rodamos de um ângulo  $\theta$  em torno do eixo  $\hat{x}$  e dar de um ângulo  $\phi$  em torno do eixo  $\hat{z}$ .



On seje

$$|\vec{h}\rangle = D(\alpha=\phi, \beta=\theta, \gamma=0) |\vec{h} \hat{e}_z\rangle$$

Dar'

$$\langle E, l, m | \vec{h} \rangle = \sum_{l'} \int dE' \langle E, l, m | D(\alpha=\phi, \beta=\theta, \gamma=0) | E', l', m' = 0 \rangle \times \langle E', l', m' = 0 | \vec{h} \hat{e}_z \rangle.$$

O operador de rotacao nao muda o ~~uma~~ autovalor da  $L^2$ , on seje  $l$ , poi,

$$[L^2, D] = 0$$

~~Dar~~ Tambem nao muda a energia poi,

$$[H_0, D] = 0$$

Dar'

$$\langle E, l, m | \vec{h} \rangle = \sum_{l'} \int dE' D_{m, 0}^{l'} (\alpha=\phi, \beta=\theta, \gamma=0) \delta_{ll'} \delta(E-E') \times \langle E', l', m' = 0 | \vec{h} \hat{e}_z \rangle.$$

$$= D_{m, 0}^{l'} (\alpha=\phi, \beta=\theta, \gamma=0) \langle E, l, m' = 0 | \vec{h} \hat{e}_z \rangle$$

↑

isto e independente de orientacao de  $\vec{h}$  e portanto de  $\theta + \phi$ .

Pra isso denotemos

$$g_{lE}(\vec{h}) \equiv \langle E, l, m' = 0 | \vec{h} \hat{e}_z \rangle \sqrt{\frac{4\pi}{2l+1}}$$

Usando (3.6.51) obtemos

$$\langle \vec{h} | E, l, m \rangle = \boxed{Y_l^m(\hat{h})} g_{lE}(\vec{h}) \quad (7.5.7)$$

Determinar de  $g_{EE}(R)$ : Nós temos que

$$\langle H_0 - E | \epsilon, l, m \rangle = 0$$

De maneira análoga

$$\langle \vec{r}_2 | (H_0 - E) = \left( \frac{\hbar^2 \vec{p}^2}{2m} - E \right) \langle \vec{r}_2 |$$

uma vez que  $H_0 = \frac{\vec{p}^2}{2m}$ .

Portanto

$$\left( \frac{\hbar^2 \vec{p}^2}{2m} - E \right) \langle \vec{r}_2 | \epsilon, l, m \rangle = 0$$

Daí da (7.5.7)

$$g_{EE}(R) = N \delta \left( E - \frac{\hbar^2 \vec{p}^2}{2m} \right)$$

~~esse resultado~~.

onde  $N$  é determinado pela normalização de  $\langle \vec{r}_2 | \epsilon, l, m \rangle$  dada em (7.5.11), ou seja

$$\langle \epsilon', l', m' | \epsilon, l, m \rangle = \delta_{\epsilon\epsilon'} \delta_{mm'} \delta(E - E')$$

Daí

$$\begin{aligned} \langle \epsilon', l', m' | \epsilon, l, m \rangle &= \int d^3 p'' \langle \epsilon', l', m' | \vec{p}'' \rangle \langle \vec{p}'' | \epsilon, l, m \rangle = \\ &= \int p''^2 d^3 p'' \int d\Omega_{\vec{p}''} |N|^2 \delta \left( \frac{\hbar^2 \vec{p}''^2}{2m} - E' \right) \delta \left( \frac{\hbar^2 \vec{p}''^2}{2m} - E \right) * \\ &\quad * Y_{l'}^{m'}(\hat{\vec{p}}'') Y_l^m(\hat{\vec{p}}'') \end{aligned}$$

Definindo

$$\epsilon'' = \frac{\hbar^2 k''^2}{2m}$$

temos

$$k''^2 dk'' = \frac{k''^2 d\epsilon''}{\frac{d\epsilon''}{dk''}} = \frac{m}{\hbar^2 k''} k''^2 d\epsilon'' = \frac{m k''}{\hbar^2} d\epsilon''$$

Portanto

$$\langle \epsilon', l', m' | E, l, m \rangle = \int \frac{m k''}{\hbar^2} d\epsilon'' \int dR_{k''} / N^2 \delta(\epsilon'' - \epsilon') \delta(\epsilon'' - \epsilon) * Y_{l'}^{m'}(\hat{k}'') Y_l^m(\hat{k})$$

Usando o fato que (3.6.30)

$$\int dR Y_{l'}^{m'} Y_l^m = \delta_{l'l'} \delta_{mm'}$$

obtemos

$$\langle \epsilon', l', m' | E, l, m \rangle = N^2 \frac{m k'}{\hbar^2} \delta(\epsilon - \epsilon') \delta_{l'l'} \delta_{mm'}$$

Logo

$$N = \frac{\hbar}{\sqrt{mk}}$$

$$g_{l'E}(k) = \frac{\hbar}{\sqrt{mk}} \delta\left(\frac{\hbar^2 k^2}{2m} - \epsilon\right)$$

$$\langle \hat{k} | E, l, m \rangle = \frac{\hbar}{\sqrt{mk}} \delta\left(\frac{\hbar^2 k^2}{2m} - \epsilon\right) Y_l^m(\hat{k})$$

Nós podemos agora escrever o fato  $|\vec{R}\rangle$  em termos das ondas esféricas. Temos

$$|\vec{R}\rangle = \sum_{l=0}^{\infty} \sum_{m=-l}^l \int dE |E, l, m\rangle \langle E, l, m | \vec{R}\rangle$$

$$= \sum_{l=0}^{\infty} \sum_{m=-l}^l |E, l, m\rangle \Big|_{E=\frac{\hbar^2 k^2}{2m}} \frac{\hbar}{\sqrt{4\pi l + 1}} Y_l^m(\hat{k})$$

Vemos que a onda plana contém em sua extensão ondas esféricas para todos os valores possíveis de  $l$ . Isto está relacionado com o fato da onda plana ter uma extensão transversal infinita. Logo ela contém todos os valores possíveis de parâmetros de impacto e dará todos os valores de  $l$ , pois  $b \approx \frac{lk}{p}$  (aprox. semi-clássica  $\vec{l} = \vec{p} \times \vec{r} \Rightarrow b \approx L = lp$ )

### A onda esférica na representação de coordenadas

A eq. de Schrödinger para uma partícula livre em coordenadas esféricas é

$$-\frac{\hbar^2}{2m} \left[ \frac{1}{r^2} \frac{\partial}{\partial r} \left( r^2 \frac{\partial \psi}{\partial r} \right) + \frac{1}{r^2 \sin \theta} \left( \frac{\partial}{\partial \theta} \left( \sin \theta \frac{\partial \psi}{\partial \theta} \right) + \frac{1}{\sin \theta} \frac{\partial^2 \psi}{\partial \varphi^2} \right) \right] = E \psi$$

Usando separação de variáveis

$$\psi = R(r) Y_l^m(\theta, \varphi)$$

onde

$$\left[ \frac{1}{\sin \theta} \frac{\partial}{\partial \theta} \left( \sin \theta \frac{\partial}{\partial \theta} \right) + \frac{1}{\sin^2 \theta} \frac{\partial^2}{\partial \varphi^2} \right] Y_l^m = -l(l+1) Y_l^m$$

onde  $Y_l^m$  são os esfericos harmônicos, que satisfazem

$$-\lambda \frac{\partial Y_l^m}{\partial \phi} = m Y_l^m$$

2

$$Y_l^m = (-1)^m \sqrt{\frac{2l+1}{4\pi} \frac{(l-m)!}{(l+m)!}} P_l^m(\cos\theta) e^{im\phi}$$

funções de Legendre associadas.

A equação radial fica

$$-\frac{\hbar^2}{2m} \frac{d^2 U_E}{dr^2} + \frac{l(l+1)\hbar^2}{2mr^2} U_E = E U_E$$

onde

$$U_E(r) = r R(r)$$

$$2 \quad U_E(r) \Big|_{r=0} = 0$$

A solução é dada por

$$R(r) = c_1 f_l(kr) + c_2 n_l(kr) \quad k = \sqrt{\frac{2mE}{\hbar^2}}$$

Para satisfazer a condição de contorno acima temos que ter

$$c_2 = 0 \quad \text{qdo a origem é incluída}$$

$f_l$  - funções de Bessel esférica

O comportamento assintótico é

$$f_l(p) \xrightarrow[p \rightarrow 0]{} \frac{p^l}{(2l+1)!!} \quad n_l(p) \xrightarrow[p \rightarrow 0]{} \frac{(2l+1)!!}{p^{l+1}}$$

$$f_l(p) \xrightarrow[p \rightarrow \infty]{} \frac{1}{p} \cos \left[ p - \frac{(l+1)\pi}{2} \right] \quad n_l(p) \xrightarrow[p \rightarrow \infty]{} \frac{1}{p} \sin \left[ p - \frac{(l+1)\pi}{2} \right]$$

$$(2l+1)!! = (2l+1)(2l-1) \dots 5 \cdot 3 \cdot 1$$

Desta forma a onda esférica tem a representação da coordenada de vez a forma

$$\langle \vec{x} | E, l, m \rangle = c_l j_l(kr) Y_l^m(\theta, \phi)$$

as funções  $m_l(kr)$  não aparecem pois são singulares na origem

Para encontrar  $c_l$  usamos a normalização da onda plana:

$$\langle \vec{x} | \vec{h} \rangle = \frac{e^{i\vec{k} \cdot \vec{x}}}{(2\pi)^{3/2}} = \sum_l \sum_m \int dE \langle \vec{x} | E, l, m \rangle \langle E, l, m | \vec{h} \rangle =$$

$$= \sum_l \sum_m \int dE c_l j_l(kr) Y_l^m(\hat{r}) \frac{t}{\sqrt{m\hbar}} \delta(E - \frac{\hbar^2 k^2}{2m}) Y_l^m(\hat{r})^*$$

$$= \sum_l \frac{t}{\sqrt{m\hbar}} c_l j_l(kr) \underbrace{\sum_m Y_l^m(\hat{r}) Y_l^m(\hat{r})^*}_{\text{II}}$$

$$\frac{2l+1}{4\pi} P_l(\hat{r}, \hat{r}) \Leftarrow \text{Teorema da adição}$$

$$= \sum_{l=0}^{\infty} \frac{t}{\sqrt{m\hbar}} \frac{2l+1}{4\pi} c_l j_l(kr) P_l(\hat{r}, \hat{r})$$

Como  $\vec{k} \cdot \vec{x} = kr \cos\theta$  e  $\hat{k} \cdot \hat{r} = \cos\theta$  temos

$$\frac{e^{i\vec{k} \cdot \vec{x}}}{(2\pi)^{3/2}} = \sum_{l=0}^{\infty} \frac{t}{\sqrt{m\hbar}} \frac{(2l+1)}{4\pi} c_l j_l(kr) P_l(\cos\theta)$$

Multiplicando ambos os lados por  $P_{l'}(\cos\theta)$  e integrando em  $\cos\theta$  obtém-se a relação da ortogonalidade dos  $Y_l^m$

$$\int_0^{2\pi} d\phi \int_0^\pi d(\omega\phi) Y_{l'}^{m'*} Y_l^m = \delta_{ll'} \delta_{mm'}$$

para  $m=m'=0$  se tendrá a

$$\int_0^{2\pi} d\phi \int_{-1}^1 d(\cos\theta) P_{\ell'}^0{}^* P_{\ell}^0 = \int_0^{2\pi} d\phi \int_{-1}^1 d(\cos\theta) \sqrt{\frac{2\ell+1}{4\pi}} \sqrt{\frac{2\ell'+1}{4\pi}} P_{\ell'}^0{}^* P_{\ell}^0 = \delta_{\ell\ell'}$$

Mas  $P_{\ell}^0(\cos\theta) \equiv P_{\ell}(\cos\theta)$  a dar

$$\int_{-1}^1 d(\cos\theta) P_{\ell'}^* P_{\ell} = \frac{2}{2\ell+1} \delta_{\ell\ell'}$$

Obtenemos enter

$$\begin{aligned} \int_{-1}^1 d(\cos\theta) \frac{e^{i\ell \theta} \cos\theta}{(2\pi)^{1/2}} P_{\ell'}(\cos\theta) &= \sum_{\ell=0}^{\infty} \frac{i}{\sqrt{m\ell}} \frac{(2\ell+1)}{4\pi} c_{\ell} f_{\ell}(kr) * \\ &\quad * \int_{-1}^1 d(\cos\theta) P_{\ell'}(\cos\theta) P_{\ell}(\cos\theta) \\ &= \sum_{\ell=0}^{\infty} \frac{i}{\sqrt{m\ell}} \frac{1}{2\pi} \delta_{\ell\ell'} c_{\ell} f_{\ell}(kr) \\ &= \frac{i}{\sqrt{m\ell}} \frac{1}{2\pi} c_{\ell} f_{\ell}(kr) \end{aligned}$$

Mas  $f_{\ell}(kr)$  tiene a representación integral

$$f_{\ell}(kr) = \frac{1}{2i^{\ell}} \int_{-1}^1 d(\cos\theta) e^{i\ell \theta \cos\theta} P_{\ell}(\cos\theta)$$

Obtenemos enter

$$\frac{2i^{\ell}}{(2\pi)^{1/2}} f_{\ell}(kr) = \frac{i}{\sqrt{m\ell}} \frac{1}{2\pi} c_{\ell} f_{\ell}(kr)$$

Logo

$$c_\ell = \frac{4\pi}{(2\pi)^{3/2}} i^\ell \sqrt{\frac{m\hbar}{\hbar}} = \frac{i^\ell}{\hbar} \sqrt{\frac{2m\hbar}{\pi}}$$

e dar

$$\langle \vec{x} | \vec{r} \rangle = \frac{e^{i\vec{r} \cdot \vec{x}}}{(2\pi)^{3/2}} = \frac{1}{(2\pi)^{3/2}} \sum_{l=0}^{\infty} (2l+1) i^l j_l(\hbar r) P_l(\cos \theta) \quad (7.5.18)$$

Vemos então que a rq. da coordenada da onda esférica é:

$$\langle \vec{x} | E, l, m \rangle = \frac{i^l}{\hbar} \sqrt{\frac{2m\hbar}{\pi}} j_l(\hbar r) Y_l^m(\hat{r}) \quad (*) \quad (7.5.21)$$

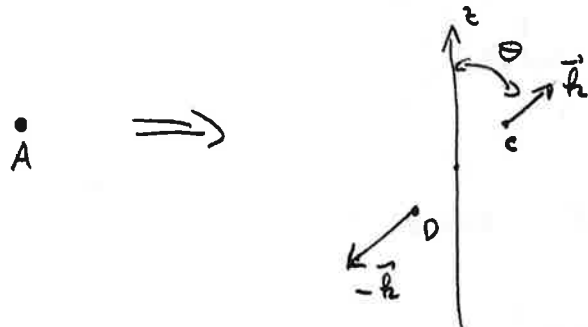
e na rq. de momento nós tivemos obtido

$$\langle \vec{p} | E, l, m \rangle = \frac{\hbar}{\sqrt{m\hbar}} \delta\left(\frac{\hbar^2 p^2}{2m} - E\right) Y_l^m(\hat{p}) \quad (**) \quad (7.5.21a)$$

Estas fórmulas serão úteis na expandir em ondas parciais.

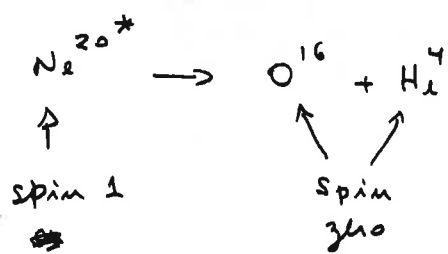
### Aplicações para o processo de descimento

Suponha que uma partícula de spin  $\frac{1}{2}$  desce em duas partículas de spin zero. A Hamiltoniana para este processo é complicada mas nós podemos obter a distribuição angular usando somente a conservação do momento angular.



Um exemplo concreto disto é

(180)



Desta forma a função da onda do estado final deve ser da forma (\*\*\*) com  $\ell$  sendo o spin da partícula que descaiu. Pois como os produtos têm spin nulo, o momento angular orbital tem que ser igual ao spin da partícula que descaiu. (Na verdade cada partícula vai ter momento  $\ell = \ell'$  tal que  $\ell + \ell' = j$ )

No caso do  $\text{N}_2^{20^*}$  temos  $j=1$  e dar  $\ell=0$  e  $\ell'=1$  ou  $\ell=1$  e  $\ell=0$ .

Se o níquel "pai" tem um momento magnético ( $m_2$ ) igual  $\pm 1$  então a distribuição angular será dada por  ~~$\psi_{\ell m}^2$~~

$$|\psi_{1,1}^{\pm 1}|^2 = \frac{3}{8\pi} \sin^2 \theta$$

~~Para os outros outros partículas temos~~

Por outro lado se  $m_2=0$  a distribuição angular será

$$|\psi_{1,0}^0|^2 = \frac{3}{4\pi} \cos^2 \theta$$

Para uma orientação geral temos

$$\sum_{m=-1}^1 w(m) |\psi_{1,m}^m|^2$$

No caso de fixo mas sem polarização (do núcleo par) todos os  $w(m)$  são iguais e é daí

$$|Y_1^1|^2 + |Y_1^{-1}|^2 + |Y_1^0|^2 = \frac{3}{4\pi} (\cos^2 \phi + \sin^2 \phi) = \frac{3}{4\pi}$$

e não há direção preferida.

No caso de spins mais altos (do núcleo par) a distribuição angular é mais completa. No entanto em geral é possível determinar o spin do núcleo par através da distribuição angular dos produtos de decaimento.

### Método das ondas parciais

Tomemos agora o caso em que  $V \neq 0$ . Vamos assumir que o potencial é espacialmente simétrico, ou seja invariante por rotações.

O operador de transição  $T$  ~~é constante~~

$$T = V + V \frac{1}{E - H_0 + i\varepsilon} V + V \frac{1}{E - H_0 - i\varepsilon} V - \frac{1}{E - H_0 + i\varepsilon} V + \dots$$

Comuta com  $L \wedge L^2$ .

$$\{T, L\} = 0$$

Logo  $T$  é um operador escalar.

Usaremos então a base de ondas esféricas, poi pelo Teorema de Wigner-Eckart diz que

$$\langle E', l', m' | T | E, l, m \rangle = T_l(E) \delta_{l,l'} \delta_{m,m'}$$

$T$  - diagonal em  $l = m$

- elementos da diagonal dependem de  $E$  e  $l$  mas não de  $m$ .

Daí a amplitude de espalhamento fica:

$$\begin{aligned} f(\vec{r}', \vec{r}) &= -\frac{1}{4\pi} \frac{2m}{\hbar^2} (2\pi)^3 \langle \vec{r}' | T | \vec{r} \rangle \\ &= -\frac{1}{4\pi} \frac{2m}{\hbar^2} (2\pi)^3 \sum_{l,l'} \sum_{m,m'} \int dE \int dE' \times \\ &\quad \times \langle \vec{r}' | E' l' m' \rangle \langle E' l' m' | T | E l m \rangle \langle E l m | \vec{r} \rangle \end{aligned}$$

usando (7.524)

~~$$\begin{aligned} A &= \frac{1}{4\pi} \frac{2m}{\hbar^2} (2\pi)^3 \sum_{l,l'} \sum_{m,m'} \int dE \int dE' \frac{\frac{\hbar}{\sqrt{m\hbar}}} {\sqrt{m'\hbar}} \frac{\frac{\hbar}{\sqrt{m\hbar}}} {\sqrt{m'\hbar}} \delta\left(\frac{\hbar^2 h^2}{2m} - E\right) \delta\left(\frac{\hbar^2 h^2}{2m} - E'\right) \\ &\quad \times \langle E' l' m' | T | E l m \rangle Y_{l'}^m(\hat{r}') Y_{l'}^{m'}(\hat{r}) \end{aligned}$$~~

$$\begin{aligned} &= -\frac{1}{4\pi} \frac{2m}{\hbar^2} (2\pi)^3 \sum_{l,m} \frac{\hbar^2}{m\hbar} T_l(E) \Big|_{E=\frac{\hbar^2 h^2}{2m}} Y_l^m(\hat{r}') Y_l^m(\hat{r}) \\ &\quad \times \langle E' l' m' | T | E l m \rangle Y_{l'}^m(\hat{r}') Y_{l'}^{m'}(\hat{r}) \end{aligned}$$

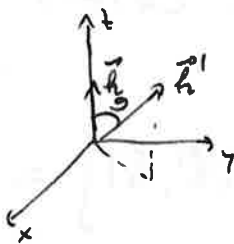
$$\begin{aligned} &= -\frac{4\pi^2}{\hbar} \sum_{l,m} T_l(E) \Big|_{E=\frac{\hbar^2 h^2}{2m}} Y_l^m(\hat{r}') Y_l^m(\hat{r}) \end{aligned}$$

Vamos escolher o nexo é na direção do momento incidente  $\vec{h}$   
Nós temos da (3.6.50)

$$\gamma_e^m(\hat{h}) = \sqrt{\frac{2\ell+1}{4\pi}} \delta_{mo} \quad \hat{h} \equiv \hat{e}_z \quad (*)$$

Tomando  $\Theta$  como sendo o ângulo entre  $\vec{h}$  e  $\vec{h}'$  temos

$$P_e^o(\vec{h}') = \sqrt{\frac{2\ell+1}{4\pi}} P_e(\cos\theta)$$



Considerando somente  $P_e^o$  pois logo temos com isso que aparece d'uma expressão de  $f(\vec{h}', \vec{h})$  dividida a (\*)

Temos então

$$f(\vec{h}', \vec{h}) = -\frac{4\pi}{\hbar} \sum_{\ell} T_{\ell}(E) \Big|_{E=\frac{\hbar^2 h^2}{2m}} \sqrt{\frac{2\ell+1}{4\pi}} P_e(\cos\theta) \sqrt{\frac{2\ell+1}{4\pi}}$$

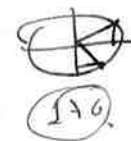
Definimos a amplitude da onda parcial como

$$f_{\ell}(h) = -\pi T_{\ell}\left(\frac{\hbar^2 h^2}{2m}\right)$$

e dar

$$f(\vec{h}', \vec{h}) = f(\theta) = \sum_{\ell=0}^{\infty} (2\ell+1) f_{\ell}(h) P_e(\cos\theta)$$

## Significado físico da $f_L$



(18)

Do apêndice A temos (A.5.15) na página 176.

$$f_L(kr) \xrightarrow{r \text{ grande}} \frac{1}{kr} \cos(kr - (\ell + 1)\frac{\pi}{2}) = +\frac{1}{kr} \sin(kr - \frac{\ell}{2}\pi) = \\ = + \underbrace{\left( e^{i(kr - \ell\pi/2)} - e^{-i(kr - \ell\pi/2)} \right)}_{2i kr}$$

Usando a expansão p/ distâncias grandes da  $\langle \vec{x} | \psi^+ \rangle$  dada em (7.1.33) temos

$$\langle \vec{x} | \psi^+ \rangle \xrightarrow{r \text{ grande}} \frac{1}{(2\pi)^{3/2}} \left[ e^{i\vec{k}_1 \cdot \vec{r}} + \frac{e^{i\vec{k}_1 r}}{r} f(\vec{k}_1, \vec{k}_1) \right] = \\ = \frac{1}{(2\pi)^{3/2}} \left\{ \sum_{\ell=0}^{\infty} (2\ell+1) P_\ell(\cos\theta) e^{i\frac{\pi}{2}\ell} \left( \frac{e^{i(kr - \ell\pi/2)} - e^{-i(kr - \ell\pi/2)}}{2i kr} \right) + \right. \\ \left. + \sum_{\ell=0}^{\infty} (2\ell+1) f(\ell) P_\ell(\cos\theta) \frac{e^{i\vec{k}_1 r}}{r} \right\}$$

Onde usamos a expansão da onda plana em ondas esféricas dadas por (7.5.18) e a expansão da amplitude (7.6.6)

$$= \frac{1}{(2\pi)^{3/2}} \sum_{\ell=0}^{\infty} (2\ell+1) \frac{P_\ell(\cos\theta)}{2i k} \left\{ 2i \frac{\vec{k}_1 e^{i\vec{k}_1 r}}{r} f_L + \frac{(e^{i\vec{k}_1 r} - e^{-i(\vec{k}_1 r - \ell\pi)})}{r} \right\}$$

$$\langle \vec{x} | \psi^+ \rangle \xrightarrow{r \text{ grande}} \frac{1}{(2\pi)^{3/2}} \sum_{\ell=0}^{\infty} (2\ell+1) \frac{P_\ell(\cos\theta)}{2i k} \left[ (1 + 2i k f_L) \frac{e^{i\vec{k}_1 r}}{r} - \right. \\ \left. - \frac{e^{-i(\vec{k}_1 r - \ell\pi)}}{r} \right]$$

(7.6.8)

Vemos então que: se o potencial é muito mais acústico que a onda plana como a soma de uma onda esférica emergente  $\frac{e^{ikr}}{r}$  e uma onda esférica "incoming" -  $\frac{e^{-ikr-l\pi}}{r}$  para cada l

Aba presença do potencial a onda é somada com o coeficiente  $(1 + zikh f_2)$

na onda emergente. A onda "incoming" não muda.

### Phase shifts e unitariedade

Em uma formulação independente do tempo a densidade de corrente deve satisfazer

$$\vec{\nabla} \cdot \vec{j} = - \frac{\partial |t|^2}{\partial t} = 0$$

Considerem uma esfera S de raio muito grande. Pelo teorema de Gauss

$$\int_S \vec{j} \cdot d\vec{S} = \int_V \vec{\nabla} \cdot \vec{j} \cdot dV = 0$$

Isto significa que não há fonte ou absorvedor de partículas.

On usje o fluxo incidente para ser igual ao fluxo emergente.

Pela conservação do momento angular isto deve ser verdadeiro para cada onda parcial separadamente. On usje o

coeficiente de  $\frac{e^{ikr}}{r}$  deve ser igual ao de  $\frac{e^{-ikr}}{r}$ .

Definindo

$$S_x(h) = 1 + 2i h f_x(h)$$

(181)

temos que (d. 7.6.8)

$$|S_x(h)| = 1$$

Logo a mudança na onda emigração deve ser no máximo uma fase.  
Elle é chamada de rotacao de unidade.

Definimos  $2\delta_x$  como sendo esta fase

$$\beta_x = e^{2i\delta_x}$$

$\underbrace{\delta_x}_{\text{fase de } h}$  é o fator 2 por conveniência.

Temos então

$$f_x = \frac{S_x - 1}{2ih}$$

ou ainda

$$f_x = \frac{e^{2i\delta_x} - 1}{2ih} = \frac{e^{i\delta_x} \sin \delta_x}{h} = \frac{1}{h \cot \delta_x - i h}$$

A amplitude é então dada por

$$\begin{aligned} f(\theta) &= \sum_{l=0}^{\infty} (2l+1) \frac{e^{2i\delta_x} - 1}{2ih} P_l(\cos \theta) \\ &= \frac{1}{h} \sum_{l=0}^{\infty} (2l+1) e^{i\delta_x} \sin \delta_x P_l(\cos \theta) \end{aligned} \quad (7.6.17)$$

A expressão de  $f(\theta)$  é obtida da dois principios:  
o de invariância por rotacão e o de conservação da  
probabilidade

A seção de choque difusional  $\frac{d\sigma}{d\eta}$  é obtida tomando-se o módulo quadrado da  $f(\theta)$ .

$$\frac{d\sigma}{d\eta} = |f(\theta)|^2$$

E a seção de choque total é:

$$\begin{aligned}\sigma_{\text{TOT}} &= \int |f(\theta)|^2 d\eta = \\ &= \frac{1}{h^2} \sum_l \sum_{l'} \int_0^{2\pi} d\phi \int_{-1}^1 d(\cos\theta) (2l+1) (2l'+1) e^{i\delta_l} \sin\delta_l e^{-i\delta_{l'}} \sin\delta_{l'} P_l P_{l'}\end{aligned}$$

Usando  $\int_{-1}^1 d(\cos\theta) P_{l'} P_l = \frac{2}{2l+1} \delta_{ll'}$

$$\boxed{\sigma_{\text{TOT}} = \frac{4\pi}{h^2} \sum_l (2l+1) \sin^2 \delta_l} \quad (7.6.18)$$

Usando o teorema óptico

$$I_m f(\theta=0) = \sum_l \left. \frac{(2l+1) I_m (e^{i\delta_l} \sin\delta_l) P_l(\cos\theta)}{h} \right|_{\theta=0}$$

Usando  $P_l(1) = 1$

$$e^{i\delta_l} = \cos\delta_l + i \sin\delta_l$$

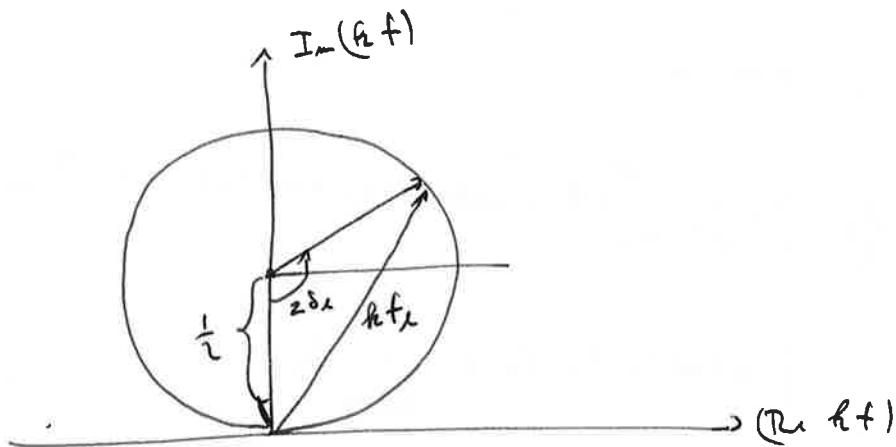
$$I_m f(\theta=0) = \sum_l \frac{(2l+1)}{h} \sin^2 \delta_l = \frac{h}{4\pi} \sigma_{\text{TOT}}$$

E portanto verificamos a validade do teorema óptico

## Varição de $\delta_x$ com a energia

A variação da unidade de fase coloca restrições na forma como  $f_x$  e portanto  $f_z$  pode variar com  $E$ . (energia)

### Diagrama de Argand



$$\text{Dx} \quad f_z = \frac{e^{2i\delta_x} - 1}{2ih} \quad \text{falso}$$

$$hf_z = \frac{i}{2} + \frac{1}{2} e^{-i\pi/2 + 2i\delta_x}$$

Ponto f\_z dentro

~~$$hf_z^2 = 1 + 4|hf_z|^2 + 2i(hf_z - \overline{hf_z})$$~~

Vemos então que  $hf_z$  tem que ficar dentro do círculo de raio  $\frac{1}{2}$ , conhecido como o círculo unitário.

Supondo que  $f_z$  é  $i$  primo. Existe  $f_x$  deve estar na parte inferior do círculo. Isso pode ser negativo ou positivo mas  $f_z$  é praticamente mal.

$$f_L = \frac{e^{i\delta_L} \sin \delta_L}{h} \approx \frac{(1+i\delta_L) \delta_L}{h} \sim \frac{\delta_L}{h}$$

Se  $\delta_L \sim \frac{\pi}{2}$  temos que  $f_L$  é praticamente imaginário puro e a magnitude de  $|f_L|$  é máxima. Neste caso a onda parcial associada a  $L$  é só um ressonância como vemos acima.

Nota que o máximo da contribuição à soma de ondas totais da onda parcial é  $(\delta_L - \frac{\pi}{2})$

$$\sigma_{tot}^{(1)} \sim 4\pi \lambda^2 (2L+1) \quad (\lambda = \frac{\lambda}{2\pi} = \frac{1}{h})$$

### Conexão com a aproximação Eikonal

Como vimos a aprox. Eikonal é válida pl altas energias, isto é, ~~se~~  $\lambda \ll$  alcance potencial, Desta forma muitas ondas parciais vão contribuir e podemos ainda considerar  $L$  como uma variável contínua.

Semiclassicamente temos  $L = b \hbar$  para vez que

$$\vec{L} = \vec{r} \times \vec{p} = b p \text{ e daí } L \hbar = b p = b \hbar = L \hbar.$$

Tomamos

$$L_{max} = \hbar R$$

+ fazemos a substituição

$$\sum_L \rightarrow f_L \int db$$

$$P_L(\cos \theta) \xrightarrow{\text{aproximo grande}} J_0(L\theta) = J_0(L\cos \theta)$$

$$\delta_L \rightarrow \Delta(b)/b = L/k$$

onde usamos (Gradshteyn pag 1003)

$$\lim_{k \rightarrow \infty} k^m P_k^{-m} \left( \cos \frac{x}{k} \right) = J_m(x)$$

Temos que  $\Delta(s) \propto \int_{-\infty}^{\infty} V(\sqrt{s^2 + z^2}) dz \leq 0$

para  $|s| > l_{\max} = k_0 R$  pois  $V \xrightarrow{r \gg R} 0$

Dar  $e^{2i\delta_s} - 1 = e^{2i\Delta(s)} - 1 = 0$  p/  $|s| > l_{\max}$

Dar da (7.6.17)

$$f(s) \rightarrow k \int ds z k s \frac{(e^{2i\Delta(s)} - 1)}{2i k} J_0(k s) = \\ = -i k \int ds s J_0(k s) (e^{2i\Delta(s)} - 1)$$

Nesta aprox. é visto que a expressão para  $f(s)$  é a mesma.   
 Exemplo. (7.4.13)

Nesta aprox.  $\delta_s$  pode ser calculada usando a fórmula explícita de  $\Delta(s)$ , dada por (7.4.14).

### Determinação do "phase shift"

Vamos ver agora como determinar o "phase shift" para um dado potencial. Vamos supor que  $V$  é nulo para  $r > R$  onde  $R$  é o alcance do potencial.

Fora do alcance do potencial a função de onda é da forma de aquela de uma partícula livre. (onda esférica).

Como a origem está excluída desta região podemos

Considerar também as funções  $m_\ell(r)$  que são singulares em  $r=0$

Usamos as funções especiais de Hankel

$$h_\ell^{(1)} = f_\ell + i m_\ell \quad h_\ell^{(2)} = f_\ell - i m_\ell$$

Usando o comportamento a grandes distâncias de  $f_\ell + i m_\ell$  dadas na página 176, temos

$$\begin{aligned} h_\ell^{(1)} &\xrightarrow{r \rightarrow \infty} \frac{1}{\rho} \left\{ \cos \left( \rho - (\ell+1) \frac{\pi}{2} \right) + i \sin \left( \rho - (\ell+1) \frac{\pi}{2} \right) \right\} = \\ &= \frac{1}{2\rho} \left\{ 2 e^{i(\rho - (\ell+1)\frac{\pi}{2})} \right\} = \frac{1}{\rho} e^{i(\rho - \ell\frac{\pi}{2})} e^{-i\frac{\pi}{2}} \\ &\approx \cancel{e^{i(\rho - \ell\frac{\pi}{2})}} = \frac{e^{i(\rho - \ell\frac{\pi}{2})}}{i\rho} \end{aligned} \quad (7.6.28a)$$

e analogamente (não simétrico) que está escrito no salvoan:

$$h_\ell^{(2)} \xrightarrow{r \rightarrow \infty} -\frac{e^{-i(\rho - \ell\frac{\pi}{2})}}{i\rho} \quad (7.6.28b)$$

A função da onda fora do alcance do potencial é então:

$$\langle \vec{x} | \psi^+ \rangle = \frac{1}{(2\pi)^{3/2}} \sum_{\ell=0}^{\infty} (2\ell+1) i^\ell A_\ell(r) P_\ell(\cos\theta) \quad r > R \quad (7.6.29)$$

onde

$$A_\ell(r) = c_\ell^{(1)} h_\ell^{(1)}(kr) + c_\ell^{(2)} h_\ell^{(2)}(kr) \quad (7.6.30)$$

$A_\ell$  é escolhido de tal forma que  $A_\ell = f_\ell$  quando  $V=0$ .

Como vimos anteriormente (pág 184) a função de onda para  $r \rightarrow \infty$  deve ser solução do problema de esparcimento e é dada por:

$$\langle x | f^+ \rangle \xrightarrow{r \rightarrow \infty} \frac{1}{(2\pi)^{3/2}} \sum_{l=0}^{\infty} (2l+1) P_l \frac{e^{iz\delta_l}}{z i h r} [e^{i z \delta_l} e^{i h r} - e^{-i(hr-l\pi)}]$$

Comparando com (7.6.29) e (7.6.30) e usando o comportamento a grandes distâncias (7.6.28)

$$\langle x | f^+ \rangle \xrightarrow{r \rightarrow \infty} \frac{1}{(2\pi)^{3/2}} \sum_{l=0}^{\infty} (2l+1) P_l \frac{e^{iz\delta_l}}{i h r} [c_l^{(1)} e^{i(hr-l\pi/2)} + c_l^{(2)} e^{-i(hr-l\pi/2)}]$$

obtemos

$$c_l^{(1)} = \frac{1}{2} e^{2i\delta_l} \quad c_l^{(2)} = +\frac{1}{2}$$

Dar

$$\begin{aligned} A_\lambda(r) &= \frac{e^{i\delta_\lambda}}{2} [e^{i\delta_\lambda} b_\lambda^{(1)} + e^{-i\delta_\lambda} b_\lambda^{(2)}] = \\ &= \frac{e^{i\delta_\lambda}}{2} [(\cos \delta_\lambda + i \sin \delta_\lambda)(j_\lambda + i n_\lambda) + (\cos \delta_\lambda - i \sin \delta_\lambda)(j_\lambda - i n_\lambda)] \\ &= e^{i\delta_\lambda} [\cos \delta_\lambda j_\lambda - \sin \delta_\lambda n_\lambda] \end{aligned} \quad (7.6.33)$$

Considera a derivada logarítmica

$$\beta_\lambda = \left( \frac{kr}{A_\lambda} \frac{dA_\lambda}{dr} \right)_{r=R} = \frac{kr}{A_\lambda} e^{i\delta_\lambda} [\cos \delta_\lambda j'_\lambda - \sin \delta_\lambda n'_\lambda] \Big|_{r=R}$$

$$\beta_\lambda = kr \frac{\cos \delta_\lambda j'_\lambda(kR) - \sin \delta_\lambda n'_\lambda(kR)}{\cos \delta_\lambda j_\lambda(kR) - \sin \delta_\lambda n_\lambda(kR)} \quad (7.6.34)$$

onde a linha " " representa dividida com relação ao argumento ter

Invertendo a relação

$$\beta_x (\gamma_e(hR) - \operatorname{tg} \delta_{x, m_x}(hR)) = hR (\delta'_x(hR) - \operatorname{tg} \delta_{x, m'_x}(hR))$$

$$\operatorname{tg} \delta_x (hR \gamma'_x - \beta_x m_x) = hR \delta'_x - \beta_x \delta_x$$

e daí

$$\operatorname{tg} \delta_x = \frac{hR \delta'_x(hR) - \beta_x \delta_x(hR)}{hR m'_x(hR) - \beta_x m_x(hR)} \quad (7.6.35)$$

Pontando se conhecemos a derivada logarítmica da função radial  $A_x(r)$  mos determinamos o phase shift  $\delta_x$ .

Consideremos agora a soluçāo da eq. de Schrödinger para a região onde o potencial é māo nulo  $r < R$ .

Para o caso de  $V$  ser eficamente simétrico temos que resolver a eq. radial (uni-dimensional)

$$\frac{d^2 u_x}{dr^2} + \left( \frac{\hbar^2}{r^2} - \frac{2m}{\hbar^2} V - \frac{l(l+1)}{r^2} \right) u_x = 0$$

onde

$$u_x = r A_x(r)$$

e com a condição de contorno

$$u_x|_{r=0} = 0$$

Resolvemos então esta equaçāo (se necessário numericamente).

Obtemos então a derivada logarítmica em  $r=R$ .

(194)

Pela continuidade da função da onda devemos ter em  $r=R$

$$\beta_L \Big|_{\substack{\text{soluç\~ao} \\ \text{interior}}} = \beta_L \Big|_{\substack{\text{soluç\~ao} \\ \text{exterior}}}$$

Portanto o phase shift é obtido substituindo-se  $\beta_L$  pelas soluções interior em  $r=R$  no eq (7.6.35)

### Exemplo da esfera dura

Temos o potencial

$$V = \begin{cases} \infty & r \leq R \\ 0 & r > R \end{cases}$$

Neste caso não precisamos calcular  $\beta_L$ . ~~pois~~ A função da onda deve se anular em  $r=R$  e dar de (7.6.33)

$$\cos \delta_L f_L(kR) - \sin \delta_L m_L(kR) = 0$$

$$\tan \delta_L = \frac{f_L(kR)}{m_L(kR)}$$

Note que não fizemos aproximações para obter esta expressão.

Tomemos o caso  $l=0$ . Dar (veja apêndice A)

$$\tan \delta_0 = \frac{\sin kR/kR}{-\cos kR/kR} = -\tan kR \quad \left| \begin{array}{l} f_0(p) = \frac{\sin p}{p} \\ m_0(p) = -\frac{\cos p}{p} \end{array} \right.$$

e dar

$$\delta_0 = -kR$$

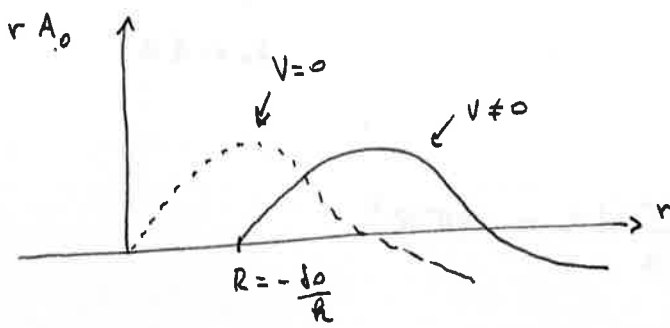
Dar da (7.6.37) temos entao

$$A_{\lambda=0}(r) = e^{i\delta_0} \left[ \frac{\sin kr}{kr} \cos \frac{kR}{R} - \frac{\cos kr}{kr} \sin \frac{kR}{R} \right]$$

$$\alpha = e^{i\delta_0} \frac{\sin(kr - kR)}{kr} =$$

$$= e^{i\delta_0} \frac{\sin(kr + \delta_0)}{kr} \quad (7.6.45)$$

Portanto  $A_{\lambda=0}$  tem o mesmo comportamento que a onda livre mas deslocado de  $\delta_0$ :



Vejamos agora o comportamento de  $\delta_\lambda$  se altas e baixas energias.

### Energia baixa

Nesta caso temos a pejura no limite  $kR \ll 1$ . ( $\frac{R}{\lambda} \ll 1$ )

Usando

$$f_\lambda(\rho) \xrightarrow{\rho \gg 0} \frac{\rho^l}{(2l+1)!!} \quad m_\lambda(\rho) \xrightarrow{\rho \gg 0} -\frac{(2l-1)!!}{\rho^{l+1}}$$

obtemos

$$\operatorname{tg} \delta_\lambda = - \frac{\left(\frac{R}{\lambda}\right)^{2l+1}}{(2l+1)!! (2l-1)!!} = - \frac{\left(\frac{R}{\lambda}\right)^{2l+1}}{(2l+1) [(2l-1)!!]^2}$$

Portanto

$$\frac{\operatorname{tg} \delta_\lambda}{\operatorname{tg} \delta_0} \sim \left(\frac{R}{\lambda}\right)^2 \ll 1$$

Desta forma podemos descrever  $\delta_0$  para  $l \neq 0$ . Temos então um espalhamento de onda S, que é o que geralmente ocorre a baixas energias para potenciais de alcance finito.

Portanto da (7.6.17)

$$f(\delta) = \frac{1}{\hbar} e^{i\delta_0} \sin \delta_0 P_0$$

$$\text{I} \quad \frac{d\sigma}{dr} = |f(0)|^2 \approx \frac{\sin^2 \delta_0}{\hbar^2} \sim \frac{\delta_0^2}{\hbar^2} = R^2 \quad \underline{\underline{R \ll 1}}$$

$$\delta_0 = -\hbar/r$$

Integrando

$$\sigma_{TOT} = \int \frac{d\sigma}{dr} dr = 4\pi R^2$$

A seção de choque geométrica (que é a seção da esfera que a onda incidente "vai") é  $\pi R^2$ . Portanto  $\sigma_{TOT}$  é 4 vezes maior e igual à área da esfera. Como a energia é baixa mas é de 400000 resultados clássicos.

### Altas energias

Nesta limitação vale a aprox. semielástica e esperamos que todos os valores de  $l$  até  $l_{max} = \hbar R$  contribuam.  
 $(\vec{l} = \vec{r} \times \vec{p} \Rightarrow l = \hbar b)$

Da (7.6.18) temos então

$$\sigma_{TOT} = \frac{4\pi}{\hbar^2} \sum_{l=0}^{l_{max}} (2l+1) \sin^2 \delta_l$$

Usando

$$f_\ell(kr) \xrightarrow{k \rightarrow 0} \frac{1}{kr} \sin\left(kr - \frac{\ell\pi}{2}\right)$$

$$m_\ell(kr) \xrightarrow{k \rightarrow 0} -\frac{1}{kr} \cos\left(kr - \frac{\ell\pi}{2}\right)$$

temos

$$\tan \delta_\ell = - \tan\left(kR - \frac{\ell\pi}{2}\right)$$

e dar  $\tan^2 \delta_\ell \approx \tan^2\left(kR - \frac{\ell\pi}{2}\right)$

Quando  $\ell$  aumenta de uma unidade  $\delta_\ell$  diminui de  $\frac{\pi}{2}$ .

Então

$$\tan^2 \delta_\ell + \tan^2 \delta_{\ell+1} = \tan^2 \delta_\ell + \tan^2\left(\delta_\ell - \frac{\pi}{2}\right)$$



Como  $\tan\left(\delta_\ell - \frac{\pi}{2}\right) = -\cot \delta_\ell$

e dar  $\tan^2 \delta_\ell + \tan^2 \delta_{\ell+1} = 1$ .

~~E~~ Enunciado

$$\begin{aligned} \sum_{l=0}^{l_{\max}} (2l+1) \tan^2 \delta_\ell &= \tan^2 \delta_0 + 3 \tan^2 \delta_1 + 5 \tan^2 \delta_2 + 7 \tan^2 \delta_3 + \dots \\ &= (\tan^2 \delta_0 + \tan^2 \delta_1) + 2(\tan^2 \delta_1 + \tan^2 \delta_2) + \\ &\quad + 3(\tan^2 \delta_2 + \tan^2 \delta_3) + 4(\tan^2 \delta_3 + \tan^2 \delta_4) + \dots \\ &\approx \sum_{l=1}^{l_{\max}} l = \frac{l_{\max}(l_{\max}+1)}{2} = \frac{(kR)^2 + kR}{2} \end{aligned}$$

Como  $kR \gg 1$  desprezamos o termo linear e dar

$$\sigma_{\text{TOT}} = \frac{4\pi}{k^2} \frac{(kR)^2}{2} = 2\pi R^2$$

Isto é duas vezes a área da seção geométrica.

A razão do fator 2 é a seguinte:

de (7.6.17) temos

$$\begin{aligned}
 f(\theta) &= \frac{1}{h} \sum_{l=0}^{hR} (2l+1) e^{i\delta_l} \text{sen } \delta_l P_l = \\
 &= \frac{1}{2ih} \sum_{l=0}^{hR} (2l+1) e^{2i\delta_l} P_l + \frac{i}{2h} \sum_{l=0}^{hR} (2l+1) P_l \\
 &= f_{\text{fluxo}} + f_{\text{sombra}}
 \end{aligned}$$

Dar

$$\int |f_{\text{fluxo}}|^2 dR = \int_0^{2\pi} d\phi \int_{-1}^1 d(\cos\phi) \sum_{l,l'} \frac{1}{4h^2} (2l+1)(2l'+1) \times \\
 * e^{2i\delta_{l'}} e^{-2i\delta_l} P_l P_{l'}$$

Como

$$\int_{-1}^1 d(\cos\phi) P_l P_{l'} = \frac{2}{2l+1} \delta_{ll'}$$

$$\begin{aligned}
 \int |f_{\text{fluxo}}|^2 dR &= \frac{2\pi}{4h^2} \sum_{l=0}^{hR} (2l+1)^2 \\
 &= \cancel{\frac{\pi}{h^2}} \left\{ 2 \sum_{l=0}^{hR} l + \sum_{l=0}^{hR} 1 \right\} \\
 &= \frac{\pi}{h^2} \left\{ 2 \frac{hR(hR+1)}{2} + (hR+1) \right\} \\
 &\approx \pi R^2 + O(hR)
 \end{aligned}$$

onde desprezamos o termo linear em  $hR$  frente ao termo quadrático, uma vez que  $hR \gg 1$ .

Quanto à fombra, nós vamos dizer que ele é puramente imaginário:

$$f_{\text{ombra}} = \frac{i}{2k} \sum_{l=0}^{kR} (2l+1) P_l(\cos\theta)$$

Ela tem um valor mais alto na direção  $\theta = 0$  onde  $P_l(1) = 1$ , e ainda as contribuições de vários  $l$  adicionam-se coerentemente.

Usando a o comportamento ~~exato~~ de  $P_l$  para  $\theta$  pequeno e grande dado na página 190 temos

$$P_l(\cos\theta) \xrightarrow[\text{l grande}]{\theta \text{ pequeno}} J_0(l\theta)$$

e dar

$$\begin{aligned} f_{\text{ombra}} &\approx \frac{i}{2k} \sum_{l=0}^{kR} (2l+1) J_0(l\theta) \\ &\sim \frac{i}{2k} k \int_0^R db \ 2kb J_0(kb\theta) \quad (l \sim kb) \\ &= iR J_1(kR\theta) \quad (?) \end{aligned}$$

Esta é a fórmula para a ~~difração~~ difração de Fraunhofer com um pico forte em  $\theta = 0$ .

Vejamos agora a contribuição à seguir da choque:

$$\begin{aligned} \int |f_{\text{shad}}|^2 d\Omega &= \frac{2\pi}{4k^2} \int_0^{2\pi} d\phi \int_0^{\pi/2} d(\cos\theta) \sum_{l,l'} (2l+1)(2l'+1) P_l P_{l'} \\ &= \frac{2\pi}{4k^2} \sum_{l,l'} (2l+1)(2l'+1) \frac{2}{(2l+1)} \delta_{ll'} \\ &= \frac{\pi}{k^2} \sum_{l=0}^{kR} (2l+1) \approx \pi R^2 + O(kR) \end{aligned}$$

onde fizemos os mesmos cálculos que na página anterior.

Por outro lado temos que

$$f_{\text{sombra}}^* f_{\text{refl}} + f_{\text{sombra}}^* f_{\text{refl.}}^* = - \frac{1}{4R^2} \sum_{\ell \ell'} (2\ell+1)(2\ell'+1) \underbrace{\left( e^{2i\delta_\ell} + e^{-2i\delta_\ell} \right)}_{2 \cos 2\delta_\ell} P_\ell P_{\ell'}$$

$$\text{Como } 2\delta_{\ell+1} = 2\delta_\ell - \pi$$

Vemos que isto oscila e no final o resultado é nulo

Dar

$$\operatorname{Re}(f_{\text{sombra}}^* f_{\text{refl}}) \approx 0$$

e portanto

$$\begin{aligned} \sigma_{\text{tot}} &= \overbrace{\pi R^2}^{\sigma_{\text{refl}}} + \overbrace{\pi R^2}^{\sigma_{\text{sombra}}} \\ &\quad \sigma_{\text{refl}} \quad \sigma_{\text{sombra}} \end{aligned}$$

O 2º turno é dito sombra porque para o espalhamento de esfera dura ~~onde~~ a altas energias as ondas com parâmetros de impacto menor que  $R$  devem ser ~~se~~ difletidas. logo atrás da esfera existe probabilidade nula de encontrar a partícula e dar tempo sombra. Em M.L. esta sombra é dividida a interferência destrutiva entre a onda incidente e a onda espalhada. Desta forma precisamos de espalhamentos para criar a sombra. Da 7.6.8 temos que o coeficiente de  $\frac{e^{ikr}}{r}$  é  $(1 + 2i\delta_\ell f_\ell)$ , onde 1 é dividido a onda incidente. Desta forma precisamos  $f_\ell$  positivo e imaginário p/ cancelar o 1.

No entanto isto dá uma interpretação física ao teorema óptico.

Notemos que

$$\frac{4\pi}{h} \text{Im } f(0) = \frac{4\pi}{h} \{ \text{Im} (f_{\text{Lamb}}(0)) \}$$

uma vez que  $\text{Im} (f_{\text{Lamb}}(0))$  é mero dividido a fase oscilante.

De (7.6.54)

$$\begin{aligned} \frac{4\pi}{h} \text{Im } f_{\text{Lamb}}(0) &= \frac{4\pi}{h} \text{Im} \left[ \frac{i}{2h} \sum_{l=0}^{hR} (2l+1) P_l(1) \right] = \\ &= \frac{2\pi}{h^2} \sum_{l=0}^{hR} (2l+1) \simeq 2\pi R^2 \quad (\text{mesmo cálculo pág 198}) \end{aligned}$$

e daí verificamos o teorema óptico

### Espaçamento a baixas energias e estados ligados

Para energias baixas, ou seja  $\lambda = \frac{2\pi}{h} > R$  as ondas

parciais para  $l$  grande <sup>não</sup> são em geral ~~mais~~ importantes.

Classicamente isto quer dizer que a partícula não pode virar a barreira centrifuga e portanto o potencial não tem efeito.

Em M o potencial efetivo para a onda de momento angular  $l$  é

$$V_{\text{eff}} = V(r) + \frac{\hbar^2}{2m} \frac{l(l+1)}{r^2}$$

A menos que o potencial seja forte o suficiente para ter estados ligados p/  $l \neq 0$  e  $E \approx 0$ , o comportamento da função de onda radial é determinada pela barreira

(20c)

Centrifuga, o que implica que esta deve ser paralela a  $\vec{J}(\vec{r})$ .

É possível estimar o comportamento do phase shift usando a equação integral para a onda paralela (veja Problema 8)

$$\frac{e^{i\delta_L} \sin \delta_L}{k} = - \frac{2m}{\hbar^2} \int_0^\infty dr f_L(\hbar r) V(r) A_L(r) r^2 \quad (*)$$

Se  $A_L$  não é muito diferente de  $f_L \sim \frac{1}{\hbar r}$  e muito menor que o alcance do potencial, temos

$$f_L(\hbar r) \xrightarrow{\hbar r \gg 0} \frac{(f_L r)^L}{(2L+1)!!}$$

e daí

$$\int_0^\infty dr r^2 f_L V(r) A_L \rightarrow \int_0^R dr r^2 V(r) \left[ \frac{(f_L r)^L}{(2L+1)!!} \right]^2 \approx R^{2L} F(R)$$

Logo o lado direito da (\*) contribui com  $R^{2L}$ .

Para  $\delta_L$  pequeno o lado esquerdo varia como

$$\frac{e^{i\delta_L} \sin \delta_L}{k} \rightarrow \frac{(1+i\delta_L) \delta_L}{k} \sim \frac{\delta_L}{k}$$

Pontando de (\*) temos

$$\delta_L \sim R^{2L+1} \quad \text{para } k \ll \delta_L \text{ pequenos.}$$

Logo para um potencial de alcance finito e a baixas energias o espalhamento da onda S é mais importante.

## Poço em barreira retangular

Vamos considerar o esparlhamento da onda à pulso potencial

$$V = \begin{cases} V_0 = \text{cte} & r < R \\ 0 & r > R \end{cases} \quad \begin{array}{l} (V_0 > 0 \text{ repulsivo}) \\ (V_0 < 0 \text{ atrativo}) \end{array}$$

A função da onda fará do alcance do potencial, como vimos em (7.6.33) <sup>(7.6.45)</sup>, deve ser composta como

$$\begin{aligned} e^{i\delta_0} [\cos \delta_0 f_0(kr) - \operatorname{sen} \delta_0 u_0(kr)] &\approx e^{i\delta_0} \\ = e^{i\delta_0} \left[ \cos \delta_0 \frac{\operatorname{sen} kr}{kr} + \operatorname{sen} \delta_0 \frac{\cos kr}{kr} \right] &= e^{i\delta_0} \frac{\operatorname{sen}(kr + \delta_0)}{kr} \end{aligned}$$

A solução dentro do potencial deve satisfazer  $\partial/\partial r = 0$

$$\frac{d^2 u_0}{dr^2} + \left( \frac{k^2}{r^2} - \frac{2mV_0}{\hbar^2} \right) u_0 = 0 \quad u_0|_{r=0} = 0$$

portanto

$$u_0 \approx \operatorname{sen} k' r$$

onde

$$k'^2 = \frac{k^2}{r^2} - \frac{2mV_0}{\hbar^2} \Rightarrow E - V_0 = \frac{\hbar^2 k'^2}{2m}$$

Portanto para  $E > V_0$  a função de onda é ~~interna~~ <sup>interna e também</sup> sinusoidal.

No caso  $V_0 > E$  temos

$$u_0 \approx \operatorname{senh} k' r$$

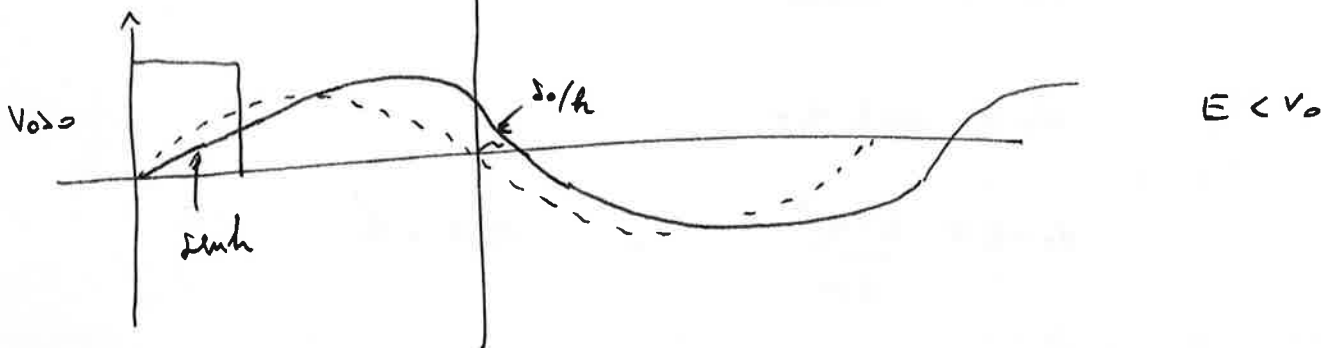
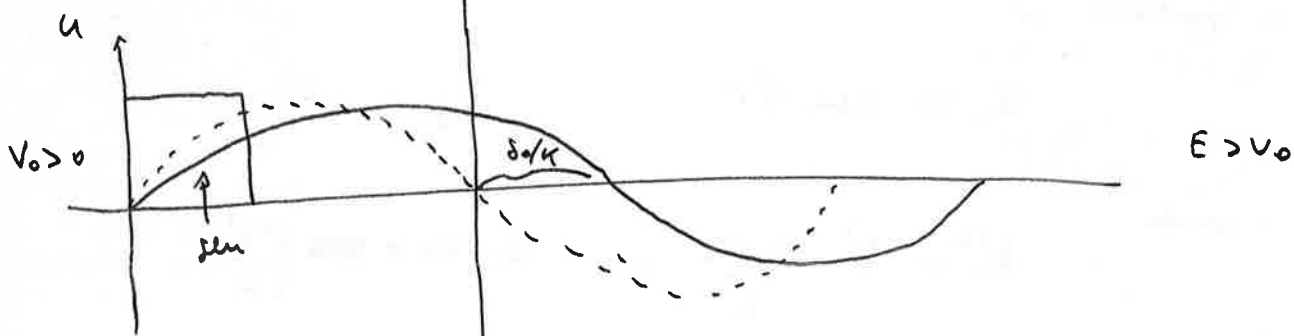
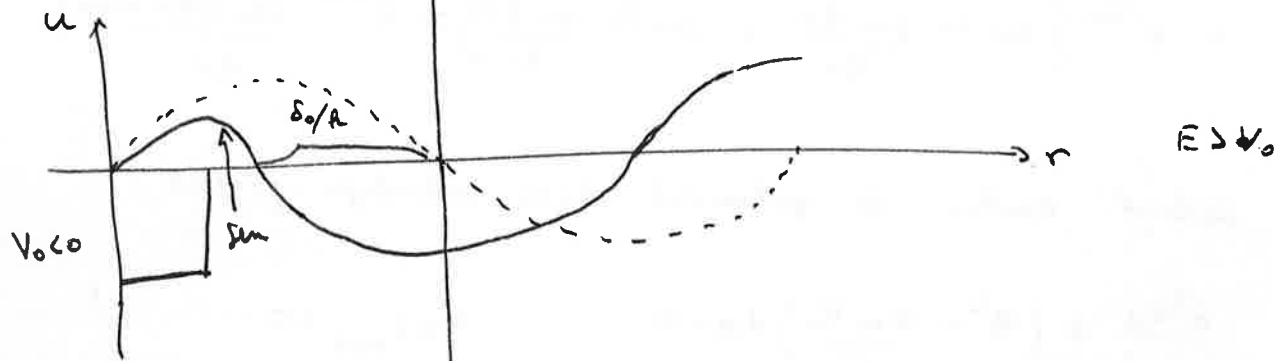
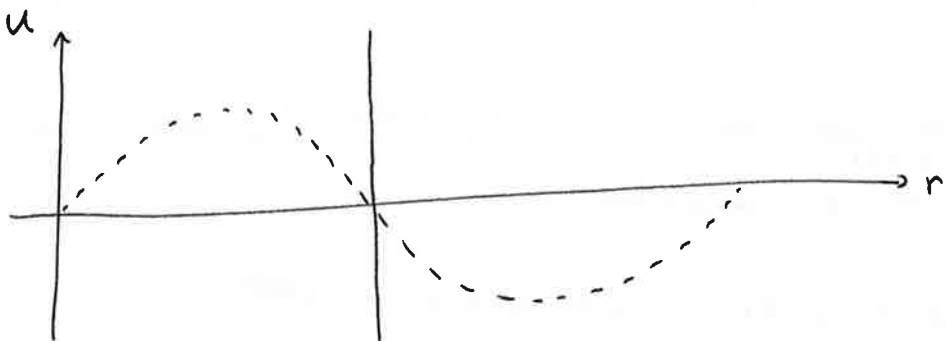
$$V_0 - E = \frac{\hbar^2 K^2}{2m} \quad , \quad K \equiv i k'$$

Note que para  $E > v_0$  temos

Se  $v_0 < 0$  entao  $h' > h$  ou  $\lambda' < \lambda$

Se  $v_0 > 0$  entao  $h' < h$  ou  $\lambda' > \lambda$

(20)



No topo é zero  $\frac{d^2u}{dr^2} = 0$  se  $V_0 < 0$

$\frac{d^2u}{dr^2} \ll V_0 > 0$

( )

Consideremos o caso atrativo. Vamos aumentar a magnitude de  $V_0$ . Conforme  $|V_0|$  aumenta a curvatura da onda aumenta.

Sugere que  $\frac{1}{2}$  do ciclo esteja no intervalo  $[0, R]$ .

O phase shift é então  $\frac{\pi}{2}$  e isto implica uma saída de  $\phi_{out}$  para a onda é  $\phi_{in} + \sin^2\delta_0 \sim 1$ . Se aumentarmos  $|V_0|$

ainda mais vamos atingir o ponto onde  $\frac{1}{2}$  ciclo está no intervalo  $[0, R]$ . Daí  $\delta_0 = \pi$  e consequentemente  $\sin^2\delta_0 \Rightarrow$

Logo

$$\sigma_{l=0} = 0$$

apesar da forte atração do potencial. Se a energia é baixa o fator suficiente ~~para~~ é de tal forma que ondas de  $l \neq 0$  não são importantes mas temos uma transmissão da onda incidente que é perfeita. Isto é conhecido como efeito Ramsauer - Townsend e foi observado no esparlhamento de elétrons em gases nobres. (Angium, Chapman, Xenônio). Ele foi observado primariamente em 1923 antes da mecânica ondulatória e era considerado um grande mistério.

### Espalhamento a energia nula e estados ligados

Vamos considerar o esparlhamento a energias extremamente baixas ( $E \approx 0$ ). Para  $r \gg R$  e  $l=0$  a eq. radial exterior é

$$\frac{d^2u}{dr^2} = 0$$

A solução irá entar

$$u(r) = \text{cte} (r-a)$$

Isto pode ser entendido como um limite de comprimento da onda infinitamente longo da expressão usual de a função de onda exterior. ( $u_\lambda \sim r A_\lambda$  e  $A_\lambda$  dado por 7.6.45)

$$\lim_{h \rightarrow 0} \sin(hr + \delta_0) \underset{h \rightarrow 0}{\approx} \sin(hr + \frac{\delta_0}{h})$$

$$u_{\lambda=0} = r A_{\lambda=0} = e^{i\delta_0} r \left[ \frac{\sin hr}{hr} \cos \delta_0 + \frac{\cos hr}{hr} \operatorname{sen} \delta_0 \right] = e^{i\delta_0} \frac{\sin(hr + \delta_0)}{hr}$$

$$\lim_{h \rightarrow 0} u_{\lambda=0} = e^{i\delta_0} r \left[ \cos \delta_0 + \frac{1}{hr} \operatorname{sen} \delta_0 \right] =$$

$$= e^{i\delta_0} \left( \cos \delta_0 r + \frac{\operatorname{sen} \delta_0}{hr} \right) = e^{i\delta_0} \cos \delta_0 \left( r + \frac{t_2 \delta_0}{h} \right)$$

e portanto tem a mesma forma acima com  $a = -\frac{t_2 \delta_0}{h}$

Temos então

$$\frac{u'}{u} = \frac{h \cos(hr + \delta_0)}{hr} \frac{1}{\frac{\sin(hr + \delta_0)}{hr}} = h \cot \delta_0 (hr + \delta_0)$$

ou então  $u' = e^{i\delta_0} \cos(hr + \delta_0) \xrightarrow{h \rightarrow 0} e^{i\delta_0} \cos \delta_0$

$$\lim_{h \rightarrow 0} \frac{u'}{u} = \frac{e^{i\delta_0} \cos \delta_0}{e^{i\delta_0} \cos \delta_0 \left( r + \frac{t_2 \delta_0}{h} \right)} = \frac{1}{r + \frac{t_2 \delta_0}{h}}$$

A quantidade  $a = -\frac{t_2 \delta_0}{h}$  é chamada de comprimento de espalhamento.

Da (7.6.6) e (7.6.16) temos

$$f(\theta) = \sum_{l=0}^{\infty} (2l+1) f_l(k) P_l(\cos\theta)$$

$$\text{onde } f_l = \frac{e^{ik\delta_l} \sin \delta_l}{k} = \frac{1}{k \cot \delta_l - ik}$$

$$= \frac{1}{k (\cos \delta_l - i \sin \delta_l)}$$

No limite de  $k \rightarrow 0$  somente a onda  $l=0$  contribui e da:

$$\sigma_{TOT} = \sigma_{l=0} = \int d\Omega |f_0|^2 = 4\pi \left| \frac{1}{k \cot \delta_0 - ik} \right|^2$$

$$= \frac{4\pi}{k^2 \cot^2 \delta_0 + k^2}$$

uma vez que  $P_0(\cos\theta) = 1$

Da (7.7.3) temos  $\delta_l \sim k^{2l+1}$  p/  $k \rightarrow 0$

Dai

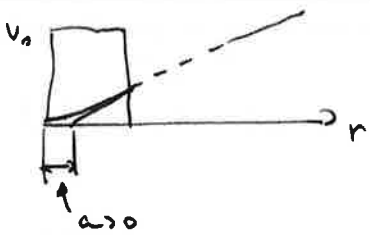
~~$$\frac{1}{k \cot \delta_0} = \frac{k \delta_0}{k} = \frac{1}{k} (k + O(k^3) \dots)$$~~

$$\frac{1}{k \cot \delta_0} = \frac{k \delta_0}{k} = \frac{1}{k} (k + O(k^3) \dots)$$

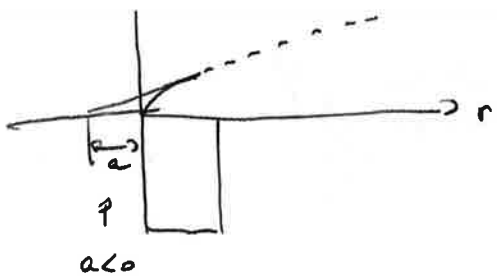
Portanto no limite  $k \rightarrow 0$   $k \cot \delta_0$  é muito maior que  $k$  e da:

$$\sigma_{TOT} \xrightarrow{k \rightarrow 0} \frac{4\pi}{k^2 \cot^2 \delta_0} = 4\pi a^2$$

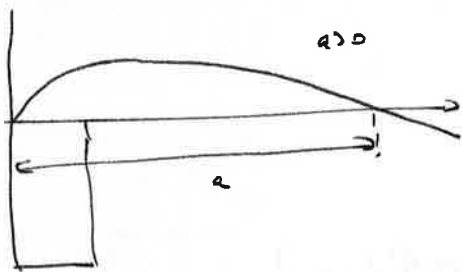
Agora da a ter a "mesma dimensão de R" (comprimento) que podemos diferir em ordens de magnitude. Vamos o significado físico de  $a$ . Ela é a intersecção da função da onda extensiva com o eixo dos  $r$ . Para um potencial repulsivo temos  $\delta_0 < 0$  e terá  $a > 0$  e isto é aproximadamente da ordem de  $R$ .



Para um potencial atativo temos  $V_{0>0}$  e  $\psi_{a<0}$



Se aumentarmos a atração a função da onda exterior pode causar o eixo-r movimento no lado positivo.



A razão é que do cosseno + cos fo pode ficar negativo.

Lembre-se que  $\lim_{r \rightarrow 0} U_{1>0} = \cos \phi \left( r + \frac{t_0 \phi}{\hbar} \right)$   
 slope

A troca do sinal do slope é dar de a com o aumento da atração está relacionado com o aparecimento de um estado ligado. Vejamos isto mais em detalhe.

Para a bastante grande e positivo a função da onda é essencialmente constante para  $r > R$ . Mas

$$U(r) = \alpha(r-a)$$

para  $\alpha > 0$  mas se tais diferentes de  $e^{-kr}$  com  $k=0$ .

Mas  $e^{-kr}$  com  $k=0$  é uma a função da onda de um estado ligado para  $r>R$  e energia E infinitesimalmente negativa.

A função da onda interior ( $r < R$ )  $\psi^{\text{interior}}(r) = 0$  (espalhamento com energia nula) tal que  $E=0$  (estado ligado com energia de ligação infinitesimalmente pequena) só é satisfatoriamente as soluções para nos dar 2 casos  $\hbar^2/k^2$  em que  $k^2$  é determinado por

$$\frac{\hbar^2 k^2}{2m} = E - V_0 \sim |V_0| \quad E = \text{páginas (positivo ou negativo)}$$

Como as funções da onda interior são as mesmas para as duas situações nós podemos igualar a derivada logarítmica da função da onda ligada com aquela da solução livremente.

espalhamento com energia cinética nula

$$\left. \frac{-\kappa e^{-kr}}{e^{-kr}} \right|_{r=R} = \left. \left( \frac{1}{r-a} \right) \right|_{r=R}$$

De forma

$$\kappa \sim \frac{1}{a}$$

A energia da ligação satisfaz

$$E_{BE} = -E_{\text{Estado}} = \frac{\hbar^2 k^2}{2m} = \frac{\hbar^2}{2ma^2}$$

o que é uma relação entre comprimento de espalhamento e energia da ligação. Isto é interessante pois podemos determinar energias da ligação fazendo espalhamento com energia

extremamente baixa, desse for a medida seja grande comparado com o alcance do potencial. Isto foi primeiramente proposto por Wigner no caso do esparlhamento np.

Experimentalmente o estado  ${}^3S_1$  do sistema np tem um esfero-ligado que é o dutor em com

$$E_{BE} = 2.26 \text{ MeV}$$

O comprimento de esparlhamento é medido a:

$$a_{\text{atrapilh.}} = 5.4 \times 10^{-13} \text{ cm}$$

dando uma energia da ligação

$$\begin{aligned} \frac{\hbar^2}{2\mu a^2} &= \frac{\hbar^2}{m_N a^2} = m_N c^2 \left( \frac{\hbar}{m_N c} \right)^2 \\ &= 938 \text{ MeV} \left( \frac{2.1 \times 10^{-14} \text{ cm}}{5.4 \times 10^{-13} \text{ cm}} \right)^2 = 1.4 \text{ MeV} \end{aligned}$$

Onde  $\mu$  é a massa reduzida que foi aproximada por  $m_{np}/2$

A concordância não é boa. A razão é que os fatores de onda intencionalmente faz exatamente as mesmas e a  $\text{atrapilh.}^{RR}$  é uma boa aproximação para o dutor.

Um resultado melhor pode ser obtido tomando-se o próximo termo na expansão da teor. d. como função da te.

$$te \text{ cat. d.} = -\frac{1}{a} + \frac{1}{2} r_0 \frac{\hbar^2}{a}$$

Onde  $r_0$  é conhecido como o alcance ~~est~~ efetivo.

## Estados ligados como polos de $S_L(k)$

$D_L(7.6.8) \times (7.6.12)$  temos

$$\langle \vec{x} | \psi^+ \rangle \xrightarrow{r \text{ grande}} \frac{1}{(2\pi)^{3/2}} \sum_l (2l+1) \frac{P_L}{2ik} \left[ S_L \frac{e^{ikr}}{r} - \frac{e^{-ik(r-l)}}{r} \right]$$

Estamos interessados em estudar as propriedades analíticas de  $S_L$  para  $l=0$ . Vemos que a função da onda radial para  $l=0$  é proporcional a

$$\Psi_L = S_0 \frac{e^{ikr}}{r} - \frac{e^{-ikr}}{r} \quad (7.7.23)$$

A função da onda para um estado ligado a grandes distâncias é da forma

$$\frac{e^{-kr}}{r} \quad (7.7.24)$$

A existência de um estado ligado implica uma solução não trivial da eq. de Schrödinger com  $E < 0$  para um valor diferente de  $\hbar K$ . Podemos argumentar que  $\frac{e^{-kr}}{r}$  é semelhante a  $e^{ikr}/r$  mas com te imaginário. A grande diferença entre (7.7.23) e (7.7.24) é que o estado ligado não contém o termo correspondente a onda esférica incidente  $e^{-ikr}/r$ . A razão <sup>dos coeficientes</sup> das ondas emergente e incidente é se. No caso do estado ligado esta razão é divergente. Portanto  $S_{L=0}(k)$  considerado como uma função da variável complexa  $k$  tem um polo em  $k = i\hbar K$ . Desta forma um estado ligado implica um polo no

No eixo imaginário positivo do plano complexo  $k$ .

Para  $k$  real e positivo nós temos a regra do espalhamento físico. Devemos ter

$$S_{k=0} = e^{2i\delta_0} \quad \text{com } \delta_0 \text{ real}$$

Conforme  $k \rightarrow 0$  temos  $\frac{k}{t_0 \delta_0} \rightarrow -\frac{1}{a}$ . ~~que é~~ que é finito

Portanto  $\delta_0$  deve se comportar como

$$\delta_0 \rightarrow 0, \pm \pi, \dots \quad \text{quando } k \rightarrow 0$$

Dar  $S_{k=0} = e^{2i\pi} \rightarrow 1$  ~~para~~  $k \rightarrow 0$ .

Vamos tentar construir uma função que satisfaça

- 1) Polo em  $k = iK$  (existência de estado ligado)
- 2)  $|S_{k=0}| = 1$  para  $k > 0$  e real (unitariedade)
- 3)  $S_{k=0} = 1$  em  $k = 0$  (comportamento no limiar da energia nula)

A função mais simples que satisfaça estas condições é:

$$S_{k=0}(k) = -\frac{k-iK}{k+iK}$$

para

$$|S_{k=0}| = -\frac{k-iK}{k+iK} \cdot \frac{-k+iK}{k+iK} = \frac{k^2 + K^2}{k^2 + K^2} = 1$$

Quando calcularmos esta função estamos assumindo que não existe outra singularidade além do polo simples do estado ligado.

Como (veja 7.6.15)

$$f_L = \frac{J_L - 1}{2ih}$$

temos

$$\begin{aligned} f_{L=0} &= \frac{1}{2ih} \left( \frac{-h - ik}{h + ik} - 1 \right) = \frac{1}{2ih} \left( \frac{-h - ik - h - ik}{h + ik} \right) \\ &= \frac{1}{-ik - K} \end{aligned}$$

Comparando com (7.6.16)

$$f_L = \frac{1}{h \cot \delta_0 - ih}$$

temos

$$\lim_{h \rightarrow 0} h \cot \delta_0 = -\frac{1}{a} = -K$$

e portanto a mesma relação entre o estado ligado e o comprimento de esparlhamento. Veja o § 7.7.17.

Portanto analisando o as propriedades de unidade e analiticidade de  $J_L(h)$  podemos obter informação que ~~nos~~ é obtida em geral resolvendo a eq. de Schrödinger explicitamente. Esta tripo de técnica pode ser útil em problemas onde o potencial não é conhecido em detalhes.

### Espalhamento resonante

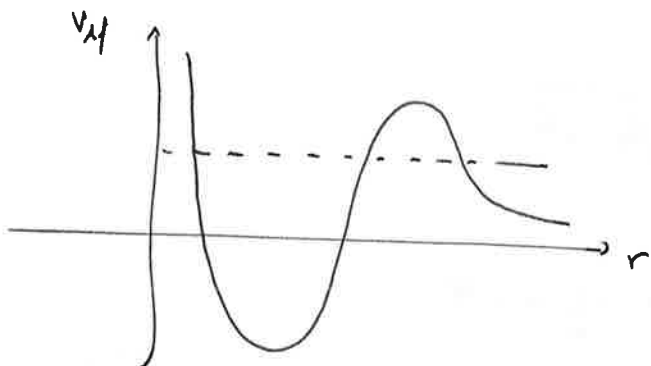
É comum encontrar situações em física nuclear em que partículas onde a seção de choque tem um pico para uma dada onda parcial. Isto é dito uma resonância.

Continuaremos a considerar um potencial de auto alcance.

~~Ex~~ Divido a barreira centrifuga o potencial efetivo para uma onda de momento angular  $l$  e dado por.

$$V_{eff} = V(r) + \frac{\hbar^2}{2m} \frac{l(l+1)}{r^2}$$

O 2º termo é sempre positivo. <sup>(repulsivo)</sup> Vamos supor que  $V(r)$  é atrativo. Temos então um poço atrativo e uma barreira repulsiva a distâncias maiores.



Se a barreira fosse infinitamente alta, seu possível "aproximado" partículas dentro do poço, ou seja teríamos estados ligados para E>0.

No entanto, em casos mais realistas a barreira não é infinita.

A partícula pode ficar presa no poço mas não indefinidamente.

Devido ao tunnelamento a  $\neq 0$  estado tem uma vida média finita. Chamaremos isto de um estado quasi-ligado.

O "phase shift"  $\delta_l$  para tal onda partícula atinge o valor  $\frac{\pi}{2}$  conforme a energia atinge o valor da energia do estado quasi-ligado. A seguir de cálculo parcial

$$\sigma_l = \frac{4\pi}{\hbar^2} (2l+1) \sin^2 \delta_l$$

atinge entre um valor máximo, ou seja  $\frac{4\pi}{\hbar^2} (2l+1)$

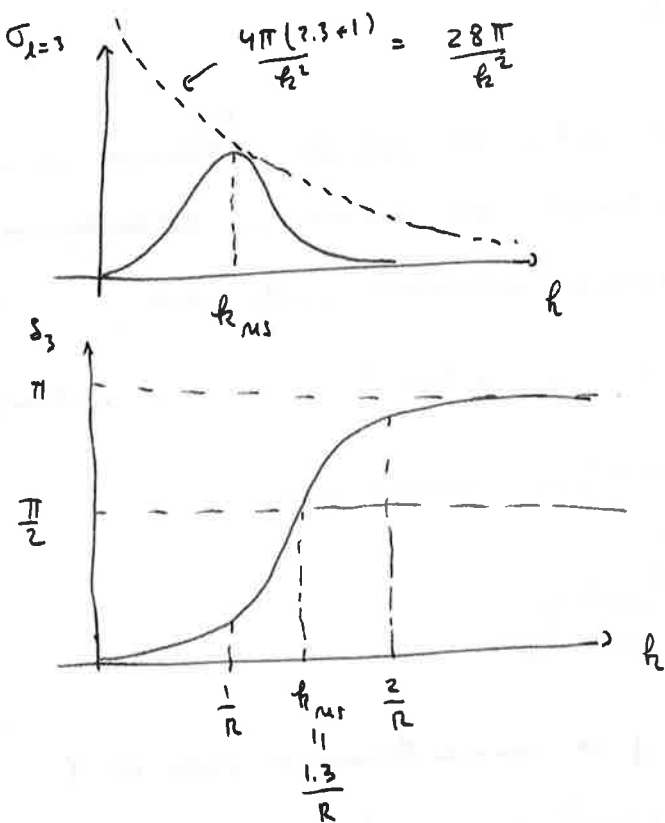
Vamos ver isto em alguns casos particulares.

Para um poço quadrado, é possível ver através de cálculos numéricos que o comportamento ressonante é possível para  $l \neq 0$ .

Obtemos isto, por exemplo, para

$$l = 3 \quad \text{e} \quad \frac{2mV_0 R^2}{\hbar^2} = 5.5$$

O phase shift é pequeno para energias baixas, mas ~~maior~~ para níveis a partir de  $\hbar = \frac{1}{R}$  e atinge  $\frac{\pi}{2}$  em  $\hbar = \frac{1.3}{R}$



Outro exemplo é dado para casca repulsiva

$$\frac{2m}{\hbar^2} V(r) = \gamma \delta(r-R)$$

Neste caso é possível ter ressonância mesmo para  $l=0$  uma vez que o potencial sójante pode ter uma

particular na região  $0 < r < R$ . No caso  $\gamma = \infty$  esperamos estados ligados na região  $r < R$  para

$$kR = \pi, 2\pi, \dots$$

uma vez que a função da onda radial para  $l=0$  deve zero no origem e também em  $r=R$ . (lembre  $j_0 = \frac{\sin p}{p}$ )

Para a região  $r > R$  temos simplesmente o espalhamento de uma onda esferica (pela lei de planificação). Como vimos anteriormente, temos

$$\delta_0 = -kR$$

Como  $\gamma = \infty$  não há conexão entre os solutos internos e exterior uma vez que não há planificação de barreira. ~~Portanto não~~  
~~há ressonância~~ Não esperamos ressonância neste caso.

No caso de  $\gamma$  finito a situação fica mais interessante. O phase shift exibe ressonância sempre que

$$E_{\text{incidente}} = E_{\text{estado}} \\ \text{fraco ligado}$$

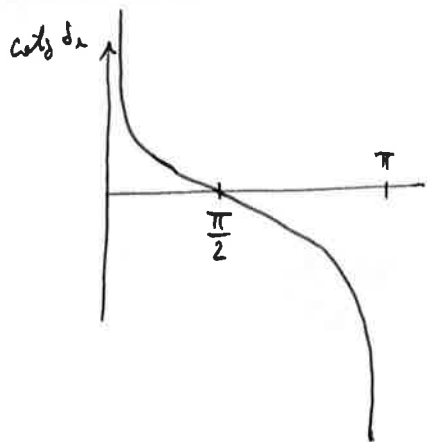
O pico fica mais agudo se aumentarmos o valor de  $\gamma$ . No entanto fora da ressonância a  $\delta_0$  permanece muito com a qual do lado de sfera dura. Temos então a suposição de  $\delta_0$  para sfera dura com um  $\delta_0$  ressonante.

Isto é visto na verdade como um modelo para o espalhamento de neutrons pelo núcleo atômico onde aparecem vários picos em cima de uma base de chega que varia suavemente.

Vejamos como a a amplitude de esplanchamento varia próximo a ressonância.

Se há uma conexão entre picos de  $\sigma_x$  e estados fase ligados, entao os deles passam por  $\frac{\pi}{2}$  (ou  $\frac{3\pi}{2}, \dots$ ) ~~sempre~~ conforme a energia ( $E$ ) aumenta (e se se aproximam de  $\frac{\pi}{2}$  por baixo)

Ou seja  $\cot \delta_x$  deve passar por zero vindo de valores maiores



Assumindo que  $\cot \delta_x$  é uma função suave da energia próximo de ressonância, podemos tentar fazer a expansão

$$\cot \delta_x = \underbrace{\cot \delta_x}_{E=E_r} - c(E-E_r) + O((E-E_r)^2)$$

$$\begin{matrix} \\ 0 \\ \text{para } \delta_x = \frac{\pi}{2} \\ \text{em } E = E_r \end{matrix}$$

O coeficiente  $c$  é negativo pois  $\delta_x$  é uma função crescente de  $E$  ~~próximo à ressonância~~.  
Dai  $\frac{d \cot \delta_x}{d E} < 0$

Temos então

$$\begin{aligned} f_x(h) &= \frac{1}{f_x \cot \delta_x - i h} = \frac{1}{f_x} \frac{1}{(-c(E-E_r) - i)} = \\ &= - \frac{i/2}{f_x \left[ (E-E_r) + i \frac{1}{2} \right]} \end{aligned}$$

Onde definimos

$$\left. \frac{d \cot \delta_x}{d E} \right|_{E=E_r} = -c = -\frac{2}{T}$$

Note que  $T$  é tanto menor quanto maior for a variação de  $\cot \delta_x$ .

Se somente a ressonância dominar a seção de choque de uma onda parcial  $l$ , nôs obtémos ~~deslocamento da Breit-Wigner~~

$$\sigma_l = \frac{4\pi}{h^2} (2l+1) \sin^2 \delta_x$$

$$f_l = \frac{e^{i\delta_x} \sin \delta_x}{h} \Rightarrow |f_l|^2 = \frac{\sin^2 \delta_x}{h^2}$$

e então

$$\sigma_l = \frac{4\pi}{h^2} (2l+1) \frac{(T/2)^2}{(E-E_r)^2 + (T/2)^2}$$

que é a fórmula da Breit-Wigner.

Pontando  $T$  é a largura total medida em uma ressonância correspondendo à metade do máximo, desse modo que a ressonância seja estrita o suficiente para que a variação dividida a  $h^2$  seja desprezada.

### Partículas idênticas e espalhamento

Vamos considerar o espalhamento de duas partículas idênticas, um spin através do potencial Coulombiano. A função de onda espacial deve ser simétrica, e dar a função

de onde obtemos a forma

$$e^{i\vec{h} \cdot \vec{x}} + \bar{e}^{i\vec{h} \cdot \vec{x}} + [f(\theta) + f(\pi-\theta)] \frac{e^{i\vec{h} \cdot \vec{r}}}{r}$$

onde  $\vec{x} = \vec{x}_1 - \vec{x}_2$  é a posição relativa das partículas

Dar

$$\begin{aligned} \frac{d\sigma}{d\Omega} &= |f(\theta) + f(\pi-\theta)|^2 \\ &= |f(\theta)|^2 + |f(\pi-\theta)|^2 + 2 \operatorname{Re}(f(\theta) f^*(\pi-\theta)) \end{aligned}$$

Esta regra de choque é aumentada através da interferência construtiva em  $\theta = \frac{\pi}{2}$ .

Ao contrário, no espalhamento de partículas de spin  $\frac{1}{2}$  com fixo mas polarizado e  $\vec{V}$  independente do spin não temos que o singuleto de spin tem função espacial simétrica e o triploto função espacial antisimétrica. Logo se o fixo é mas polarizado temos uma contribuição  $\frac{1}{4}$  do singuleto e  $\frac{3}{4}$  do triploto. Dar

$$\begin{aligned} \frac{d\sigma}{d\Omega} &= \frac{1}{4} |f(\theta) + f(\pi-\theta)|^2 + \frac{3}{4} |f(\theta) - f(\pi-\theta)|^2 = \\ &= |f(\theta)|^2 + |f(\pi-\theta)|^2 - \operatorname{Re}(f(\theta) f^*(\pi-\theta)) \end{aligned}$$

e portanto temos uma interferência destrutiva em  $\theta = \frac{\pi}{2}$ .

## Considerações da simetria em espalhamento

Suponha que  $V$  e  $H_0$  sejam ambos invariantes sob uma operação de simetria. Vamos a ver qual é a consequência disso para  $T$  ou  $f(\theta)$ .

Se a simetria é unitária tudo fica mais fácil.

Como  $H_0$  e  $V$  são invariantes

$$U H_0 U^+ = H_0 \quad , \quad U V U^+ = V$$

• como

$$T = V + V \frac{1}{E - H_0 + i\epsilon} V + \dots$$

temos

$$U T U^+ = T$$

mas  $V$  é

$$U(E - H_0 + i\epsilon) U^+ = E - H_0 + i\epsilon$$

$$\bullet \quad U \frac{1}{E - H_0 + i\epsilon} U^+ U(E - H_0 + i\epsilon) U^+ = 1 =$$

$$= U \frac{1}{E - H_0 + i\epsilon} U^+ (E - H_0 + i\epsilon) \Rightarrow U \frac{1}{E - H_0 + i\epsilon} U^+ = \frac{1}{E - H_0 + i\epsilon}$$

Definimos

$$|\tilde{K}\rangle = U|K\rangle \quad |\tilde{K}'\rangle = U|K'\rangle$$

e dar

$$\langle \tilde{k}' | T | \tilde{k} \rangle = \langle k' | U^+ U + U^+ U | k \rangle = \langle k' | T | k \rangle$$

Ex: Paridade  $\Pi$

$$\Pi | \vec{k} \rangle = \bullet | \vec{k} \rangle \quad \Pi | -k \rangle = | k \rangle$$

Par a  $H_0$  e  $U$  ser invariantes por paridade

$$\langle -k' | T | -k \rangle = \langle k' | T | k \rangle$$

ou seja

$$\begin{array}{ccc} \overrightarrow{k} & \nearrow \overrightarrow{k'} & \\ & \equiv & \\ & \swarrow \overleftarrow{-k'} & \overleftarrow{-k} \end{array}$$

Nós exploraremos a conservação do momento angular no método das ondas parciais. O fato de  $T$  ser diagonal no base  $|E\ell m\rangle$  é consequência disso. Na verdade  $T$  depende da orientação relativa de  $k$  e  $k'$ .

$$\begin{array}{ccc} \overrightarrow{k} & \nearrow \overrightarrow{k'} & \\ & \equiv & \\ & \swarrow \overrightarrow{k'} & \overrightarrow{k} \end{array}$$

Vamos considerar o caso em que ~~é~~ seja a operador  $-i$  antiumitante, como a reversão temporal.

Pois

$$|\alpha\rangle \rightarrow |\tilde{\alpha}\rangle = \Theta|\alpha\rangle \quad |\beta\rangle \rightarrow |\tilde{\beta}\rangle = \Theta|\beta\rangle$$

$$\langle \tilde{\beta} | \tilde{\alpha} \rangle = \langle \beta | \alpha \rangle^* = \langle \alpha | \beta \rangle$$

$$\Theta(c_1|\alpha\rangle + c_2|\beta\rangle) = c_1^* \Theta|\alpha\rangle + c_2^* \Theta|\beta\rangle$$

Se  $V_A$  e  $H_0$  forem invariantes para  $\Theta$ , entoç

$$\Theta T \Theta^{-1} = T^+$$

Pois

$$\Theta \frac{1}{E - H_0 + i\epsilon} \Theta^{-1} = \frac{1}{E - H_0 - i\epsilon}$$

Considera

$$|\alpha\rangle = T|\vec{k}\rangle \quad \langle \beta | = \langle \vec{k}' |$$

Daro

$$|\tilde{\alpha}\rangle = \Theta T |\vec{k}\rangle = \Theta + \Theta^{-1} \Theta |\vec{k}\rangle = T^+ |\vec{-k}\rangle$$

Daro

$$\begin{aligned} \langle \vec{k}' | T | \vec{k} \rangle &= \langle \beta | \alpha \rangle = \langle \tilde{\alpha} | \tilde{\beta} \rangle = \langle -\vec{k} | T \Theta |\vec{k}' \rangle \\ &= \langle -\vec{k} | T | -\vec{k}' \rangle \end{aligned}$$

On seje os momentos inicial e final rotos trocados assim

Como os resultados são similares (diferem)

$$\begin{array}{ccc} \overrightarrow{k} & \nearrow \overrightarrow{k'} & = \\ & & \\ \langle \vec{k}' | T | \vec{k} \rangle & & \langle -\vec{k} | T | -\vec{k}' \rangle \end{array}$$

Combinando reverso temporal e rapidoch

$$\langle \kappa' | \tau | \kappa \rangle = \langle -\kappa | \tau | -\kappa' \rangle = \langle \kappa | \tau | \kappa' \rangle$$

$\uparrow$                                      $\uparrow$   
T                                         $\pi$

Como

$$f(\kappa', \kappa) = -\frac{1}{4\pi} \frac{2m}{\hbar^2} (2\pi)^3 \langle \kappa' | \tau | \kappa \rangle$$

temos

$$f(\kappa, \kappa') = f(\kappa', \kappa)$$

que significa

$$\frac{d\sigma}{d\Omega} (\kappa \rightarrow \kappa') = \frac{d\sigma}{d\Omega} (\kappa' \rightarrow \kappa)$$



Esta relação é conhecida como "detailed balance" (balance detalhado)

Consideremos o caso com spin:

Sob reverso temporal

$$\Theta |j, m\rangle = (-1)^m |j, -m\rangle$$

Dai os estados são denotados por

$$|\vec{k}, m_s\rangle$$

1 ento:

$$\begin{aligned} \langle K' m'_s | T | K m_s \rangle &= \downarrow (-1)^{m_s - m'_s} \langle -K - m_s | T | -K', -m'_s \rangle = \\ &= \underset{\pi}{\int} (-1)^{m_s - m'_s} \langle K, -m_s | T | K', -m'_s \rangle \end{aligned}$$

Para fixar os polarizados, nós somamos sobre os spins e dividimos por  $2^{L+1}$ . Se a polarização final não é observada nós somamos sobre os estados finais.

Obtemos ento

$$\overline{\frac{d\sigma}{d\Omega}}(K \rightarrow K') = \overline{\frac{d\sigma}{d\Omega}}(K' \rightarrow K)$$

onde

$\overline{\frac{d\sigma}{d\Omega}}$  significa a média sobre os estados iniciais de spins e sobre sobre os finais de spins.

## Formulacões dependentes do tempo do espalhamento

No's desenvolvemos até agora o formalismo do espalhamento independente do tempo. Este serve para descrever uma situação estacionária, isto é, onde temos um fluxo incidente com um fluxo que não varia no tempo e um potencial também constante no tempo.

Queremos agora desenvolver um formalismo que leve em conta a variação temporal do estado da partícula que sofre o espalhamento.

De forma a falar mundo de um estado da partícula livre para um fato que conta a presença do potencial.

A eq. de movimento, ~~ma representação de Schrödinger é:~~

$$\left( i\hbar \frac{\partial}{\partial t} - H_0 \right) | \Psi, t \rangle = V | \Psi, t \rangle \quad (7.11.3)$$

A condição de contorno para tal problema é que se em  $t = -\infty$  no passado remoto a partícula é livre.

Isto pode ser obtido ligando-se o potencial adiabaticamente como fizemos na perturbação dependente do tempo (Lec. 5.8)

$$V \rightarrow \lim_{\eta \rightarrow 0} V e^{\eta t}$$

Para resolver este problema nós introduzimos o operador de Green que deve satisfazer

$$\left( i\hbar \frac{\partial}{\partial t} - H_0 \right) G_+(t, t') = \delta(t - t')$$

Conhecendo-se o operador de Green e a solução do problema em livre, (sem potencial) isto é:

$$(i\hbar \frac{\partial}{\partial t} - H_0) |\phi, t\rangle = 0$$

podemos construir a solução do problema com potencial como

$$|\psi^+, t\rangle = |\phi, t\rangle + \int_{-\infty}^{\infty} G_+(t, t') V |\psi^+, t'\rangle dt' \quad (7.11.7)$$

Pois:

$$\begin{aligned} (i\hbar \frac{\partial}{\partial t} - H_0) |\psi^+, t\rangle &= \underbrace{(i\hbar \frac{\partial}{\partial t} - H_0)}_{0} |\phi, t\rangle + \\ &+ \int_{-\infty}^{\infty} \underbrace{(i\hbar \frac{\partial}{\partial t} - H_0) G_+(t, t') V |\psi^+, t'\rangle}_{\delta(t-t')} dt' \\ &= V |\psi^+, t\rangle \end{aligned}$$

Como a consistência deve ser obtida, nós imponemos que a interação da partícula em  $t'$  não tenha efeito em tempos anteriores  $t < t'$ . Portanto nós imponemos a condições de contorno à sobre  $G_+$ :

$$G_+(t, t') = 0 \quad \text{para } t < t' \quad (7.11.4)$$

A solução para o operador de Green é

$$G_+(t, t') = -\frac{i}{\hbar} \Theta(t-t') e^{-iH_0(t-t')/\hbar} \quad (7.11.5)$$

Usando o fato que

$$i\hbar \frac{\partial}{\partial t} \left( -\frac{i}{\hbar} \Theta(t-t') \right) = \delta(t-t') \quad (7.11.5)$$

temos

$$(i\hbar \frac{\partial}{\partial t} - H_0) \left( -\frac{i}{\hbar} \Theta(t-t') e^{-iH_0(t-t')/\hbar} \right) =$$

$$= H_0 \frac{i}{\hbar} \Theta(t-t') e^{-iH_0(t-t')/\hbar} + \delta(t-t') e^{-iH_0(t-t')/\hbar} -$$

$$-\frac{i}{\hbar} \Theta(t-t') \cancel{i\hbar (-i) \frac{H_0}{\hbar} e^{-iH_0(t-t')/\hbar}} = \delta(t-t') e^{-iH_0(t-t')/\hbar}$$

• Mas para  $t \neq t'$  temos que isto se anula e para

$$t=t' \text{ temos } e^{-iH_0(t-t')/\hbar} = 1$$

Portanto podemos escrever efetivamente que

$$\delta(t-t') e^{-iH_0(t-t')/\hbar} \equiv \delta(t-t')$$

Logo (7.11.5) satisfaçõe (7.11.3).

Vejamos as propriedades da solução (7.11.7).

Para  $t \rightarrow -\infty$  temos  $|f^+, t\rangle \rightarrow |\phi, t\rangle$  pois a integral envolvendo  $G_+$  se anula-lá, pois os extremos são iguais e também porque  $G_+ \rightarrow 0$  para  $t \rightarrow -\infty$  dividido a constante de contorno.

Logo o segundo termo de (7.11.7) contém a influência do pd potencial sobre  $|f^+, t\rangle$ .

Até agora nós não pedimos que  $|4^+, t\rangle$  seja um autoestado da energia, isto é, do operador  $H_0 + V$ . No entanto se quisermos

$$|\phi, t\rangle = |\phi\rangle e^{-iEt/\hbar}$$

$$|4^+, t\rangle = |4^+\rangle e^{-iEt/\hbar}$$

onde implicitamente supusemos que a energia  $E$  não muda durante o espralhamento se  $V$  é "ligado" adiabaticamente de acordo com

~~VEZES~~

$$V \rightarrow \lim_{\gamma \rightarrow 0} V e^{i\gamma t}$$

Para  $t=0$  temos de (7.11.5) e (7.11.7)

~~VEZES~~

~~VEZES~~  $\lim_{t \rightarrow 0} f(t)$

$$|4^+\rangle = |\phi\rangle - \frac{i}{\hbar} \int_{-\infty}^0 e^{+iH_0 t'/\hbar} e^{-iEt'/\hbar} V |4^+\rangle dt'$$

O integrando parece osular ainda fundamentalmente dividido em  $e^{-iEt'/\hbar}$ .

No entanto  $V$  deve ser visto como  $V e^{i\gamma t}$  e dar

$$|4^+\rangle = |\phi\rangle - \frac{i}{\hbar} \lim_{t'' \rightarrow -\infty} \int_{t''}^0 dt' e^{i(H_0 - E - i\gamma t') t'/\hbar} V |4^+\rangle$$

A integral de no tempo desta forma se dá da

$$\begin{aligned} |\psi^+\rangle &= |\phi\rangle - \frac{i}{\hbar} \lim_{t'' \rightarrow -\infty} \left[ \frac{1}{\frac{i}{\hbar}(H_0 - E - i\gamma t)} e^{i(H_0 - E - i\gamma t)t''/\hbar} \right]^\circ V|\psi^+\rangle \\ &= |\phi\rangle - \frac{1}{(H_0 - E - i\gamma t)} \left[ 1 - \lim_{t'' \rightarrow -\infty} e^{i(H_0 - E - i\gamma t)t''/\hbar} \right] V|\psi^+\rangle \end{aligned}$$

Conforme  $t'' \rightarrow -\infty$  isto se torna a eq. Lippmann-Schwinger, ou seja eq (7.1.6)

$$|\psi^+\rangle = |\phi\rangle - \frac{1}{H_0 - E - i\epsilon_0} V|\psi^+\rangle$$

A razão do segundo termo nos contribuirá dividido por um exponential  $e^{\gamma t''}$  ( $\gamma > 0$ ).

Note que o termo  $i\gamma t$  aparece aqui dividido ao fator de todos os termos impulsionais para  $t \rightarrow -\infty$  a partícula é livre.

No formalismo independente do tempo o fator  $i\epsilon$  aparece dividido no impulsionista centro esquadrado só afeta somente as ondas esféricas emergentes.

Note que o termo  $e^{\gamma t}$  no potencial, apesar de parecer artificial, ele não altera a situação física. Isso é porque a partícula está fora do alcance do potencial ( $t \rightarrow -\infty$ ) mas importa realmente se o potencial é muito ou não.

## Conexão com teoria de perturbação dependente do tempo

Nós queremos desenvolver um método de aproximação no estudo do espalhamento análogo ao método da pert. dependente do tempo ~~descritivo~~ para estados ligados.

O ~~potencial~~ potencial portanto deve ser fraco com relação a alguma escala dada.

Vamos recapitular alguns conceitos do cap. 5:

O fkt na rep. de interacçõe é definido por

$$|\alpha, t_0, t\rangle_I = e^{iH_0t/t} |\alpha, t_0, t\rangle_S$$

e sua evolução temporal é

$$i\hbar \frac{\partial}{\partial t} |\alpha, t_0, t\rangle_I = V_I |\alpha, t_0, t\rangle_I$$

onde

$$V_I = e^{iH_0t/t} V e^{-iH_0t/t}$$

O operador de evolução temporal na rep. de interacçõe é

$$|\alpha, t_0, t\rangle_I = U_I(t, t_0) |\alpha, t_0, t_0\rangle_I$$

e portanto satisfaz

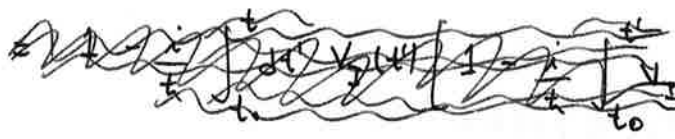
$$i\hbar \frac{d}{dt} U_I(t, t_0) = V_I(t) U_I(t, t_0)$$

Com a condição inicial

$$U_I(t, t_0)|_{t=t_0} = 1$$

Obtenemos a soluc:

$$U_I(t, t_0) = 1 - \frac{i}{\hbar} \int_{t_0}^t dt' V_I(t') U_I(t', t_0) =$$



$$= 1 - \frac{i}{\hbar} \int_{t_0}^t dt' V_I(t') + \left( \frac{-i}{\hbar} \right)^2 \int_{t_0}^t dt' \int_{t'}^t dt'' V_I(t') V_I(t'') + \dots$$

Desta forma temos

$$\langle \vec{r}' | U_I^{(n)}(t, -\infty) | \vec{r} \rangle = - \frac{i}{\hbar} \int_{-\infty}^t dt' \langle \vec{r}' | V_I(t') | \vec{r} \rangle$$

$$\begin{aligned} &= - \frac{i}{\hbar} \int_{-\infty}^t dt' \langle \vec{r}' | e^{iH_0 t'/\hbar} \sqrt{e^{-iH_0 t'/\hbar}} e^{\eta t'} | \vec{r} \rangle \\ &= - \frac{i}{\hbar} \langle \vec{r}' | V | \vec{r} \rangle \int_{-\infty}^t dt' e^{i(E_{\vec{r}'} - E_{\vec{r}})t/\hbar} e^{\eta t'} \quad \text{onde } E_{\vec{r}} = \frac{\hbar^2 k^2}{2m} \\ &= - \frac{i}{\hbar} \langle \vec{r}' | V | \vec{r} \rangle \frac{1}{i(E_{\vec{r}'} - E_{\vec{r}})/\hbar + \eta} e^{i(E_{\vec{r}'} - E_{\vec{r}})t/\hbar} e^{\eta t} \quad (\eta \gg 0) \end{aligned}$$

Logo

$$|\langle \vec{r}' | U_I^{(n)}(t, -\infty) | \vec{r} \rangle|^2 = \frac{| \langle \vec{r}' | V | \vec{r} \rangle |^2}{\hbar^2} \frac{e^{2\eta t}}{\frac{(E_{\vec{r}'} - E_{\vec{r}})^2}{\hbar^2} + \eta^2}$$

Termos entao

$$\begin{aligned} \lim_{\eta \rightarrow 0} \frac{d}{dt} |\langle \vec{r}' | U_I^{(n)}(t, -\infty) | \vec{r} \rangle|^2 &= \lim_{\eta \rightarrow 0} \frac{1}{\hbar^2} \frac{|\langle \vec{r}' | V | \vec{r} \rangle|^2}{\frac{(E_{\vec{r}'} - E_{\vec{r}})^2}{\hbar^2} + \eta^2} \frac{2\eta e^{2\eta t}}{\frac{(E_{\vec{r}'} - E_{\vec{r}})^2}{\hbar^2} + \eta^2} \\ &= 2 \frac{|\langle \vec{r}' | V | \vec{r} \rangle|^2}{\hbar^2} \pi \hbar \delta(E_{\vec{r}'} - E_{\vec{r}}) \end{aligned}$$

onde usamos o fato que

$$\lim_{\eta \rightarrow 0} \frac{\eta}{x^2 + \eta^2} = \pi \delta(x) \quad \text{e} \quad \delta\left(\frac{x}{c}\right) = c \delta(x)$$

Obtemos então a regra da soma, ou seja a regra de transição é:

$$\frac{d}{dt} |\langle \vec{h}' | V_I^{(n)}(t, -\infty) | \vec{h} \rangle|^2 = \frac{2\pi}{\hbar} |\langle \vec{h}' | V(t) | \vec{h} \rangle|^2 \delta(E_{\vec{h}'} - E_{\vec{h}})$$

O lado direito é independente do tempo.

No caso do espalhamento é mais conveniente usar a normalização da caixa, onde os valores permitidos de  $\vec{h}$  são

$$K_{x,y,z} = \frac{2\pi m_{x,y,z}}{L}$$

$$\text{e} \quad \langle \vec{h}' | \vec{h} \rangle = \delta_{\vec{h}', \vec{h}}$$

A função de onda é dada por

$$\langle \vec{x} | \vec{h} \rangle = \frac{1}{L^{3/2}} e^{i \vec{h} \cdot \vec{x}} \quad \begin{cases} \text{(ao invés de } \frac{1}{(2\pi)^3} e^{i \vec{h} \cdot \vec{x}} \text{)} \\ \text{(como temos usado até agora)} \end{cases}$$

A regra de completeza é

$$1 = \sum_{\vec{h}} |\vec{h}\rangle \langle \vec{h}|$$

e para uma caixa muito grande ( $L \rightarrow \infty$ ) temos

$$1 = \left(\frac{L}{2\pi}\right)^3 \int d^3 h |\vec{h}\rangle \langle \vec{h}|$$

Esta normalização é mais conveniente para o cálculo da densidade de estados. Definimos  $n$  como

$$n^2 = n_x^2 + n_y^2 + n_z^2 \quad \text{e} \quad h^2 = \left(\frac{2\pi}{L}\right)^2 n^2$$

O  $n$  de estados por cubo da unidade é 1. O elemento de volume é  $n^2 dE dR$  e como

$$E = \frac{\hbar^2 R^2}{2m} = \frac{\hbar^2}{2m} n^2 \left(\frac{2\pi}{L}\right)^2 \Rightarrow \frac{dE}{dn} = \frac{\hbar^2}{m} n \left(\frac{2\pi}{L}\right)^2$$

e daí

$$n^2 dm dR = n^2 dE dR \frac{dm}{dE} = n^2 dE dR \left(\frac{L}{2\pi}\right)^2 \frac{m}{\hbar^2} \frac{1}{m}$$

$$= \left(\frac{L}{2\pi}\right)^2 \frac{m}{\hbar^2} \left(\frac{L}{2\pi}\right)^2 h dE dR = \left(\frac{L}{2\pi}\right)^3 \frac{h m}{\hbar^2} dE dR$$

Desta forma a razão de transição do estado  $|\vec{p}_i\rangle$  para um grupo de estados  $|\vec{p}'_i\rangle$  subtraindo um ângulo sólido  $dR$  é dada por (para espalhamento elástico, ou seja  $\vec{p}'_i = \vec{p}_i$ )

$$\begin{aligned} w &= \int dE \frac{d}{dt} | \langle \vec{p}'_i | V_I(t, -\infty) | \vec{p}_i \rangle |^2 \rho(E) = \\ &= \frac{2\pi}{\hbar} | \langle \vec{p}'_i | V | \vec{p}_i \rangle |^2 \left(\frac{L}{2\pi}\right)^3 \frac{h m}{\hbar^2} dR \end{aligned}$$

Isto deve ser igual a

$$\text{fluxo incidente} \times \frac{d\sigma}{dR} dR = n \text{ de partículas espalhadas por unidade de tempo em } dR.$$

$$\bar{J} = \frac{t}{m} \operatorname{Im} (\psi^* \vec{\nabla} \psi) = \frac{t}{m} \operatorname{Im} \frac{e^{-i\vec{h} \cdot \vec{x}}}{L^{3/2}} \cdot \vec{\nabla} \frac{e^{i\vec{h} \cdot \vec{x}}}{L^{3/2}} =$$

$$\Rightarrow |\bar{J}| = \frac{t \hbar}{m L^3}$$

Portanto

$$\frac{d\sigma}{dR} dR \frac{t \hbar}{m L^3} = \frac{2\pi}{t} |<\vec{h}'|V(\vec{h})>|^2 \left(\frac{L}{2\pi}\right)^3 \frac{\hbar m}{t^2} dR$$

x

$$\frac{d\sigma}{dR} = \frac{m t^3}{\hbar^3} \frac{2\pi}{t} \left(\frac{L}{2\pi}\right)^3 \frac{\hbar m}{t^2} \left| \frac{1}{L^3} \int d^3x V(x) e^{i(\vec{h}-\vec{h}') \cdot \vec{x}} \right|^2$$

$$= \left| \frac{1}{4\pi} \frac{2m}{\hbar^2} \int d^3x V(x) e^{i(\vec{h}-\vec{h}') \cdot \vec{x}} \right|^2$$

Mas isto é precisamente o resultado da aproximação de Born em 1<sup>o</sup> ordem.

Vemos então que o formalismo dependente do tempo serve para obter todos os resultados que obtivemos com base no esquema elástico obtendo o formalismo independente do tempo.

Mas o formalismo dependente do tempo serve também para obter resultados da teoria esquema elástico.

## Espaçamento inelástico de elétrons por átomos

No caso de esp. elástico a energia do elétron não muda

~~Ass~~ Supomos que o átomo esteja no estado fundamental e tem:

$$e^- + \text{átomo no est. fund.} \rightarrow e^- + \text{átomo no est. fund.}$$

Se o átomo é bastante pesado a energia <sup>cinética</sup> do elétron não muda.

Podemos ter também

$$e^- + \text{átomo (est. fund.)} \rightarrow e^- + \text{átomo (excitado)}$$

Neste caso temos espaçamento inelástico uma vez que a energia do elétron muda de uma quantidade igual a energia do estado fundamental.

Escrevemos o ket do estado inicial do elétron + átomo como:

$$|\tilde{k}, 0\rangle$$

↓      R  
 Vetor de      denota est.  
 onda do      fund. do  
 elétron      átomo  
 incidente

dove se entendeido como o produto clínico ( $\hat{A} \otimes |0\rangle$ )  
pois inicialmente não há interação entre eles.

A função de onda correspondente é:

$$\frac{1}{\sqrt{V_2}} e^{i \tilde{k} \cdot \tilde{x}} \psi_0(x_1, x_2, \dots, x_2)$$

onde usamos normalização na caixa de onda plana.

No estado final temos:

$$|\tilde{k}' n\rangle \sim \frac{1}{\sqrt{V_2}} e^{i \tilde{k}' \cdot \tilde{x}} \psi_n(x_1, x_2, \dots, x_2)$$

No caso de  $n=0$  temos espaçamento elástico.

Se a teoria de perturbacao dependente do tempo pode ser usada podemos calcular a secao de choque, da mesma forma que fizemos anteriormente

$$\begin{aligned}\frac{d\sigma}{d\Omega}(0 \rightarrow m) &= \frac{m l^3}{\hbar} \frac{2\pi}{L} \left(\frac{L}{2\pi}\right)^3 \frac{\hbar' m}{L^2} |\langle \vec{h}'(0) | V | \vec{h}(0) \rangle|^2 \\ &= \frac{\hbar'}{\hbar} L^6 \left| \frac{1}{4\pi} \frac{2m}{L^2} \langle \vec{h}'(0) | V | \vec{h}(0) \rangle \right|^2\end{aligned}$$

Como o espalhamento é inelatico os temos, em geral,  $\hbar' \neq \hbar$ .

O problema entra reduzir-se em calcular o elemento da matriz acima. No entanto temos que achar o potencial apropriado a este problema.

O eletron incidente interage com o nucleo e tambem com os eletrons dos atomos. Por um principio temos:

$$V = -\frac{2e^2}{r} + \sum_i \frac{e^2}{|\vec{x} - \vec{x}_i|^2}$$

Aqui temos que levar em conta a identidade dos eletrons, o que nao e uma tarefa facil.

No entanto para eletrons rápidos nos nao ha' nenhuma interacao relevante da função da onda do eletron incidente com a função da onda dos eletrons dos atomos. Podemos portanto despregar a questão da identidade dos eletrons.

Dar

$$\langle \vec{h}'(0) | V | \vec{h}(0) \rangle = \frac{1}{L^3} \int d^3x e^{i\vec{q} \cdot \vec{x}} \langle m | -\frac{2e^2}{r} + \sum_i \frac{e^2}{|\vec{x} - \vec{x}_i|} | 0 \rangle$$

$$= \frac{1}{L^3} \int d^3x e^{i\vec{q} \cdot \vec{x}} \frac{1}{i} \int d^3x_i F_m^*(x_1, x_2 \dots x_2) \left[ -\frac{2e^2}{r} + \sum_i \frac{e^2}{|\vec{x} - \vec{x}_i|} \right] F_0(x_1, x_2 \dots x_2)$$

onde  $\vec{q} = \vec{h} - \vec{h}'$

Vamos calcular o primeiro termo.

O potencial  $-\frac{ze^2}{r}$  é uma interação entre o elétron incidente e o núcleo. Portanto não depende de  $x_i$  e pode ser tirado para fora da integral  $\int \Pi dx'$ .

Obtemos então  $\langle n|0 \rangle = \delta_{n0}$

e portanto este termo contribui somente para o espalhamento elástico. (note que o núcleo não move por seu passo e não transfigura os elétrons cheios  $\approx -\frac{ze^2}{r}$ )

Termos que calcularmos então

$$-\frac{ze^2}{L^3} \int d^3x \frac{e^{i\vec{q}\cdot\vec{x}}}{r}$$

isto equivale a tomar a transformada de Fourier do potencial Coulombiano. Mas nós já calculamos a transformada do potencial de Yukawa na seção 7.2

Então (veja (7.2.2), (7.2.5) e (7.2.6))

$$\int d^3x \frac{e^{i\vec{q}\cdot\vec{x}}}{r} = \lim_{\mu \rightarrow 0} \int d^3x \frac{e^{i\vec{q}\cdot\vec{x} - \mu r}}{r} = \frac{4\pi}{q^2}$$

No 2º termo temos que calcular a transformada de  $\frac{1}{|\vec{x}-\vec{x}_i|}$ . Fazemos isso deslocando a coordenada

$$\sum_i \int d^3x \frac{e^{i\vec{q}\cdot\vec{x}}}{|\vec{x}-\vec{x}_i|} = \sum_i \int d^3x \frac{e^{i\vec{q}\cdot(\vec{x}+\vec{x}_i)}}{|\vec{x}|} = \frac{4\pi}{q^2} \sum_i e^{i\vec{q}\cdot\vec{x}_i}$$

Isto é a transformada de Fourier do potencial Coulombiano multiplicado pela transformada da densidade eletrônica

divida ao sistema situado em  $x$ :

$$P_{\text{atom}}(\vec{x}) = \sum_i d^{(3)}(\vec{x} - \vec{x}_i)$$

Definimos o fator da forma  $F_m(q)$  para a excitação  $|0\rangle$  p/  $|m\rangle$  como

$$z F_m(\vec{q}) = \langle m | \sum_i e^{i\vec{q} \cdot \vec{x}_i} | 0 \rangle$$

Note que

$$\frac{1}{z} \langle m | \sum_i e^{i\vec{q} \cdot \vec{x}_i} | 0 \rangle \xrightarrow{q \rightarrow 0} 1 \quad \text{p/ } m=0$$

Daí se joga o fator da forma tende a 1 quando  $q \rightarrow 0$  no esparlhamento elástico.

Por outro lado

$$F_m(\vec{q}) \xrightarrow{q \rightarrow 0} 0 \quad \text{p/ } m \neq 0.$$

divida = ortogonalidade de  $|m\rangle$  e  $|0\rangle$ .

Desta forma temos:

$$\begin{aligned} \int d^3x \ e^{i\vec{q} \cdot \vec{x}} \langle m | \left( -\frac{ze^2}{r} + \sum_i \frac{e^2}{|\vec{x} - \vec{x}_i|} \right) | 0 \rangle &= \\ &= \frac{4\pi z e^2}{q^2} \left[ -\delta_{m0} + F_m(\vec{q}) \right] \end{aligned}$$

A seguir de chegar a' entar

$$\frac{d\sigma}{dR}(0 \rightarrow m) = \frac{\hbar^2}{k^2} \left| \frac{1}{4\pi} \frac{2m}{\hbar^2} \frac{4\pi z e^2}{q^2} (-\delta_{m0} + F_m(\vec{q})) \right|^2$$

$$= \frac{4m^2}{\hbar^4} \frac{(ze^2)^2}{q^4} \frac{\hbar^2}{k^2} (-\delta_{m0} + F_m(\vec{q}))^2$$

Para o caso do esparlhamento inelástico o termo  $\delta_{n,0}$  não contribui e escrevemos a seguir de forma em termos do raio de Bohr

$$a_0 = \frac{e^2}{\epsilon^2 m_e}$$

e daí

$$\frac{d\sigma}{dR}(0 \rightarrow n) = 4 \pi^2 a_0^2 \left( \frac{h'}{h} \right) \frac{1}{(q a_0)^4} [F_n(q)]^2$$

$\frac{d\sigma}{dq}$  é também usado, e daí

$$q^2 = |h - h'|^2 = h^2 + h'^2 - 2 h \cdot h' \cos \theta$$

$$e dq = - d(\cos \theta) \frac{h \cdot h'}{q}$$

Estatos

(descrever estatística)

Como

$$dR = \sin \theta \, ds \, df = - d(\cos \theta) 2\pi$$

temos

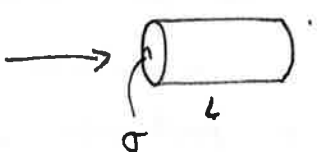
$$\frac{d\sigma}{dq} = \frac{d\sigma}{dR} \frac{dR}{dq} = \frac{d\sigma}{dR} \frac{q \cdot 2\pi}{h \cdot h'}$$

A seguir de colisão inelástica que obtivemos pode ser usada para calcular a perda de energia de uma partícula carregada quando ela atravessa a matéria.

Queremos calcular a perda de energia por unidade de comprimento atravessado pela partícula incidente.

A razão de colisões  $\frac{1}{L} N \sigma$  onde  $N = n$  de átomos por unidade de volume

isto porque



Todos os átomos dentro deste volume  $\sigma L$  vão colidir com o alítion  
Dar  $N \sigma L / L = n$  de colisões por unidade de comprimento.

Em cada colisão a partícula perde uma energia  $E_n - E_0$ .

Portanto

$$\begin{aligned} \frac{dE}{dx} &= N \sum_n (E_n - E_0) \int \frac{d\sigma(0 \rightarrow n)}{dq} dq \\ &= N \sum_n (E_n - E_0) \frac{4 \pi^2}{a_0^2} \frac{\hbar^4}{q^4} \int_{q_{\min}}^{q_{\max}} \frac{1}{q^4} \frac{2\pi q}{\hbar^2} |F_n(\vec{q})|^2 dq \\ &= \frac{8\pi N e^4}{\hbar^2 a_0^2} \sum_n (E_n - E_0) \int_{q_{\min}}^{q_{\max}} \left| \langle n | \sum_{i=1}^z e^{i\vec{q} \cdot \vec{x}_i} | 0 \rangle \right|^2 \frac{dq}{q^3} \end{aligned}$$

onde temos

$$F_n(\vec{q}) = \frac{1}{z} \langle n | \sum_{i=1}^z e^{i\vec{q} \cdot \vec{x}_i} | 0 \rangle$$

Existem vários trabalhos mostrando como calcular a soma no integrando. (Ver Gottfried e Bethe & Salam)

O resultado destes cálculos é justificar, usando a Mecânica Quântica, a fórmula obtida por Bohr em 1913 para o "stopping power":

$$\frac{dE}{dx} = \frac{4\pi N z e^4}{m_e v^2} \ln \left( \frac{Z m_e v^2}{I} \right)$$

onde  $I$  é um parâmetro semiempírico. Mencionado a média da energia de excitação. Se a partícula tem carga  ~~$\pm e$~~   $\pm ne$  então trocamos  $ze^4$  por  $n^2 ze^2$ .

Note que  ~~$\vec{q}$~~ <sup>mismo que</sup> a massa da partícula incidente não se liga a massa do altron  ~~$\vec{q}$~~ , a massa  $m_e$  que aparece na fórmula é a massa do altron. Ou seja a fórmula não depende da massa da partícula incidente depende apenas da sua carga e velocidade  $v$ . Isto também aplica-se em direções de partículas carregadas.

Em M.Q. a perda de energia se dá dividida a uma série de espalhamentos inelásticos. Entre cada colisão imaginária, que é medida e normalizada. A trajetória da partícula é feita uma reta por que a soma da carga diferencial tem um pico para  $\vec{q}$  pequeno e logo o momento que se move em uma colisão. Após várias colisões a direção do momento é quase a mesma da <sup>momento</sup> partícula incidente, dividida a perda rápida de  $\frac{1}{q^2} \times F_{\text{nuc}}(q)$  para  $q$  grande.

### O Fator de forma nuclear

A excitação de átomos dividida a espalhamento inelástico é importante para  $q$  entre  $10^3 \text{ cm}^{-1}$  e  $10^{10} \text{ cm}^{-1}$  pois este é o inverso do raio do átomo. Se  $q$  é muito grande as contribuições dividida a  $F_{\text{nuc}}(q)$  cai rápidamente.

Para  $q$  muito grande, ou seja  $q \sim \frac{1}{R_{\text{núcleo}}} \sim 10^{12} \text{ cm}^{-1}$  a estrutura do núcleo se torna importante. O potencial coulombiano do núcleo puntual divide-se trocado pelo potencial coulombiano de um núcleo extenso.

$$-\frac{ze^2}{r} \rightarrow -ze^2 \int d^3x' \frac{N(r')}{|\vec{r} - \vec{x}'|} \quad (7.12.22)$$

onde  $N(r')$  é a distribuição de carga, que é normalizada como

$$\int d^3x' N(r') = 1$$

Em analogia ao que fizemos para o átomo, vamos calcular a transformada de Fourier de (7.12.22)

$$ze^2 \int d^3x \int d^3x' \frac{e^{i\vec{q} \cdot \vec{x}} N(r)}{|\vec{x} - \vec{x}'|} = ze^2 \int d^3x' e^{i\vec{q} \cdot \vec{x}'} N(r) \int d^3x \frac{e^{i\vec{q} \cdot \vec{x}}}{r}$$

mudança de coordenada  
 $\vec{x} \rightarrow \vec{x} + \vec{x}'$

$$= ze^2 \frac{4\pi}{q^2} F_{\text{núcleo}}(\vec{q})$$

onde  $F_{\text{núcleo}}(\vec{q}) = \int d^3x' e^{i\vec{q} \cdot \vec{x}'} N(r')$

Obtémos então o desvio da fórmula de Rutherford dividido ao diametro finito do núcleo.

$$\frac{d\sigma}{dr} = \left( \frac{d\sigma}{dr} \right)_{\text{Rutherford}} |F(\vec{q})|^2$$

Para  $\vec{q}$  pequeno temos

$$F_{\text{núcleo}}(\vec{q}) = \int d^3x \left\{ 1 + i\vec{q} \cdot \vec{x} + -\frac{1}{2} (\vec{q} \cdot \vec{x})^2 \dots \right\} N(r)$$

$\uparrow$   
este termo zero qdo  
integrado dividido dim. espacial

$$\begin{aligned} \int d^3x (\vec{q} \cdot \vec{x})^2 N(r) &= q^2 \int d^3x r^2 (\hat{\vec{q}} \cdot \hat{\vec{r}})^2 N(r) = q^2 \int r^2 \sin \theta d\phi dr \int \cos^2 \theta N(r) \\ &= q^2 \underbrace{\int_{-1}^1 d(\cos \theta) \cos^2 \theta}_{\frac{2}{3}} \int r^2 dr r^2 N(r) 2\pi \\ &= \frac{1}{3} q^2 4\pi \int r^2 dr r^2 N(r) = \frac{1}{3} q^2 \langle r^2 \rangle_{\text{núcleo}} \end{aligned}$$

onde

$$\langle r^2 \rangle_{\text{núcleo}} = \int dr r^2 dr r^2 N(r) = 4\pi \int r^2 dr r^2 N(r)$$

é o raio quadrado médio do núcleo.

Dar

$$F_{\text{núcleo}}(\vec{q}) = 1 - \frac{1}{6} q^2 \langle r^2 \rangle_{\text{núcleo}}$$

Portanto medindo a força de cloque é possível estimar o ~~massa~~ tamanho do núcleo (e também do protão.)

### Espalhamento Coulomb

#### Solução da Hamiltoniana

Consideramos o potencial Coulombiano

$$V(r) = -\frac{z_1 z_2 e^2}{r}$$

para which das partículas de carga  $z_1 e = -z_2 e$ .

A eq. de Schrödinger em 3-D fica

$$\left( -\frac{\hbar^2}{2m} \nabla^2 - \frac{z_1 z_2 e^2}{r} \right) \psi(\vec{r}) = E \psi(\vec{r}) \quad (\underline{E > 0})$$

ou ainda  $(m \neq \text{a massa reduzida } m = \frac{m_1 m_2}{m_1 + m_2})$

$$\left( \nabla^2 + \frac{h^2}{r^2} + \frac{2ze^2}{r} \right) \psi(r) = 0 \quad \left( E = \frac{\hbar^2 k^2}{2m} \right)$$

onde

$$\gamma h = \frac{z_1 z_2 e^2 m}{\hbar^2} \quad \text{ou} \quad \gamma = \frac{z_1 z_2 e^2}{\hbar^2 v} = \alpha \frac{z_1 z_2 c}{v}$$

$$\alpha = \frac{e^2}{hc} = \frac{1}{137.03608} \quad \text{e} \quad mv \approx \hbar = p$$

~~é massa a massa~~

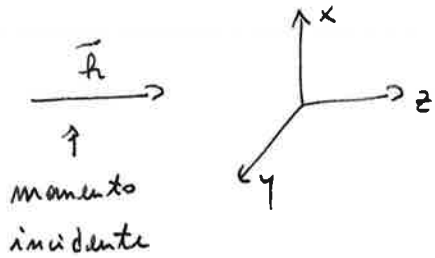
Note que  $\gamma$  positivo corresponde a um potencial atrativo.

Podemos parametrizar a solução como

$$\psi_h(\vec{r}) = e^{i\vec{k} \cdot \vec{r}} \chi(u)$$

onde  $u = i\vec{k} \cdot \vec{r} (1 - \cos \theta) = i\vec{k} \cdot (\vec{r} - \vec{z}) = i\vec{k} \cdot \vec{w}$

e  $\vec{k} \cdot \vec{r} = kz$



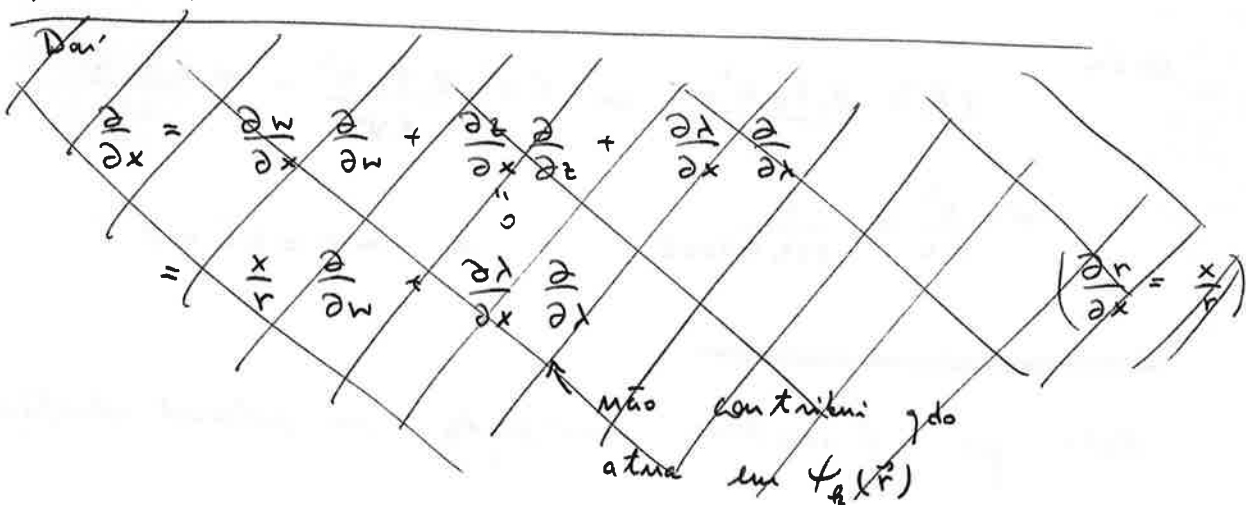
Esta escolha de coordenadas é planar pois

- 1) a solução não deve depender de  $\phi$  devido a simetria axial ~~angular~~
- 2) Como  $\psi_h(\vec{r})$  representa a função da onda total, ou seja onda incidente mais a espalhada, devem existir termos na forma assintótica, com  $e^{i\vec{k} \cdot \vec{r}}$  e  $\frac{e^{i\vec{k} \cdot \vec{r}}}{r}$ .

Na verdade esta parametrização é inspirada nos resultados de Gordon (1928) que mostram as fronteiras de onda assintóticas são dadas pelas superfícies  $k_z + \vec{k} \cdot \vec{r} (1 - \cos \theta) = \text{cte.}$

Vamos escolher as variáveis  $(z, w, \lambda)$  onde  $w = r - z$

e  $\lambda$  é uma variável da qual  $\psi_h(\vec{r})$  não depende como por exemplo  $\phi$ .



Temos então

$$\nabla^2 e^{i\frac{h}{r}z} \chi(u) = e^{i\frac{h}{r}z} \left( \frac{\partial^2}{\partial x^2} + \frac{\partial^2}{\partial y^2} \right) \chi(u) + \frac{\partial^2}{\partial z^2} (e^{i\frac{h}{r}z} \chi(u))$$

Mas

$$\begin{aligned} \frac{\partial^2}{\partial z^2} (e^{i\frac{h}{r}z} \chi(u)) &= \frac{\partial}{\partial z} \left( i\frac{h}{r} e^{i\frac{h}{r}z} \chi(u) + e^{i\frac{h}{r}z} \frac{\partial u}{\partial z} \frac{\partial \chi}{\partial u} \right) \\ &= -h^2 e^{i\frac{h}{r}z} \chi + 2i\frac{h}{r} e^{i\frac{h}{r}z} \frac{\partial u}{\partial z} \frac{\partial \chi}{\partial u} + e^{i\frac{h}{r}z} \frac{\partial}{\partial z} \left( \frac{\partial u}{\partial z} \frac{\partial \chi}{\partial u} \right) \end{aligned}$$

Mas como  $u = i\frac{h}{r}(r-z)$

$$\frac{\partial u}{\partial z} = i\frac{h}{r} \left( \frac{z}{r} - 1 \right) = i\frac{h}{r} (z-r) = -\frac{u}{r}$$

~~$\frac{\partial^2 u}{\partial z^2} = -\frac{1}{r} \frac{\partial u}{\partial z} + \frac{u}{r^2} \frac{z}{r} = \frac{u}{r^2} \left( \frac{z}{r} + \frac{1}{r} \right) = \frac{u}{r^2} (z+r)$~~

Dar

$$\frac{\partial^2}{\partial z^2} (e^{i\frac{h}{r}z} \chi(u)) = e^{i\frac{h}{r}z} \left\{ -h^2 \chi - 2i\frac{h}{r} \frac{u}{r} \frac{\partial \chi}{\partial u} + \frac{u}{r^2} (z+r) \frac{\partial \chi}{\partial u} + \frac{u^2}{r^2} \frac{\partial^2 \chi}{\partial u^2} \right\}$$

Temos assim

$$\begin{aligned} \frac{\partial^2 \chi}{\partial x^2} &= \frac{\partial}{\partial x} \left( \frac{\partial u}{\partial x} \frac{\partial \chi}{\partial u} \right) = \frac{\partial}{\partial x} \left( i\frac{h}{r} \frac{x}{r} \frac{\partial \chi}{\partial u} \right) = i\frac{h}{r} \left( \frac{1}{r} - \frac{1}{r^2} \frac{x^2}{r} \right) \frac{\partial \chi}{\partial u} + \\ &\quad + \left( i\frac{h}{r} \frac{x}{r} \right)^2 \frac{\partial^2 \chi}{\partial u^2} \\ &= \frac{i\frac{h}{r}}{r} \left( 1 - \frac{x^2}{r^2} \right) \frac{\partial \chi}{\partial u} - h^2 \frac{x^2}{r^2} \frac{\partial^2 \chi}{\partial u^2} \end{aligned}$$

Analogamente

$$\frac{\partial^2 \chi}{\partial y^2} = \frac{i\frac{h}{r}}{r} \left( 1 - \frac{y^2}{r^2} \right) \frac{\partial \chi}{\partial u} - h^2 \frac{y^2}{r^2} \frac{\partial^2 \chi}{\partial u^2}$$

Então

$$\begin{aligned}
 \nabla^2(e^{ikz}\chi(u)) &= e^{ikz} \left\{ -\frac{\hbar^2}{r^2} (x^2 + y^2 + (r-z)^2) \frac{\partial^2 \chi}{\partial u^2} + \right. \\
 &\quad \left. + \left[ \frac{i\hbar}{r} \left( z - \frac{(x^2+y^2)}{r^2} - 2u \right) + \underbrace{\frac{u}{r^3}(z+r)}_{\frac{r^2-z^2}{r^2}} \right] \frac{\partial \chi}{\partial u} - \hbar^2 \chi \right\} \\
 &= e^{ikz} \left\{ -\frac{\hbar^2}{r^2} \underbrace{(x^2+y^2+z^2+r^2-2rz)}_{2r(r-z)} \frac{\partial^2 \chi}{\partial u^2} + \frac{i\hbar}{r} \left\{ z-2u \right\} \frac{\partial \chi}{\partial u} - \hbar^2 \chi \right\} \\
 &= e^{ikz} \left\{ 2 \frac{i\hbar}{r} u \frac{\partial^2 \chi}{\partial u^2} + \frac{2i\hbar}{r} (1-u) \frac{\partial \chi}{\partial u} - \hbar^2 \chi \right\}
 \end{aligned}$$

Portanto

$$\left( \nabla^2 + \hbar^2 + \frac{2i\hbar}{r} \right) (e^{ikz}\chi(u)) = \frac{2i\hbar}{r} e^{ikz} \left\{ u \frac{\partial^2 \chi}{\partial u^2} + (1-u) \frac{\partial \chi}{\partial u} - i\gamma \chi \right\} = 0$$

E consequentemente, a eq. de Schrödinger pode ser escrita como

$$u \frac{\partial^2 \chi}{\partial u^2} + (1-u) \frac{\partial \chi}{\partial u} - i\gamma \chi = 0$$

(\*)
(7.13.7)

Vejamos o comportamento das soluções no plano complexo  $u$ . Escrevemos

$$\chi'' + \frac{(1-u)}{u} \chi' - \frac{i\gamma}{u} \chi = 0$$

Vemos que o coeficiente de  $X'$  e  $X$  têm polos simples em  $u=0$ , e são analíticos no resto do plano- $u$  (finito).

Portanto  $X$  pode ter um polo ou "branch point" em  $u=0$ , mas no resto do plano ela não pode ter singularidades.

Mas  $u=0$  implica  $\theta=0$  e nós podemos acituar somente soluções regulares em  $u=0$ . Desta forma nossa solução é um polinômio ou uma função inteira de  $u$ . (funções analíticas em todo o plano finito, - ela pode ser representada por uma série de Taylor com raio de convergência  $\neq$  infinito) ex.  $\theta^2, \cos z$

Vigemos o comportamento no infinito. Denotamos  $w = \frac{1}{u}$   
e dai (\*) fica:

$$\frac{d}{dw} = \frac{du}{dw} \frac{d}{du} = -\frac{1}{w^2} \frac{d}{du} \quad \frac{d^2}{dw^2} = \frac{2}{w^3} \frac{d}{du} + \frac{1}{w^4} \frac{d^2}{du^2}$$

~~mais~~

$$\left\{ \frac{1}{w} \left\{ z w^3 \frac{d}{dw} + w^4 \frac{d^2}{dw^2} \right\} + \left( 1 - \frac{1}{w} \right) \frac{w^2}{w^2} \frac{d}{dw} + z \right\} X = 0$$

$$\frac{d^2X}{dw^2} + \frac{1}{w} \left( z + \frac{1}{w} \right) \frac{dX}{dw} - \frac{z}{w^3} X = 0$$

Os coeficientes de  $X'$  e  $X$  têm polos da ordem mais alta em  $w=0$  ( $u=\infty$ ). Portanto  $X$  tem singularidade essencial em  $u=\infty$ . (uma singularidade essencial é uma singularidade que não é um polo, ponto de ramificações ou singularidade removível se  $\lim_{z \rightarrow \infty} (z-z_0)^m f(z) \neq 0$  se não podemos encontrar um intérvalo positivo  $\Omega$  tal que  $\lim_{z \rightarrow \infty} (z-z_0)^m f(z) = A \neq 0$  ento  $\Omega$  é uma singularidade essencial). logo  $X$  é uma função inteira

Considerem  $\chi$  como transformada da Laplace ~~de~~  $f(t)$

$$\chi(u) = \int_{t_1}^{t_2} e^{ut} f(t) dt$$

onde o contorno de integração não é especificado mais tarde.

Usando (\*)

$$\int_{t_1}^{t_2} dt [ut^2 + ((-u)t - \gamma)] e^{ut} f(t) = 0$$

$$= \int_{t_1}^{t_2} dt f(t) \left[ (t - i\gamma) + t(t-1) \frac{d}{du} \right] e^{ut} =$$

$$= t(t-1) f(t) e^{ut} \Big|_{t_1}^{t_2} + \int_{t_1}^{t_2} e^{ut} \left[ (t - i\gamma) f(t) - \frac{d}{dt} [t(t-1) f(t)] \right] dt$$

onde integraremos por partes em  $u$ .

Portanto se  $f(t)$  satisfizer a eq.

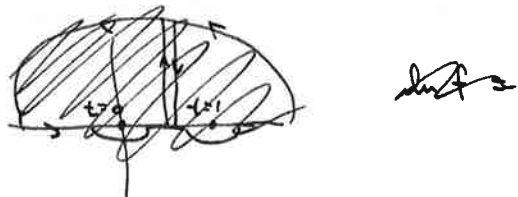
$$\frac{d}{dt} [t(t-1) f(t)] = (t - i\gamma) f(t)$$

e se  $t_1$  e  $t_2$  forem escolhidos da tal forma que o termo da superfície anula-se, obteremos uma solução do problema.

A solução da eq. acima é:

$$(2t-1) f(t) + t(t-1) \frac{df}{dt} = (t - i\gamma) f(t)$$

$$\frac{d \ln f}{dt} = \frac{1-t-i\gamma}{t(t-1)} \Rightarrow \ln f = \int dt \frac{1-t-i\gamma}{t(t-1)}$$



1 dar

$$f(t) = A t^{i\gamma-1} (1-t)^{-i\gamma}$$

2 entar

$$\chi(u) = A \int_C e^{ut} t^{i\gamma-1} (1-t)^{-i\gamma} dt$$

onde  $C$  é fechada, ou entar (termo da superfície)

$$t^{i\gamma} (1-t)^{1-i\gamma} e^{ut}$$

~~tem~~ o mesmo valor em  $t_1, t_2$ . (extremos de  $C$ )

~~Note que o integrando tem ponto de ramificação em  $t=0$ .~~

Note que pela definição de  $u$ ,  $u = i\pi(r-z) = i\pi r(1-\cos z) \in i\mathbb{R}$  onde  $K > 0$ . Daí

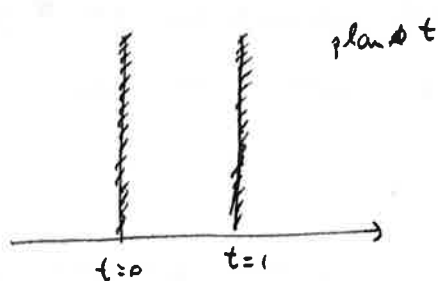
$$e^{ut} \rightarrow e^{ikt}$$

Portanto  $e^{ut} \rightarrow 0$  desde que  $t$  tenha uma parte imaginária positiva e infinita ( $t = a + i\infty$ ). Desta forma qualquer contorno onde os pontos extremos satisfazem  $t_1, t_2 \equiv a + i\infty$  vai ter termo da superfície nulo.

Naturalmente existem vários modos de atingir  $t = a + i\infty$ .

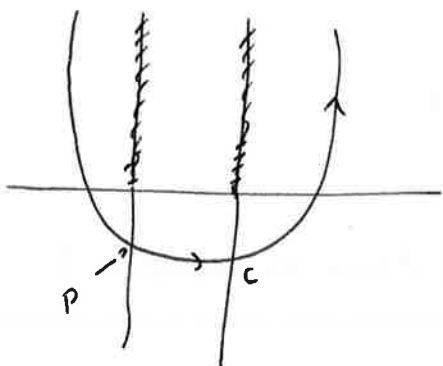
Note que o integrando tem pontos de ramificação em  $t=0$  e  $t=1$ .

Podemos colocar os contornos como



Poderíamos tomar  $C$  começando em  $a + i\infty$  contorno um dos contornos e voltar  $a + i\infty$ . Cada uma dessas duas rotações formam soluções independentes de  $\chi$  conhecidas como funções de Whittaker.

Vemos que a solução apropriada para o caso de resplandor é aquela onde  $C$  contém os dois zeros.



A solução fica mais fácil se fizermos a substituição

$$s = u t$$

Dai

$$\begin{aligned} \chi(u) &= A \int_C e^s \left(\frac{s}{u}\right)^{i\gamma-1} \left(1 - \frac{s}{u}\right)^{-i\gamma} \frac{ds}{s} \\ &= A \int_C e^s s^{i\gamma-1} (u-s)^{-i\gamma} ds \end{aligned}$$

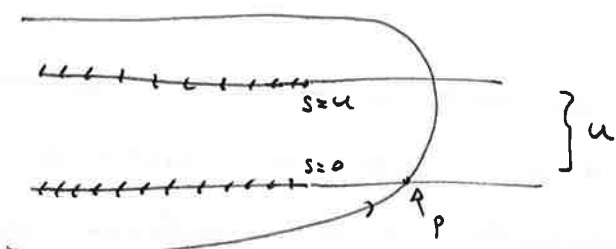
Nota que esta função, como fizermos, é regular em  $u=0$

$$\chi(0) = (-1)^{-i\gamma} A \int e^s s^{-1} ds = (-1)^{-i\gamma} 2\pi i A$$

Vamos ver o comportamento da  $\chi$  p/  $u \rightarrow \infty$ .

Nota que valores grandes de  $u$  não são garantidos por  $\theta \approx 0^\circ$ , uma vez que  $u$  é sempre muito maior que  $r$ .

No plano  $s$  o contorno  $C$  é fixo



(Nota que havia uma notação para  $u = ik$  ( $k > 0$ ))

Note que para usos os dois contornos vão ficar infinitamente separados. Na parte inferior do contorno temos

$$s = - (s_0 \pm i\epsilon)$$

e dar  $\frac{1}{u}$  a ~~um~~ pequeno ( $\frac{1}{u} = -\frac{(s_0 \pm i\epsilon)}{ik}$ ) Podemos então expandir  $(u-s)$  em potências de  $\frac{1}{u}$

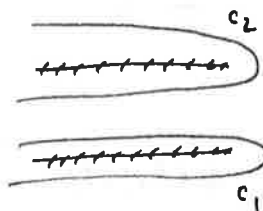
Na parte superior temos



$$s = -s_0 + i(k \pm \epsilon)$$

e dar  $\frac{1}{u} = 1 - \frac{(s_0 \pm i\epsilon)}{k} \xrightarrow{k \rightarrow \infty} 1$  logo não podemos expandir em potências de  $\frac{1}{u}$ .

Deformamos  $C$  em dois ~~uma~~ contornos  $C_1$  e  $C_2$



Fazemos então a troca de variáveis  $s \rightarrow s-u$  no contorno  $C_2$ . Desta forma  $C_2$  vai em  $C_1$  e podemos expandir em potências de  $\frac{1}{u}$  onde  $s' = s-u$ . Daí

$$\begin{aligned} \chi(u) &= A \int_{C_1} e^s s^{i\gamma-1} (u-s)^{-i\gamma} ds + A \int_{C_1} e^{s+u} (s+u)^{i\gamma-1} (-s)^{-i\gamma} ds \\ &= A u^{-i\gamma} \int_{C_1} e^s s^{i\gamma-1} \left(1 - \frac{s}{u}\right)^{-i\gamma} ds + A e^u u^{i\gamma-1} (-1)^{-i\gamma} \int_{C_1} e^s \left(1 + \frac{s}{u}\right)^{i\gamma-1} s^{-i\gamma} ds \end{aligned}$$

O termo dominante ~~substituindo~~ quando  $s_u \rightarrow 0$  ( $u \rightarrow \infty$ ) é

$$\chi(u) \sim 2\pi i A [u^{-i\gamma} g_1(\gamma) + (-u)^{i\gamma-1} e^u g_2(\gamma)]$$

onde

$$2\pi i g_1(\gamma) = \int_{C_1} e^s s^{i\gamma-1} ds$$

$$2\pi i g_2(\gamma) = \int_{C_1} e^s s^{-i\gamma} ds$$

Integrando por partes obtemos

$$\begin{aligned}
 2\pi i g_2(\gamma) &= \int_{c_1} e^s s^{-i\gamma} ds = \int_{c_1} \frac{d}{ds} e^s s^{-i\gamma} ds = \\
 &= e^s s^{-i\gamma} \Big|_{-\infty - i\epsilon}^{-\infty + i\epsilon} - i \int_{c_1} (-i\gamma) e^s s^{-i\gamma - 1} ds \\
 &= i\gamma 2\pi i g_1^*(\gamma)
 \end{aligned}$$

Como  $u^* = -u$  temos

$$\begin{aligned}
 \chi(u) &\approx 2\pi i A u^{-i\gamma} g_1(\gamma) \left[ 1 + \frac{(u^*)^{i\gamma}}{u^{-i\gamma}} \frac{g_1^*(\gamma)}{g_1} i\gamma \frac{e^u}{u} \right] \\
 &= 2\pi i A u^{-i\gamma} g_1(\gamma) \left[ 1 + e^{i\phi(k, u, \gamma)} i\gamma \frac{e^u}{u} \right]
 \end{aligned}$$

onde

$$\frac{(u^*)^{i\gamma}}{u^{-i\gamma}} \frac{g_1^*(\gamma)}{g_1(\gamma)} = \frac{\overline{[u^{-i\gamma} g_1(\gamma)]^*}}{\overline{u^{-i\gamma} g_1(\gamma)}} = e^{i\phi(k, u, \gamma)}$$

Usando

$$\begin{aligned}
 (u^*)^{i\gamma} &= (-u)^{i\gamma} = (-i)^{i\gamma} [h(r-z)]^{i\gamma} = (e^{-i\pi/2})^{i\gamma} e^{i\gamma \ln h(r-z)} \\
 &\quad \text{(*)} \\
 &= e^{\frac{\pi}{2}\gamma} e^{i\gamma \ln h(r-z)}
 \end{aligned}$$

$$(u)^{-i\gamma} = (i^{-1})^{i\gamma} [h(r-z)]^{-i\gamma} = e^{\frac{\pi}{2}\gamma} e^{-i\gamma \ln h(r-z)}$$

Como

$$\psi = e^{ikt} \chi(u)$$

$$\Psi = 2\pi i A g_1(r) e^{i\frac{\pi}{2}} \left[ e^{i[fz - \gamma \ln f(r-z)]} + \frac{g_1^*(r)}{g_1(r)} e^{ifz} e^{-i\gamma \ln f(r-z)} e^{2i\gamma \ln f(r-z)} i\gamma \frac{e^{if(r-z)}}{i f(r-z)} \right]$$

É a função de onda normalizada, resendo

$$u = ifr(1 - \cos\theta) = if(r-z) = 2ifr \sin^2 \frac{\theta}{2}$$

fica

$$\Psi = \frac{1}{(2\pi)^{3/2}} \left[ e^{i[fz - \gamma \ln f(r-z)]} + \frac{g_1^*(r)}{g_1(r)} \frac{\gamma}{2fr \sin^2 \frac{\theta}{2}} \frac{e^{i(fr + \gamma \ln f(r-z))}}{r} \right]$$

Escrivendo na forma ~~usual~~

~~$\Psi = \frac{1}{(2\pi)^{3/2}} \left[ e^{i[fz - \gamma \ln f(r-z)]} + f_c(f, \theta) \frac{e^{i(fr + \gamma \ln f(r-z))}}{r} \right]$~~

$$\Psi = \frac{1}{(2\pi)^{3/2}} \left\{ e^{i[fz - \gamma \ln f(r-z)]} + f_c(f, \theta) \frac{e^{i[fr + \gamma \ln 2fr]}}{r} \right\}$$

obtemos que

$$f_c(f, \theta) = \frac{\gamma e^{i[\theta(r) + 2\gamma \ln(\sin \frac{\theta}{2})]}}{2fr \sin^2 \frac{\theta}{2}}$$

$$e^{i\theta(r)} = \frac{g_1^*(r)}{g_1(r)}$$

A seguir da solução diferencial fica entao

$$\frac{d\sigma}{d\Omega} = |f(k, \theta)|^2 = \frac{\gamma^2}{4 k^2 \sin^2 \theta/2} \quad (\gamma = \frac{z_1 z_2 e^2}{k r})$$

que é a fórmula da Rutherford (que já obtivemos em (7.2.11))

O método das ondas parciais para o caso do Coulomb

Da (7.13.4) e (7.13.19) temos:

$$\begin{aligned} \psi(\vec{r}) &= e^{i\vec{k}\cdot\vec{r}} \chi(u) \\ &= A e^{i\vec{k}\cdot\vec{r}} \int_c e^{iut} t^{i\gamma-1} (1-t)^{-i\gamma} dt \\ &= A \int_c e^{i\vec{k}\cdot\vec{r}} e^{i\vec{k}(r-z)t} (1-t) d(t, \gamma) dt \\ &= A \int_c e^{i\vec{k}rt} e^{i\vec{k}\cdot\vec{r}(1-t)} (1-t) d(t, \gamma) dt \end{aligned}$$

onde  $\vec{k} \cdot \vec{r} = kz$

$$d(t, \gamma) = t^{i\gamma-1} (1-t)^{i\gamma-1}$$

Nós queremos fazer a expansão de  $\psi(r)$  em ondas parciais da maneira análoga ao que fizemos anteriormente.

~~Entretanto~~ ~~observamos~~ Esta decomposição não é de muito uso no esquematismo Coulomb mas é essencial para determinar funções de onda no espetro discrete por contínuas analíticas. É também útil no estudo de potenciais que diferem muito pouco do potencial Coulombiano

a grandes distâncias como por ex. esparlhamento protôn - protôn.

Nós expandimos  $e^{i\vec{k}\cdot\vec{r}(1-t)}$  em termos dos esféricos harmônicos da maneira análoga a (7.5.17)

$$e^{i\vec{k}\cdot\vec{r}(1-t)} = \sum_{l=0}^{\infty} (2l+1) i^l j_l(kr(1-t)) P_l(\cos\theta)$$

o que dará

$$\begin{aligned} f(\vec{r}) &= A \int_C e^{ikrt} \sum_{l=0}^{\infty} (2l+1) i^l j_l(kr(1-t)) P_l(\cos\theta) (1-t) d(t, \gamma) dt \\ &= \sum_{l=0}^{\infty} (2l+1) i^l P_l(\cos\theta) A_l(kr) \end{aligned}$$

onde

$$A_l(kr) = A \int_C e^{ikrt} j_l(kr(1-t)) (1-t) d(t, \gamma) dt$$

Nota que somente  $Y_{l=0} \propto P_l(\cos\theta)$  aparece no resultado para

$f(\vec{r})$  é independente de  $\varphi$ .

Mas  $j_l = \frac{1}{2} (h_l^{(1)} + h_l^{(1)*})$  onde  $h_l^{(1)}$  são as funções esféricas de Hankel. Temos

$$h_l(\rho) = E_l(\rho) \frac{e^{ip}}{\rho}$$

onde

$$E_0(\rho) = -i$$

$$E_1(\rho) = -\left(1 + \frac{i}{\rho}\right)$$

$$E_2(\rho) = i \left(1 + \frac{3i}{\rho} - \frac{3}{\rho^2}\right)$$

e o comportamento assintótico é

$$E_l(\rho) = (-i)^{l+1} + O(\rho^{-1}) \quad (\rho \rightarrow \infty)$$

Escrevemos então

$$A_\lambda(\text{fr}) = A_\lambda'''(\text{fr}) + A_\lambda^{(2)}(\text{fr})$$

$\uparrow$   
Contribuições  
 $d\gamma$   
 $h_1$

$\uparrow$   
Contribuições  
 $d\gamma$   
 $h_2$

Temos

$$e^{i\text{fr}t} e^{i\text{fr}(1-t)} = e^{i\text{fr}t}$$

$$e^{i\text{fr}t} \bar{e}^{-i\text{fr}(1-t)} = \bar{e}^{-i\text{fr}t} e^{-i\text{fr}t}$$

e daí

$$A_\lambda'''(\text{fr}) = \frac{A e^{i\text{fr}t}}{2\text{fr}} \int_C E_\lambda(\text{fr}(1-t)) d(t, \gamma) dt$$

Para  $|t| \rightarrow \infty$  temos  ~~$d(t, \gamma) \sim t^{-2}$~~

$$d(t, \gamma) = t^{i\gamma-1} (1-t)^{-i\gamma-1} \rightarrow t^{i\gamma-1} \sim t^{-i\gamma-1} \sim t^{-2}$$

daí  $d(t, \gamma) \xrightarrow{|t| \rightarrow \infty} t^{-2}$

e ainda

$$E_\lambda(\text{fr}(1-t)) \Rightarrow E(-\text{fr}t)$$

Como  $E_\lambda$  depende de potências negativas do argumento temos que

$$E_\lambda \rightarrow 1 \quad (\text{an}) \quad \text{para } |t| \rightarrow \infty$$

Desta forma as singularidades do integrando de  $A_\lambda'''$  são os polos de  $E_\lambda$  ficando um  $t=0$  (dividido a  $d(t, \gamma)$ ) e polos positivos de  $E_\lambda$  quando seu argumento anula-se.

Nós fechamos o contorno  $C$  (de  $A_\lambda'''$ ) da seguinte forma

Nós queremos determinar os estados ligados por contínuas analíticas de  $A_\ell(k, r)$  para o eixo real imaginário positivo de  $k$ . Isto somente pode ser feito se tivermos uma representação de funções que revele suas propriedades analíticas na variável  $k$ . Precisamos fazer entrar a integral em  $t$ . Isto pode ser feito expandindo-se  $e^{ikrt} f_\ell(kr(1-t))$  em séries de potências. Como este é uma função inteira a série converge no plano todo com exceção do ponto no infinito.

~~Escrevemos~~ A expansão em série de  $f_\ell(z)$  é dada por

$$f_\ell(z) = z^\ell z^l e^{iz} \sum_{v=0}^{\infty} \frac{(l+v)!}{(2l+1+v)!} \frac{(-2iz)^v}{v!}$$

que é válida no plano todo. (finito).

Substituindo na expressão de  $A_\ell$  temos:

$$A_\ell(k, r) = A \int_C \frac{e^{ikrt}}{t^{i\gamma-1}} \frac{(1-t)^{-i\gamma-1}}{z^\ell} z^l (kr(1-t))^l \frac{e^{ikr(1-t)}}{\sum_{v=0}^{\infty} \frac{(l+v)!}{(2l+1+v)!} \frac{(-2ikr(1-t))^v}{v!}} dt$$

$$= A z^\ell (kr)^l e^{ikr} \sum_{v=0}^{\infty} \frac{(l+v)!}{(2l+1+v)!} \frac{(-2ikr)^v}{v!} \int_C dt t^{i\gamma-1} (1-t)^{-i\gamma+v+l}$$

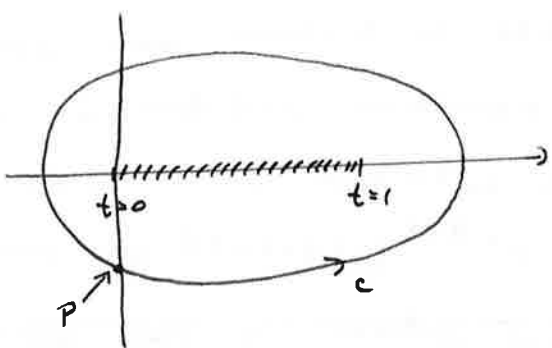
Portanto a integral em  $t$  que temos que resolver é da forma

$$\int_C t^{a-1} (1-t)^{b-1} dt \quad \text{onde } a+b \text{ é um número inteiro.}$$

$$(a = i\gamma, b = -i\gamma + v + l + 1)$$

O integrando tem poles da ramificação em  $t=0$  e  $t=1$ .

Podemos então escolher o contorno  $C$  como



Escolhemos a fase de  $t$  no ponto  $P$  (indicado) como sendo nula.

Obtemos então:

$$\int_C t^{a-1} (1-t)^{b-1} dt = (1 - e^{2\pi i \lambda b}) \int_0^1 t^{a-1} (1-t)^{b-1} dt \\ = (1 - e^{2\pi i \lambda b}) \frac{\Gamma(a)\Gamma(b)}{\Gamma(a+b)}$$

Desta forma:

$$A_\lambda(k, r) = A z^k (kr)^{\lambda} e^{ikr} \sum_{v=0}^{\infty} \frac{(k+v)!}{(2k+1+v)!} \frac{(-2ikr)^v}{v!} (1 - e^{2\pi i \lambda}) \times \\ \times \frac{\Gamma(i\lambda) \Gamma(k+v+1-i\lambda)}{\Gamma(k+v+1)}$$

~~Só para desenhar~~

No verdade  $A_\lambda$  é dado por uma função hipergeométrica confluente

$$A_\lambda(k, r) \propto \Gamma(k+1, -i\lambda) {}_1F_1(k+1-i\lambda, 2k+2, -2ikr)$$

anda

$$F_1(l+1, -i\gamma, 2l+2, -2i\hbar r) = 1 + \frac{l+1-i\gamma}{2l+2} \frac{(-2i\hbar r)}{1!} + \\ + \frac{(l+1-i\gamma)(l+2-i\gamma)}{(2l+2)(2l+3)} \frac{(-2i\hbar r)^2}{2!} + \dots$$

Esta série de potência em  $\hbar r$  converge ~~para todo~~<sup>para todo</sup> plano finito para e para todos os valores da  $\gamma$ .

Logo as singularidades da  $A_\ell(\hbar, r)$  ser divididas a

$$\Gamma(l+1, i\gamma)$$

A função  $\Gamma$  tem polos simples sempre que o seu argumento  $i\gamma$  é um intuito negativo ou zero.

~~desse tipo~~

Os polos ocorrem somente para  $\gamma > 0$ , ou seja para um potencial atativo ~~atrativo~~. Estes polos correspondem a estados ligados. Como

$$\gamma = \frac{z_1 z_2 e^2 m}{t^2 \hbar}$$

Vemos que, para  $i\gamma$  ser intuito e positivo teremos que  $z_1 z_2 e^2 m < 0$ . Vemos que os polos ocorrem para valores imaginários puros da  $\hbar$ .

Temos então

$$l+1-i\gamma = -m' \quad m' = 0, 1, 2, \dots$$

Vemos então que os valores da energia

$$E = \frac{\hbar^2 \hbar^2}{2m}$$

Set dadas por

$\hbar \rightarrow iK$

$$E = -\frac{\hbar^2 K^2}{2m}$$

$$-i\hbar = K = \frac{z_1 z_2 e^2 m}{\hbar^2 i Y} = \frac{z_1 z_2 e^2 m}{\hbar^2 (n' + l + 1)}$$

$$E = -\frac{\hbar^2}{2m} \left( \frac{z_1 z_2 e^2 m}{\hbar^2} \right)^2 \frac{1}{(n' + l + 1)^2}$$

$$E = -\left( \frac{z_1 z_2 e^2}{\hbar c} \right)^2 \frac{m c^2}{2(n' + l + 1)^2}$$

e esta é a fórmula de Bohr para os níveis de energia do átomo de hidrogênio. Definimos o nível quantitativo principal como

$$n = n' + l + 1$$

e temos então a energia independente do momento angular que níveis com momentos angulares diferentes podem ter a mesma energia.

Na fórmula temos a constante adimensional

$$\alpha \equiv \frac{e^2}{\hbar c} = \frac{1}{137.07}$$

que é a constante de estrutura fina

$$\text{Como } E \sim \alpha^2 \frac{m c^2}{n^2}$$

Vemos que a energia da ligação é proporcional ao quadrado da massa do repouso do elétron. Isto permite-nos usar uma teoria não relativística. Se a força grande é tanta vez que não seria possível

~~Concentração e função de onda a dada por~~

Um fato que nos distinguemos um muito detalhe aqui, é que o resultado da  $A_1(r, r)$  nos polos dissociados acima é a função de onda radial dos estados ligados.

No caso do átomo de H temos  $z_1 = z_2 = 1$  e daí fazemos a mudança de variável

$$-2iz_1\hbar r \rightarrow \frac{2r e^2 m}{\pi^2 \hbar^2} = \frac{2r}{a_0 m}$$

onde  $a_0 = \frac{\pi^2}{e^2 m}$  é o raio de Bohr.

Daí o resultado da  $A_1$  fica

$$\left(\frac{2r}{a_0 m}\right)^l e^{-r/a_0 m} {}_1 F_1(-m', 2l+2, 2r/a_0 m) = \\ = \left(\frac{2r}{a_0 m}\right)^l e^{-r/a_0 m} \left\{ 1 + \frac{(-m')}{2l+2} \left(\frac{2r}{a_0 m}\right) + \frac{1}{2!} \frac{(-m')(1-m')}{(2l+2)(2l+3)} \left(\frac{2r}{a_0 m}\right)^2 + \dots \right\}$$

No caso do milho tem carga 2 trocamos ao pôr  $\frac{a_0}{2}$ .

A expressão entre colchetes é na verdade um polinômio para o qual temos uma vez que  $m'$  é intérino positivo.

Estes são os polinômios de Laguerre.

A forma assintótica da função de onda radial é então

$$\left(\frac{2r}{a_0 m}\right)^l \left(\frac{2r}{a_0 m}\right)^{m'} e^{-r/a_0 m} = \left(\frac{2r}{a_0 m}\right)^{m'-1} e^{-r/a_0 m}$$

uma vez que o grau do polinômio é  $+m'$  e  $m' = l + m' + 1$

Nota que a função do estado ligado decai mais devagar que

$\frac{e^{-r}}{r}$  que é a característica de estados ligados de potências de alcance finito. Isto é o análogo no estado ligado do

Termo logarítmico no fator da função de onda assintótica do espalhamento Coulomb

Usando a notação  $R_{nlm}(r)$  para a função radial onde  $n = 0$  é o quadrado principal e  $l = 0$  o quadrado de momento angular temos para os estados mais baixos:

Camada K ( $n=1$ )

$$1s: R_{10} = \left(\frac{z}{a_0}\right)^{3/2} 2 e^{-1/2\rho} \quad \rho = \frac{2\pi r}{ma_0} \quad (\text{Nota que } \rho \text{ muda com } n)$$

Camada L ( $n=2$ )

$$2s \quad R_{20} = \left(\frac{z}{a_0}\right)^{3/2} \frac{1}{2\sqrt{2}} (z - \rho) e^{-1/2\rho}$$

$$2p \quad R_{21} = \left(\frac{z}{a_0}\right)^{3/2} \frac{1}{2\sqrt{6}} \rho e^{-\rho/2}$$

Camada M ( $n=3$ )

$$23s \quad R_{30} = \left(\frac{z}{a_0}\right)^{3/2} \frac{1}{9\sqrt{3}} (6 - 6\rho + \rho^2) e^{-\rho/2}$$

$$3p \quad R_{31} = \left(\frac{z}{a_0}\right)^{3/2} \frac{1}{9\sqrt{6}} (4 - \rho) \rho e^{-\rho/2}$$

$$3d \quad R_{32} = \left(\frac{z}{a_0}\right)^{3/2} \frac{1}{9\sqrt{30}} \rho^2 e^{-\rho/2}.$$

## A equação de Dirac

Até agora nós trabalhamos com uma teoria não relativística.

Isto é uma teoria invariante por transformações de Galileu.

Vamos então agora uma teoria relativística., ou seja que ~~apenas~~ descreva partículas a altas velocidades.

Não vamos nos preocupar com a Teoria Geral de Relatividade pois a gravitação não é importante em fenômenos atômicos.

Vamos ver como os princípios da M.Q. podem ser adaptados à relatividade onde as quatro dimensões espaço-tempo devem ser tratadas ~~se~~ ~~se~~ em "p" da qualdade.

- O princípio da superposição só satisfaz os Princípios da relatividade num  $\mathbb{M}$  que ele se aplique a estados com o significado relativístico de espaço-tempo
- O conceito de observáveis no entanto não se enquadra nos princípios da relatividade, num  $\mathbb{M}$  que uma observável possa envolver entre físicos separados no espaço e um dado instante do tempo.  
Como consequência se trabalhamos com uma representação referente a um conjunto completo de observáveis a teoria não pode ter a simetria entre espaço e tempo requerida pela relatividade.  
Na M.Q. relativística temos que ter uma representação que tenha esta simetria.

No caso de uma partícula temos que usar a representação de Schrödinger para ter a simetria entre espaço e tempo requerida pela relatividade.

Vamos usar a notação

~~para~~  $x_0, x_1, x_2, x_3$  para  $x, y, z$  e  $t$  respectivamente

A função de onda será denotada por  $\psi(x_0, x_1, x_2, x_3)$ . e forma uma base para tratar os outros  $x'$ s da mesma maneira.

Denotaremos os  $x'_i$  por  $x_\mu$  ~~se~~  $\mu = 0, 1, 2, 3$ .

Qualquer vetor ~~que~~ é transformado como  $dx_\mu$  por  $a_\mu$ .

A matriz é tal que

$$a^0 = a_0, \quad a^i = -a_i, \quad i = 1, 2, 3$$

$a^\mu$  - covariante  $a_\mu$  - contravariante

e dar

$$a_\mu b^\mu = a^\mu b_\mu = a_0 b_0 - a_1 b_1 - a_2 b_2 - a_3 b_3$$

Definimos

$$g^{\mu\nu} = \begin{pmatrix} 1 & & & \\ & -1 & & \\ & & -1 & \\ & & & -1 \end{pmatrix}$$

$$a^\mu = g^{\mu\nu} a_\nu$$

Na representação de Schrödinger o momento linear é dado pelo operador

$$P_r = i\hbar \frac{\partial}{\partial x_r}$$

Os operadores

~~foram~~ ~~foram~~ ~~foram~~ ~~foram~~ componentes de um quadrivector.

contravariantes

Definimos então

$$P_\mu = i\hbar \frac{\partial}{\partial x^\mu}$$

Introduzimos então uma nova variável dinâmica  $P_0$ , que é o operador  $i\hbar \frac{\partial}{\partial x_0} = i\hbar \frac{\partial}{\partial t}$ .

Como isto é a componente temporal da  $P_n$  ela deve ter o significado física de uma energia dividida por  $c$ .

A equação de onda para o elétron

Vamos tratar primeiramente o problema de um elétron livre, isto é, na ausência de campo eletromagnético. Mas levaremos em conta a possibilidade de ter graus de liberdade internos extras.

A Hamiltoniana clássico relativística para o elétron é

$$H = c(m^2c^2 + p_x^2 + p_y^2 + p_z^2)^{1/2}$$

Daí substituindo os operadores temos a equação de onda:

$$\{P_0 - (m^2c^2 + p_1^2 + p_2^2 + p_3^2)^{1/2}\} \psi = 0 \quad (5)$$

Este equação, apesar de levar em conta a expressão relativística para a energia, não é satisfatório do ponto de vista da relatividade pois trata  $p_0$  e  $p_r$  ( $r=1,2,3$ ) da maneira diferente. Desta forma nós podemos generalizá-la para o caso onde há um campo presente.

Se a multiplicarmos pelo operador

$$P_0 + (m^2c^2 + p_1^2 + p_2^2 + p_3^2)^{1/2},$$

nós obtemos a equação

$$\{P_0^2 - m^2c^4 - p_1^2 - p_2^2 - p_3^2\} \psi = 0 \quad (6)$$

Esta eq. tem uma forma relativisticamente invariantes e talvez sirva para uma MQ relativística.

Eq (6) não é equivalente a (5) pois embora toda solução de (5) seja solução de (6) nem toda solução de (6) é solução de (5).

Somente as soluções de (6) para um valor positivo de  $p_0$  são soluções de (5).

A eq (6) no entanto não é da forma que os princípios da mecânica quântica exigem.

Nós assumimos que o estado da partícula em uma dada instante do tempo  $t_0$ , i.e.  $|x, t_0\rangle$  determina, a menos de um fator numérico, o estado em um tempo posterior  $t$ , i.e.  $|x, t\rangle$

$$|x, t_0\rangle \text{ determina } |x, t\rangle \quad t > t_0$$

Desta forma a equação de movimento para  $|x, t\rangle$  deve ser linear nas derivadas temporais.

Se usarmos a quadrática nós precisamos especificar

$$|x, t_0\rangle \text{ e } \frac{d}{dt}|x, t_0\rangle \text{ em } t_0 \text{ para determinar } |x, t\rangle$$

Isto que diga que  $|x, t_0\rangle$  não determina completamente o estado da partícula em  $t_0$ .

---

Neste caso poderíamos postular que o estado da partícula não é dado pela função da onda e somente mas duas funções  $\psi$  e  $\frac{d\psi}{dt}$  ou então pelas combinações lineares.

$$\phi = + + \frac{it}{mc^2} \frac{\partial \psi}{\partial t} \quad , \quad \chi = + - \frac{it}{mc^2} \frac{\partial \psi}{\partial t} \Rightarrow \begin{pmatrix} \frac{\phi + \chi}{2} = + \\ \frac{\phi - \chi}{2i} = \frac{2it}{mc^2} \frac{\partial \psi}{\partial t} \end{pmatrix}$$

A eq (6) pode ser escrita como

$$-\frac{t^2}{c^2} \frac{\partial^2 \psi}{\partial t^2} + t^2 \nabla^2 \psi - m^2 c^2 \psi = 0$$

ou ainda

$$\frac{\partial^2 \psi}{\partial t^2} = c^2 \nabla^2 \psi - \frac{m^2 c^4}{t^2} \psi$$

Desta vez deduzimos a 1.º diferencial para  $\phi$  e  $\chi$

$$\frac{\partial \phi}{\partial t} = \frac{\partial \psi}{\partial t} + \frac{it}{mc^2} \frac{\partial^2 \psi}{\partial t^2} = \frac{mc^2}{2it} (\phi - \chi) + \frac{it}{2m} \left\{ \nabla^2 - \frac{m^2 c^2}{t^2} \right\} (\phi + \chi)$$

$$\frac{\partial \chi}{\partial t} = \frac{\partial \psi}{\partial t} - \frac{it}{mc^2} \frac{\partial^2 \psi}{\partial t^2} = \frac{mc^2}{2it} (\phi - \chi) - \frac{it}{2m} \left\{ \nabla^2 - \frac{m^2 c^2}{t^2} \right\} (\phi + \chi)$$

ou seja

$$\frac{\partial \phi}{\partial t} = \left[ \frac{it}{2m} \nabla^2 + \frac{mc^2}{it} \right] \phi + \frac{it}{2m} \nabla^2 \chi$$

$$\frac{\partial \chi}{\partial t} = - \left[ \frac{it}{2m} \nabla^2 + \frac{mc^2}{it} \right] \chi - \frac{it}{2m} \nabla^2 \phi$$

ou ainda

$$\left\{ \begin{array}{l} it \frac{\partial \phi}{\partial t} = \left[ -\frac{t^2}{2m} \nabla^2 + mc^2 \right] \phi - \frac{t^2}{2m} \nabla^2 \chi \\ -it \frac{\partial \chi}{\partial t} = \left[ -\frac{t^2}{2m} \nabla^2 + mc^2 \right] \chi + \frac{t^2}{2m} \nabla^2 \phi \end{array} \right.$$

No limite de baixas ~~velocidades~~<sup>velocidades</sup> (mas relativística) temos que a energia é praticamente a soma massa da partícula, ou seja

268

$$-\frac{t^2}{2m} \partial^2 \equiv p^2 \ll mc^2$$

e daí

$$\begin{aligned} it \frac{\partial \psi}{\partial t} &= mc^2 \psi - \frac{t^2}{2m} \partial^2 \psi \\ -it \frac{\partial \psi}{\partial t} &= +mc^2 \psi + \frac{t^2}{2m} \partial^2 \psi \end{aligned} \Rightarrow it \frac{\partial(\psi + \chi)}{\partial t} = -\frac{t^2}{2m} \partial^2 (\psi + \chi)$$

e  $\psi + \chi = \Psi$  descreve uma partícula mas relativística, livre.

Outro problema relacionado a eq (6) é a interpretação probabilística. Colocando  $t=c=1$  a eq (6) fica

$$(\nabla + m^2) \Psi = 0 \quad \nabla \equiv \partial_{\vec{r}} \partial^{\vec{r}} \text{ [vezes].}$$

Definimos

$$\mathcal{J}^{\mu} = \frac{i}{2m} [\Psi^* \partial^{\mu} \Psi - (\partial^{\mu} \Psi^*) \Psi]$$

Como  $\Psi$  e  $\Psi^*$  satisfazem (6) temos

$$\partial_{\mu} \mathcal{J}^{\mu} = \frac{i}{2m} [(\partial_{\mu} \Psi^*) \partial^{\mu} \Psi + \Psi^* \nabla \Psi - (\nabla \Psi^*) \Psi - (\partial^{\mu} \Psi^*) \partial_{\mu} \Psi]$$

$$\text{ou seja } \partial_{\mu} \mathcal{J}^{\mu} = 0$$

que é uma expressão de continuidade (de conservação)

Demostremos

$$P(\vec{r}, t) = \frac{i}{2m} [\Psi^* \frac{\partial \Psi}{\partial t} - \frac{\partial \Psi^*}{\partial t} \Psi]$$

$$\vec{j}(\vec{r}, t) = \frac{1}{2im} [\Psi^* \nabla \Psi - (\nabla \Psi^*) \Psi]$$

a quantidade  $P(\vec{r}, t)$  integrada no ~~no~~ ~~o~~ espaço ~~todo~~ todo é conservada no tempo. Além do mais

$$P(\vec{x}, t) d^3x$$

é invariante por transformações de Lorentz.

Logo  $P(r, t)$  poderia ser interpretada como a densidade da probabilidade. No entanto ela não é positiva definida.

Existe um dos problemas da teoria de Klein Gordon.

Em 1934 Pauli, Weisskopf propuseram que  $P$  fosse multiplicada por  $e$  e a quantidade  $eP$  fosse interpretada como uma densidade de carga elétrica. (e é sua a densidade de corrente elétrica)

Dai  $\partial_\mu \partial^\mu = 0$  é uma equação de conservação da carga elétrica.

~~Resposta: se a Teoria de Klein Gordon admite~~

Em relatividade existe a equivalência entre massa e energia e portanto partículas podem ser criadas quando a energia ultrapassa sua massa de repouso.

De forma que ~~a~~ Teoria Quântica Relativística impõe a possibilidade de não conservar o número de partículas.

Portanto este nega como levados a Teoria Quântica de Campos.

A solução de Klein Gordon portanto é a solução para uma carga elétrica e não para partícula.

Partes de partículas de cargas opostas podem ser criadas mantendo-se a carga elétrica total constante no tempo.

Vamos então tentar encontrar uma equação linear nas derivadas temporais.

Para que isto transforme os conjuntos de Lorentz da maneira simples nós tomamos a linear ~~no~~ no momento  $p_i$ . Assim como  $p_0$  é da forma

$$\{p_0 - \alpha_1 p_1 - \alpha_2 p_2 - \alpha_3 p_3 - \beta\} \psi = 0 \quad (7)$$

onde  $\alpha's$  e  $\beta$  são independentes de  $p_\mu$ .

Como estamos considerando o caso sem interações, todos os pontos do espaço são equivalentes e daí  $\alpha's$  e  $\beta$  devem ser independentes de  $x$ . Eles então deixam algum grau de liberdade extra intuito do elétron. (o spin).

Multiplicando pelo operador  $(p_0 + \alpha_i p_i + \beta)$  para esférica temos

$$(p_0 + \alpha_i p_i + \beta)(p_0 - \alpha_j p_j - \beta) \psi = 0$$

$$\begin{aligned} \{p_0^2 - \underline{p_0 \alpha_i p_i} - \underline{p_0 \beta} + \underline{\alpha_i p_i p_0} - \alpha_i p_i \alpha_j p_j - \\ - \alpha_i p_i \beta + \underline{\beta p_0} - \beta \alpha_i p_i - \beta^2\} \psi = 0 \end{aligned}$$

Para que isso seja significativo (desprezando as interações) temos

Supondo que  $\alpha$  e  $\beta$  comuta com  $p_\mu$ :

$$\{p_0^2 - \frac{1}{2} \sum_{i,j} (\alpha_i \alpha_j + \alpha_j \alpha_i) p_i p_j - (\alpha_i \beta + \beta \alpha_i) p_i - \beta^2\} \psi = 0$$

Também isso significa que eq. 161 é preciso que

$$\alpha_i \alpha_j + \alpha_j \alpha_i = 2 \delta_{ij}$$

$$\alpha_i \beta + \beta \alpha_i = 0$$

$$\beta^2 = m^2 c^2$$

Denotando

$$\beta = \alpha_m m c$$

resumimos estas relações como (nota que existe uma arbitrariedade)  
mais escolha do sinal dos  $\alpha$ 's)

$$\alpha_a \alpha_b + \alpha_b \alpha_a = 2 \delta_{ab} \quad (a, b = 1, 2, 3 \text{ ou } m)$$

Logo os  $\alpha$ 's devem anticomutar e seus quadrados ser 1.

~~¶~~ Desta maneira as soluções de (7) são também soluções de (6)

Supondo que (7) ~~descreve o movimento~~ seja a equação de onda relativística correta para o elétron, nós encontramos algumas dificuldades. A. eq (7) assim como (6) admitem soluções com energia positiva e negativa, e destas maneira não são equivalentes a (5).

~~¶~~ E' claro que soluções de energia negativa não correspondem a movimento de elétrons reais. Vamos mais tarde como interpretar isto. Vamos nos concentrar nas energias positivas.

Representação para os  $\alpha$ 's

Os  $\alpha$ 's têm propriedades similares aquelas das matrizes  $\sigma$  de Pauli. No entanto se ficiarmos trabalhando com matrizes  $2 \times 2$  podemos construir no máximo 3 matrizes que anticomutam.

Temos que utilizar matrizes  $4 \times 4$  para obter 4  $\alpha$ 's que anticomutam.

Vamos expressar os  $\alpha$ 's em termos de dois conjuntos de três matrizes  $2 \times 2$  que anticomutam entre si.

As matrizes de Pauli são

$$\sigma_1 = \begin{pmatrix} 0 & 1 \\ 1 & 0 \end{pmatrix} \quad \sigma_2 = \begin{pmatrix} 0 & -i \\ i & 0 \end{pmatrix} \quad \sigma_3 = \begin{pmatrix} 1 & 0 \\ 0 & -1 \end{pmatrix}$$

que satisfazem

$$\sigma_i \sigma_j + \sigma_j \sigma_i = 2 \delta_{ij}$$

Definimos matrizes  $4 \times 4$  como

$$\Sigma_1 = \begin{pmatrix} \sigma_1 & 0 \\ 0 & \sigma_1 \end{pmatrix} \quad \Sigma_2 = \begin{pmatrix} \sigma_2 & 0 \\ 0 & \sigma_2 \end{pmatrix} \quad \Sigma_3 = \begin{pmatrix} \sigma_3 & 0 \\ 0 & \sigma_3 \end{pmatrix}$$

$$\rho_1 = \begin{pmatrix} 0 & I \\ I & 0 \end{pmatrix} \quad \rho_2 = \begin{pmatrix} 0 & -iI \\ iI & 0 \end{pmatrix} \quad \rho_3 = \begin{pmatrix} I & 0 \\ 0 & -I \end{pmatrix}$$

Como matrizes diagonais comutam entre si temos

$$[\rho_3, \Sigma_i] = 0$$

Temos ainda que

$$\begin{pmatrix} 0 & A \\ B & 0 \end{pmatrix} \begin{pmatrix} C & 0 \\ 0 & C \end{pmatrix} = \begin{pmatrix} 0 & AC \\ BC & 0 \end{pmatrix}, \quad \begin{pmatrix} C & 0 \\ 0 & C \end{pmatrix} \begin{pmatrix} 0 & A \\ B & 0 \end{pmatrix} = \begin{pmatrix} 0 & CA \\ CB & 0 \end{pmatrix}$$

Como  $[A, C] = [B, C] = 0$  obtemos

~~$$[\rho_i, \Sigma_j] = 0$$~~

Note que

$$\Sigma_i = \sigma_i \otimes I \quad \text{e} \quad \rho_i = I \otimes \sigma_i$$

Além do mais temos

$$\{\Sigma_i, \Sigma_j\} = 2 \delta_{ij} \quad \{p_i, p_j\} = 2 d_{ij} \quad i, j = 1, 2, 3$$

Deixando forma mais simples de representar os  $\alpha'$ 's é

$$\alpha_i = p_1 \vec{\epsilon}_i \quad i=1,2,3 \quad \alpha_m = p_3$$

Pois

$$\alpha_i \alpha_j + \alpha_j \alpha_i = p_1 \vec{\epsilon}_i p_1 \vec{\epsilon}_j + p_1 \vec{\epsilon}_j p_1 \vec{\epsilon}_i = \Sigma_i \Sigma_j + \Sigma_j \Sigma_i = 2 \delta_{ij}$$

$$\alpha_m \alpha_i + \alpha_i \alpha_m = p_3 p_1 \vec{\epsilon}_i + p_1 \Sigma_i p_3 = \{p_3, p_1\} \Sigma_i = 0$$

$$\alpha_m^2 = 1$$

Logo

$$\{\alpha_a, \alpha_b\} = 2 \delta_{ab}$$

E' claro que existem várias outras maneiras de representar os  $\alpha'$ 's em termos de  $p_i$  e  $\Sigma_i$ .

Como os  $\alpha'$ 's são matrizes  $4 \times 4$ , vamos falar de um fator de onda do elétron + tem também que ter 4 componentes. Cada componente só tem função da posição.

Vemos que estes graus de liberdade extras estão ligados como spin (que agora duas componentes) e ao positron (e antipartícula do elétron) ou seja coligado de maneira negativa.

Usando a representação dos  $\alpha'$ 's escrevemos a eq (17) como

$$\{p_0 - p_1 \vec{\epsilon} \cdot \vec{p} - p_3 m c\} \psi = 0 \quad (10)$$

E' conveniente introduzir o símbolo

$$\alpha_0 = 1$$

Agora que o índice dos 4 alfas  $\alpha_\mu$  ( $\mu = 0, 1, 2, 3$ ) pode ser levando em conta com a matriz  $g^{\mu\nu} = (1, -1, -1, -1)$  ou seja

$$\alpha_0 = \alpha^0 \quad \alpha_i = -\alpha^i \quad i = 1, 2, 3$$

apesar dos alfas não formarem um quadrinário.

Dar a equação (10) fica

~~$\alpha^0 p_m - \alpha_m m c = 0$~~

$$\boxed{(\alpha^0 p_m - \alpha_m m c) \gamma = 0}$$

Os quatro  $\alpha^M$ 's satisfazem:

$$\alpha^M \alpha_m \alpha^N + \alpha^N \alpha_m \alpha^M = 2 g^{MN} \alpha_m$$

pois

$$\alpha^i \alpha_m \alpha^j + \alpha^j \alpha_m \alpha^i = -\alpha_m \{ \alpha^i, \alpha^j \} = -2 \delta^{ij} \alpha_m = 2 g^{ij} \alpha_m$$

$$\alpha^0 \alpha_m \alpha^j + \alpha^j \alpha_m \alpha^0 = \{ \alpha_m, \alpha^j \} = 0$$

$$\alpha^0 \alpha_m \alpha^0 + \alpha^0 \alpha_m \alpha^0 = 2 \alpha_m = 2 g^{00} \alpha_m$$

Portanto definindo

$$\gamma^M = \alpha_m \alpha^M$$

temos

$$\gamma^M \gamma^N + \gamma^N \gamma^M = 2 g^{MN}$$

e dar a equação da onda fica

$$\boxed{(\gamma^M p_m - m c) \gamma = 0}$$

Dar temos

$$\gamma^0 = \begin{pmatrix} I & 0 \\ 0 & -I \end{pmatrix}$$

$$\gamma_i^* = \begin{pmatrix} 0 & \sigma_i \\ -\sigma_i & 0 \end{pmatrix}$$

Para generalizar esta equação para o campo em que existe interacção eletromagnética substituimos

$$p_0 \rightarrow p_0 + \frac{e}{c} A_0$$

$$\vec{p} \rightarrow \vec{p} + \frac{e}{c} \vec{A}$$

e dar a eq. da onda fixa

$$\left\{ \gamma^\mu (p_\mu + \frac{e}{c} A_\mu) - mc^2 \psi = 0 \right.$$

que é a eq. da onda fundamental para a teoria relativística de solitóns.

A função da onda  $\psi$  é denotada por um vetor ~~com~~ coluna de quatro componentes. A função da onda conjugada complexa é um vetor linha que demonstramos por  ~~$\psi^*$~~   $\psi^+$ , que representa um bco ao invés da um ~~bco~~ bft

A eq. da onda para o bft é

$$\psi^+ \left( \not{D}^\mu (p_\mu + \frac{e}{c} A_\mu) - mc^2 \right) = 0$$

onde o operador momento  $p_\mu$  atua a esquerda ( $\langle \phi | \frac{\partial}{\partial x} = - \langle \frac{\partial \phi}{\partial x} |$ )

Note que as matrizes  $\gamma_\mu$  na verdade servem para dizer como as diferentes componentes da  $\psi$  se acoplam nas equações de movimento.

## Invariância sob transformações de Lorentz

Vamos verificar se a energia da onda para o elétron é invariante sob transformações de Lorentz.

Precisamos verificar se quando fizermos uma mudança de referencial as soluções da eq. de onda podem ser colocadas em uma correspondência 1 para 1. e assim disso que ~~que~~ as soluções correspondentes representem o mesmo estado.

Em referencial o módulo quadrado da função de onda somado sobre as 4 componentes deve dar a probabilidade por unidade de volume de encontrar o elétron em um dado ponto do espaço tempo.

Seu valor em diferentes referenciais devem estar ~~relacionados~~ da mesma maneira que a componente temporal de um quadivector.

Além disso a divergência desse quadivector deve ser nula de tal modo que haja uma conservação da probabilidade.

$$\cancel{\text{Considere tentar uma transformação de Lorentz infinitesimal}}$$

$$\cancel{\text{O quadivector } P_\mu \text{ transforma como}}$$

$$P_\mu^1 = P_\mu + \alpha^\nu \partial_\nu P_\mu$$

$$\cancel{\text{onde }} \alpha^\nu \text{ \cancel{é muito }} P_\mu \text{ \cancel{perto}}.$$

$$\cancel{\text{Desprezarmos termos em } 2^{\text{a}} \text{ ordem em }} \alpha^\nu.$$

Fazemos

~~uma~~ entre uma rotação no espaço tempo da transf. de Lorentz

As transf. de Lorentz são rotacões no espaço tempo de

Minkowski. ~~Consideremos~~ Consideremos primeiramente uma rotação  
de um ângulo  $\omega$  no plano  $\mathbb{R}^2$ . ()

Dai um ponto desse tipo pelas coordenadas  $(x_1, x_2, x_3)$  transforma-se em  $(x'_1, x'_2, x'_3)$  onde

$$\begin{cases} x'_1 = x_1 \cos \omega + x_2 \sin \omega \\ x'_2 = -x_1 \sin \omega + x_2 \cos \omega \\ x'_3 = x_3 \end{cases}$$

Por outro lado quando fazemos uma transf. de Lorentz ao longo do eixo  $x_1$ , ~~da~~ tal forma que o referencial se move com velocidade  $v = \beta c$  obtemos que:

$$x'_1 = \frac{x_1 - \beta x_0}{\sqrt{1 - \beta^2}}, \quad x'_0 = \frac{x_0 - \beta x_1}{\sqrt{1 - \beta^2}} \quad x'_2 = x_2, \quad x'_3 = x_3$$

ou ainda

$$\begin{cases} x'_1 = x_1 \cosh \chi - x_0 \sinh \chi \\ x'_0 = x_0 \cosh \chi - x_1 \sinh \chi \\ x'_2 = x_2 \\ x'_3 = x_3 \end{cases} \quad \text{onde } \tanh \chi = \beta$$

Se seja  $\omega$  uma rotação por um ângulo imaginário

Tanto para as rotações como para os "boosts" podemos escrever

$$x'_{,\mu} = a_{\mu}^{\nu} x_{,\nu}$$

onde

~~operador~~

$$a_{\mu}^{\nu} a^{\mu}_{\rho} = \delta^{\nu}_{\rho} \quad \text{pois} \quad (x^1)^2 = x^2$$

Segundo ainda que para transformações que se compõem de transf.  
infinitesimalmente temos  $a_{\mu}^{\nu} = 1$

Como o momento  $P_\mu$  e o potencial vector  $A_\mu$  são quadrivectores  
eles também transformam como,

$$P'_\mu = \alpha_\mu^\nu P_\nu \quad \text{e} \quad A'_\mu = \alpha_\mu^\nu A_\nu$$

Note que  $\alpha_\mu^\nu$  não depende das coordenadas do espaço tempo.

As matrizes  $\gamma_\mu$  por outro lado, apesar de serem covariantes, não  
não indicam "rotor" mas transformam mudanças de transformações  
de Lorentz

A função da onda  $\psi(x)$  se sofre uma ~~transformação~~<sup>mudança</sup> sob  
transf. de Lorentz. Suponhamos que sua transformação é linear

$$\psi'(x') = S \psi(x)$$

onde  $S$  é uma matriz  $4 \times 4$ . Ela depende da natureza  
da transformação de Lorentz mas é independente de  $x_\mu$ .

A eq. transformada fica entao

$$\left\{ \gamma^\mu \left( P'_\mu + \frac{e}{c} A'_\mu \right) - mc \right\} \psi'(x') = 0$$

ou

$$\left\{ \gamma^\mu \alpha_\mu^\nu \left( P_\nu + \frac{e}{c} A_\nu \right) - mc \right\} S \psi(x) = 0$$

Multiplicando por  $S^{-1}$  a equação

$$\left\{ S^{-1} \gamma^\mu \alpha_\mu^\nu \left( P_\nu + \frac{e}{c} A_\nu \right) - mc \right\} \psi(x) = 0$$

Portanto a eq. de Dirac é invariante desde que

$$\tilde{S}^{-1} \gamma^\mu S \alpha_\mu^\nu = \gamma^\nu \quad \text{e} \quad \cancel{\text{cancelar}}$$

ou equivalente mente

$$\tilde{S}^{-1} \gamma_\mu S = \alpha_\mu^\nu \gamma_\nu \rightarrow ((S_1 S_2)^{-1} \gamma_\mu (S_1 S_2)) = \tilde{S}_2^{-1} \alpha_{1\mu}^\nu \gamma_\nu S_2 = \\ = \alpha_{1\mu}^\nu \alpha_{2\nu}^\rho \gamma_\rho$$

Este efeito determina a matriz  $S$  e portanto a lei de transformação para a função de onda  $\psi(x)$ .

Exercício Determina a matriz  $S$  que satisfaça a equação acima para os casos:

i) uma rotação espacial

ii) um "boost"

O que ocorre quando o ângulo de uma rotação espacial é  $2\pi$ ?  
Estas matrizes são unitárias? Mostre que em geral em um dos casos temos ~~cancelar~~  $\tilde{S}^{-1} = d_m S^+ d_m$

Vemos então que, desde que  $\psi$  transforme como  $\psi' = S\psi$

a eq. de Dirac é invariante por trans. de Lorentz.

As funções de onda nos dois referenciais estão em uma correspondência 1 para 1. As funções correspondentes entre si ~~representam~~ representam o mesmo estado.

Vamos verificar se a interpretação física das funções em cada referencial estão de acordo.

Queremos que  $\psi^+ \psi$  dê a densidade de probabilidade da

$\psi^+ \psi$  é o mesmo que  $\psi^+ \alpha_0 \psi$  pois  $\alpha_0 = 1$

~~cancelar~~

Então ele pode ser vista como uma das componentes de  $\psi^+ \alpha^\mu \psi$  que será tratado juntas.

(280)

Definindo

$$\bar{\psi} = \psi^+ \alpha_m = \psi^+ \gamma^0 \begin{pmatrix} \psi^+ = (\psi_1^*, \psi_2^*, \psi_3^*, \psi_4^*) \\ \bar{\psi} = (\psi_1^*, \psi_2^*, -\psi_3^*, -\psi_4^*) \end{pmatrix}$$

obtemos que

$$\psi^+ \alpha_\mu \psi = \bar{\psi} \gamma_\mu \psi$$

Fazendo uma transf. de Lorentz

$$\begin{aligned} \bar{\psi}' \gamma_\mu \psi' &= \psi^+ \alpha_m \gamma_\mu \psi' = (S\psi)^+ \alpha_m \gamma_\mu S\psi = \\ &= \psi^+ S^+ \alpha_m \gamma_\mu S\psi = \bar{\psi} \alpha_m S^+ \alpha_m \gamma_\mu S\psi \end{aligned}$$

usando o fato que

$$\alpha_m S^+ \alpha_m = S^{-1}$$

$$e \text{ que } S^{-1} \gamma_\mu S = \alpha_\mu^\nu \gamma_\nu$$

obtemos

$$\bar{\psi}' \gamma_\mu \psi' = \alpha_\mu^\nu \bar{\psi} \gamma_\nu \psi$$

Logo  $\bar{\psi} \gamma_\mu \psi$  transforma como um quadrivector e portanto

$$\bar{\psi} \gamma_0 \psi = \psi^+ \alpha_m \alpha_m \alpha_0 \psi = \psi^+ \psi$$

transforma como  $\overset{\alpha}{\sim}$  componentes temporais de um quadrivector

mas

$$dx'_\mu = \frac{\partial x'_\mu}{\partial x_\nu} dx_\nu = \alpha_\mu^\nu dx_\nu$$

x dar

$$d^4x' = \left| \frac{\partial x'_\mu}{\partial x_\nu} \right| d^4x = \det(g_{\mu\nu}) d^4x = d^4x$$

Como

$$d^4x = dx_0 d^3x$$

Vemos que  $d^3x$  transforma da maneira inversa ~~de~~ a componentes temporais da transformação. Desta forma

$$\bar{F}^1 \gamma_0 \gamma^1 d^3x' = \bar{F} \gamma_0 \gamma^1 d^3x$$

ou seja a probabilidade de encontrar o elétron em um elemento de volume é a mesma em qualquer referencial

Note que

$$\bar{F} \gamma_0 \gamma^1 = \gamma^+ \gamma^1 = |\gamma_1|^2 + |\gamma_2|^2 + |\gamma_3|^2 + |\gamma_4|^2 \geq 0$$

A densidade de probabilidade é positiva definida

Note também que  $\bar{F} \gamma^1$  é invariante por transformações de Lorentz pais

$$\begin{aligned} \bar{F}^1 \gamma^1 &= \gamma^1 \alpha_m \gamma^1 = (s \gamma)^+ \alpha_m s \gamma = \gamma^+ \alpha_m \alpha_m s^+ \alpha_m s \gamma \\ &= \bar{F} s^+ s \gamma = \bar{F} \gamma. \end{aligned}$$

Vejamos agora que a densidade de probabilidade satisfaz a eq. da continuidade. Multiplicando a equação da onda por  $\bar{F}$  e integrando

$$\bar{F} \gamma^\mu \left( i \hbar \frac{\partial \gamma}{\partial x^\mu} + \frac{e}{c} A_\mu \gamma \right) - m c \bar{F} \gamma = 0$$

Multiplicando em esp. conjugado.

Como vimos a eq. conjugada é

$$+^+ \left\{ \cancel{\alpha}^m \left( P_\mu + \frac{e}{c} A_\mu \right) - \alpha_m m c \right\} = 0$$

e como  $\bar{F} = +^+ \alpha_m$  temos

$$\bar{F} \left\{ \gamma^\mu \left( P_\mu + \frac{e}{c} A_\mu \right) - m c \right\} = 0 = -i \hbar \cancel{F} \frac{\partial \bar{F}}{\partial x^\mu} \gamma^\mu + \frac{e}{c} \bar{F} \gamma^\mu A_\mu - \bar{F} m c$$

Simplificando

Multiplicando por  $+^-$  a direita e subtraindo da eq. anterior obtemos

$$i \hbar \bar{F} \gamma^\mu \frac{\partial +}{\partial x^\mu} + i \hbar \frac{\partial \bar{F}}{\partial x^\mu} \gamma^\mu + = 0$$

ou seja

$$\partial_\mu (\bar{F} \gamma^\mu +) = 0$$

e a quebra constante de probabilidade  $+^+$  conservada.

ou seja

$$P = \int d^3x \bar{F} \gamma^0 + \quad \text{satisfaz} \quad \frac{dP}{dt} = 0$$

Em outras palavras, o ultimo termo não desaparece da equação em um dado volume tem sair para sua fronteira.

## Independência de representação

Suponha que alguém escreve a equação

~~introduzir~~

$$\Gamma^\mu \left( i\hbar \partial_\mu + \frac{e}{c} A_\mu \right) \Phi^i - m c \Phi = 0$$

onde o único requisito para  $\Gamma^\mu$  é que seja satisfatório

$$\{\Gamma^\mu, \Gamma^\nu\} = 2 \gamma^{\mu\nu} \quad (*)$$

Poder-se mostrar que tal equação é equivalente a eq. de Dirac, que já vimos anteriormente (isto é com as matrizes  $\gamma_\mu$  definidas anteriormente). No entanto para uma dada situação física  $\Phi$  é f. not. ser a mesma matriz.

Conjuntos de matrizes  $4 \times 4$  satisfazendo (\*) são ditas representações das matrizes gamma de Dirac.

Nós podemos mostrar que a eq. de Dirac é independente da representação usando o seguinte teorema devido a Pauli (veja pag 83 e apêndice C do Advanced Quantum Mechanics-Sakurai)

Teorema: Dados dois conjuntos de matrizes  $4 \times 4$  satisfazendo

$$\{\gamma^\mu, \gamma^\nu\} = 2 \gamma^{\mu\nu}, \quad \{\gamma'^\mu, \gamma'^\nu\} = 2 \gamma^{\mu\nu}$$

então existe uma matriz  $4 \times 4$  não singular  $T$ , tal que

$$T \gamma_\mu T^{-1} = \gamma'^\mu$$

Além disto  $T$  é única a menos de uma constante multiplicativa.

Dai usando este teorema.

$$0 = \gamma^{\mu} (i\gamma^{\nu} \partial_{\nu} + \frac{e}{c} A_{\nu}) \psi' - mc\psi' = T \gamma^{\nu} T^{-1} (i\gamma^{\nu} \partial_{\nu} + \frac{e}{c} A_{\nu}) T^{-1} \psi' - mcT^{-1} \psi'$$

Multiplicando por  $T^{-1}$  pela esquerda.

$$\gamma^{\mu} (i\gamma^{\nu} \partial_{\nu} + \frac{e}{c} A_{\nu}) T^{-1} \psi' - mcT^{-1} \psi' = 0$$

Isto é 0 mesmo que a eq. de Dirac com  $T^{-1}\psi'$  como solução.

Dai  $\psi'$  as soluções estão relacionadas por

$$\psi' = T\psi$$

A constante da probabilidade transforma de um momento para outro como:

$$\begin{aligned} \bar{\psi}' \gamma^{\mu} \psi' &= \psi'^+ \gamma_0' \gamma^{\mu} \psi' = (\bar{\psi} \psi)^+ T \gamma_0 T^{-1} T \gamma^{\mu} T^{-1} T \psi \\ &= \psi^+ T^+ T \gamma_0 \gamma^{\mu} \psi = \bar{\psi} \gamma^0 T^+ T \gamma^0 \gamma^{\mu} \psi \end{aligned}$$

Se  $T$  for unitária  $T^+ = T^{-1}$  vemos que a constante de probabilidade não muda de momento se inverte o momento.

$$\bar{\psi}' \gamma^{\mu} \psi' = \bar{\psi} \gamma^{\mu} \psi$$

Quando as propriedades de hermiticidade dos  $\gamma^{\mu}$ 's são preservadas ( $\gamma^{\mu+} = \pm \delta^{\mu}$ ) isto

$$\bar{\psi}^{\mu+} \gamma^{\mu+} \psi^+ = \psi'^{\mu+} \Rightarrow \psi^{\mu+} (\bar{\psi}^{\mu+})^{-1} \gamma^{\mu} \psi^+ = \psi'^{\mu+}$$

Como  $\delta$  é simétrica  $\bar{\psi}^{\mu+} = \psi^{\mu+}$

## O spin do elétron

Para estudar o spin nós vamos utilizar a representação de Heisenberg

Temos que

$$\psi(x, t) = e^{-iHt/\hbar} \psi(x, 0) \quad (\psi \text{ é a representação auto-adjunta da função})$$

onde  $H$  é o operador Hamiltoniano

A relação entre operadores nas duas representações é

$$R^{(H)}(t) = e^{iHt/\hbar} R^{(S)} e^{-iHt/\hbar} \quad R^{(H)}(0) \equiv R^{(S)}$$

e a evolução temporal é

$$\frac{dR^{(H)}}{dt} = \frac{i}{\hbar} [H, R^{(H)}] + \frac{\partial R^{(H)}}{\partial t}$$

A Hamiltoniana de Dirac para o elétron livre é

$$H = c p_0 = c p_1 \vec{\alpha} \cdot \vec{p} + p_3 m c^2 = c \vec{\alpha} \cdot \vec{p} + p_3 m c^2$$

Vejamos a variação temporal do momento angular orbital

$$\vec{L} = \vec{x} \times \vec{p}$$

$$i\hbar \frac{d\vec{L}}{dt} = [\vec{L}, H] = [\vec{x} \times \vec{p}, c \vec{\alpha} \cdot \vec{p} + p_3 m c^2] = [\vec{x} \times \vec{p}, c \vec{\alpha} \cdot \vec{p}]$$

No caso da componente 1

$$i\hbar \frac{dL_1}{dt} = [x_2 p_3 - x_3 p_2, c \alpha_1 p_1] = c \alpha_1 [(x_2, p_3) p_3 - (x_3, p_2) p_2]$$

$$= i\hbar c \alpha_2 p_3 - i\hbar c \alpha_3 p_2 = i\hbar c (\alpha_2 p_3 - \alpha_3 p_2)$$

On vige

$$\frac{d\vec{\ell}}{dt} = c(\vec{\alpha} \wedge \vec{p})$$

Portanto o momento angular orbital não se conservado, apesar da equação  $\vec{\ell}$  <sup>de onde</sup> é invariante por rotações.

Nós podemos associar um operador dinâmico no esp. de Heisenberg às matrizes  $\Sigma_i$  (ou mesmo  $\alpha_\mu$ )

$$\Sigma_i^{(H)}(t) = e^{iHt/\hbar} \Sigma_i e^{-iHt/\hbar}$$

As relações de anticomutação de  $\Sigma$  são válidas para  $\Sigma^{(H)}(t)$

Temos então

$$it \frac{d\Sigma^{(H)}}{dt} = [\Sigma^{(H)}, H] = \hat{e}^{iHt/\hbar} [\Sigma, H] \hat{e}^{-iHt/\hbar}$$

~~Portanto~~

$$[\Sigma, H] = [\Sigma, c\vec{\alpha} \cdot \vec{r} + p_z m c^2] = c p_z [\Sigma, \vec{\Sigma} \cdot \vec{p}]$$

uma vez que ~~o resultado~~  $[\Sigma_i, p_j] = 0$

Mas  $\vec{\Sigma}$  satisfaz

$$[\Sigma_i, \Sigma_j] = 2i \epsilon_{ijk} \Sigma_k$$

e dar

$$[\Sigma_i, A] = 2i c p_i \epsilon_{ijk} \Sigma_k p_j$$

ou vige

$$[\vec{\Sigma}, H] = -2i c p_i \vec{\Sigma} \wedge \vec{p}$$

Daí

$$\begin{aligned} i\hbar \frac{d\tilde{\Sigma}^{(H)}}{dt} &= e^{iHt/\hbar} (-2ic\vec{p}_1 \cdot \tilde{\Sigma} \wedge \vec{p}) e^{-iHt/\hbar} \\ &= -2ic\vec{p}_1^{(H)} \tilde{\Sigma}^{(H)} \wedge \vec{p} = -2ic\tilde{\alpha}^{(H)} \wedge \vec{p} \end{aligned}$$

Numa vez que  $\vec{p}^{(H)} \equiv \vec{p}$ , pois  $\vec{p}$  comuta com  $H$ .

$\vec{\alpha} \in \tilde{\Sigma}^{(H)}$  também não é conservado no tempo

No entanto o operador

$$\tilde{J} = \tilde{L} + \frac{i\hbar}{2} \tilde{\Sigma}$$

é conservado no tempo

Poderemos interpretar este resultado dizendo que o elétron tem um momento angular de spin  $\frac{1}{2}\tilde{L}$  que é devido ao adicionado ao momento angular orbital para ter uma constante de movimento. Portanto somos levados ao valor do spin do elétron simplesmente através de argumentos baseados nos principios da mecânica quântica e relatividade restrita.

Vejamos agora como o momento magnético do elétron é obtido.

~~Será feito mais adiante, com teoria clássica~~

Considera a eq. de onda para o elétron em campo do campo eletromagnético

$$\left\{ p_0 + \frac{e}{c} A_0 - p_1 \cdot \tilde{\Sigma} \cdot (\vec{p} + \frac{e}{c} \vec{A}) - p_3 mc \right\} \psi = 0$$

Multiplicamos a 1<sup>ª</sup> igualda pelo operador

$$P_0 + \frac{e}{c} A_0 + P_1 \vec{\Sigma} \cdot (\vec{P} + \frac{e}{c} \vec{A}) + P_3 m c$$

Termos restantes:

$$\left\{ \begin{array}{l} \underbrace{(P_0 + \frac{e}{c} A_0)^2}_{\vec{P}_1} = \vec{P}_1 \underbrace{(P_0 + \frac{e}{c} A_0) \vec{\Sigma} \cdot (\vec{P} + \frac{e}{c} \vec{A})}_{\cancel{(P_0 + \frac{e}{c} A_0) P_3 m c}} + \\ + P_1 \underbrace{\vec{\Sigma} \cdot (\vec{P} + \frac{e}{c} \vec{A}) (P_0 + \frac{e}{c} A_0)}_{- P_1 \vec{\Sigma} \cdot (\vec{P} + \frac{e}{c} \vec{A}) \vec{\Sigma} \cdot (\vec{P} + \frac{e}{c} \vec{A})} - \\ - P_1 \underbrace{\vec{\Sigma} \cdot (\vec{P} + \frac{e}{c} \vec{A}) P_3 m c}_{\cancel{P_3 m c}} + P_3 m c \cancel{(P_0 + \frac{e}{c} A_0)} - P_3 m c P_1 \vec{\Sigma} \cdot (\vec{P} + \frac{e}{c} \vec{A}) - \\ - P_3^2 m^2 c^2 \end{array} \right\} \cancel{P_1} = 0$$

$$(P_0 + \frac{e}{c} A_0)^2 - [\vec{\Sigma} \cdot (\vec{P} + \frac{e}{c} \vec{A})]^2 - m^2 c^2 - P_1 \left\{ (P_0 + \frac{e}{c} A_0) \vec{\Sigma} \cdot (\vec{P} + \frac{e}{c} \vec{A}) - \vec{\Sigma} \cdot (\vec{P} + \frac{e}{c} \vec{A}) (P_0 + \frac{e}{c} A_0) \right\} \cancel{P_1} = 0$$

Se  $\vec{B}$ ,  $\vec{C}$  são dois vetores que comutam ~~com  $\vec{\Sigma}$~~ , temos

$$(\vec{\Sigma} \cdot \vec{B})(\vec{\Sigma} \cdot \vec{C}) = \sum_i B_i \sum_j \epsilon_{ijk} C_j = \sum_i \sum_j B_i C_j$$

Come

$$\sigma_i \sigma_j = \sum_k \epsilon_{ijk} \sigma_k + \delta_{ij} \mathbb{1}_{2 \times 2}$$

$$\therefore \Sigma_i = \begin{pmatrix} \sigma_i & 0 \\ 0 & \sigma_i \end{pmatrix}$$

$$\text{temos } \Sigma_i \Sigma_j = i \epsilon_{ijk} \Sigma_k + \delta_{ij} \mathbb{1}_{4 \times 4}$$

Logo

$$(\vec{\Sigma} \cdot \vec{B})(\vec{\Sigma} \cdot \vec{C}) = \{ \vec{B} \cdot \vec{C} + i \epsilon_{ijk} B_i C_j \Sigma_k$$

$$= \vec{B} \cdot \vec{C} + i \vec{\Sigma} \cdot (\vec{B} \times \vec{C}) \quad (* . 1)$$

Colocando  $\vec{B} = \vec{c} = \vec{p} + \frac{\epsilon}{c} \vec{A}$  temos

$$\begin{aligned}
 \epsilon_{ijk} (p_j + \frac{\epsilon}{c} A_j) (p_k + \frac{\epsilon}{c} A_k) &= \epsilon_{ijk} (p_j p_k + \frac{\epsilon}{c} (p_j A_k + A_j p_k) + \frac{\epsilon^2}{c^2} A_j A_k) \\
 &= \frac{\epsilon}{c} \epsilon_{ijk} (p_j A_k - A_k p_j) \\
 &= -i \frac{e \hbar c}{c} \epsilon_{ijk} (\partial_j A_k + A_k \partial_j - A_n \partial_j) \\
 &= -i \frac{e \hbar c}{c} \frac{1}{2} \epsilon_{ijk} (\partial_j A_k - \partial_k A_j) \\
 &= -i \frac{e \hbar c}{c} \text{rot} \vec{A} = -i \frac{e \hbar c}{c} \vec{B} \quad (*.2)
 \end{aligned}$$

Temos ainda que

$$\begin{aligned}
 (p_0 + \frac{\epsilon}{c} A_0) \vec{\Sigma} \cdot (\vec{p} + \frac{\epsilon}{c} \vec{A}) - \vec{\Sigma} \cdot (\vec{p} + \frac{\epsilon}{c} \vec{A}) (p_0 + \frac{\epsilon}{c} A_0) &= \\
 &= \sum_i \left\{ p_0 \cancel{p_i}^{\textcircled{1}} + \frac{\epsilon}{c} (p_0 A_i + A_0 p_i) + \left(\frac{\epsilon}{c}\right)^2 A_0 \cancel{A_i}^{\textcircled{1}} - \cancel{p_i p_0}^{\textcircled{2}} - \frac{\epsilon}{c} (p_i A_0 + A_i p_0) - \left(\frac{\epsilon}{c}\right)^2 \cancel{A_i A_0}^{\textcircled{1}} \right\} \\
 &= \frac{\epsilon}{c} \sum_i \left\{ [p_0, A_i] + [A_0, p_i] \right\} = \\
 &= i \frac{e \hbar c}{c} \sum_i \left\{ \frac{1}{c} \frac{\partial A_i}{\partial t} + \frac{\partial A_0}{\partial x_i} \right\} = i \frac{e \hbar c}{c} \vec{\Sigma} \cdot \left( \frac{1}{c} \frac{\partial \vec{A}}{\partial t} + \text{grad } A_0 \right) \\
 &= -i \frac{e \hbar c}{c} \vec{\Sigma} \cdot \vec{E}
 \end{aligned}$$

Desta forma obtemos a equação:

~~$$\left\{ (p_0 + \frac{\epsilon}{c} A_0)^2 - (\vec{p} + \frac{\epsilon}{c} \vec{A})^2 - m^2 c^2 - \frac{e^2}{c} \vec{\Sigma} \cdot \vec{B} + i p_1 \frac{e \hbar c}{c} \vec{\Sigma} \cdot \vec{E} \right\} \neq 0$$~~

Se somássemos a eq.

$$\{P_0^2 - \vec{p}^2 - m^2 c^2\}\psi = 0$$

I fizéssemos a substituição minimal  $P_\mu \rightarrow P_\mu + \frac{e}{c} A_\mu$  obtém-se uma eq. com os dois últimos termos, ou seja, o acoplamento do  $\vec{E}$  com  $\vec{B} \times \vec{E}$ . (Note que o termo contendo  $\vec{E} \cdot \vec{E}$  é imaginário puro)

$$\vec{\Sigma} \cdot \vec{A} = \begin{pmatrix} \vec{0} \cdot \vec{A} & 0 \\ 0 & \vec{0} \cdot \vec{A} \end{pmatrix}, \quad \vec{0} \cdot \vec{A} = \begin{pmatrix} A_3 & (A_1 - iA_2) \\ (A_1 + iA_2) & -A_3 \end{pmatrix}$$

$$\vec{\Sigma} \cdot \vec{A} \psi = \begin{pmatrix} A_3 \psi_1 + (A_1 - iA_2) \psi_2 \\ (A_1 + iA_2) \psi_1 - A_3 \psi_2 \\ A_3 \psi_3 + (A_1 - iA_2) \psi_4 \\ (A_1 + iA_2) \psi_3 - A_3 \psi_4 \end{pmatrix}$$

$$P_1 \vec{\Sigma} \cdot \vec{A} = \begin{pmatrix} 0 & \vec{0} \cdot \vec{A} \\ \vec{0} \cdot \vec{A} & 0 \end{pmatrix} \Rightarrow P_1 \vec{\Sigma} \cdot \vec{A} \psi = \begin{pmatrix} A_3 \psi_3 + (A_1 - iA_2) \psi_4 \\ (A_1 + iA_2) \psi_3 - A_3 \psi_4 \\ A_3 \psi_1 + (A_1 - iA_2) \psi_2 \\ (A_1 + iA_2) \psi_1 - A_3 \psi_2 \end{pmatrix}$$

Para ter um melhor entendimento destes termos vamos trabalhar na representação de Heisenberg. Como vimos a Hamiltoniana do elétron livre é:

$$H = P_0 c = c \vec{\alpha} \cdot \vec{P} + P_3 m c^2$$

Quando introduzimos o campo eletromagnético obtemos

$$\begin{aligned} H = P_0 c &= -e A_0 + c \vec{\alpha} \cdot (\vec{p} + \frac{e}{c} \vec{A}) + P_3 m c^2 \\ &= -e A_0 + c P_1 \vec{\Sigma} \cdot (\vec{p} + \frac{e}{c} \vec{A}) + P_3 m c^2 \end{aligned}$$

Daí obtemos

$$\begin{aligned} \left( \frac{H}{c} + \frac{e}{c} A_0 \right)^2 &= \left[ \rho_1 \vec{\Sigma} \cdot (\vec{p} + \frac{e}{c} \vec{A}) + \rho_3 m c \right]^2 \\ &= \left[ \vec{\Sigma} \cdot (\vec{p} + \frac{e}{c} \vec{A}) \right]^2 + m^2 c^2 + (\rho_1 \rho_3 + \rho_3 \rho_1) m c \vec{\Sigma} \cdot (\vec{p} + \frac{e}{c} \vec{A}) \\ &= \left( \vec{p} + \frac{e}{c} \vec{A} \right)^2 + \frac{m e}{c} \vec{\Sigma} \cdot \vec{B} + m^2 c^2 \end{aligned}$$

onde usamos (\*.1) e (\*.2) e o fato que  $\rho_i$  comuta com  $\Sigma_j$ .

Temos então a parte real dos termos extras aparecendo aqui, sem o termo imaginário puro.

Para um elétron lento (com momento linear pequeno) esperamos que as equações de movimento de Heisenberg sejam determinadas por uma Hamiltoniana da forma

$$mc^2 + H_1$$

onde  $H_1 \ll mc^2$ .

Substituindo  $H$  por  $H_1 + mc^2$  na eq. acima, obtemos — desconsiderando termos quadráticos em  $H_1$  e em  $c^2$ , só obtemos (dividindo tudo por  $2m$ )

$$\frac{1}{2m} \left( \frac{H_1}{c} + mc + \frac{e}{c} A_0 \right)^2 = \frac{1}{2m} \left( \vec{p} + \frac{e}{c} \vec{A} \right)^2 + \frac{m e}{2m c} \vec{\Sigma} \cdot \vec{B} + \frac{m^2 c^2}{2m}$$

ou seja

$$H_1 + e A_0 = \frac{1}{2m} \left( \vec{p} + \frac{e}{c} \vec{A} \right)^2 + \frac{m e}{2m c} \vec{\Sigma} \cdot \vec{B}$$

~~Então~~ A Hamiltoniana  $H_1$ , dada por este expresso é a mesma que a clássica, a menos do termo

$$\frac{e\hbar}{2mc} \vec{\Sigma} \cdot \vec{B}$$

Este termo pode ser considerado como uma energia potencial que um elétron lento tem na teoria quântica e pode ser interpretado como sendo devida a um momento de dipolo magnético ~~para~~ do elétron ~~que~~ cujo valor é:

$$\vec{m} = -\frac{e\hbar}{2mc} \vec{\Sigma}$$

E este é na verdade o momento do dipolo medido no efeito Zeeman e concorda com a experiência.

Vemos então que o spin do elétron e seu momento magnético estão na mesma direção e sentidos opostos (i.e. são proporcionais).

### \* A Teoria do pôsitron

~~Teoria~~  
2

Nós vimos que a eq. da onda do elétron tem duas soluções polares do que ele devia ter. Metade destas soluções referem-se a estados de energia negativa, isto é, o oposto exige o tempo anteriores negativos.

Esta é um problema que aparece em qualquer teoria relativística.

Na teoria clássica ele também ocorre mas lá a dificuldade não é séria. O espetro é tal que

$$E > mc^2 \quad \text{ou} \quad E < -mc^2$$

Como as variáveis clássicas variam continuamente o sistema não pode passar de energias positivas para negativas e vice-versa.

Na teoria quântica no entanto isto pode acontecer. O átomo pode emitir um fóton e cair num estado de  $E < 0$ . Na verdade a teoria não tem vácuo. Temos então que levar em conta os estados de energia negativa.

Vamos examinar as soluções da energia negativa da equação

$$\left\{ \left( P_0 + \frac{e}{c} A_0 \right) - \alpha_i \left( P_i + \frac{e}{c} A_i \right) - \alpha_m m c \right\} \psi = 0 \quad (*)$$

Vamos dar uma representação para os  $\alpha$ 's onde todos os elementos das matrizes representando  $\alpha_i$  ( $i=1, 2, 3$ ) são reais e a parte imaginária de  $\alpha_m$  é zero.

Poderemos fazer isto trocando  $\alpha_2$  por  $\alpha_m$  e vice-versa.

Pará

$$\alpha_1 = p_1, \Sigma_1 = \begin{pmatrix} 0 & \sigma_1 \\ \sigma_1 & 0 \end{pmatrix} \quad \alpha_2 = \begin{pmatrix} I & 0 \\ 0 & -I \end{pmatrix} \quad \alpha_3 = \begin{pmatrix} 0 & \sigma_3 \\ \sigma_3 & 0 \end{pmatrix}$$

$$\alpha_m = \begin{pmatrix} 0 & \sigma_2 \\ \sigma_2 & 0 \end{pmatrix}$$

$$\text{onde } \sigma_1 = \begin{pmatrix} 0 & 1 \\ 1 & 0 \end{pmatrix} \quad \sigma_2 = \begin{pmatrix} 0 & i \\ i & 0 \end{pmatrix} \quad \sigma_3 = \begin{pmatrix} 1 & 0 \\ 0 & -1 \end{pmatrix} \quad I = \begin{pmatrix} 1 & 0 \\ 0 & 1 \end{pmatrix}$$

Daí trocando  $i$  por  $-i$  em toda equação obtemos (dado o complexo conjugado)

$$\left\{ \left( -P_0 + \frac{e}{c} A_0 \right) - \alpha_i \left( -P_i + \frac{e}{c} A_i \right) + \alpha_m m c \right\} \psi^* = 0 \quad (**)$$

$$\text{mas vej que } P_\mu = i \hbar \frac{\partial}{\partial x^\mu}$$

Portanto o complexo conjugado de ~~uma~~ solução da eq (\*\*) é  
uma solução da eq (\*\*). Além do mais se

~~(CP0 + e Ao) +~~

$$(C P_0 + e A_0) + = E + \cancel{\text{soluções}}$$

Vemos que

$$(-C P_0 + e A_0) +^* = E +^* \Rightarrow (C P_0 - e A_0) +^* = -E +^*$$

Logo se uma solução da (\*) corresponde a um valor  $\epsilon$  negativo  
de  ~~$C P_0 + e A_0$~~  Vemos que a solução correspondente da (\*\*)  
tem um valor positivo de  $C P_0 - e A_0$ .

Por outro lado o operador em (\*\*) é obtido da justa em (\*)  
trocando  $e$  por  $-e$

Seja então que cada solução da energia negativa da (\*) é  
o complexo conjugado de uma solução de energia positiva da eq.  
da onda obtida de (\*) trocando-se  $e$  por  $-e$ . Tal solução  
corresponde a um elétron de carga positiva ( $+E_0$ )

Logo as soluções de energia negativa da equação de Dirac  
estão associadas a partículas de carga  $+e$  e massa igual  
a do elétron. Estas partículas foram chamadas de positrões  
ou antieletros.

No entanto não podemos dizer simplesmente que as soluções  
de energia negativa são positrões pois isto faria os com que  
as relações dinâmicas estivessem erradas. Pois não é verdade  
que um positrônio tenha energia cinética negativa.

Para estabelecer a teoria dos positrons nós precisamos elaborar um pouco mais.

Devido ao fato da teoria de Dirac não ter um vácuo, um elétron poderia diminuir sua energia indefinidamente emitindo fótons.

Portanto <sup>Dirac</sup> propôs em 1930 que todos os estados (ou fatores) de energia negativa estão ocupados com um elétron em cada estado de acordo com o princípio de exclusão de Pauli.

Um elétron de energia negativa pode absorver um fóton de energia  $\hbar\omega > m_e c^2$  e se tornar um elétron de energia positiva.

Desta forma foi criado um "buraco" no mar de elétrons.

A energia "observável" do mar é agora a energia do vácuo menos a energia (negativa) do elétron que saiu e é portanto uma energia positiva.

Da mesma forma a carga "observável" do mar agora é a carga do mar com buraco il menos a carga do mar sem buraco. Vácuo.

$$Q_{obs} = Q - Q_{vacuo}$$

$$\therefore Q = Q_{vacuo} - e = Q_{vacuo} - (-e) = Q_{vacuo} + 1e$$

$$\text{dai } Q_{obs} = 1e$$

A mesma coisa podia ser feita para o momento e o spin.  
Dai o buraco aparece como uma partícula de energia positiva e carga oposta ao do elétron. Desta forma os positrons são ~~interpretados~~ interpretados como os buracos.

Primitivamente Dirac pensou que os buracos fossem protões.

Mas Oppenheimer chamou atenção para o fato que se isso fosse certo o átomo de H se aniquilaria em dois fótons com

uma vida média de  $10^{10}$  s. Além do mais Weyl mostrou que por razões de simetria que a massa da partícula associada ao buraco deve ser a massa do elétron.

Ernesto Anderson (1932) demonstrou experimentalmente a existência de positrons.

A hipótese do vazio impõe uma distribuição de elétrons de densidade infinita em todo o Universo.

O vácuo perfeito é aquele onde ~~se~~ todos os estados de E>0 estão desocupados e todos de E<0 estão ocupados.

Num vácuo perfeito a eq. de Maxwell deve ser válida:

$$\operatorname{div} \vec{E} = 0$$

Isto quer dizer que a densidade infinita de elétrons não contribui para o campo elétrico. Somente as flutuações da distribuição vão contribuir para a densidade de carga no espaço

$$\operatorname{div} \vec{E} = 4\pi j_0$$

O princípio da exclusão ~~pe~~ proíbe um elétron de E>0 de entrar no vazio. No entanto se existir um buraco ele pode cair e emitir radiação (o elétron e positron desaparecem)

O inverso também pode ocorrer.

Da simetria entre estados fermiônicos ocupados e não ocupados esta teoria é simétrica entre elétrons e positrons.

Temos uma teoria equivalente se suposermos que os positrons forem as partículas básicas e os elétrons os buracos.

Isto é na verdade a simetria matéria-antimateria.

## Soluções de ondas planas

Voumos construir agora soluções exatas da eq. de Dirac para o elétron livre.

Primeiramente chamaremos a atenção para o fato que cada componente do spinor de Dirac satisfaz a eq. de Klein Gordon.

Considera a eq. de Dirac

$$(\gamma^\mu p_\mu - mc)\psi = 0 \Rightarrow \left[ i\gamma^\mu \partial_\mu - \frac{mc}{\hbar} \right] \psi = 0 \quad (p_\mu = i\hbar \frac{\partial}{\partial x^\mu})$$

$$\text{sendo } \gamma^0 = \begin{pmatrix} I & 0 \\ 0 & -I \end{pmatrix} \quad \gamma_i = \begin{pmatrix} 0 & \sigma_i \\ -\sigma_i & 0 \end{pmatrix}$$

Multiplicando a eq. fund. pelo operador  $\gamma^0 \partial_0$ , temos

$$i\gamma^0 \gamma^\mu \partial_0 \partial_\mu \psi - \frac{mc}{\hbar} \gamma^0 \partial_0 \psi = 0 \Rightarrow i\gamma^0 \gamma^\mu \partial_0 \partial_\mu \psi + \frac{mc}{\hbar} i\gamma^\mu \partial_\mu \psi = 0$$

e daí

$$\gamma^0 \gamma^\mu \partial_0 \partial_\mu \psi + \left( \frac{mc}{\hbar} \right)^2 \psi = 0$$

Mas

$$\gamma^0 \gamma^\mu \partial_0 \partial_\mu = \frac{1}{2} (\gamma^0 \gamma^\mu + \gamma^\mu \gamma^0) \partial_0 \partial_\mu = g^{\mu\nu} \partial_0 \partial_\mu = \square$$

$$= \frac{1}{c^2} \frac{\partial^2}{\partial t^2} - \frac{\partial^2}{\partial x_i^2}$$

e portanto

$$[\square + \left( \frac{mc}{\hbar} \right)^2] \psi = 0$$

Esta relação corresponde na verdade a 4 equações desacopladas, uma para cada componente do  $\psi$ .

Uma sol. para este eq. é:

$$\begin{aligned}\psi &= u(\vec{p}) \exp\left(i \frac{p_\mu x^\mu}{\hbar t}\right) \\ &= u(\vec{p}) \exp\left(i \frac{E}{\hbar} t + i \frac{\vec{p} \cdot \vec{x}}{\hbar t}\right)\end{aligned}$$

onde  $u(\vec{p})$  é um spinor independente de  $x^\mu$

pois

$$\partial_\mu \psi = u(\vec{p}) i \frac{p_\mu}{\hbar t} \exp\left(i \frac{p_\mu x^\mu}{\hbar t}\right)$$

$$\partial^\mu \partial_\mu \psi = - \frac{p_\mu p^\mu}{\hbar^2} \psi$$

e daí

$$p_\mu = \left( \frac{E}{c}, \vec{p} \right)$$

$$\left( - \frac{p_\mu p^\mu}{\hbar^2} + \frac{m^2 c^2}{\hbar^2} \right) \psi = 0$$

Logo temos que ter

$$-\frac{E^2}{c^2} + \vec{p}^2 + m^2 c^2 = 0 \Rightarrow E = \pm \sqrt{\vec{p}^2 c^2 + m^2 c^4}$$

Estas soluções correspondem portanto a valores positivos e negativos da energia.

Noti que estas soluções são auto-estados simultâneos de  $-i\hbar \vec{\nabla}$  e  $i\hbar \frac{\partial}{\partial t}$

$$i\hbar \frac{\partial}{\partial t} \psi = -i \frac{E}{\hbar t} \psi + (\psi) = \frac{E}{\hbar t} \psi$$

$$-i\hbar \vec{\nabla} \psi = -i\hbar \frac{i\vec{p}}{\hbar} \psi = \vec{p} \psi$$

Noti também que poderíamos trocar o sinal do argumento da exponencial que ainda teríamos uma solução ( $\psi = u(\vec{p}) e^{i \frac{p_\mu x^\mu}{\hbar t}}$ ) mas não teríamos made novo.

Pare uma partícula em repouso ( $\vec{p} = 0$ ) a eq. de Schrödinger com termos que recebem o nome da Dirac com  $\vec{p} = 0$

$$i \frac{\gamma^0}{c} \frac{\partial \psi}{\partial t} = \frac{mc}{\hbar} \psi$$

Denotando  $u(\vec{p}) = \begin{pmatrix} u_A(\vec{p}) \\ u_B(\vec{p}) \end{pmatrix}$  temos

$$i \frac{\gamma^0}{c} \begin{pmatrix} I & 0 \\ 0 & -I \end{pmatrix} \begin{pmatrix} u_A(0) \\ u_B(0) \end{pmatrix} \left( -\frac{iE}{\hbar \omega} \right) = \frac{mc}{\hbar} \begin{pmatrix} u_A(0) \\ u_B(0) \end{pmatrix}$$

$$\begin{pmatrix} u_A(0) \\ -u_B(0) \end{pmatrix} = \frac{mc^2}{E} \begin{pmatrix} u_A(0) \\ u_B(0) \end{pmatrix}$$

sendo  $E = \pm mc^2$  para  $\vec{p} = 0$ .

Logo para

$$i) E = mc^2 \Rightarrow u_B(0) = 0$$

$$ii) E = -mc^2 \Rightarrow u_A(0) = 0$$

Portanto temos 4 soluções independentes para a eq. de Dirac com  $\vec{p} = 0$ :

$$\begin{pmatrix} 1 \\ 0 \\ 0 \\ 0 \end{pmatrix} e^{-imc^2t/\hbar} \quad \begin{pmatrix} 0 \\ 1 \\ 0 \\ 0 \end{pmatrix} e^{-imc^2t/\hbar}$$

$$\begin{pmatrix} 0 \\ 0 \\ 0 \\ 1 \end{pmatrix} e^{imc^2t/\hbar} \quad \begin{pmatrix} 0 \\ 0 \\ 1 \\ 0 \end{pmatrix} e^{imc^2t/\hbar}$$

Se interpretarmos  $i\frac{\partial}{\partial t}$  como sendo o operador Hamiltoniano vemos que as duas primeiras soluções correspondem a energias positivas e, enquanto que as outras duas a energias negativas (Estados relacionados com a existência do positron).

Não vimos que o operador da spin do elétron é dado por

$$\vec{S} = \frac{\hbar}{2} \vec{\Sigma} = \frac{\hbar}{2} \begin{pmatrix} \vec{\sigma} & 0 \\ 0 & \vec{\sigma} \end{pmatrix}$$

Vemos então que a  $1^-$  e  $3^-$  soluções têm autovalor  $+\frac{\hbar}{2}$  de componente  $z$  de  $\vec{S}$ , enquanto que a  $2^+$  e a  $4^+$  têm autovalor  $-\frac{\hbar}{2}$ .

Logo a  $1^-$  e a  $3^-$  podem ser visto como spin para cima e a  $2^+$  e  $4^+$  como spin para baixo.

Não podemos no entanto dizer que a função de onda da eq. de Dirac tem 4 componentes porque temos 4 estados para o elétron: 2 de energia (positiva e negativa) e 2 de spin.

A eq. de Klein & Gordon tem uma função de onda de uma componente somente e no entanto acomoda as soluções de energias negativa e positiva.

Na eq. de Dirac podemos combinar 4 em  $t=0$  para determinar  $\psi$  em  $t=t$ . ~~em eqs a duas~~ Isto prova que é linear em derivadas temporais.

Quando tratamos o elétron com função de onda com duas componentes temos que ~~que~~ ~~que~~ que  $\psi$  tem derivadas segundas no tempo. Daí precisamos combinar 4 e  $\frac{\partial^2 \psi}{\partial t^2}$  em  $t=0$  para determinar  $\psi$  em  $t=t$ . Logo o n.º de componentes que temos que especificar é sempre quatro.

Vamos considerar agora o caso em que  $\vec{p} \neq 0$ . Da eq. de Dirac temos

$$i\hbar \frac{\partial}{c} \frac{\partial \psi}{\partial t} - \gamma_i p_i \psi = mc\dot{\psi}$$

Se  $\psi$  for um auto estado de Hamiltoniana

$$i\hbar \frac{\partial \psi}{\partial t} = E\psi$$

obtemos, (denotando  $\psi = \begin{pmatrix} \psi_A \\ \psi_B \end{pmatrix}$ )

$$\frac{E}{c} \begin{pmatrix} I & 0 \\ 0 & -I \end{pmatrix} \begin{pmatrix} \psi_A \\ \psi_B \end{pmatrix} - \begin{pmatrix} 0 & \vec{\sigma} \cdot \vec{p} \\ -\vec{\sigma} \cdot \vec{p} & 0 \end{pmatrix} \begin{pmatrix} \psi_A \\ \psi_B \end{pmatrix} = mc \begin{pmatrix} \psi_A \\ \psi_B \end{pmatrix}$$

$$\left\{ \begin{array}{l} \vec{\sigma} \cdot \vec{p} \psi_A = \frac{1}{c} [E + mc^2] \psi_B \\ \vec{\sigma} \cdot \vec{p} \psi_B = \frac{1}{c} [E - mc^2] \psi_A \end{array} \right.$$

Substituindo a solucion

$$\psi = \begin{pmatrix} u_A(\vec{p}) \\ u_B(\vec{p}) \end{pmatrix} \exp(-iEt/\hbar + i\vec{p} \cdot \vec{x}/\hbar)$$

obtemos:

$$u_A(\vec{p}) = \frac{c}{E - mc^2} (\vec{\sigma} \cdot \vec{p}) u_B(\vec{p})$$

$$u_B(\vec{p}) = \frac{c}{E + mc^2} (\vec{\sigma} \cdot \vec{p}) u_A(\vec{p})$$

uma vez que

$$\hat{\vec{p}} e^{i\vec{p} \cdot \vec{x}/\hbar} = \vec{p} e^{i\vec{p} \cdot \vec{x}/\hbar}$$

↑  
operador

Para  $E = \sqrt{\vec{p}^2 c^2 + m^2 c^4}$  podemos tentar para  $u_A(\vec{p})$  os espínors

$$\left( \begin{array}{c} 1 \\ 0 \end{array} \right) \quad \left( \begin{array}{c} 0 \\ 1 \end{array} \right)$$

a menos de normalizar.

Daí

$$\left( \begin{array}{c} u_B^1 \\ u_B^2 \end{array} \right) = \frac{c}{E+mc^2} \begin{pmatrix} p_3 & p_1 - i p_2 \\ p_1 + i p_2 & -p_3 \end{pmatrix} \left( \begin{array}{c} 1 \\ 0 \end{array} \right)$$

$$= \begin{pmatrix} p_3 c / E + mc^2 \\ (p_1 + i p_2) c / E + mc^2 \end{pmatrix}$$

Aí simétrico

$$\left( \begin{array}{c} u_B^1 \\ u_B^2 \end{array} \right) = \frac{c}{E+mc^2} \begin{pmatrix} p_3 & p_1 - i p_2 \\ p_1 + i p_2 & -p_3 \end{pmatrix} \left( \begin{array}{c} 0 \\ 1 \end{array} \right) = \begin{pmatrix} (p_1 - i p_2) c / E + mc^2 \\ -p_3 c / E + mc^2 \end{pmatrix}$$

Obtemos então duas soluções

$$u^{(1)}(\vec{p}) = N \begin{pmatrix} 1 \\ 0 \\ p_3 c / (E + mc^2) \\ (p_1 + i p_2) c / (E + mc^2) \end{pmatrix}$$

$$u^{(2)}(\vec{p}) = N \begin{pmatrix} 0 \\ 1 \\ (p_1 - i p_2) c / (E + mc^2) \\ -p_3 c / (E + mc^2) \end{pmatrix}$$

Quando  $\vec{p} \rightarrow 0$  obtemos a 1<sup>ª</sup> e 2<sup>ª</sup> soluções p da página 299.

Para  $E = -\sqrt{\vec{p}^2 c^2 + m^2 c^4}$  podemos tentar para  $u_B(\vec{p})$  os espínors

$$\left( \begin{array}{c} 1 \\ 0 \end{array} \right) \quad \left( \begin{array}{c} 0 \\ 1 \end{array} \right)$$

Dar

$$\begin{pmatrix} u_A^1 \\ u_A^2 \end{pmatrix} = \frac{c}{E - mc^2} \begin{pmatrix} p_3 & (p_1 - i p_2) \\ (p_1 + i p_2) & -p_3 \end{pmatrix} \begin{pmatrix} u_B^1 \\ u_B^2 \end{pmatrix}$$

e obtemos então as soluções

$$u^{(3)}(\vec{p}) = N \begin{pmatrix} -p_3 c / (E + mc^2) \\ -(p_1 + i p_2) c / (E + mc^2) \\ \vdots \\ 0 \end{pmatrix}$$

$$u^{(4)}(\vec{p}) = N \begin{pmatrix} -(p_1 - i p_2) c / (E + mc^2) \\ +p_3 c / (E + mc^2) \\ \vdots \\ 0 \end{pmatrix}$$

Quando  $\vec{p} \rightarrow 0$  obtemos a 3 = 2 4 = soluções da pgina 299.

Cada um desses 4 estados

$$\psi^{(r)} = u^{(r)}(\vec{p}) e^{iEt/\hbar + i\vec{p}\cdot\vec{x}/\hbar} \quad r=1,2,3,4$$

satisfaz a eq. de Dirac livre. Logo  $u^{(r)}(\vec{p})$  satisfaz

$$(\gamma^\mu p_\mu - mc) u^{(r)}(\vec{p}) = 0 \quad \text{com } \gamma^\mu p_\mu = \gamma^0 E - \gamma_i p_i$$

tanto para  $E < 0$  ou  $E > 0$ .

No caso  $\vec{p} = 0$  nós vimos que as soluções da pag 299 eram ~~estados~~ auto-estados de  $\Sigma_3$  (componente z do spin).

No caso  $\vec{p} \neq 0$  isto não é mais verdade. (Basta verificar diretamente.)

Mas podemos o fazer na direção de  $\vec{p}$  de tal modo que  $p_1 = p_2 = 0$ . Verificamos então que  $u^{(r)}$ ,  $r=1,\dots,4$  sejam auto-estados de  $\Sigma_3$  com auto valores  $+1, -1, +1, -1$  respectivamente.

No verdade ondas planas de elétrons livres podem sempre ser tomadas como auto-estados da  ~~$\vec{\Sigma} \cdot \hat{p}$~~   $\vec{\Sigma} \cdot \hat{p}$  onde  $\hat{p} = \frac{\vec{p}}{|\vec{p}|}$ , mas não é possível tomar-las como auto-estados de  $\vec{\Sigma} \cdot \hat{n}$  com  $\hat{n}$  um vetor unitário arbitrário.

A razão disso é que  $\vec{\Sigma} \cdot \hat{n}$  commuta com a Hamiltoniana somente se  $\hat{n} = \pm \hat{p}$  ou então  $\vec{p} = 0$ .

O operador  $\vec{\Sigma} \cdot \hat{p}$  que pode ser diagonalizado simultaneamente com a Hamiltoniana é chamado de operador helicidade.

Como vimos a Hamiltoniana para o elétron livre é dada por

$$\begin{aligned} H &= c\rho_0 = c\vec{\alpha} \cdot \vec{p} + p_z m c^2 \\ &= c\rho_1 \vec{\Sigma} \cdot \vec{p} + p_z m c^2 \end{aligned}$$

com  $[\Sigma_i, \rho_j] = 0$  e  $[\Sigma_i, \Sigma_j] = 2i \epsilon_{ijk} \Sigma_k$

Daí

$$\begin{aligned} [H, \vec{\Sigma} \cdot \hat{n}] &= c\rho_1 [\vec{\Sigma} \cdot \vec{p}, \vec{\Sigma} \cdot \hat{n}] = c\rho_1 p_i n_j [\Sigma_i, \Sigma_j] \\ &= c\rho_1 2i \epsilon_{ijk} \Sigma_k p_i n_j = 2i c\rho_1 \vec{\Sigma} \cdot (\vec{p} \times \hat{n}) \end{aligned}$$

Logo

$$[H, \vec{\Sigma} \cdot \hat{n}] = 0 \quad \text{se } \hat{n} = \pm \hat{p} \quad (\text{ou então se } \vec{p} = 0)$$

Denotamos os estados de helicidade da forma com o antecedente de  $\vec{\Sigma} \cdot \vec{p}$  como

$$\vec{\Sigma} \cdot \hat{p} = \begin{cases} 1 & \text{estado da direita (right handed)} \\ -1 & \text{" " " esquerda (left handed)} \end{cases}$$

### Ortoogonalidade

Para um dado valor de  $\vec{p}$  é fácil ver que as soluções  $u^{(r)}(\vec{p})$  são ortogonais

$$u^{(r)}(\vec{p})^+ u^{(r')}(\vec{p}) = 0 \quad \text{para } r \neq r'$$

Quando a normalização existeem duas convenções na literatura

a)  $u^{(r)}(\vec{p}) u^{(r)}(\vec{p}) = 1$

que implica

$$\left[ 1 + \frac{\vec{p}^2 c^2}{(|E| + mc^2)^2} \right] N^2 = 1$$

e dar

$$\begin{aligned} N^2 &= \frac{(|E| + mc^2)^2}{(|E| + mc^2)^2 + \vec{p}^2 c^2} = \frac{(|E| + mc^2)^2}{E^2 + mc^2 E + 2mc^2 |E| + E^2 - mc^2 E} \\ &= \frac{|E| + mc^2}{2|E|} \Rightarrow N = \sqrt{\frac{|E| + mc^2}{2|E|}} \end{aligned}$$

b)  $u^{(r)}(\vec{p})^+ u^{(r)}(\vec{p}) = \frac{|E|}{mc^2}$

e dar

$$N = \sqrt{\frac{|E| + mc^2}{2mc^2}}$$

Esta segunda escolha implica que  $u$  se transforma como a componente temporal de um gerador.

Exercício (Sakurai - Advanced Q.M. Ex 3-2 pag 175)

Considere um elétron em um campo magnético uniforme  $\vec{B}$  ao longo do eixo z. Obtenha as autofunções (4 componentes) de energia positiva mais geral. Mostre que os autovalores de energia são

$$E = \sqrt{m^2 c^4 + c^2 p_z^2 + 2mc\gamma c|\vec{B}|}$$

com  $m = 0, 1, 2, \dots$

Lista todas as constantes de movimento.

(Ver V. A. Fock - Fundamentals of Quantum Mechanics, pag 316)